

იგანე ჯავახიშვილის სახელობის თბილისის სახელმწიფო უნივერსიტეტი

## 6060 ნიკოლეიშვილი

ზუსტ და საბუნებისმეტყველო მეცნიერებათა ფაკულტეტი  
ქიმიის მიმართულება

სინოუზრი გამოკვლევები იზომერული დიკიროლონაზობალის სფეროში

ს ა დ ო ქ ო რ ო      დ ი ს ე რ ო ც ი ა

ხელმძღვანელები:

პროგრამის ხელმძღვანელი:  
პროფესორი,  
საქართველოს მეცნიერებათა  
ეროვნული აკადემიის წევრი,  
წ/კორესპონდენტი

შოთა სამსონია

სამეცნიერო ხელმძღვანელები:  
სრული პროფესორი,  
ქიმიის მეცნიერებათა დოქტორი

შოთა სამსონია

ასისტენტ პროფესორი  
ქიმიის მეცნიერებათა დოქტორი

მარინა ტრაპაიძე

თბილისი

2010 წელი

## შინაარსი

	<b>შესავალი</b>	<b>5</b>
<b>თავი 1</b>	<b>ლიტერატურული მიმოხილვა</b>	<b>7</b>
<b>1.1.</b>	სპიროპირანები	8
<b>1.1.1</b>	სპიროპირანების სინთეზი და სტრუქტურის მოდიფიკაცია	8
<b>1.1.1.1.</b>	სპიროპირანების მიღება მეთილენური ფუძეების კონდენსაციით ო-ჰიდროქსიარომატულ ალდეჰიდებთან.	13
<b>1.1.1.2.</b>	სპიროპირანების მიღება ო-ჰიდროქსიარომატული ალდეჰიდების კონდენსაციით აქტიური მეთილენური ჯგუფის შემცველ ჰეტეროციკლურ კათიონთა მარილებთან, შუალედური სტირილური მარილების გამოყოფა და მუავას ელემენტების შემდგომი მოხსელება.	13
<b>1.1.2.</b>	სპიროპირანების ჰეტეროანალოგების მიღება	17
<b>1.1.3.</b>	ბის-სპიროპირანები	18
<b>1.1.4</b>	სპიროპირანების გამოყენება	25
<b>1.2.</b>	<b>2-მეთილენინდოლინური ფუძეები</b>	26
<b>1.2.1.</b>	ინდოლისა და ჩანაცვლებული ინდოლების ალკილირების რეაქციები	27
<b>1.2.2</b>	ნაჯერი რიგის არილჰიდრაზონების კეტონების ციკლიზაცია	30
<b>1.2.3</b>	ფიშერის ფუძის აღნაგობა და მისი სპექტრული მონაცემები	34
<b>1.2.4.</b>	ქიმიური თვისებები	35
<b>1.2.4.1.</b>	რეაქციები მუავათა ამიდებთან	36
<b>1.2.4.2</b>	აზომეუდლება	37
<b>1.3.</b>	ჰიდრაზიდები	39
<b>1.3.1</b>	ჰიდრაზიდების მიღების მეთოდები	39
<b>1.3.2</b>	ჰიდრაზიდების თვისებები	45
<b>1.3.3.</b>	ჰეტეროციკლური ბირთვების შემცველი ჰიდრაზიდები	51
<b>თავი 2</b>	<b>ექსპერიმენტული მონაცემების განსჯა</b>	53
<b>2.1</b>	ბენზოპიროლოინდოლის ბირთვის შემცველი დიპიდროინდოლიზინის ტიპის ახალი ბის-სპიროციკლური ნაერთის სინთეზი	53
<b>2.2.</b>	იზომერული ჰექსამეთილდიმეთილენინდოლებისა და ტეტრაჰიდროტეტრამეთილ-დიმეთილენდიპიროლო-ბენზოქინქსალინის, ე.წ. ფიშერის ფუძეები სინთეზი და სტრუქტურის დადგენა	57
<b>2.2.1.</b>	ფიშერის ფუძის ახალი იზომერული ბის-ანალოგების სინთეზი	57
<b>2.2.1.1.</b>	1,3,3,6,8,8-ჰექსამეთილ-2,7-დიმეთილენინდოლინო[7,6-გ]ინდოლინის სინთეზი	58
<b>2.2.1.2.</b>	1,1,3,8,10,10-ჰექსამეთილ-2,9-დიმეთილენინდოლინო[4,5-ე]ინდოლინის სინთეზი	59
<b>2.2.1.3..</b>	1,4,5,8-ტეტრაჰიდრო-1,1,8,8-ტეტრამეთილ-2,7-დიმეთილენდიპიროლო[1,2,3-d,e:3,2,1-i,j]ბენზო[გ]ქინოქსალინის სინთეზი	60
<b>2.2.2.</b>	ფიშერის ფუძის ბის-ანალოგების სტრუქტურის დადგენა	61
<b>2.3.</b>	ფიშერის ფუძის იზომერული ბის-ანალოგების გარდაქმნის რეაქციები	63

<b>2.3.1.</b>	სპიროქრომენული ბის-სპიროციკლური ნაერთების სინთეზი დი- პიროლობენზოქინოქსალინის ბაზაზე და მისი ფოტოქრომული თვისებები	63
<b>2.3.2.</b>	ფიშერის ფუძეების ფორმილირება ვილსმაიერის რეაქციით	69
<b>2.3.2.1.</b>	2,7-დი(ფორმილმეთილიდენ)-1,3,3,6,8,8-ჰექსამეთილ-ინდოლინო[7,6- გ]ინდოლინი	69
<b>2.3.2.2.</b>	2,7-დი(ფორმილმეთილიდენ)-1,1,3,6,8,8-ჰექსამეთილ-ინდოლინო[4,5- ე] ინდოლინი	70
<b>2.3.2.3.</b>	1,4,5,8-ტეტრაჰიდრო-1,1,8,8-ტეტრამეთილ-2,7-დიმეთილენდიპირო- ლო[1,2,3-d,e:3,2,1-i,j]ბენზო[g]ინოქსალინის ფორმილირების რე- აქცია	71
<b>2.3.3.</b>	ფიშერის ფუძეების ფორმილირების შედეგად მიღებული ინდო- ლონდოლებისა და ბენზოპიროლოჰინოქსალინის ახალი ფორმილნაწარმების სპექტრული ანალიზი	
<b>2.3.4.</b>	ფიშერის ფუძეები აზოშეუდლების რეაქციებში	80
<b>2.3.4.1.</b>	აზოშეუდლების რეაქციები ფიშერის ფუძის ბისანალოგების ბაზაზე	81
<b>2.4.</b>	დიპიროლონაფთალინების დიპიდრაზიდების სინთეზი და გარდაქმნები	84
<b>2.4.1.</b>	დიკარბოჰიდრაზიდინდოლო[5,4-ე]ინდოლის სინთეზი	87
<b>2.4.2.</b>	დიპიდრაზიდების კონდენსაციის რეაქციები კარბონილურ ნაერთებთან.	88
<b>2.4.2.1.</b>	ჰიდრაზიდების კონდენსაცია მეთილეთილკეტონთან	89
<b>2.4.2.2.</b>	ჰიდრაზიდების კონდენსაცია ციკლოჰექსანონთან	89
<b>2.4.2.3.</b>	ჰიდრაზიდების კონდენსაცია აცეტილადამანტანთან	90
<b>2.4.2.4.</b>	ჰიდრაზიდოჰიდრაზონების სპექტრული ანალიზი	91
<b>2.5.</b>	3,8-დიფორმილ-1H,10H-ბენზო[e]პიროლო[3,2-g]ინდოლის დიადა- მანტილანილინის სინთეზი	93
<b>თავი 3</b>	<b>ექსპერიმენტული ნაწილი</b>	98
	<b>დასკვნები</b>	119
	<b>გამოყენებული ლიტერატურა</b>	121

## ს ი მ ბ ო ლ ო თ ა გ ა ნ მ ა რ ტ ე ბ ა

<b>ε</b>	შთანთქმის მოლური კოეფიციენტი
<b>hv</b>	სინათლის პვანტი
<b>c</b>	კონცენტრაცია
<b>λ</b>	ტალღის სიგრძე (ნმ)
<b>δ</b>	ქიმიური წანაცვლება
<b>τ<sub>1/2</sub></b>	ნახევარგარდაქმნის დრო
<b>J</b>	სპინ-სპინური ურთიერთქმედების მუდმივა
<b>s</b>	სინგლეტი
<b>br s</b>	გაფართოებული სინგლეტი
<b>d</b>	დუბლეტი
<b>dd</b>	დუბლეტ-დუბლეტი
<b>m</b>	მულტიპლეტი
<b>βE</b>	ველის მემილიონედი ნაწილი
<b>ჰც</b>	ჰერცი
<b>დმსო</b>	დიმეთილსულფოქსიდი
<b>პყმეე</b>	პიროვურძნის მჟავას ეთილის ეთერი
<b>პფმეე</b>	პოლიფოსფორმჟავას ეთილის ეთერი
<b>დმფ</b>	დიმეთილფორმამიდი
<b>იწ</b>	ინფრაწითელი სპექტროსკოპია
<b>უი</b>	ულტრაიისფერი სპექტროსკოპია
<b><sup>1</sup>H-გმრ</b>	პროტონულ-მაგნიტური რეზონანსი
<b><sup>13</sup>C-</b>	ბირთვულ-მაგნიტური რეზონანსის სპექტრი <b><sup>13</sup>C</b> ნახშირბადის ატომზე
<b>გმრ</b>	
<b>E</b>	ტრანს-იზომერი
<b>Z</b>	ცის-იზომერი
<b>pH</b>	წყალბადის მაჩვენებელი (წყალბად-იონთა კონცენტრაციის შებრუნებული სიდიდის ათობითი ლოგარითმი)
<b>R<sub>f</sub></b>	განაწილების კოეფიციენტი
<b>M<sup>+</sup></b>	მოლეკულური იონის მასა
<b>Ad</b>	ადამანტანი

## შესავალი

ახალი ბიოლოგიურად აქტიური ნივთიერებების ძიება კვლავინდებურად არ კარგავს თავის აქტიურობას ქიმიკოსებისა და ფარმაკოლოგების სამეცნიერო კვლევებში. ამ მხრივ მეტად საყურადღებოა პეტეროციკლური სისტემები, რომელებიც მნიშვნელოვან როლს ასრულებენ მცენარეული და ცხოველური ორგანიზმების ცხოველქმედების პროცესში. ქიმიკოსთა უახლესი წლების ნაწარმებში ინტენსიურად მიმდინარეობს როგორც ახალი პეტეროციკლური სისტემების შექმნა, ასევე უკვე შექმნილი პეტეროციკლურის უფრო დრმა და მრავალმხრივი გარდაქმნების განხორციელება, მათი ახალი გამოყენების სფეროების გამოვლენის მიზნით.

თბილისის სახელმწიფო უნივერსიტეტში უკვე სამი ათეული წელია მიმდინარეობს კვლევები მნიშვნელოვანი პეტეროციკლის – ინდოლის ქიმიის მიმართულებით. შექმნილია ინდოლის ახალი სტრუქტურული ანალოგები – როგორც კონდენსირებული, ასევე არაკონდენსირებული პეტეროციკლური სისტემები – პოროლოინდოლები, ინდოლოინდოლები, სხვადასხვა აგებულების ბისინდოლები.

შექმნილია ახალი მიმართულება – ინდოლის ანალოგების სინთეზისა და მათი მრავალმხრივი გარდაქმნების სფერო, რომელშიც ჩართულია მეცნიერთა ჯგუფი პროფ. შ. სამსონიას ხელმძღვანელობით. ინდოლის ბირთვის განსაკუთრებულობასა და მის დიდ მნიშვნელობაზე უკვე მრავალგზის არის მოხსენებული თუნდაც იმ სადისერტაციო ნაშრომებში, რომლებიც შესრულებულია ბოლო წლებში თსუ-ში ორგანული ქიმიის მიმართულებაზე.

ჩვენც მოკლედ ავღნიშვნავთ, რომ ინდოლისა და მისი ნაწარმების ბიოსინთეზისა და მეტაბოლიზმის პროცესები ინტენსიურად მიმდინარეობს ცოცხალორგანიზმში. ინდოლის მრავალი ნაწარმი ხასიათდება მაღალი ბიოლოგიური აქტიურობით. ასევე ისინი ასრულებენ საშენი მასალის როლს სხვადასხვა ბიოორგანული ნივთიერებების სინთეზში. მედიცინაში ინდოლური ნაერთები გამოიყენებიან გულსისხლდარღვთა დაავადებების (რეზერპინი, აიმალინი) ავთვისებიანი წარმონაქმნების (ვინბლასტინი, ვინკრისტინი), ფსიქიური დაავადებების (ინდოფანი, პირაზიდოლი, ინკაზანი) სამკურნალოდ. ანთების საწინააღმდეგო ეფექტური პრეპარატია ინდომეტაცინი, ხოლო არბიდოლ-ლენსი წარმოადგენს თანამედროვე ანტივირუსული და იმუნომასტიმულირებელ საშუალებას. სოფლის მეურნეობაში ინდოლური ნაერთები გამოიყენება პესტიციდებად და მცენარეთა ზრდის რეგულატორებად (პეტეროციკლური). ინდოლის ბირთვის შემცველი სპირო-ციკლური სისტემები ხასიათდებიან ფოტოქრომული თვისებებით.

ინდოლის ბირთვის შემცველი ბიფუნქციური სისტემების სინთეზისა და მათი გარდაქმნის შედეგად გამოვლენილია ნაერთები სხვადასხვა ბიოლოგიური აქტიურობით: ანტიმიკრობული, სიმსივნის საწინააღმდეგო, კურარეს მსგავსი აქტიურობა და სხვა.

ზემოაღნიშნულიდან გამომდინარე, კვლევების გაგრძელება ინდოლის ბირთვის შემცველი ახალი ბიფუნქციური ნაერთების სინთეზისა და მათი გარდაქმნების სფეროში, აქტუალურ ამოცანას წარმოადგენს.

ჩვენი სამუშაოს მიზანს შეადგენდა ორგანული ქიმიის მიმართულებაზე პეტეროციკლური სისტემების – იზომეტრული დიპიროლონაფთალინების ბირთვის შემცველი ახალი ნაწარმების სინთეზისა და მათი გარდაქმნის რეაქციების შესწავლა განსხვავებული თვისებების მქონე ნაერთების გამოვლენის მიზნით.

სახელწოდება დიპიროლონაფთალინები მოიცავს ტეტრაციკლურ, კონდენსირებულ, აზოშემცველ პეტეროციკლურ სისტემებს, რომელთა სინთეზი განხორციელებულია იზომეტრული ნაფთილენდიპირაზინებიდან, ნაფთალინის ბირთვზე

პიროლის ორი ბირთვის მიშენებით სხვადასხვა მდგომარეობაში. დიპიდრაზინჯ-ბიდან, რომლებიც შეიცავენ ჰიდრაზინულ ჯგუფებს ნაფთალინის სხვადასხვა ბირთვში, მიღებულია კონდენსირებული ბისინდოლები, რომელთაც IUPAC ნომენ-კლატურით ინდოლონდოლები ეწოდება, ხოლო 2,3-ნაფთილენპიდრაზინიდან სინთეზირებულია ასევე კონდენსირებული სისტემა – ბენზოპიროლონდოლი.

სადისერტაციო ნაშრომი შედგება რამდენიმე ნაწილისაგან. იგი მოიცავს ახალი სპირციკლური ნივთიერებების სინთეზს დიპიროლონაფთალინების ერთერთი იზომერის – ბენზოპიროლონდოლის ბაზაზე. დისერტაციის მნიშვნე-ლოვანი ნაწილი ეთმობა 2-მეთილენინდოლინების, ე.წ. ფიშერის ფუმეების სტრუქტურული ბისანალოგების სინთეზს ბენზოპიროლონდოლისა და ინდოლო-ინდოლების ბაზაზე და მათი გარდაქმნის ზოგიერთი რეაქციის შესწავლას ახალი თვისებების მქონე ნაერთების მიღების მიზნით.

ცნობილია, რომ 2-მეთილენინდოლინები რეაქციისუნარიანი ნაერთებია და ისინი ძირითად ნახევარპროდუქტებს წარმოადგენენ მრავალი საინტერესო ნაერ-თის სინთეზისათვის. ამიტომ ჩვენ მიზანდასახულად განვახორციელეთ 2-მეთი-ლენინდოლინების იზომერული ბისანალოგების სინთეზი, რადგან მათი შემდგო-მი გარდაქმნები პერსპექტიულად მიგვაჩნია როგორც ბიფუნქციური, ბიოლოგიუ-რად აქტიური ნივთიერებების, ასევე საღებრების და ახალი თაობის სპირციკ-ლური ნაერთების მისაღებად.

2-მეთილენინდოლინების იზომერული ბისანალოგების გარდაქმნებიდან ჩვენს მიერ განხორციელებულია ბისსპიროქრომენების სინთეზი. ასევე მათ სა-ფუძველზე ჩატარებულია ვილსმაიერისა და აზოშეუდლების რეაქციები.

სამუშაოს შემდგომ ეტაპზე განხორციელებულია იზომერული დიპიროლო-ნაფთალინების დიპიდრაზიდების სინთეზი და მათი გარდაქმნის რეაქციები; კერძოდ, ჩატარებულია დიპიდრაზიდების კონდენსაციის რეაქციები კარბონილურ ნაერთებთან და სინთეზირებულია შესაბამისი ბისპიდრაზიდოპიდრაზონები, ე.წ. ბისპიდრაზიდინები.

კვლევის შედეგები გადმოცემულია შემდეგ თავებში “ექსპერიმენტული მო-ნაცემების განსჯა” და “ექსპერიმენტული ნაწილი”.

ლიტერატურის მიმოხილვაში ჩვენს მიერ მოტანილია მასალა 2-მეთილენინ-დოლინების – მიღების, თვისებებისა და გამოყენების შესახებ. ასევე განხილუ-ლია სპირცირანების სინთეზის, თვისებებისა და გამოყენების შესახებ არსებუ-ლი ახალი მონაცემები.

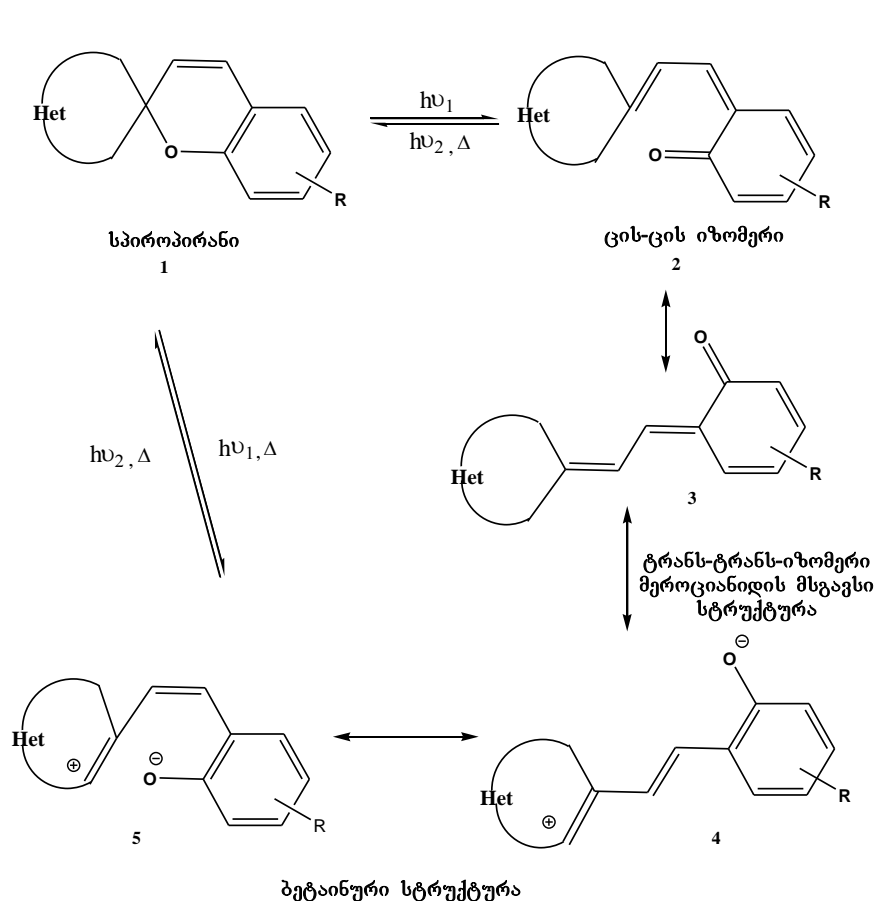
ლიტერატურის მიმოხილვაში (თავი პირველი) ნაერთების და ცხრილის ნუმერაცია დამოუკიდებელია, ხოლო მეორე და მესამე თავებში ნაერთების, ცხრილებისა და ნახაზების ნუმერაცია ერთი და იგივეა. თავი პირველი მოიცავს 52 სქემას, 1 ცხრილს, თავი მეორე (ექსპერიმენტული მონაცემების განსჯა) მოიცავს 21 სქემას, 3 ნახაზს, 9 ცხრილს, გამოყენებული ლიტერატურა – 118 წყარო.

# თავი 1. ლიტერატურის მიმოხილვა

## 1.1 სპიროპირანები

ბოლო წლებში სულ უფრო და უფრო მეტად გამოიყენება ახალი უვერცხლო ფოტოქრომული მასალები, რომლებიც დასხივების შედეგად შექცევითად იცვლიან შეფერილობას. ეს განკირობებულია იმით, რომ ვერცხლზე ტექნიკური მიზნებისათვის გაზრდილი მოთხოვნილების დაკმაყოფილება ვერ ხერხდება, ვერცხლის მსოფლიო მარაგის ამოწურვის გამო.

ამჟამად ორგანული ფოტოქრომების უმთავრეს კლასს მიეკუთვნება სპიროპირანები 1, რომელთაც შესწევთ უნარი ულტრაიისფერი სხივების მოქმედებით წარმოქმნან ქინოიდურ-ბეტაინური სტრუქტურები 2-5, რომელთა დაბრუნება საწყის სპიროფორმაში ხდება ხილული სხივების მოქმედებით, ან სპონტანურად (სქემა 1):



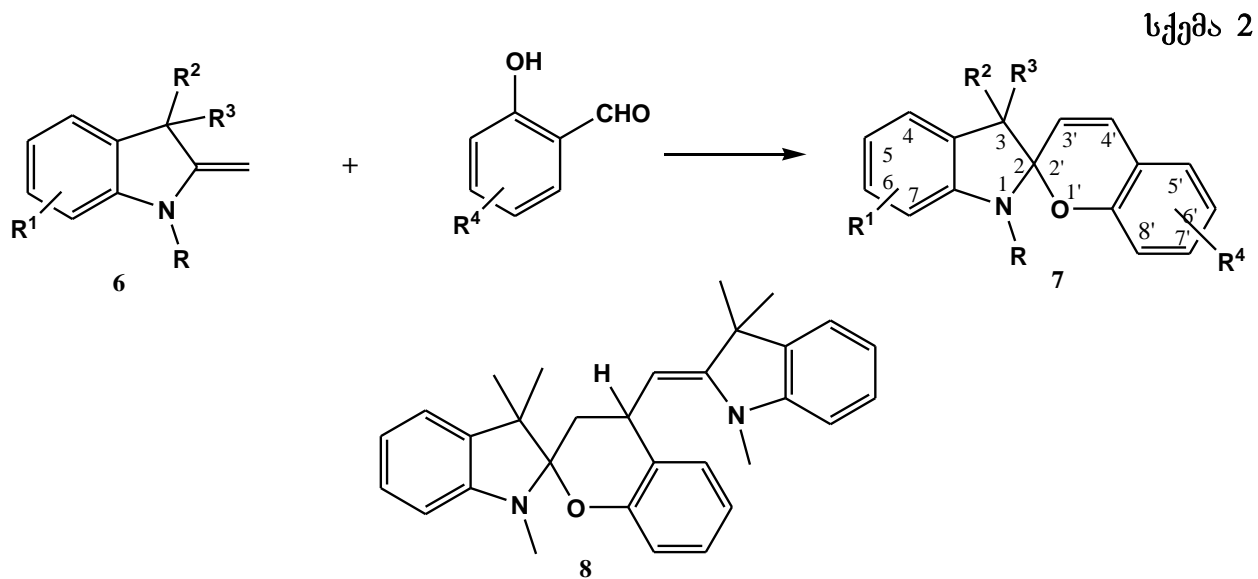
სპიროპირანები ცნობილია XX საუკუნის დასაწყისიდან [1], მაგრამ ფართო ინტერესი მათ მიმართ გაჩნდა XX საუკუნის 20-იან წლებში, მას შემდეგ რაც აღმოჩენილ იქნა მათი შექცევადი თერმოქრომული და ფოტოქრომული თვისებები [2].

## 1.1.1 სპიროპირანების სინთეზი და სტრუქტურის მოდიფიკაცია

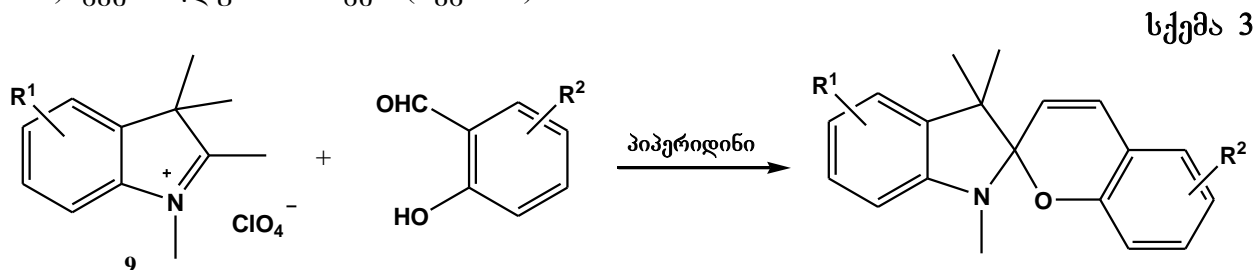
სპიროპირანების სინთეზის სტანდარტული მეთოდები პრაქტიკულად უცვლელია და შეიძლება დავყოთ ორ ძირითად ჯგუფად: 1) მეთილენური ფუმეების კონდენსაცია თ-ჰიდროქსიარომატულ ალდეჰიდებთან და 2) თ-ჰიდროქსიარომატული ალდეჰიდების კონდენსაცია ჰეტეროციკლურ კატიონთა მარილებთან, რომელიც შეიცავს აქტიურ მეთილენურ ჯგუფებს, შეაღეთებული სტირილური მარილების წარმოქმნით და შემდგომში მუჟავას ფრაგმენტის მოხსენებით.

### 1.1.1.1 სპიროპირანების მიღება მეთილენური ფუმეების კონდენსაციით თ-ჰიდროქსიარომატულ ალდეჰიდებთან

ინდოლინური სპიროპირანების 7 სინთეზი ცნობილია ვიცინგერის მეთოდის სახელწოდებით. რეაქცია მიმდინარეობს აზოტშემცველი ჰეტეროციკლური ფუმეებისა და თ-ჰიდროქსიარომატული ალდეჰიდების დუღილით შესავერის გამსხველებში (ხშირად, სპირტებში). ზოგიერთ შემთხვევაში ამ რეაქციის ჩატარება მოსახერხებელია დიმეთილფორმამიდში (დმფა-ში). მაგრამ ამ რეაქციას ხშირად თან ახლავს ნაერთი 8 ტიპის თანამდე პროდუქტების წარმოქმნა [3] (სქემა 2):



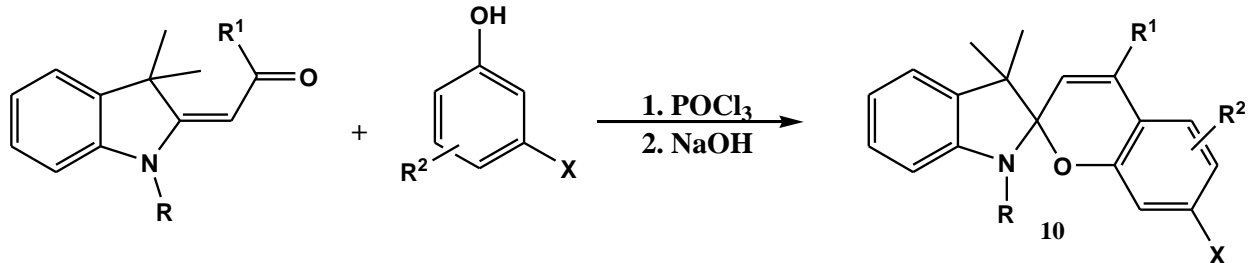
რეაქციის თანამდე პროდუქტის გამოსავლიანობის შემცირებისათვის რეკომენდირებულია, მეთილენური ფუმის მაგივრად გამოყენებულ იქნას ინდოლინის მეოთხეული მარილისა 9 და ორგანული ფუმის (ყველაზე ხშირად პიპერიდინის) ექვიმოლური ნარევი (სქემა 3):



ინდოლინოსპიროქრომენების უმრავლესობა მიიღება ინდოლინური ფუმეების, ან მათი მარილების კონდენსაციით თ-ჰიდროქსიარომატულ ალდეჰიდებთან, მაგ-

რამ 4' მდგომარეობაში ჩამნაცვლებლების შემცველი ინდოლინური რიგის **10** ტონის სპიროპირანის მიღება შესაძლებელია მხოლოდ შემდგენი სქემით:

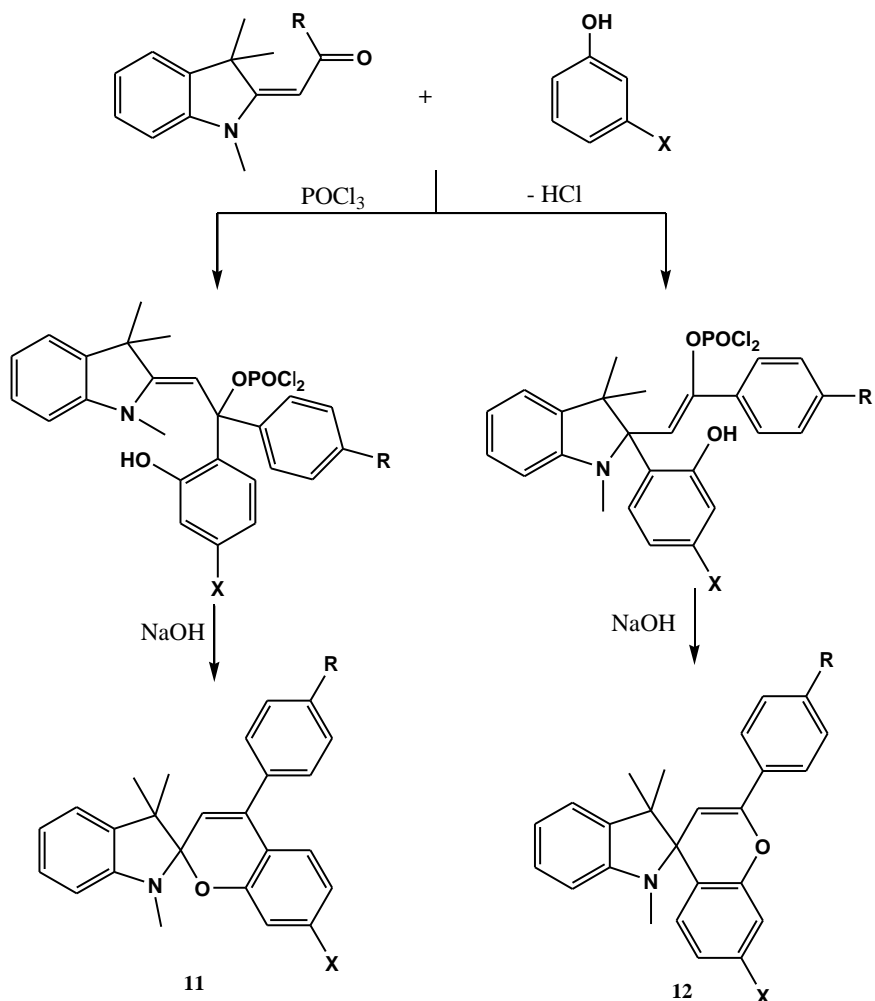
სქემა 4



$R, R^1, R^2$ -ალკინი, არილი, ჰეტარილი;  
 $X = OH, NEt_2$

ამ რეაქციის შესწავლაში რეზორცინის ნაწარმთა მაგალითზე აჩვენა, რომ ფიშერის ფუძის აცილურ ნაწარმებში ორი სარეაქციო ცენტრის არსებობა განაპირობებს **11** და **12** ბეზპირანების ნარევის წარმოქმნას, რომელთა შორის ურთიერთდამოკიდებულებას განსაზღვრავს გამხსნელისა და ჩამნაცვლებლის ბუნება [4] (სქემა 5):

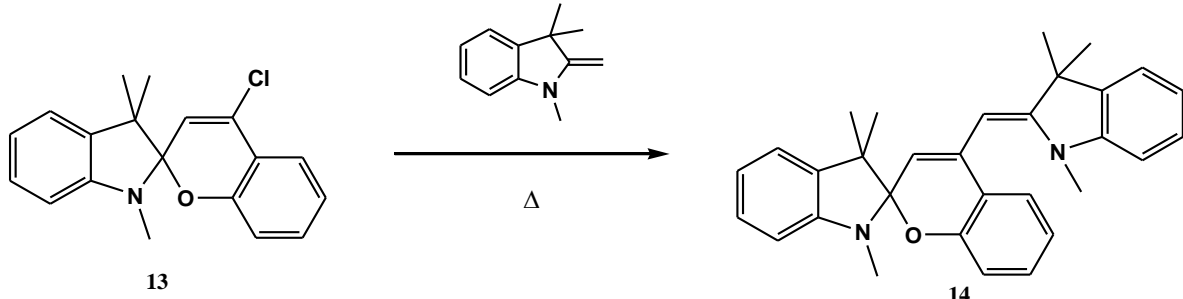
სქემა 5



$R = H, OMe; \quad X = OH, NEt_2$

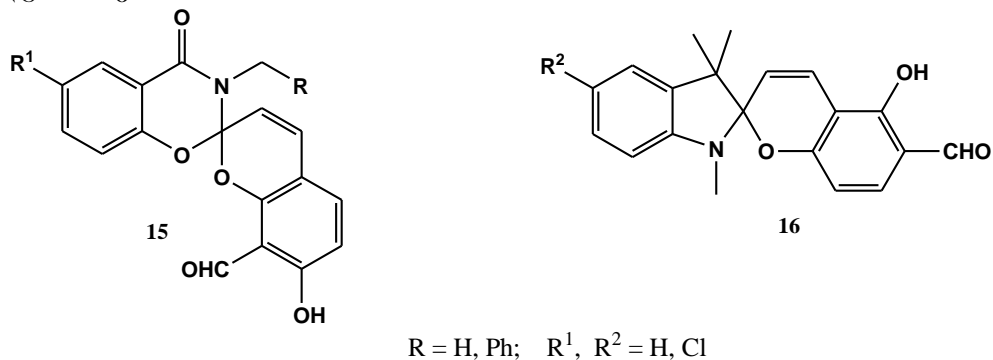
3-(R-2-ჰიდროქსიფენაცილიდენ)-1,3,3-ტრიმეთილინდოლინების რეაქციით ფოსფორის ქლოროქსიდთან მიიღება 4'-ქლორჩანაცვლებული ინდოლინოსპირანანი 13, რომლის გახურებით ფიშერის ფუძეებთან წარმოიქმნება სტრუქტურა 14, რომელიც 4' მდგომარეობაში შეიცავს ინდოლინურ ნაშთს [5] (სქემა 6):

სქემა 6



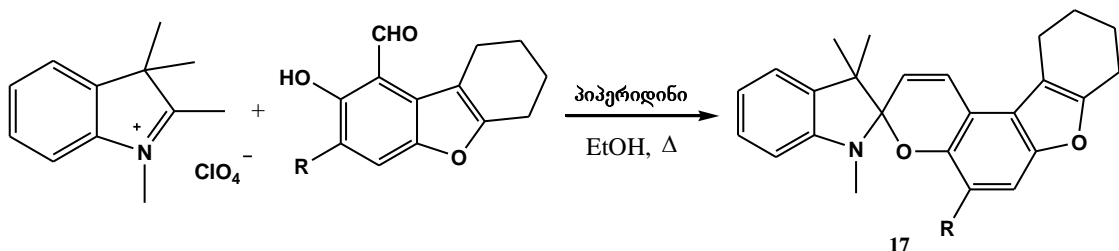
ზოგიერთი ო-ჰიდროქსიარომატული ალდეჰიდების სინთეზის ეფექტური მეთოდების შემუშავება ახალი ფოტოქრომული ინდოლინური სპირანების მიღების საშუალებას იძლევა. ისინი პირანულ ნაწილში შეიცავენ ფორმილურ, კარბოქსილურ, ბენზოილურ, ჰიდროქსიმეთილურ, ალკილურ, ნიტრო, ჰალოგენურ [6] ჩამნაცვლებლებს და არატრადიციულ  $\pi$ -აქცეპტორულ ჩამნაცვლებლებს [7]. აგრეთვე მოხერხდა სპირანების მიღება, რომელთაც აქვთ თხევადკრისტალური ბუნება.

მიღებულია ბენზოქსაზინისა 15 და ინდოლინური 16 რიგის სპირანები 2,4-დიჰიდროქსიზოფთალის ალდეჰიდის საფუძველზე, რომლებიც [2H]-ქრომენის ფრაგმენტის ბენზილურ ბირთვში შეიცავენ ჰიდროქსი- და ფორმილის ჯგუფებს ორთო-მდგომარეობაში:



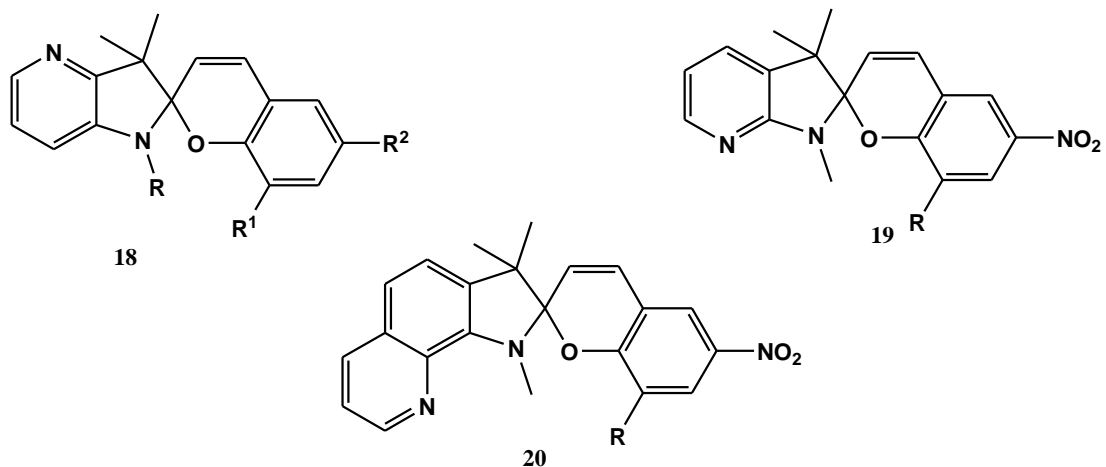
სინთეზირებულია ახალი ინდოლინოსპიროქრომენები 17, რომლებიც შეიცავენ კონდენსირებულ ფურანულ ფრაგმენტს, ეს უკანასკნელი წარმოადგენს  $\pi$ -დონორულ ჩამნაცვლებლის თავისებურ ანალოგს მოლეკულის ქრომენული ნაწილის 6' მდგომარეობაში [8] (სქემა 7).

სქემა 7

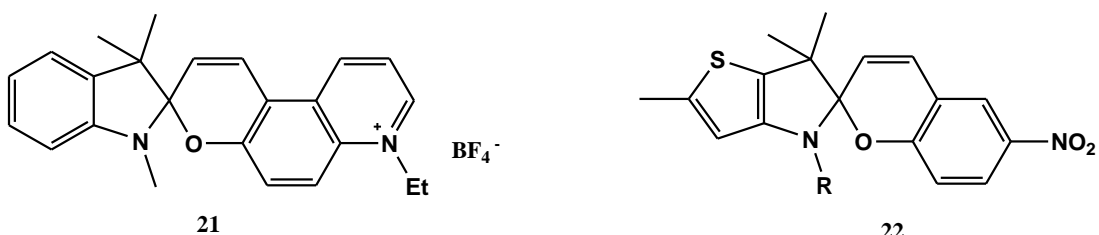


1,3,3-ჩანაცვლებული 2-მეთილენინდოლინების ანალოგთა გამოყენებით შესაძლებელი გახდა ალკილის, ბენზილის, ციკლოპექტილის, გლუკოზიდური ჯგუფებისა და აგრეთვე აზოტის ატომთან კრაუნ-ეთერული კომპონენტების შემცველი ჩამნაცვლებლების მქონე სპიროქრომენების მიღება [9].

ანალოგიურად მიიღება პირიდინული ფრაგმენტის შემცველი სპიროპირანები **18-21** [10, 26], მაგრამ სპიროპირანები თიენო[3,2-*b*]პიროლის **22** ბაზაზე მიღებულ იქნა მხოლოდ 2003 წელს:

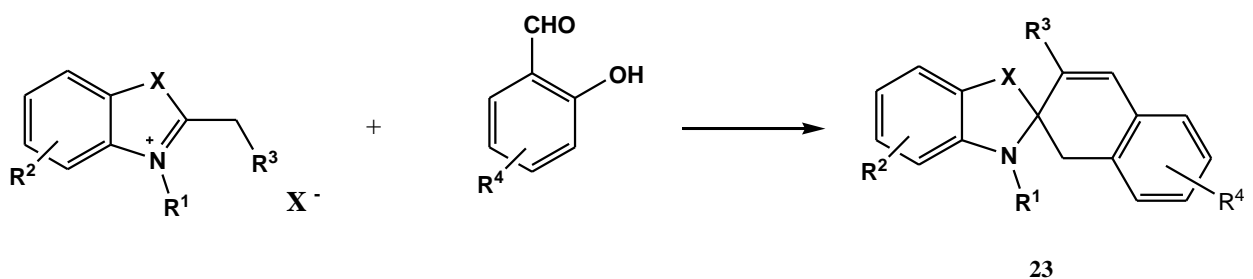


**18** R = Me, Et; R<sup>1</sup>, R<sup>2</sup> = H, NO<sub>2</sub>, Hal; **19** R = H, OMe, Br; **20** R = H, Br

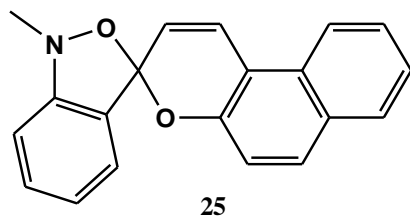
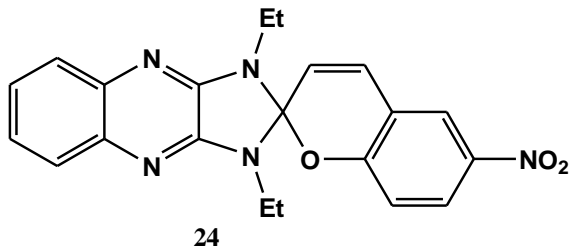


სპიროპირანები საერთო ფორმულით **23** (X=O, X=S, X=Se, X= NR) მიღებულია შესაბამისი ბენზაზოლური მარილების დუღილით ო-ჰიდროქსიარომატულ ალდეჰიდებთან პირიდინის ან პიკერადინის თანაობისას (სქემა 8):

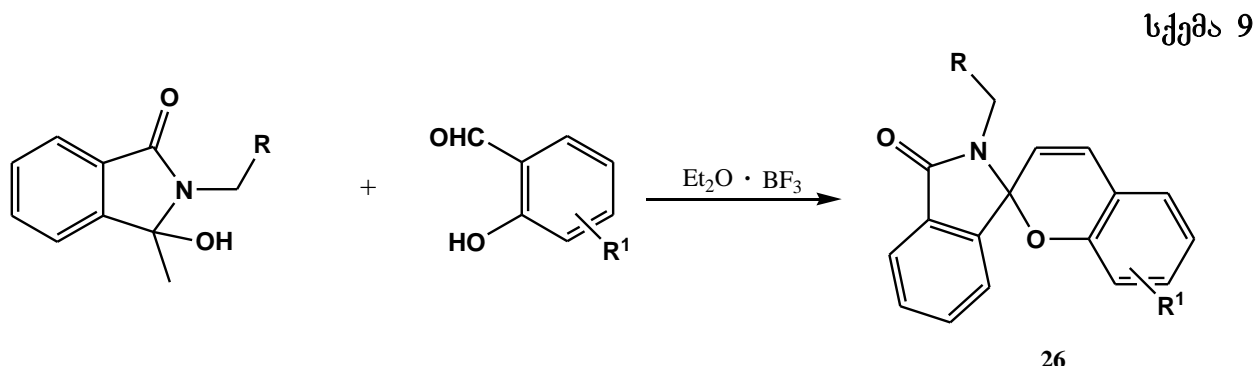
სქემა 8



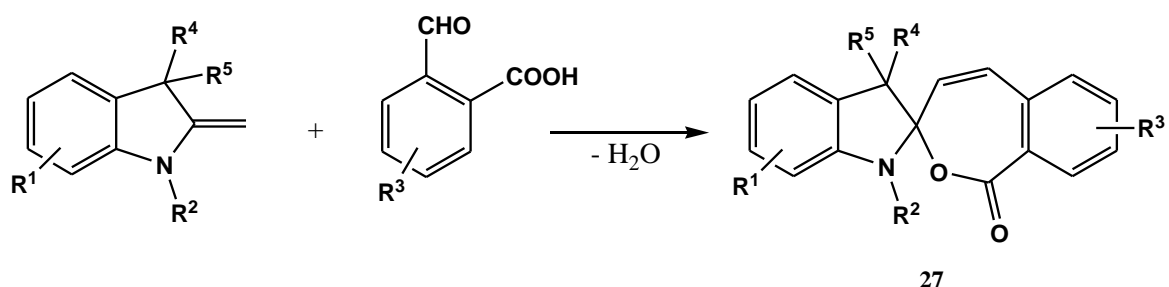
სპიროპირანები **24** იმიდაზოქინოქსალინის ბაზაზე და ბენზიზოქსაზოლური რიგის **25** [11] სპიროპირანებიც მიეგუთვნებიან ბენზაზოლური სპიროპირანების ჯგუფს:



აზაინდანური სპიროპირანების **26** ორიგინალური ერთსტადიანი მიღების მეთოდი ითვალისწინებს დიეთოლენგლიკოლში ჩანაცვლებული სალიცილის ალდეჟიდის კონდენსაციას 1-ჰიდროქსი-1-მეთოლიზონდოლინ-3-ონ-თან, როგორც შესაბამისი მეთოლენური ფუძის თავისებურ პრეცესორთან. კატალიზატორად გამოიყენება ბორის კომპლექსური ნაერთები (სქემა 9):

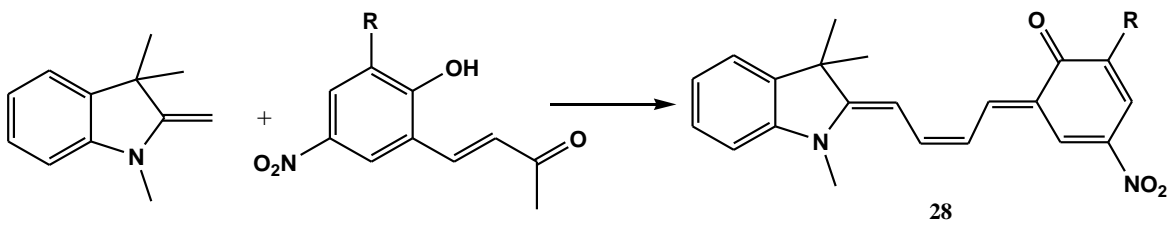


ინდოლინური სპიროპირანების სტრუქტურის მოდიფიკაციის მიზნით, განხორციელებულ იქნა სპირომეთანების **27** სინთეზი. ეს უკანასკნელი ექვსწევრიანი პირანული ბირთვის ნაცვლად შეიცავენ შვიდწევრიან ციკლს (სქემა 10):



უშედეგოდ დასრულდა 8-ჰიდროქსი-1-ნაფთალდეპიდის გამოყენება ისეთი ნაწარმების მისაღებად, რომლებიც არ შეიცავენ კარბონილის ჯგუფს.

ფიშერის ფუძის ვინილოგების ურთიერთქმედებით სალიცილის ალდეჟიდებთან 8-წევრიანი ოქსაცინური ციკლის შემცველი ნაერთის მიღება ვერ მოხერხდა. ასევე უშედეგო აღმოჩნდა ფიშერის ფუძის ურთიერთქმედება ო-ჰიდროქსიდარიჩინის ალდეჟიდებთან. ამ გზით შესაძლებელია სპიროქრომენების მხოლოდ დია ფორმების მიღება **28** [12] (სქემა 11):

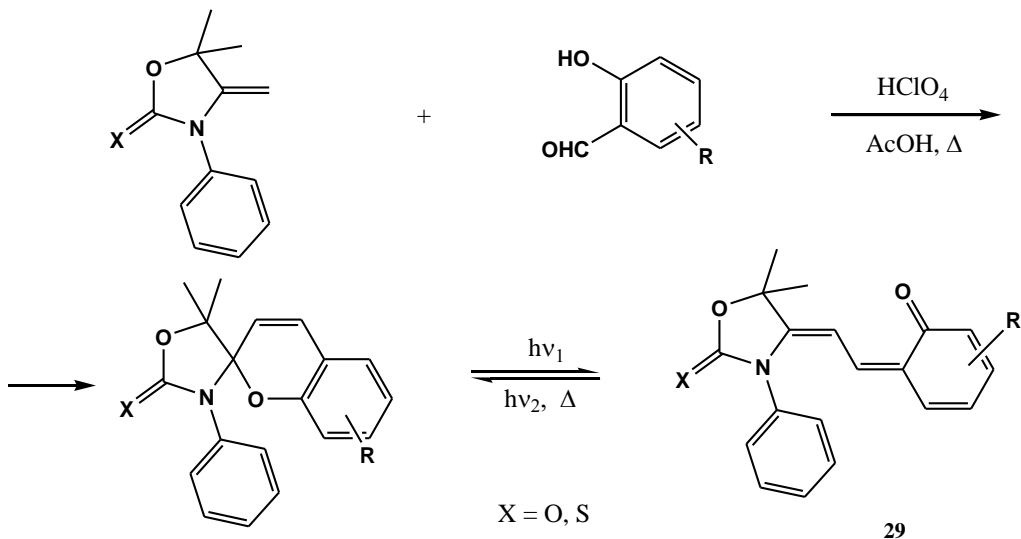


$R = Br, NO_2$

მონოპეტეროციკლებისაგან წარმოებული სპიროპირანების კლასი საგრძნობლად გაფართოვდა ნაჯერი აზაპეტეროციკლების ბაზაზე მიღებული სპიროპირანების ხარჯზე.

მდგრადი მეთილენური ფუმეების 5,5-დიმეთილ-4-მეთილენ-2-ოქსო(თიო)-3-N-ფენილ-1,3-ოქსაზოლიდინების კონდენსაციით ო-ჰიდროქსიარომატულ ალდეჰიდებთან ძმარმჟავაში, კატალიზური რაოდენობით მარილმჟავას თანაბისას, მოხერხდა შესაბამისი ფოტოქრომული სპიროპირანების მიღება **29** 60-70% გამოსავლიანობით (სქემა 12):

სქემა 12

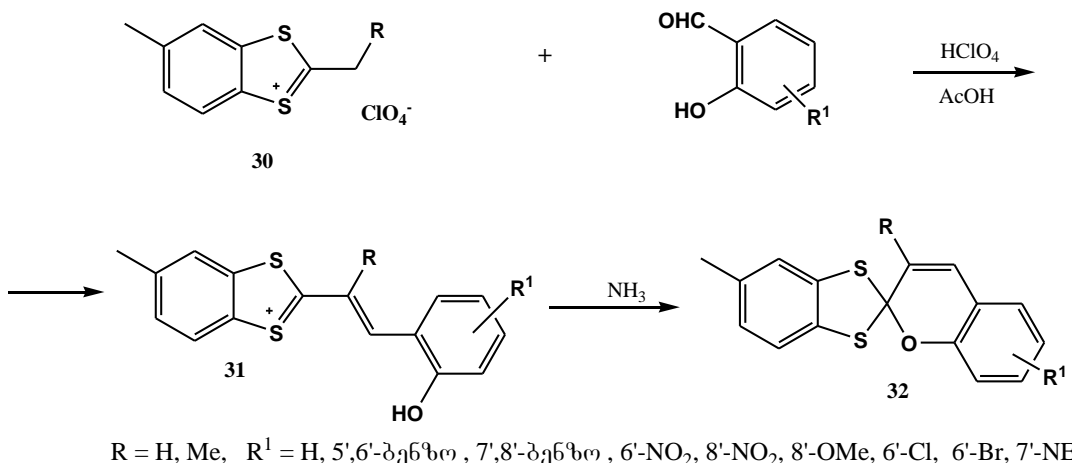


**1.1.2 სპიროპირანების მიღება ო-ჰიდროქსიარომატული ალდეჰიდების კონდენსაციით აქტიური მეთილენური ჯგუფის შემცველ ჰეტეროციკლურ გატიონთა მარილებთან: შუალედური სტირილური მარილების გამოყოფა და მჟავას ფრაგმენტების შემდგომი მოხლეჩა**

ამ შემთხვევაში სტანდარტულ პროცედურად ითვლება ო-ჰიდროქსიარომატული ალდეჰიდების კონდენსაცია აქტიური მეთილენური ჯგუფის შემცველ ჰეტეროციკლურ გატიონთა მარილებთან და მიღებული შუალედური სტირილური მარილებიდან მჟავას ფრაგმენტების შემდგომი მოხლეჩა აირადი ამიაკით ან ამინებით.

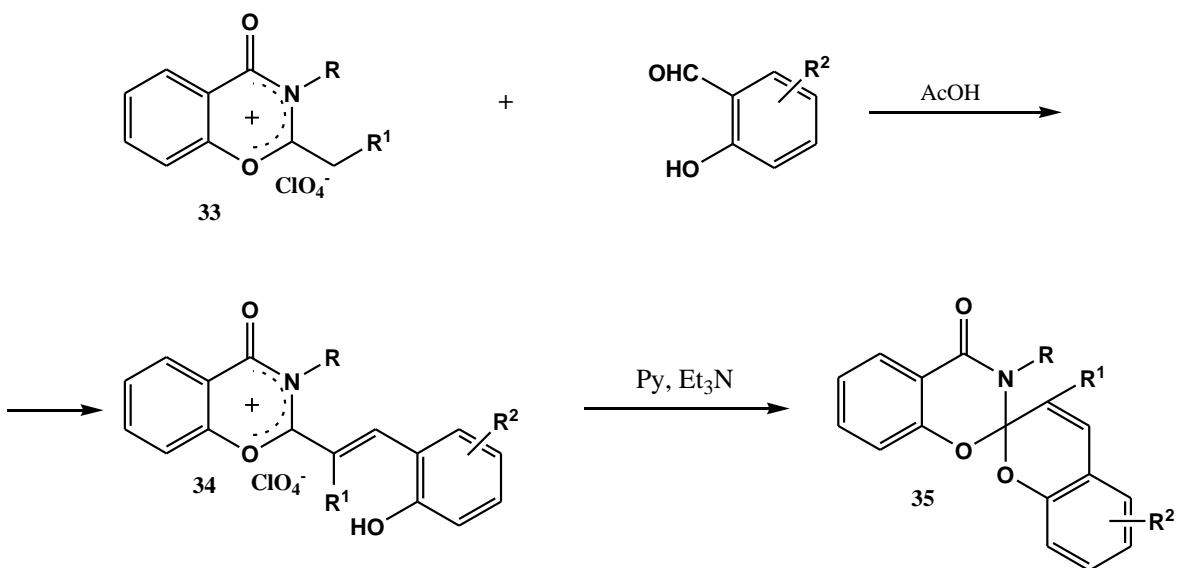
ანალოგიურად იყო განხორციელებული სპიროპირანების **32** სინთეზი; პერკლორატების 2,5-დიმეთილ- და 5-მეთილბენ-2-ეთილ-1,3-დითიოლის **30** კონდენსაციით ჩანაცვლებულ არომატულ ო-ჰიდროქსიბენზ(ნაფთ)ალდეჟიდებთან 10-15 წთ გაცხელებით ძმარმჯავას არეში 90-100°C ქლორის კატალიზური რაოდენობის თანაობისას (სტირილური მარილების 31 გამოყოფით). სტირილური ნაწარმების **31** გამოსავლიანობაა 60-80%. ისინი წარმოადგენს შეფერილ კრისტალურ ნივთიერებებს. მათგან ქლორის მჯავას ელემენტების მოხლებით მიიღება სპირპირანები **32**. გამოსავლიანობის ზრდას ხელს უწყობს ნაწარმების **31** მშრალი ამიაკის ეთერსნარით ან ბენზოლსნარით დამუშავება:

სქემა 13



როსტოვის სახელმწიფო უნივერსიტეტის სამეცნიერო კოლექტივის მიერ შემუშავებული იქნა ბენზოქსაზინონის რიგის სპირპირანების სინთეზის ორიგინალური ორსტადიანი მეთოდიკა, სტირილური მარილის **34** პრეპარატული გამოყოფით. ვინილის ფრაგმენტის ტრანს-ადნაგობა დამტკიცებულია  $^1\text{H}$ -ბმრ სპექტროსკოპიული მეთოდით. შემდგომში ნაერთიდან **34** მესამეული ამინებით ხდება ქლორმჯავას ელემენტების მოხლება, მიიღება სპირპირანები **35** [13] (სქემა 14):

სქემა 14



$\text{R} = \text{H}, \text{Me}, \text{i-Pr}, \text{CH}_2\text{Ph}; \text{R}^1 = \text{H}, \text{Me}; \text{R}^2 = \text{H}, \text{OMe}, 5,6-\text{d}(\text{E})\text{t}_2$

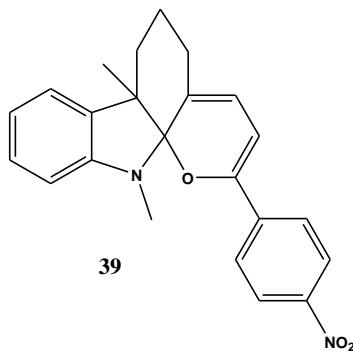
ქლორის მეავას ელემენტების მოხლებისათვის მესამეული ამინების არჩევა, განპირობებულია ბენზოქსაზინონის მაღალი რეაქციისუნარიანობით ამიაკის, პირველადი და მეორადი ამინების მიმართ.

ყველა ზემოთ ჩამოთვლილი სინთეზის ვარიანტების კომბინაციით მიღებულია კუმარინის რიგის სპიროპირანები **36**. ალდეჰიდურ კომპონენტად გამოყენებულია 7-ჰიდროქსი-4-მეთილ-8-ფორმილკუმარინი **[14]**:

ზოგჯერ მოსალოდნელი სპიროპირანების ნაცვლად მიიღება მხოლოდ ან-ჰიდროფუძეები **37**, რაც ავტორთა აზრით, განპირობებულია იმიდაზოლის ციკლის მეზონასშირბადის ატომის დაბალი ელექტროფილურობით. ელექტროფილურობის გაზრდა ბენზოიმიდაზოლის ფრაგმენტის ბენზოლის ბირთვში  $\pi$ -აქცეპტორული ჩამნაცვლებლების შეყვანის გზით. მიიღება მდგრადი სპიროპირანული სტრუქტურა **38**, 3' მდგომარეობაში ჩამნაცვლებლების არარსებობის შემთხვევაშიც კი. ამასთან, წარმოქმნილი ანჰიდროფუძეები **37** აპროტონულ გამსსნელებში დუღებით გარდაიქმნებიან სპიროპირანულ სტრუქტურებად **38**:

ქვანტურ-ქიმიური მეთოდების გამოყენებით დადგინდა, რომ ჰეტეროციკლურ კატიონთა ლოკალიზაციის ენერგიის  $L_a \leq 6,19$  მნიშვნელობა შეესაბამება სპიროციკლურ სტრუქტურას, ხოლო  $L_a > 6,39$  კი - მეროციანინურ ფორმას. შესწავლილია ჩამნაცვლებლის გავლენა ბენზოპირანულ ნაწილში. კერძოდ, ნაჩვენებია, რომ 6,7-ბენზოანელიორებული ნაწარმები გაცილებით მდგრადნი არიან სპიროპირანულ ფორმაში.

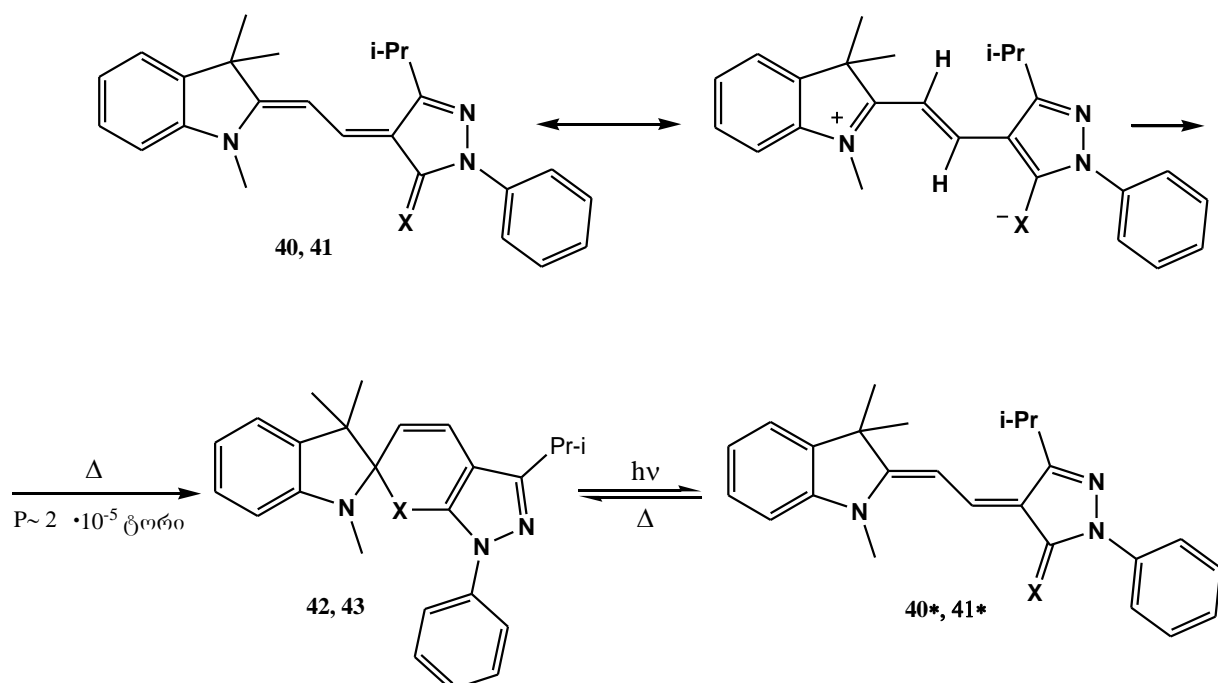
ერთბირთვიანი ჰეტეროციკლების სპიროპირანების სინთეზი საკმაოდ ითლად ხორციელდება, მაგრამ სპირო[2H]პირანის ტიპის “მონოციკლური” სპირონაერთების მიღება ხანგრძლივი დროის მანძილზე ვერ ხერხდებოდა, სავარაუდოდ, მათი მეროციანინურ ფორმაში არსებობის გამო. მხოლოდ მას შემდეგ, რაც შეირჩა სპიროფორმის მასტაბილირებელი სტრუქტურული ფაქტორები, მოხერხდა ინდოლინური ნაწარმის **39** სინთეზი. ამ ნაერთს არ აღმოაჩნდა ფოტოქრომული თვისებები. აქედან შესაძლებელია გაკეთდეს დასკვნა, რომ ფოტოქრომიზმის აუცილებელი პირობაა პირანული და არომატული ბირთვების კონდენსაცია **[15]**.



როსტოვის სახელმწიფო უნივერსიტეტის ფიზიკური და ორგანული ქიმიის სამეცნიერო-კვლევით ინსტიტუტში დამუშავებულია სპირონაერობის “მყარ-ფაზური” სინთეზის მეთოდი, რომელიც სპიროპირანების მიღების საშუალებას იძლევა იმ შემთხვევაში, როცა მეროციანური იზომერის ენერგია უფრო დაბალია, ვიდრე ციკლურისა და როცა სპიროპირანების მიღების სტანდარტული მეთოდები უშედეგობა. ამგვარად ხდება შესაძლებელი სპიროპირანების მდგრადი “მონოციკლური” ანალოგის მიღება.

1',3',3'-ტრიმეთილსპირო[2H]-1-(ფენილ-3-იზოპროპილპირაზოლო)[4,5-ე]თიაპირან-2,2-ინდოლინი]-სა (42), და 1',3',3'-ტრიმეთილსპირო[2H]-1-(ფენილ-3-იზოპროპილპირაზოლო)[4,5-ე]სელენპირან-2,2'-ინდოლინი]-ს (43) მიღება ჩვეულებრივი მეთოდებით არ მოხერხდა. ციკლიზაცია მიმდინარეობს მხოლოდ თერმულ-ვაკუუმურ პირობებში შესაბამისი 5-იზოპროპილ-2-ფენილ-4-[2-(1',3',3'-ტრიმეთილ-1,3-დიპიდრო-ინდოლ-2-ილიდენ)ეთილიდენ]-2,4-დიპიდროპირაზოლ-3-თიონის (40) ან 5-იზოპროპილ-2-ფენილ-4-[2-(1,3,3'-ტრიმეთილ-1,3-დიპიდროინდოლ-2-ილიდენ)ეთილიდენ]-დიპიდროპირაზოლ-3-სელენონის (41) გაცივებულ ზედაპირზე დაფრქვევით:

სქემა 15



**40, 40\* 42 X = S, 41, 41\* 43 X = Se**

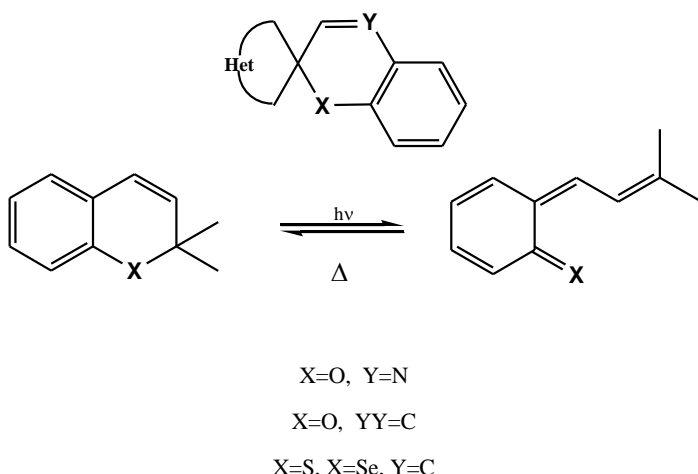
ამასთან, დია მეროციანინური ფორმა მთლიანად გადადის დახურულ სპიროპირანულ ში. შემოთავაზებული მეთოდი იძლევა სპიროპირანულ გენერატორის მიღების შესაძლებლობას იმ შემთხვევებისათვის, როცა ენერგია დიაჯაჭვიანი იზომერის ძირითადი ფორმისათვის ნაკლებია ციკლური იზომერის ენერგიაზე.

უი დასხივებისას **42** გადადის ”გააქტივებულ” დია ფორმაში **40\***, რომელიც შექცევადი თერმული რეაქციის პირობებში შესაძლოა გადავიდეს ნაერთ **42**-ში.

### 1.1.2 სპიროპირანების პეტეროანალოგების მიღება

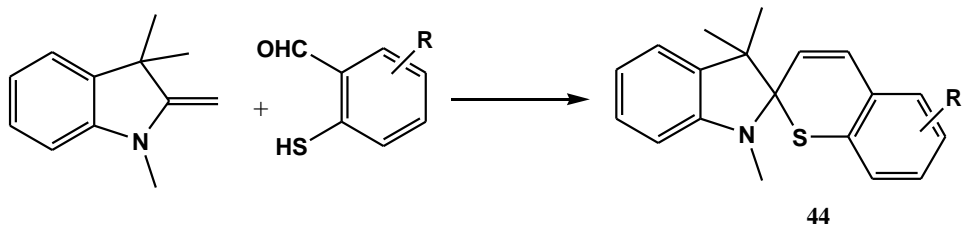
ამჟამად ცნობილია სპიროპირანების პეტეროანალოგები ზოგადი ფორმულით – სპიროჟსაზინები (სქემა 16) ( $X=O, Y=N$ ) და სპიროპირანების იზოლოგები (სქემა 16) ( $X=O, Y=C$ ). ამ ნაერთების მიმართ ინტერესი განპირობებულია უპირველეს ყოვლისა იმით, რომ  $[2H]$ ქრომენების ( $X=O$ ) და მისი იზოლოგების  $[2H]$ თიაქრომენების და  $[2H]$ სელენქრომენების ( $X=Se$ ) ფოტოქრომული თვისებების შესწავლამ აჩვენა, რომ უანგბადის შეცვლა გოგირდითა და სელენით იწვევს დია ფოტოინდუცირებული ფორმისათვის ძლიერ ბატოქრომულ გადანაცვლებას გრძელტალღოვან შთანთქმის უბანში (სქემა 16).

სქემა 16



ქრომენების, თიაქრომენების, სელენქრომენების სპექტრების დასხივებამდე და დასხივების შემდეგ შედარებამ აჩვენა, რომ პეტეროატომის ვარირება მცირე გავლენას ახდენს უფერო ციკლურ ფორმებზე. ხოლო შეფერილი ფოტოინდუცირებული ფორმებისათვის 0-დან 5-ზე გადასვლას მივყავართ ბატოქრომულ გადანაცვლებამდე 100-ნმ-მდე. სელენქრომენის დია ფორმისათვის გრძელტალღოვანი შთანთქმის ზოლი სპექტრში 660 ნმ-ზეა, თიაქრომენისთვის (570 ნმ), ხოლო ქრომენისა – 470 ნმ.

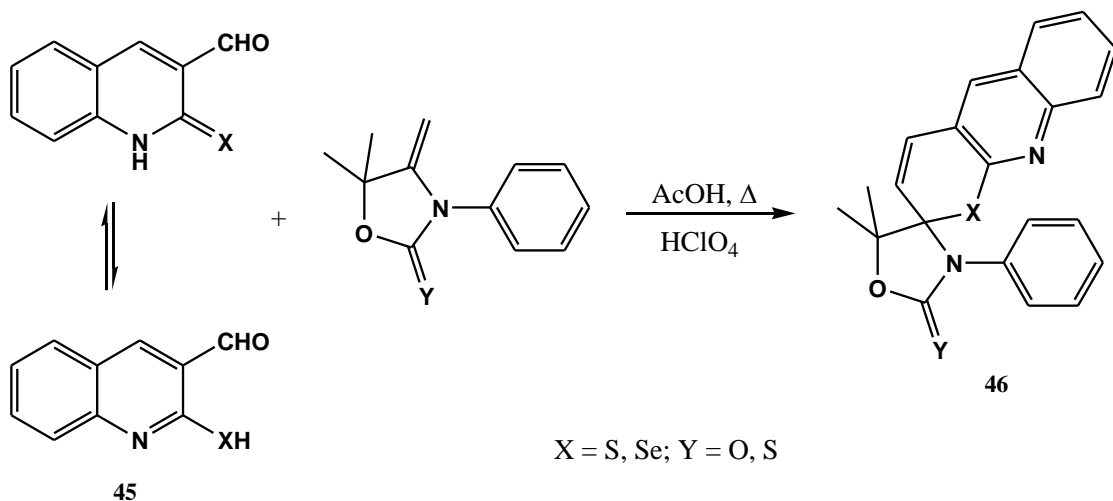
თიოსპიროპირანები **44** წარმოადგენენ ინდოლინოსპიროქრომენების პეტეროანალოგებს, რომლებშიც პირანულ რგოლში უანგბადი ჩანაცვლებულია გოგირდით. მისი მიღება ხდება ფიშერის ფუძისა და თიოსალიცილის ალდებიდის დუღებით მეთანოლში. ამ ნაერთებს, უანგბადშემცველ ანალოგებთან შედარებით, შეფერილი ფორმებისათვის ახასიათებთ შთანთქმის გრძელტალღოვან ზოლში ძლიერი ბატოქრომული გადანაცვლება (სქემა 17):



შემუშავებულ იქნა თიასპიროპირანების **44** მიღების მეთოდი ინდოლენილების მეოთხეული მარილების, თიასალიცილის ალდეჰიდისა და პიპერიდინის ეთანოლში დაუდებით.

სპიროსელენპირანების მიღება გართულებულია მდგრადი სელენსალიცილის ალდეჰიდების არარსებობის გამო. მაგრამ მიუხედავად ამისა, სინთეზი განხორციელებულ იქნა 3-ფორმილ-2-(1H)-ქინოლინსელენონის ალდეჰიდურ კომპონენტად გამოყენების შემთხვევაში (**45**, X = Se) [16].

ანალოგიურად იქნა მიღებული კონდენსირებული ქინოლინური ფრაგმენტის შემცველი სპიროპირანები **46** (X=Se) [17] (სქემა 18).



### 1.1.3 ბის-სპიროპირანები

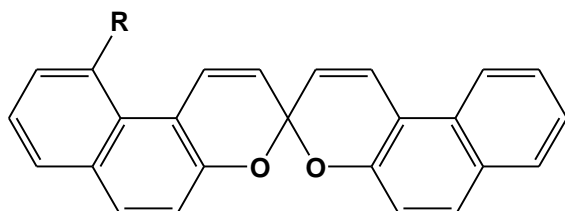
დაგროვილმა სინთეზურმა და თეორიულმა გამოცდილებამ, აგრეთვე მზარდმა ტექნიკურმა მოთხოვნილებამ სპიროპირანებზე, განაპირობა მეცნიერთა დაინტერესება ახალი სტრუქტურებისადმი, რომლებიც შეიცავენ ერთზე მეტ ფოტოქრომულ ცენტრებს, რადგანაც შეუდლებული ქრომოფორების თეორიების თანახმად, მოსალოდნელია სპექტრალური მახასიათებლების გაუმჯობესება.

ბოლო ათწლეულების განმავლობაში სინთეზირებულ იქნა მთელი რიგი ბისსპიროპირანები და ერთზე მეტი სპიროციკლური ცენტრების შემცველი ნაერთები [88]. მიუხედავად ამისა, მიღებული შედეგების განზოგადება მაინც ვერ მოხერხდა.

ბის-სპიროპირანები საინტერესონი არიან იმ მხრივ, რომ ორივე პირანული ფრაგმენტის ერთდროულად გახსნისას შეუდლების ჯაჭვი მნიშვნელოვნად იზრდება და ფოტონდუცირებული ფორმის შთანთქმის ზოლის მაქსიმუმი განიცდის ძლიერ ბატოქრომულ წანაცვლებას.

ბოლო წლებში სრულყოფილ იქნა სპიროპირანების მიღების კლასიკური მეთოდი არომატული ო-ალდეჰიდების კეტონებთან კონდენსაციით, როგორც ერთსტადიან, ასევე ორსტადიან მოდიფიკაციებში.

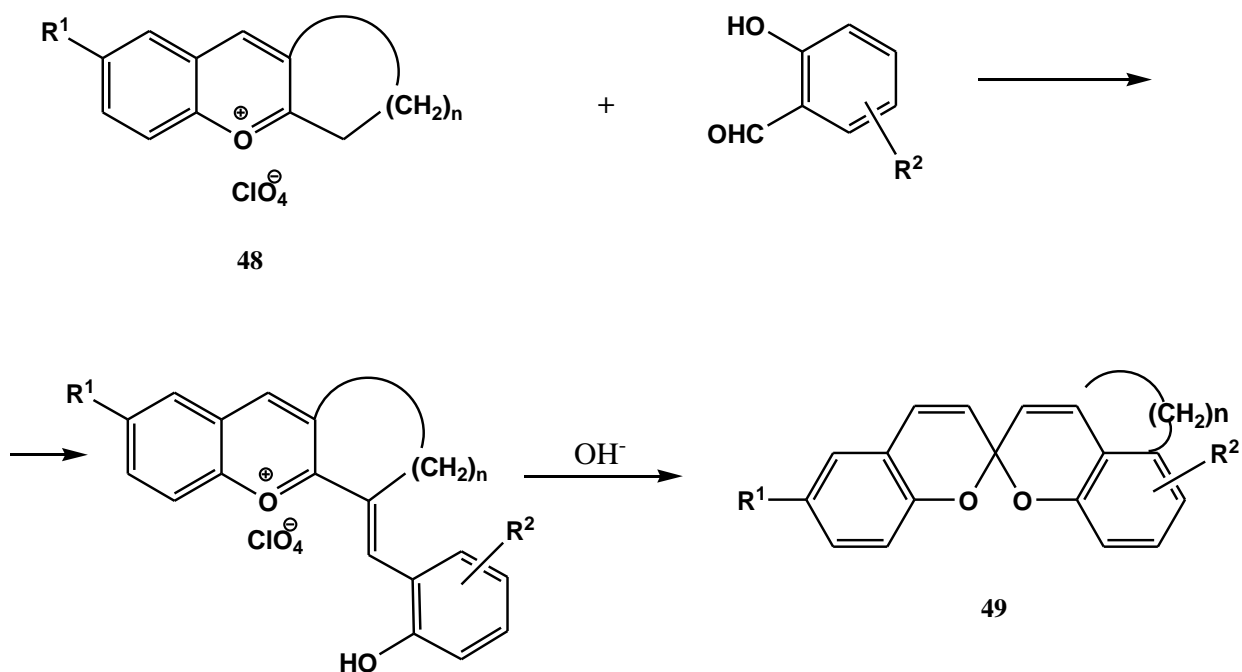
ბის-სპიროსისტემების ტიპიური წარმომადგენლები სპიროდინაფთოპირანები (47), რომელშიც ნაფთოპირანული ფრაგმენტი დაკავშირებულია სპირონახშირბადოვანი ატომით.



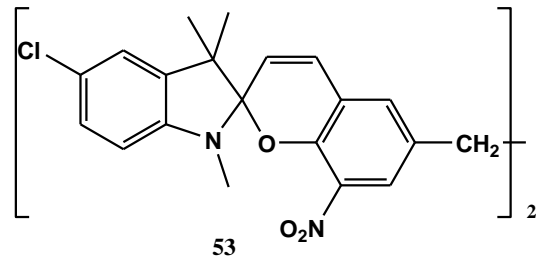
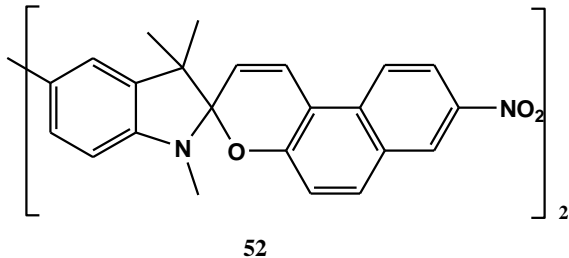
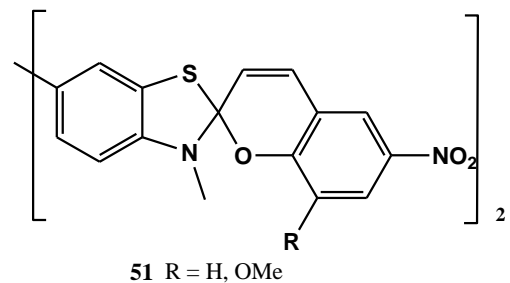
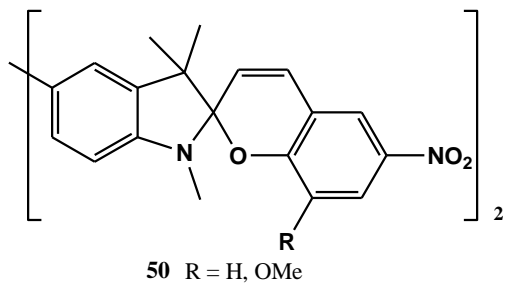
47

მარილიდან 48 მიღებულ იქნა სპიროდინაფთოპირანების საინტერესო ანალოგები 49. ეს მეთოდი იძლევა არასიმეტრიული ბის-სპიროპირანების მიღების საშუალებას (სქემა 19):

სქემა 19



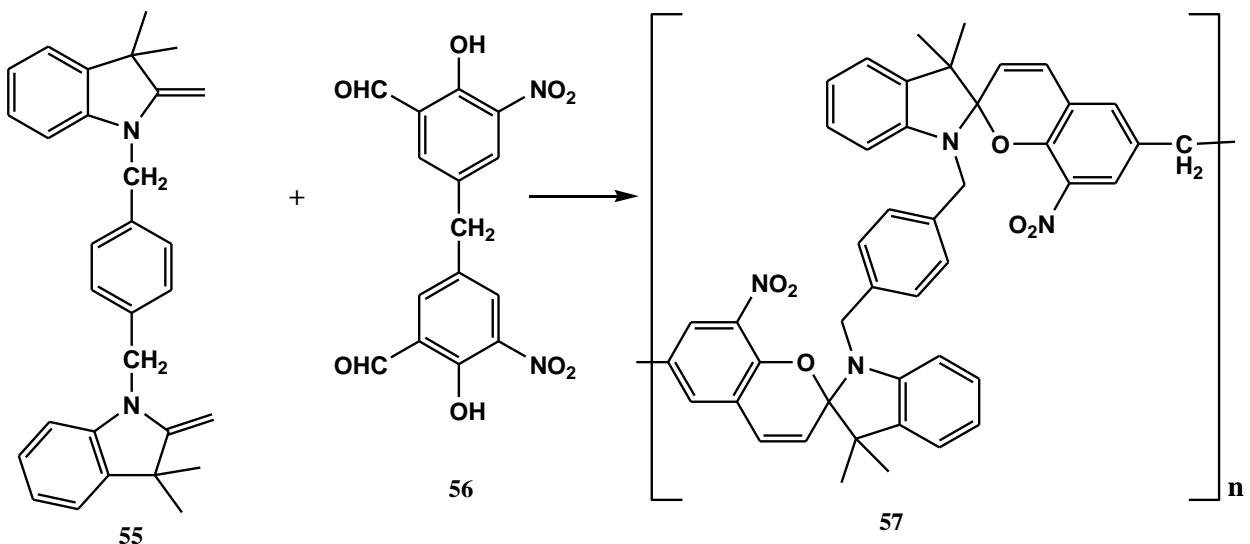
მიღებულ იქნა ერთმაგი ბმით დაკავშირებული ბის-სპიროპირანები, რომებშიც ორი სპიროპირანული ფრაგმენტი ერთმანეთთან დაკავშირებულია ჰეტარენული (ნაერთი 50-52) ან ბენზოპირანული (ნაერთი 53) კომპონენტით.



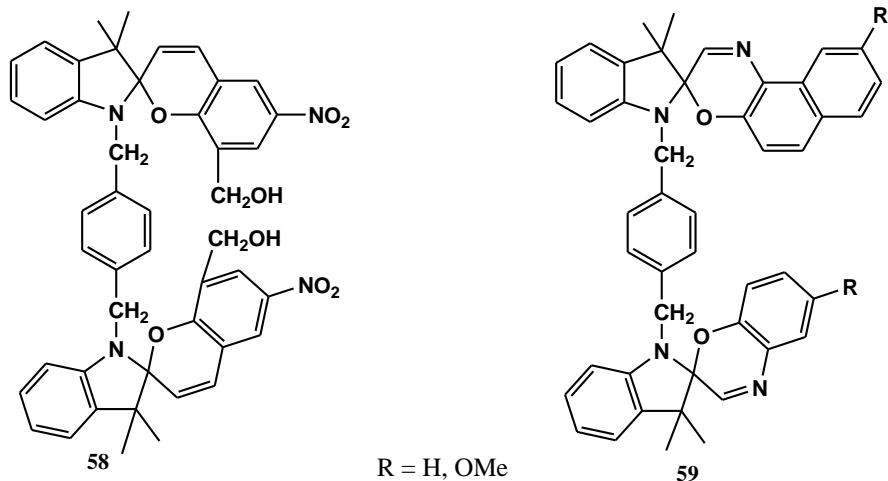
ცნობილია სპირობიპირანი 54 [18], რომლის მისაღებად გაენებულ იქნა ჰექსაჰიდროპიროლო[3,2-*f*]ინდოლი, თუმცა დია ფორმის შთანთქმის ზოლი 598 ნმ-ზე მეტყველებს იმაზე, რომ ამ შემთხვევაში იხსნება მხოლოდ ერთი ციკლი [18].

ორ ბიფუნქციურ პარტნიორს, ბის-2-მეთილენინდოლინსა 55 და ბის-სალიცილის ალდეჰიდს 56 შორის შეიძლება წარიმართოს პოლიკონდენსაციის რეაქცია, რომელსაც მივყავართ სპიროპირანულ რგოლების შემცველ ფოტოქრომულ პოლიმერამდე 57 [88].

სქემა 20

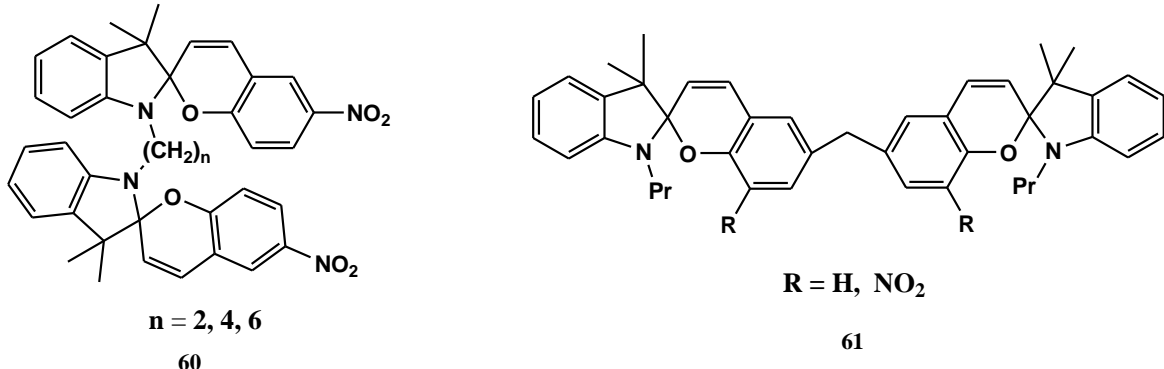


ბის-2-მეთილენინდოლინის გამოყენებით მიღებულია ბის-სპიროპირანები 58 და მათი ჰექტეროანალოგები – სპიროოქსაზინები 59 [88]:

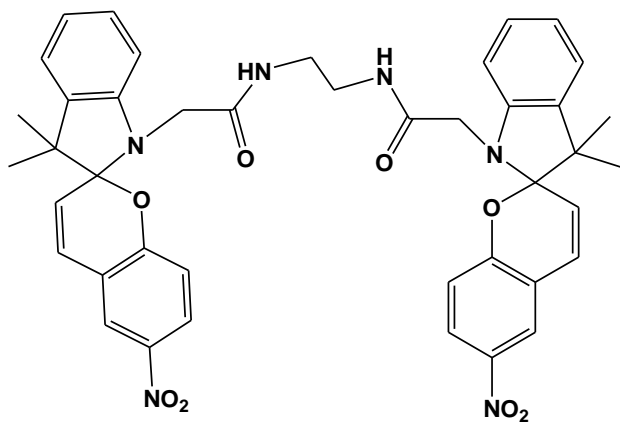


მიღებული ნაერთების ფოტოქრომული თვისებების შესწავლამ აჩვენა უმნიშვნელო განსხვავება მონო- და ბის-სპიროპირანებს შორის. დია ფორმის შთანთქმის ზოლები მდებარეობს 580-600 ნმ, რაც მეტყველებს მხოლოდ ერთი ბირთვის გახსნაზე.

ანალოგიურად იქნა მიღებული ბის-სპიროპირანები **60** და **61** [88].

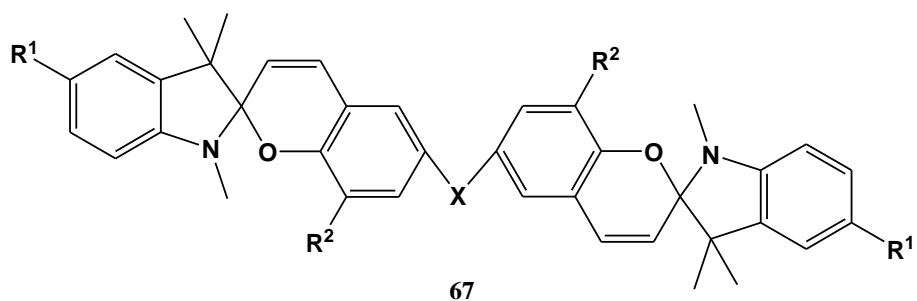


ბის-სპიროპირანი **62** მიღებულ იქნა 2 მოლი 1,2,3,3-ტრიმეთილინდოლენინის, 1 მოლი 1,3-დიქლოაცეტამიდოპროპანისა და 2 მოლი ნატრიუმის იოდიდის ნარევის კონდენსაციით 2 მოლ 5-ნიტროსალიცილის ალდეჰიდთან. კალციუმთან და მაგნიუმთან კომპლექსების წარმოქმნით ხდება ორივე სპიროციკლის გახსნა.



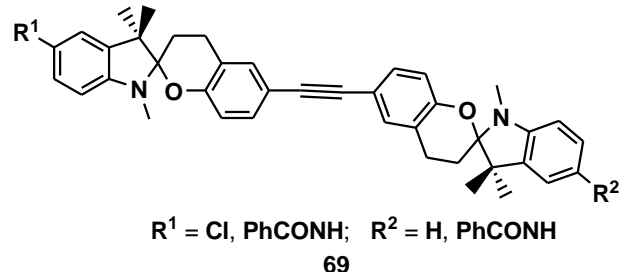
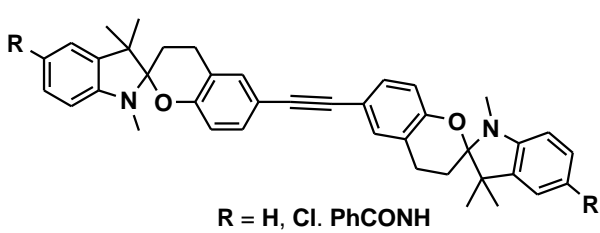
ცნობილია სიმეტრიული ინდოლინური ბის-სპიროპირანები **63-65**, რომელთა მოლეკულებში სპიროციკლური ცენტრები ერთმანეთთან დაკავშირებულია შეუღლებული ბმებით [88]. მაგრამ **63-65** ნაერთების სტრუქტურა არ იქნა დამტკიცებული თანამედროვე ფიზიკო-ქიმიური ანალიზის მეთოდებით. ეჭვს იწვევს დიალდეპიდი **66**, რადგან ლიტერატურული მონაცემების მიხედვით, სარეაქციო არიდან მისი გამოყოფა მოხდა ჰიდრაზონის სახით უმნიშვნელო გამოსავლიანობით.

სინთეზირებულია ახალი თერმო- და ფოტოქრომული თია- და კარბონილ-ბისსპიროპირანები **67**, 5,5'-თიობისსალიციალდეპიდების ან მათი 5,5-ჯარბონილური ანალოგების ურთიერთქმედებით ფიშერის ფუძის ნაწარმებთან მოლური თანაფარდობით 1 : 2,5. თიაბისსპიროპირანებმა ვერ გამოამჟღავნეს ფოტოქრომული თვისებები, ხოლო კარბონილური ხიდებით დაკავშირებულმა სპიროპირანებმა გამოავლინეს სუსტი თერმო- და ფოტოქრომიზმი.

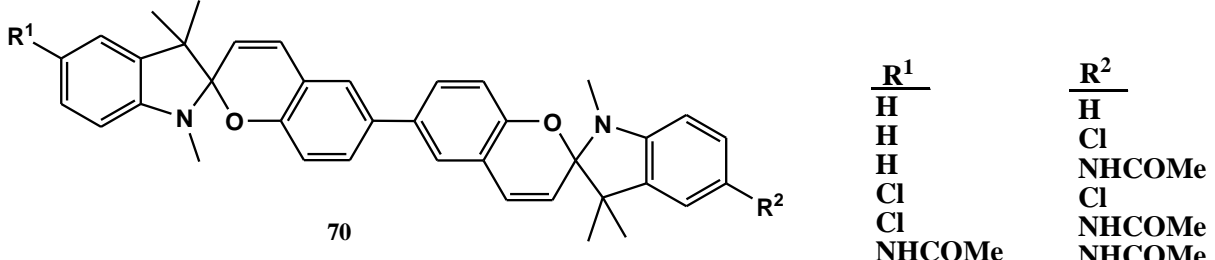


<u>X</u>	<u>R<sup>1</sup></u>	<u>R<sup>2</sup></u>
S	H	H
CO	H	H
CO	H	Cl
S	NO <sub>2</sub>	H
S	NO <sub>2</sub>	Cl
S	NO <sub>2</sub>	NO <sub>2</sub>

ამავე მეთოდით იქნა სინთეზირებული სიმეტრიული **68** და არასიმეტრიული **69** ბისსპიროპირანები.



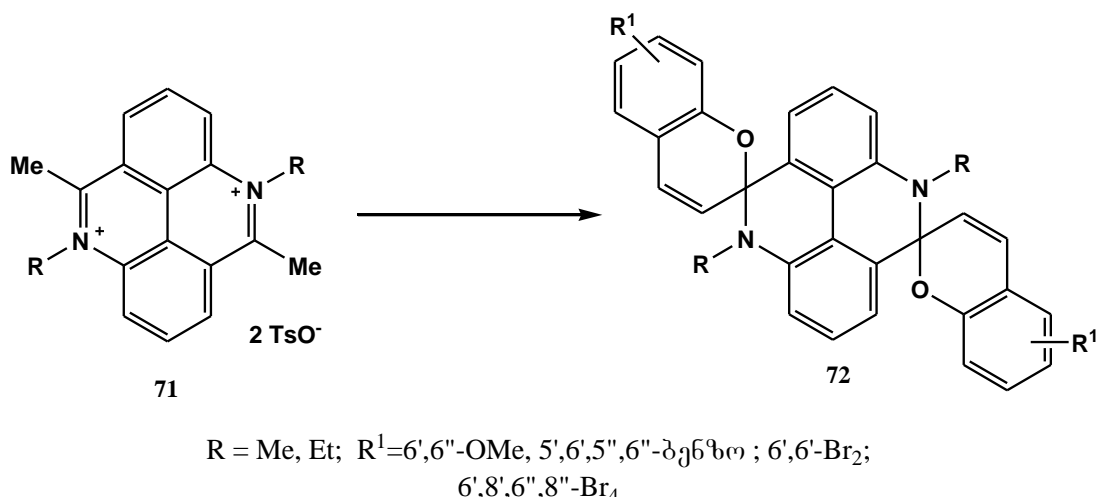
5,5 - ბისსალიცილის ალდეჰიდის ბაზაზე მიღებულ იქნა სიმეტრიული და არასიმეტრიული ბის-სპიროპირანები 70 [19]:



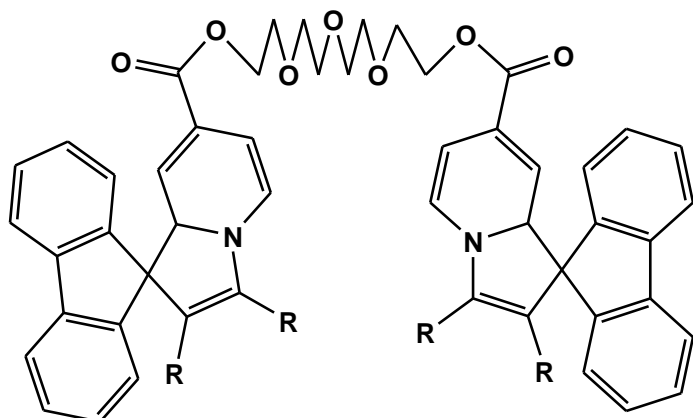
აღსანიშნავია, რომ ზემოთ მოყვანილ შრომებში [19] როგორც სიმეტრიული, ასევე არასიმეტრიული ბისსპიროპირანები მიღებულ იქნა ორ სტადიად; თავდაპირველად ახდენენ შესაბამისი ბისსალიცილის ალდეჰიდის კონდენსაციას 2-მეთილენ-1,3,3-ტრიმეთილნდოლინის ექვიმოლურ რაოდენობასთან. მეორე სტადიაზე გამოყოფილი მონოსპიროპირანი რეაგირებდა შესაბამის 2-მეთილენ-1,3,3-ტრიმეთილნდოლინის ექვიმოლურ რაოდენობასთან. როგორც ჩანს, ბისსალიცილის ალდეჰიდის პირდაპირი კონდენსაციით 2 მოლინდოლინთან, კონდენსაციის ძირითად პროდუქტებს წარმოადგენენ ნაერთის 8 ტიპის ნაერთები [3].

5,10-დიმეთილ-4,9-დიაზაპირენის 71 მეორეული მარილების კონდენსაციით ჩანაცვლებულ სალიცილის ალდეჰიდებთან სპირტში ან დმფა-ში გაცხელებისას პიპერადინის დამატებით, მიიღება უფერო სპიროპირანები (72) (სქემა 21):

სქემა 21



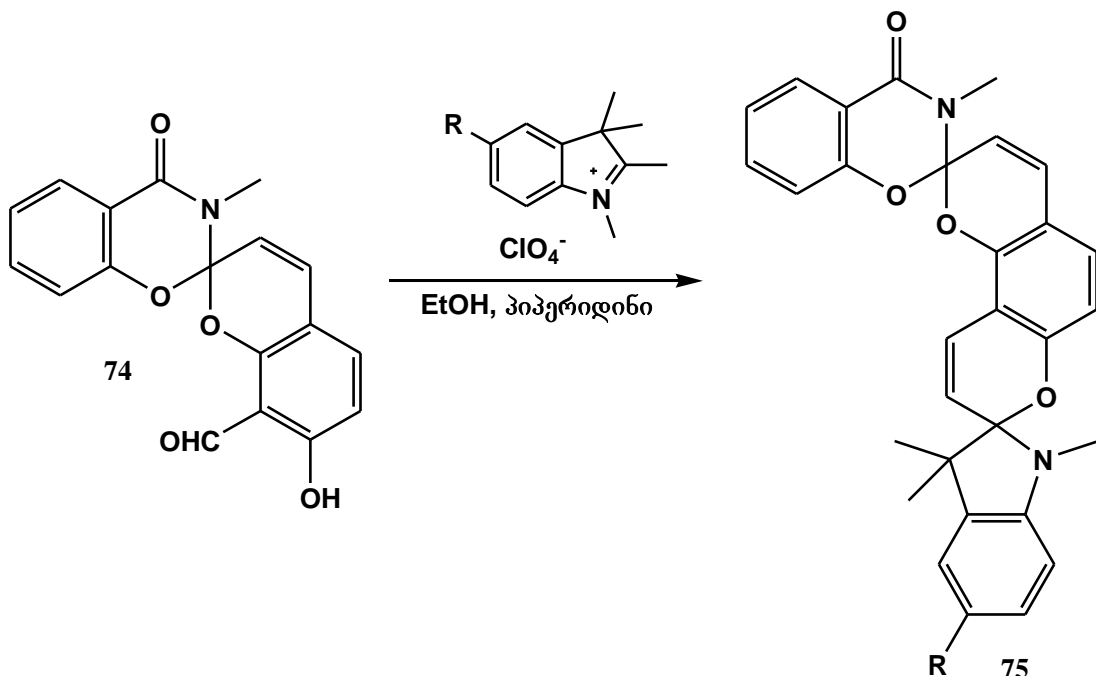
აქტიურად მიმდინარეობს სხვადასხვაგვარი ალტერნატიული ბისსპირონაერთების ძიება, რომელთაც აქვთ ფოტოქრომული თვისებები[88]:



73

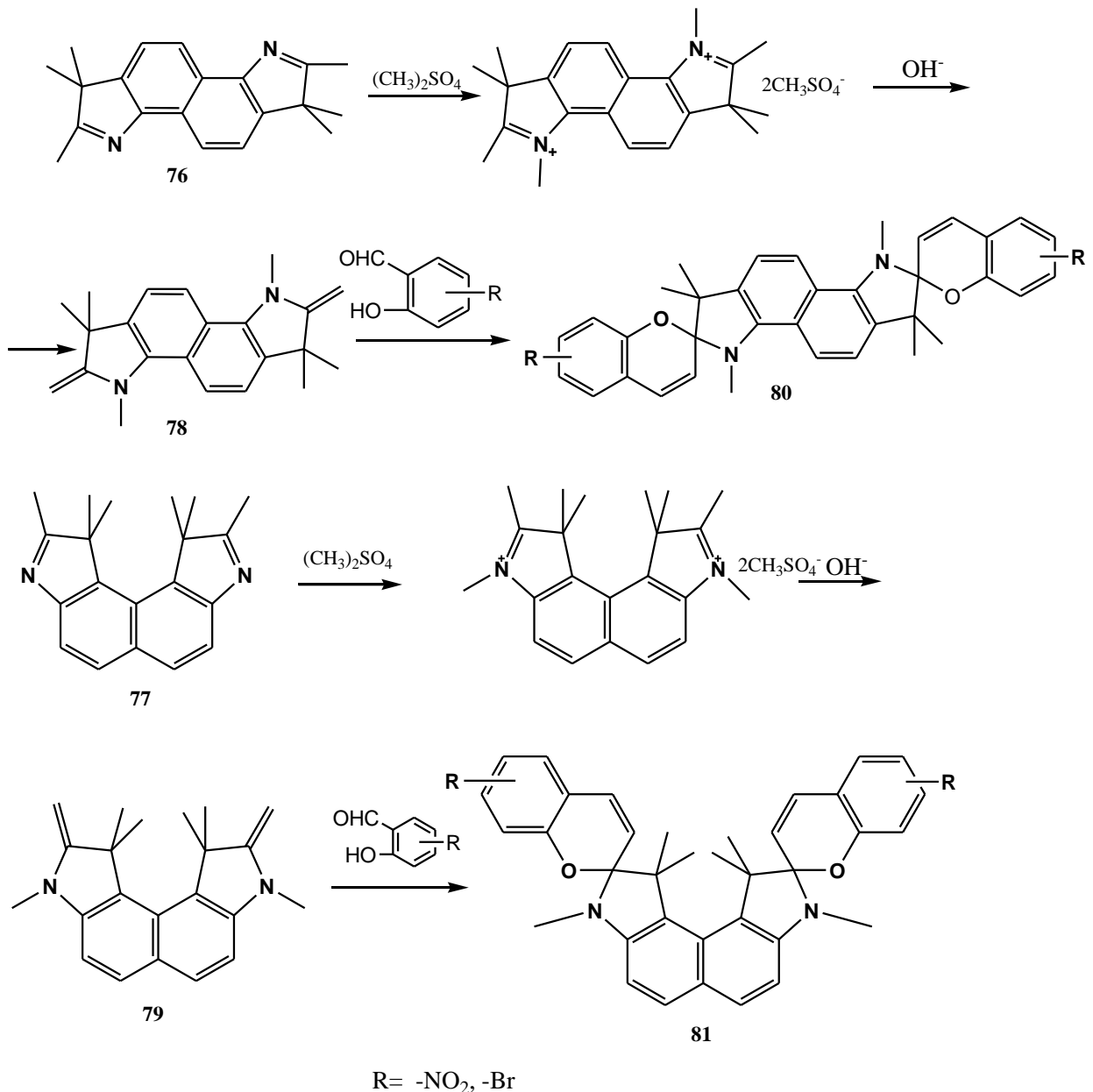
აღწერილია ბისპიროპირანი 73, მიღებული სპიროპირანის 74 ბაზაზე, რომელიც წარმოადგენს სალიცილის ალფა-ჰიდრინის თავისებურ ანალოგს. სინთეზი-რებულია სპიროპირანი 75. იგი შეიცავს ორ განსხვავებულ სპიროციკლურ ცენტრს და შესაბამისად, მოლექულაში ორ სხვადასხვა პეტარენულ ფრაგმენტს [20] (სქემა 22):

სქემა 22



თუ თრგანული ქიმიის მიმართულებაზე სინთეზირებულ იქნა ახალი ბისპიროპირანული სისტემები იზომერული პექსამეთილდიდონდოლოინდოლურისა და ჩანაცვლებული სალიცილის ალფა-ჰიდრინის საფუძველზე, რის შესახებაც მოხსენებულ იყო საერთაშორისო კონფერენციაზე [21].

იზომერული დიპიდროინდოლოინდოლების 76, 77 საფუძველზე მიღებულია სპიროპირანის ბირთვის შემცველი ფოტოქრომული სისტემები 80, 81. სინთეზი განხორციელებულია ფიშერის ფუძეების 78, 79 კონდენსაციით სალიცილის ალფა-ჰიდრინი შემდეგი სქემებით [22]:



#### 1.1.4 სპიროპირანების გამოყენება

სპიროპირანების, სპიროოქსაზინებისა და 2[H]ქრომენების ბაზაზე მიღებული ფოტოქრომული ნაერთები წარმოადგენენ პერსპექტიულ უვერცხლო შუქმბძნობიარე მასალებს ინფორმაციის ოპტიური ჩაწერისათვის, ფოტოგადამრთველების დასამზადებლად, შუქფილტრებად, მინიატურული პიბრიდული მრავალფუნქციური მასალების დასამზადებლად.

გამოყენება ჰპოვეს ტრადიციულმა ინდოლინურმა და სხვა რიგის სპიროპირანებმა აზოშემცველი პეტეროციკლების ბაზაზე, აგრეთვე ინდოლინოსპიროპირანებმა, რომელთათვისაც დამახასიათებელია ფოტოინდუცირებული ფორმის შთანთქმის ზოლის გადანაცვლება ელექტრონული სპექტრის ინფრაწითელ (იწ) უბანში. შუქფირების დასამზადებლად იყენებენ პოლიეთერულ ფირებს. დიდი

გამოყენება პპოვეს ქადალდზე დატანილმა სპიროშემცველმა პოლიმერულმა ფირფიტებმა. ფოტოქრომული ლინზების დასამზადებლად გამოყენებულ იქნა სინთეტიკური ფირები გარდატეხის მაღალი მაჩვენებლით. სპიროპირანებმა გამოყენება პპოვეს კოსმეტიკაშიც [88].

თანამედროვე ფოტოქრომული მასალების შექმნა ითვალისწინებს ახალი ტიპის სპიროპირანების შერწყმას მოდიფიცირებულ მატარებლებთან; კერძოდ ლენგმიურ-ბლოდჟეტის ფირები შეიცავენ სპიროპირანებს ფოტორეცეპტორების სახით, აგრეთვე როდოფსინს, ფოტოსიგნალის ინტენსიურობის გასაუმჯობესებლად [23].

სპიროპირანების საფუძველზე მიღებული ფოტოქრომული მასალები, რომელებიც მგბნობიარენი არიან ულტრაიისფერი (უი) გამოსხივების მიმართ, გამოიყენება დეტექტორებად, მხედველობის ორგანოების დასაცავად, ფოტოქრომული, მათ შორის ოფთალმოგიური ლინზების დასამზადებლად.

სპიროპირანების ბაზაზე მიღებული მასალების გამოყენებას სხვადასხვა ხელსაწყოებში, მათ შორის თხელ ფირებზე, ოპტიკური ინფორმაციის ჩასაწერად, დაემატა ინფრაწითელი გამოსხივებისადმი მგრძნობიარე ახალი საშუალებები [88].

ოპტიკური ინფორმაციის ფიქსაციისა და მისი შენახვის ვადის გაზრდის მიზნით გამოიყენება ფხვნილის და ფირის მასალები, რომლებიც მიიღებიან სპიროპირანების იონშემცველი კომპლექსებისა და სპიროპირანული თანაპოლიმერულისაგან.

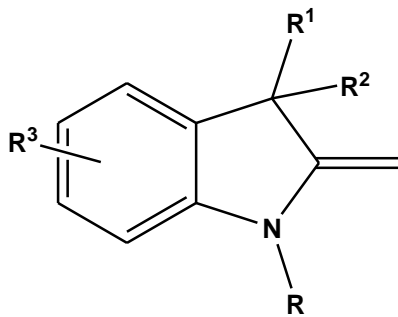
სპიროპირანები გამოიყენებიან ბიოპოლიმერული ნანოსტრუქტურის მქონე ფოტოფირების მისაღებად, აგრეთვე ფოტოქრომულ და ელექტროოპტიკურ ხელსაწყოებში [24] ფოტოგადამრთველებში და მულტიფუნქციონალურ ხელოვნურ რეცეპტორებში. პერსპექტიულია ფოტოქრომული სპიროპირანების გამოყენება სხვადასხვა ტიპის ოპტიკური მესხიერების შესაქმნელად ქვანტურ კომპიუტერებში [25].

## 1.2 2-მეთილენინდოლინური ფუძეები

2-მეთილენინდოლინური ფუძეები წარმოადგენენ მნიშვნელოვან შუალედურ პროდუქტებს მრავალი ორგანული ნაერთის სინთეზისათვის. მათგან მიიღება მრავალრიცხოვანი საღებრები, რომლებიც გამოიყენებიან სინთეზური ბოჭკოს, ტყავის, ბამბის შესაღებად [27], ასევე სენსიბილიზატორებად შუქმგრძნობიარე მასალებში, თხევადკრისტალურ და ნახევრადგამტარულ ლაზერებში. დიდი პრაქტიკული მნიშვნელობა აქვს 2-მეთილენინდოლინებიდან სინთეზირებულ ფოტოდა თერმოქრომულ მასალებს, რომლებმაც გამოყენება პპოვეს ფოტოგრაფიაში შუქფილტრების, ასლგადამღები მასალების დასამზადებლად, ინფორმაციის ჩაწერისა და შენახვისათვის. ინფორმაციის ჩასაწერად გამოიყენება მეთილენინდოლინური ფუძეების აზოშეუდლების რეაქციებიც.

2-მეთილენინდოლინური ფუძეების ნაწარმებიდან ცნობილია ნაერთები, რომელთაც აღმოაჩნდათ სიმსივნის საწინააღმდეგო აქტიურობა.

2-მეთილენინდოლინების უმარტივესი წარმომადგენელია ფიშერის ფუძე:



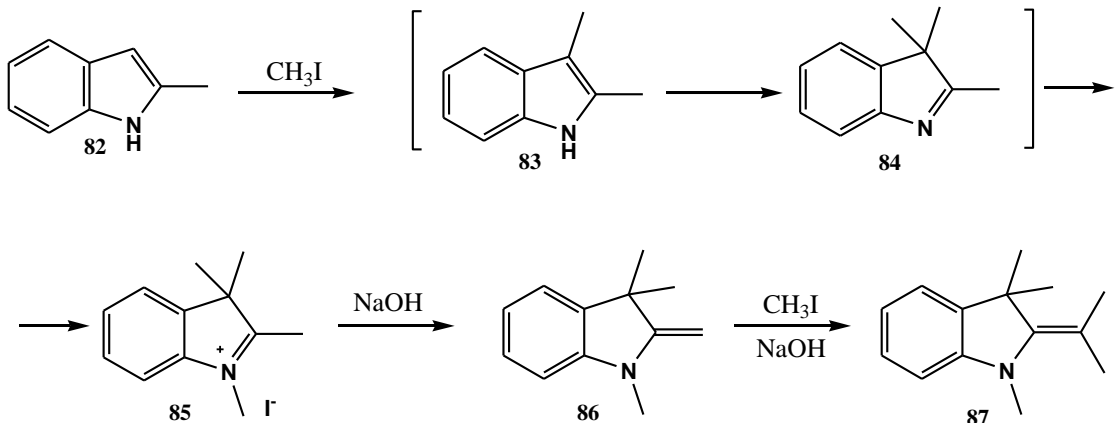
არსებობს 2-მეთილენინდოლინური ფუძეებისა და მათი მეოთხეული მარილების სინთეზის რამდენიმე მეთოდი:

1. ინდოლისა და ჩანაცვლებული ინდოლების ალკილირების რეაქციები;
2. ნაჯერი რიგის კეტონების არილჰიდრაზონების ციკლიზაცია;
3. α-ჰალოგენ და α-ჰიდროგენ და ა-ჰიდროკსიკეტონების ურთიერთქმედება ანილინთან.

### 1.2.1 ინდოლისა და ჩანაცვლებული ინდოლების ალკილირების რეაქციები

მეთილენინდოლინური ფუძეების მიღება ხდება ინდოლებისა და ჩანაცვლებული ინდოლების გაცხელებით ჰალოგენალკილებთან მაღალი წნევის პირობებში (სქემა 24):

სქემა 24



ფიშერის ფუძე **86** მიღება 2-მეთილინდოლის (**82**) მეთილიოდიდთან ურთიერთქმედებით მეთანოლის არეში 80%-იანი გამოსავლიანობით. რეაქცია მიმდინარეობს მირჩილულ ამპულებში ან ავტოკლავში 100°C ტემპერატურაზე [28]. რეაქციის დროს ხდება შუალედური პროდუქტების წარმოქმნა: 2,3-დიმეთილინდოლის (**83**); 2,3,3-ტრიმეთილინდოლენინის (**84**) და 2,3,3-ტრიმეთილინდოლენინის ოოდმეთილატის (**85**). ეს უკანასკნელი სარეაქციო არიდან გამოიყოფა კრისტალების სახით, რომელსაც ფილტრავენ და ამჟავებენ 10%-იანი ტუტის სსნარით, რის შედეგად მიიღება ფიშერის ფუძე **86**.

ფიშერის ფუძის ანალოგები მიიღება ინდოლის მოლეკულაში მეთილის რადიკალების სხვა ალკილებით შეცვლისას, ან ბენზოლურ ფრაგმენტში სხვადასხვა ჩამნაცვლებლების შექვანით. ამ მეთოდით, 2-მეთილ-3-ეთილინდოლის, 5-აცეტილინდოლის, 5-ტრიფთორმეთილ-2,3-დიმეთილინდოლისა და მეთილიოდიდისაგან სინთეზირებულია 1,3-დიმეთილ-3-ეთილ-2-მეთილენინდოლინი, 5-აცეტილდა 5-ტრიფთორმეთილ-1,2,3,3-ტეტრამეთილინდოლინის იოდიდები [29-30].

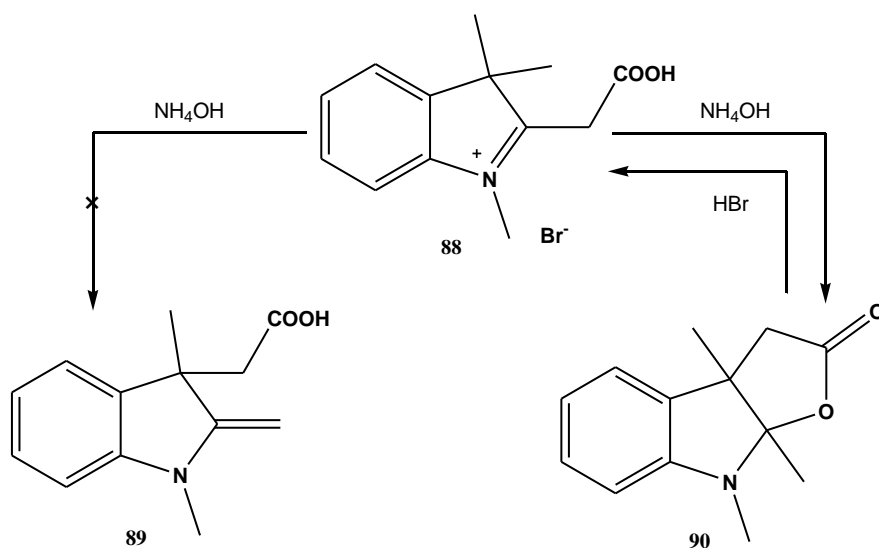
ინდოლების მეთილიოდიდით ალკილირებისას ატმოსფერული წნევის პორობებში ნაცრიუმის აცეტატის თანაობისას რეაქცია ჩერდება 2,3,3-ტრიმეთილინდოლენინის წარმოქმნის სტადიაზე. მითოთებულ პირობებში 7-ნიტრო-2,3-დიმეთილინდოლის ალკილირებით მიიღება 7-ნიტრო-2,3,3-ტრიმეთილინდოლენინი [31]. მაგრამ  $40^{\circ}\text{C}$  ტემპერატურაზე წყლიანი ტუტით დამუშავებისას ფიშერის ფუძე მთლიანად გარდაიქმნება 1,3,3-ტრიმეთილ-2-იზოპროპილინდოლად (87).

2-ფენილინდოლის ალკილირების რეაქცია მეთილიოდიდთან იძლევა 1,2,3-ტრიმეთილ-3-ფენილინდოლენინის იოდიდს [32]. ამ პროცესის დროს ხდება ფენილის ჯგუფის მიგრაცია ინდოლის რგოლის მეორე მდგომარეობიდან მესამე მდგომარეობაში (პლანშეს გადაჯგუფება). ანალოგიური გარდაქმნა დაფიქსირებულ იქნა 1,3,3-ტრიმეთილ-2-ფენილინდოლენინის იოდატის გაცხელებით  $120\text{-}180^{\circ}\text{C}$  –ზე [33].

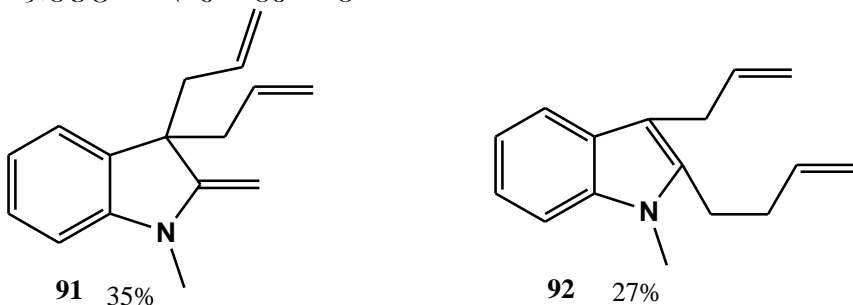
ინდოლის ალკილირების რეაქციის დროს მეთილიოდიდის ნაცვლად გამოიყენება სხვა ჰალოგენალკილებიც, მაგ: ეთილიოდიდი [28]. აღსანიშნავია, რომ ეს უკანასკნელი უფრო ძნელად შედის რეაქციაში 2-ალკილ- და 1,2-დიალკილინდოლებთან, ვიდრე მეთილიოდიდი. თუ 2-მეთილინდოლს და ეთილიოდიდს ეთანოლის არეში გაგაცხელებთ მირჩილულ ამჟღაში, მაშინ 1,3,3-ტრიიმეთილ-2-მეთილინდოლინი მიიღება დაბალი გამოსავლიანობით 40% [28]. ერიქსონისა და კიმის მიერ [34] აღწერილია 1,2,3-ტრიმეთილინდოლინის ალკილირების რეაქცია ქლორ-აცეტონიტრილით და ბრომაცეტოფენონით.

ინდოლის რგოლში ბის(ალკოქსიკარბონილ)მეთილის ჯგუფის შექვანა 1,2,3-ტრიმეთილინდოლის ჰალოგენმალონატებთან ურთიერთქმედებით ვერ მოხერხდა [32], მაგრამ 1,2,3-ტრიმეთილინდოლის ბრომდმარმჟავასთან გაცხელებით მიიღება მეოთხეული მარილი 88 (სქემა 25). სარეაქციო არის ტუტით დამუშავებისას მოსალოდნელი ფიშერის ფუძის 89 წარმოქმნის ნაცვლად აღინიშნება ლაქტონის 90 წარმოქმნა, რომელიც ბრომფენილის მოქმედებით კვლავ გარდაიქმნება მეოთხეულ მარილად 88 [34].

სქემა 25



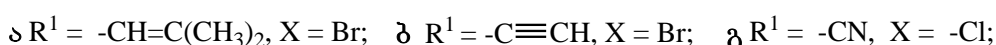
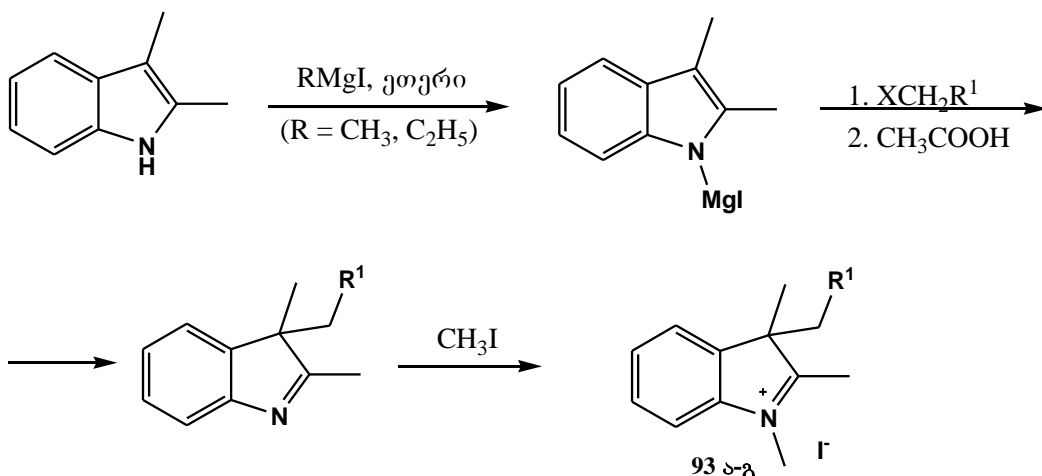
1,2-დიმეთილინდოლის ბრომიან ალილთან ურთიერთქმედებისას აღინიშნება თანამდე რეაქციაც. 2-მეთილენინდოლინის (**91**) წარმოქმნასთან ერთად აღინიშნება ჩანაცვლებული ინდოლის **92** წარმოქმნაც [35], როგორც ჩანს, ენამინის **91** მეთილენური ჯგუფის C-ალკილირებისა და ამ ნაერთის მესამე მდგომარეობიდან ერთი ალილის ჯგუფის დაკარგვის გამო:



თანამდე რეაქცია არ აღინიშნება 2,3-დიმეთილინდოლის ურთიერთქმედებით ალილ- ან პროპილბრომიდთან. ამ შემთხვევაში 61-63% გამოსავლიანობით მიიღება 2,3-დიმეთილ-3-ალილ- და 2,3-დიმეთილ-3-პროპილინდოლენინი [35].

2-მეთილენინდოლინების მიღება ხელსაყრელია ინდოლის N-მაგნიუმიოდილის ურთიერქმედებით ალილჰალოგენებთან და მათი შემდგომი მეთილირებით, შეალენდური 2,3-დიმეთილ-3-ალკილინდოლენინების წარმოქმნით (სქემა 26):

სქემა 26



რეაქცია მიმდინარეობს შედარებით რბილ პირობებში: ატმოსფერული წნევისა და დაბალი ტემპერატურის დროს. ამ გზით 2,3-დიმეთილინდოლილ-N-მაგნიუმიოდიდიდან და შესაბამისი ჰალოგენალკილებიდან მიიღება ნაერთები **93ა-გ** [34-36].

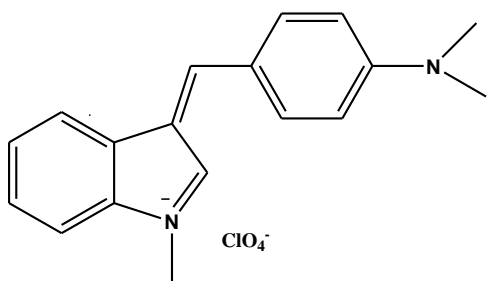
აღსანიშნავია, რომ 2-მეთილენინდოლინური ფუძის მიღება ასევე შეიძლება ინდოლების დიპალოგენკარბენით ალკილირებისას. ასეთი რეაქციის მაგალითად შეიძლება განვიხილოთ 1,2,3-ტრიმეთილინდოლის ურთიერთქმედება დიქლორკარბენთან, რის შედეგადაც მიიღება 1,3-დიმეთილ-3-დიქლორმეთილ-2-მეთილენინდოლინი. დიქლორკარბენის წარმოქმნა ხდება ქლოროფორმზე ნატრიუმის ეთილატის მოქმედებით, ან ნატრიუმის ტრიქლორაცეტატის თერმული დეკარბოქ-

სილირებით. 1,2,3-ტრიმეთილინდოლის ურთიერთქმედებით დიქლორფთორმეთან-თან მწვავე ნატრიუმის ჰიდროქსიდისა და ბენზილტრიეთილამნიუმის ქლორიდის თანაობისას მიიღება 1,3-დიმეთილ-3-ქლორფთორმეთილ-2-მეთილინდოლინი [37] 2,3-დიმეთილინდოლისა და დიქლორ-ქლორფთორკარბენების, როგორც გამოსავალი ნივთიერებების გამოყენების შემთხვევაში მიიღება შესაბამისი ინდოლინები.

2-მეთილინდოლის მეთანოლსა და მარილმჟავასთან ერთად ავტოკლავში გაცხელებისას და სარეაქციო არის შემდგომი გატუტიანებით მიიღება ფიშერის ფუძე მაღალი გამოსავლიანობით 75%, ხოლო მეთილის სპირტის ეთილის სპირტით შეცვლისას მიიღება 1,3,3-ტრიეთილ-2-მეთილენინდოლენინი. ინდოლის ალკილირებას დიმეთილსულფატით ან დიეთილსულფატით აწარმოებენ ქლორბენზოლის თანაობისას ან დიალკილსულფატით თუთიის ოქსიდის, კალციუმის კარბონატის და თუთიის თანაობისას. ამ მეთოდით 2,3-დიმეთილინდოლისა და 2-მეთილინდოლის დიმეთილსულფატით დამუშავებისას თუთიის ოქსიდის თანაობისას გამოყოფილ იქნა 1,2,3,3-ტეტრამეთილინდოლენინის მეთოსულფატი 90%-იანი გამოსავლიანობით.

სამეცნიერო ნაშრომებში აღწერილია 2-მეთილინდოლისა და 2,3-დიმეთილინდოლის ალკილირების რეაქციები ბენზოლსულფომჟავასა და პარატოლუოლსულფომჟავას მეთილის ეთერებით, რომლის დროსაც ფიშერის ფუძის გამოსავლიანობა მერყეობს 85-86%-ის ფარგლებში. საუკეთესო შედეგი იქნა მიღწეული ბენზოსულფომჟავას მეთილის ეთერის გამოყენების დროს. დიმეთილსულფატი წარმოადგენს ერთ-ერთ საუკეთესო რეაგენტს ალკილირების რეაქციის დროს, რომლის გამოყენებითაც 2,3-დიმეთილინდოლისაგან მიღებულ იქნა ფიშერის ფუძე 83%-ის გამოსავლიანობით.

2,3-მეთილინდოლის ალკილირებისას პ-დიმეთილამინობენზალდეპიდიოთ, მარილმჟავას თანაობისას, პირველ სტადიაზე წარმოიქმნება მეოთხეული მარილი **94**, რომელიც ამიაკით დამუშავების შემდეგ მეთანოლში გარდაიქმნება შესაბამის 2-მეთილინდოლინად:



94

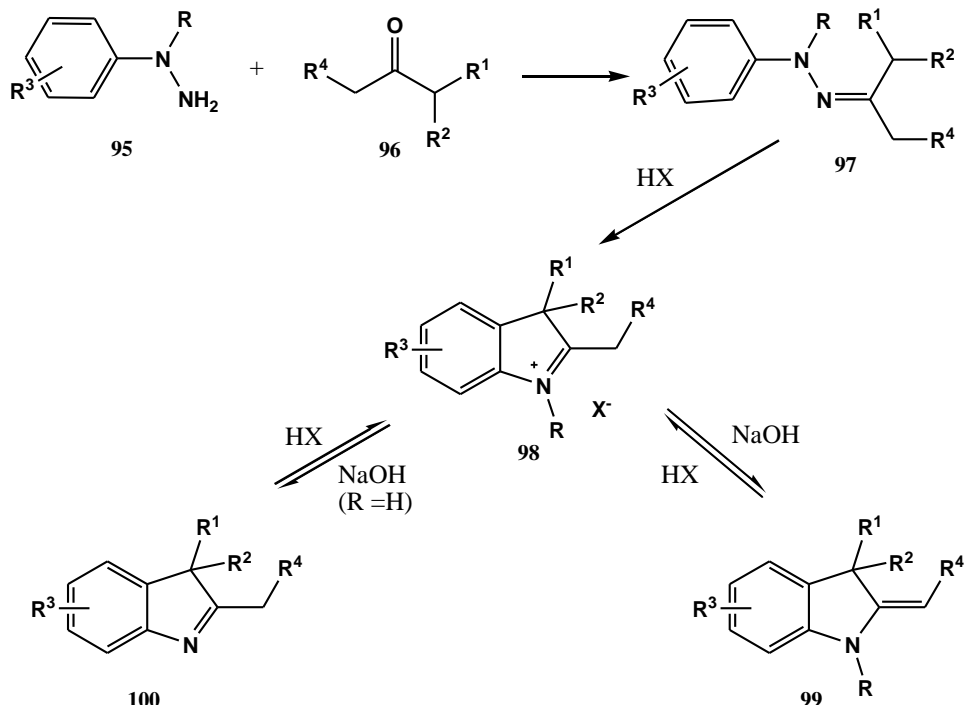
## 1.2.2 ნაჯერი რიგის კეტონების არილჰიდრაზონების ციკლიზაცია

უფრო ხშირად მეთილენინდოლინური ფუძეები მიიღება არომატული ჰიდრაზონების **97** ციკლიზაციის შედეგად (სქემა 27) მეავა კატალიზატორების – განზავებული გოგირდმჟავას, კონც. მარილმჟავას [38], ყინულოვანი ძმარმჟავას [39-41], თუთიის ქლორიდის და სხვათა თანაობისას. ჰიდრაზონების **97** ციკლიზაცია შესაძლებელია აგრეთვე კატალიზატორის გარეშეც – მაღალი ტემპერატურის პირობებში (~200-210°C).

თუ ჰიდრაზონი **97** შეიცავს წყალბადის გარდა სხვა R-ჩამნაცვლებელს, მისი ციკლიზაციისას წარმოიქმნება მეოთხეული მარილი **98**, რომელიც ტუტით დამუ-

შავების შემდეგ გადადის მეთილენინდოლინურ ფუძეში 99. ასე მაგ. მეთილიზო-კროპილკეტონის ურთიერთქმედებით ოუთიის ქლორიდთან აბსოლუტურ სპირტში, მიიღება ნაერთი 99 ( $R^1=C_6H_5$ ,  $R^2=R=CH_3$ ) [42].

სქემა 27

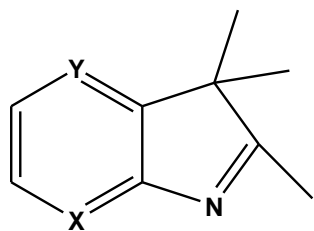


ანალოგიურად შესაბამისი ჰიდრაზონებიდან 97 მიიღება ფუძეები 99 ( $R=R^2=CH_3$ ,  $R^1=3-H_3COC_6H_4$ ,  $R^3=R^4=H$  [53];  $R=n-CH_3C_6H_4$ ,  $R^1+R^2=(-CH_2-)_5$ ,  $R^3=5-CH_3$ ,  $R^4=H$  [54]).

ფიშერის ფუძეების სინთეზი უშუალოდ ჰიდრაზინიდან 95, რომელიც წყალ-ბადის ნაცვლად  $R$ -ჩამნაცვლებლის შემცველია და კეტონიდან 96, მიმდინარეობს ჰიდრაზინისა და კეტონის გახურებით ძმარმჟავაში, ან ძმარმჟავასა და კეტონის გახურებით დიმეთილფორმამიდში. ამ გზით მიიღება ნაერთი 99, 42-50% გამოსავლიანობით ( $R=C_6H_5$ ,  $R^1=R^2=CH_3$ ,  $R^3=R^4=H$ ).

ჰიდრაზონების 97 ციკლიზაციისას, რომლებიც შეიცავენ ჩამნაცვლებლებს არომატული ბირთვი მეტა-მდგომარეობაში, შეიძლება წარმოიქმნას როგორც 4-, ასევე 6-ჩანაცვლებული ინდოლენინები. მაგალითად, მეთილიზოკროპილკეტონის მეტა-ტრიფორმეთილჰიდრაზონის ძმარმჟავით და სამფორიანი ბორის ეთერით დამუშავების შემდეგ მიიღება იზომერული 4- და 6-ტრიფორმეთილ-2,3,3-ტრიმეთილინდოლენინების ნარევი (44% და 56%, შესაბამისად) [30]. ამავე დროს, მეტა-ნიტროჩანაცვლებული მეთილიზოკროპილკეტონის ჰიდრაზონისაგან სინთეზირებულია მხოლოდ 4-ნიტრო-2,3,3-ტრიმეთილინდოლენინი და მეტა-იზოპროპილკეტონის 3-მეთოქსიჩანაცვლებული ჰიდრაზონისაგან მიიღება 6-მეთოქსი-2,3,3-ტრიმეთილინდოლენინი.

ნაჯერი რიგის კეტონები  $\alpha$  და  $\beta$ -ნაფთილჰიდრაზონების მჟავების მოქმედებით განიცდიან ციკლიზაციას ბენზინდოლენინების წარმოქმნით [43]. 2,3,3-ტრიმეთილინდოლენინების შესაბამისი ჰეტეროციკლური ანალოგები მიიღება შესაბამისი ჰიდრაზონებისაგან. მეთილიზოკროპილკეტონის 2-ჰირიდილჰიდრაზინის გახურებით ოუთიის ქლორიდთან მიიღება 2,3,3-ტრიმეთილ-7-აზა-ინდოლენინი (102 ა) [44]. ანალოგიურად, შესაბამისი ჰიდრაზონიდან მიიღება 2,3,3-ტრიმეთილ-4-აზა-ინდოლენინი (102 ბ) [45].

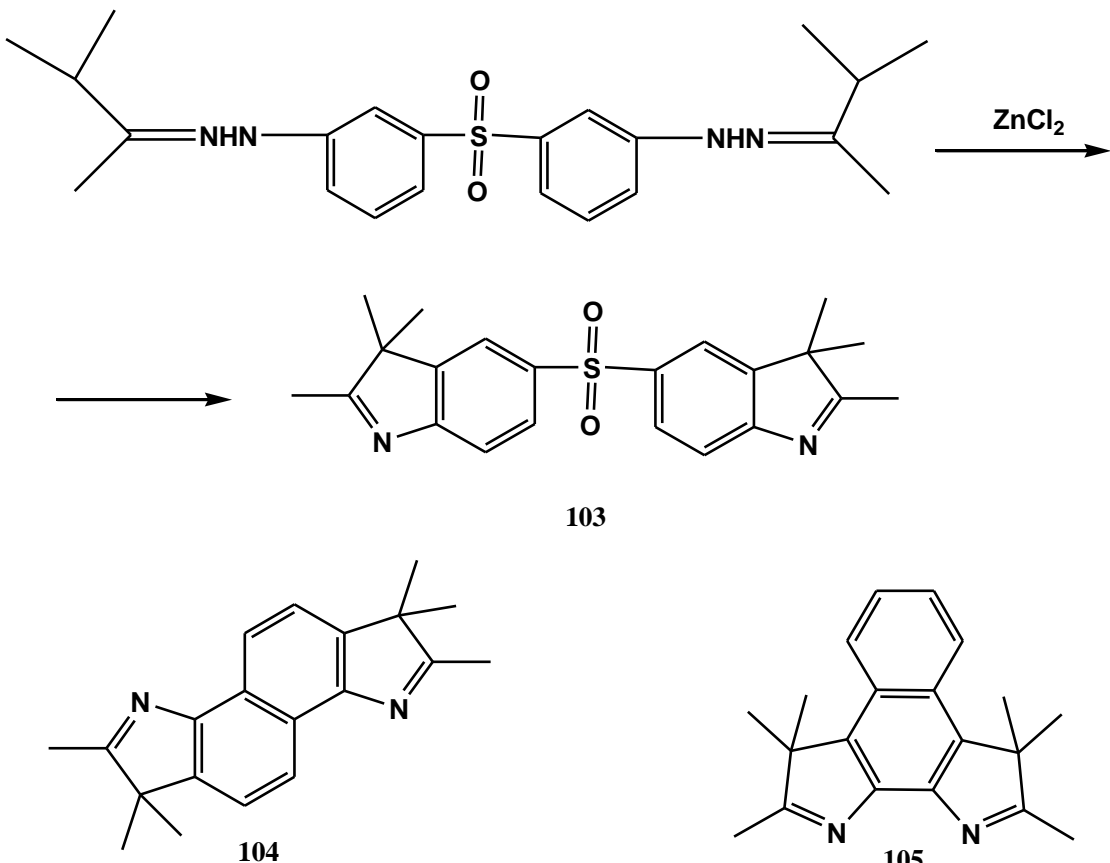


δ) X = N, Y = CH;  
δ) Y = CH; Y = N

**102-δ,δ**

ბისპიდრაზონების ციკლიზაციას მივყავართ ბისინდოლენინებამდე. ამ მეთოდით სინთეზირებულია ბის(2,3,3-ტრიმეთილინდოლენინ-5-ილ)სულფონი (103) (სქემა 28), აგრეთვე ნაერთები **104**, **105** [46-47]:

სქემა 28



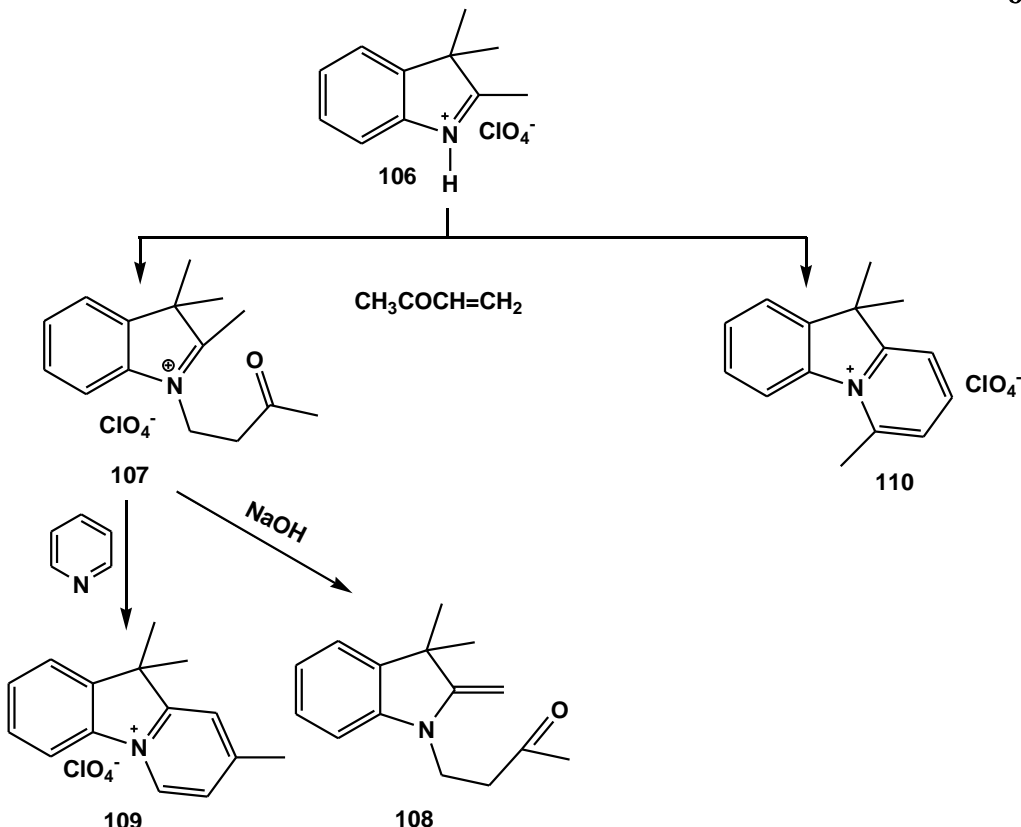
ინდოლენინები **100** შეიძლება მიღებულ იქნას პიდრაზინების **95** (R=H) ურთიერთქმედებით კეტონებთან **96** პიდრაზონების გამოყოფის სტადიის გარეშე **97** (სქემა 27). ამ რეაქციის მაგალითად გამოდგება 2,3,3-ტრიმეთილინდოლენინის სინთეზი ფენილჰერცაზინის ურთიერთქმედებით მეთილიზოპროპილკეტონთან კონც. გოგირდმჟავას თანაობისას. ინდოლენინები იოდ-, ბრომ- და ქლორ-ალკილების მეშვეობით გადადიან მეთილინდოლენური ფუმეების მეოთხეულ მარილში. 1,2,3,3-ტეტრამეთილინდოლენინი მიიღება 74% გამოსავლიანობით, 2,3,3-ტრიმეთილინდოლენინის მეთილიოდიდით დამუშავების შედეგად.

ინდოლენინების **100** ურთიერთქმედება ალკილჰერცოგენიდებთან მიმდინარეობს ორგანულ გამხსნელებში (ეთანოლი, ტოლუოლი, ქლოროფორმი [48] და

სხვ.) გაცხელებით ან მაალკილირებელი აგენტის ჭარბად აღებისას [30, 49]. როგორც წესი, რეაქცია მიმდინარეობს ატმოსფერული წნევის პირობებში, მაგრამ ზოგჯერ რეაქციას ატარებენ მირჩილულ ამპულაში ან ავტოკლავში. მეოთხეული მარილი 98 გადაჰყავთ 2-მეთილინდოლინებში 99 კალიუმის ან ნატრიუმის ტურით [38], სოდით [39], ტრიეთოლამინებით ან სხვა ფუძეებით დამუშავებით.

ინდოლენინებისა და მათი მარილების ალკილირებისათვის გამოიყენება დიმეთილსულფატი [46-49], დიეთილსულფატი, ბენზოსულფომჟავას ეთერები [50], პტოლუოლსულფომჟავები [51], აგრეთვე კარბონილური ჯგუფის შემცველი ელექტროფილური ოლეფინები.

## სქემა 29



2,3,3-ტრიმეთილ-3-ჰინდოლენინის პერქლორატის 106 გაცხელებით ორთქლის აბაზანაზე მეთილვინილკეტონთან, ან მითითებული რეაგნების ურთიერთქმედებით ოთახის ტემპერატურაზე აცეტონიტრილში, იდებენ მეოთხეულ მარილს 107. ეს უკანასკნელი  $\text{NaOH}$ -ით დამუშავების შედეგად გადადის მეთილენინდოლინში 108. ხოლო პირიდინში გაცხელებით წარმოქმნის ნაერთ 109 [43]. მეოთხეული მარილის 106 ურთიერთქმედებით მეთილვინილკეტონთან ოთახის ტემპერატურაზე დიმეთილაცეტამიდში, მიიღება ნაერთი 110 (სქემა 29).

2,3,3-ტრიმეთილინდოლენინის 111 დიეთოქსიკარბონილციკლოპროპენდიბენზოურანით დამუშავების შედეგად მიიღება 2-მეთილენინდოლინი 113 (სქემა 30). რეაქცია მიმდინარეობს ცვიტერ-იონის წარმოქმნით 112 [52].



ნაშრომში [53] განხილულია 2,3,3-ტრიმეთილინდოლენინის 111 გადასვლა ფი-შერის ფუძეში 86, 111-ის სულფონატითა და ცეზიუმის ფთორიდით თანდაონბითი დამუშავების შედეგად. სავარაუდოდ, რეაქცია მიმდინარეობს შუალედური პროდუქტის 114 წარმოქმნით.

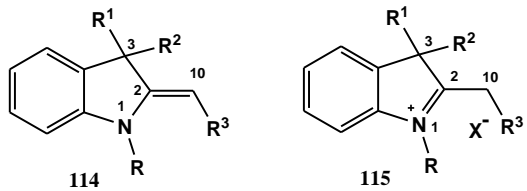
### 1.2.3. ფიშერის ფუძის აღნაგობა და მისი სპექტრული მონაცემები

ფიშერის ფუძეს 86, რომელიც მიღებული იყო 2-მეთილინდოლის მეთილიოდით დამუშავების შედეგად (სქემა 24) [28], თავდაპირველად შეცდომით მიაწერეს დიმეთილდიჰიდროქინოლინის სტრუქტურა. მოგვიანებით შესაძლებელი გახდა დაედგინათ, რომ მიღებული პროდუქტი იყო არა ქინოლილინი, არამედ 1,3,3-ტრიმეთილ-2-მეთილენინდოლი [54]. ამჟამად ფიშერის ფუძისა და მისი ანალოგების აღნაგობა დადასტურებულია სპექტრული გამოკვლევებით.

2-მეთილენინდოლინების  $^1\text{H}$ -ბმრ სპექტრებში ( $\text{R}^3=\text{H}$ ) მეთილენის ჯგუფის პრონები გვხვდება სინგლეტის სახით ჩვეულებრივ 3,3-4,2 მნ უბანში, რაც მიუთითებს მათ ექვივალენტურობაზე.

ფიშერის ფუძის 86 აღნიშნული პროტონები დეიტეროქლოროფორმში იძლევიან სინგლეტს 3,85 მნ.

114 ა-ბ ნაერთების ეგზოციკლური ორმაგი ბმის პროტონები არიან არაფქვივალენტურები და სპექტრზე შეინიშნება ორი დუბლეტური სიგნალი სპინ-სპინური ურთიერთქმედების კონსტანტით  $J \sim 2,3-2,5$  ჰც.  $^1\text{H}$ -ბმრ სპექტრული მეთოდებით დადგინდა, რომ მეთილენის ჯგუფით ჩანაცვლებული ენამინები 114 გ, დაწარმოადგენს (E)- და (Z) იზომერების ნარევს თანაფარდობით 10:1 (114გ) ნაერთისათვის ან 4:1 (114 გ ნაერთისათვის) [56].



- δ  $R = CH_2CH_2NHCOC_6H_5$ ,  $R^1 = R^2 = CH_3$ ,  $R^3 = H$   
 δ  $R = R^1 = COCF_3$ ,  $R^2 = CH_3$ ,  $R_3 = H$   
 δ  $R = R^1 = R^2 = C_2H_5$ ,  $R_3 = H$   
 η  $R = R^1 = R^2 = CH_3$ ,  $R_3 = Br$

სავარაუდოდ, E ფორმის წარმოქმნა აიხსნება მისი თერმოდინამიკური მდგრადობით, რაც განპირობებულია  $R^3$  ჩამნაცვლებლის მოხვედრით პემ-მეთილური ჯგუფების სივრცეში. 1,3,3-ტრიმეთილ-2-მეთილენინდოლინისა და მისი ჩამნაცვლებლების სპექტრებში მეთილენური ფრაგმენტის პროტონების სიგნალების ახლოს არის N-მეთილისა და ექვივალენტური C-მეთილის ჯგუფების სიგნალები. (შესაბამისად, 2,5-3,2 და 1,2-1,4 მნ-ზე)...

ინდოლენინის მეოთხეული მარილების 115 ( $X=Br$ )  $^1H$ -ძმრ სპექტრებში  $N-CH$  ჯგუფის სიგნალი გადაწეულია უფრო სუსტ ველში ჩაუნაცვლებელი ფიშერის ფუძის შესაბამის სიგნალთან შედარებით და მედავნდება სინგლეტის სახით 3,6-4,8 მნ უბანში [34, 40]. ეს აიხსნება აზოტის ატომზე დადგებითი მუხტის ნაწილობრივი ლოკალიზაციით. მეოთხეულ მარილში 115 ( $R^1=R^2=CH_3$ ) ექვივალენტური პემ-მეთილური ჯგუფები იძლევა სინგლეტს 1,2-1,8 მნ უბანში, ხოლო 2-მეთილის ჯგუფის პროტონები აღინიშნება 1,7-3,2 მნ უბანში [34].

2-მეთილენინდოლინების 114 ( $R=R^1=R^2=CH_3$   $R^3=H$ )  $^{13}C$  სპექტრები ხასიათდება ნახშირბადაცომების სიგნალებით შესაბამისად 73-79, 161-163 და 43-44 მნ უბანში.  $CH_3$  და პემ-მეთილის ჯგუფების სიგნალები ნაპოვნია 28-29 და 29-30 მნ უბანში [51].

მეოთხეული მარილების 115 ( $R=R^1=R^2=CH_3$   $R^3=H$ ) ნახშირბადაცომი C(10) გვაძლევს სიგნალს 14-17 მნ უბანში. ხოლო N-მეთილის ჯგუფი, C(30) ატომი და პემ-მეთილური ჯგუფები შეინიშნება ~ 34, 54-65 და ~ 22 მნ უბანში.

2-მეთილინდოლინური ფუძის 114 იწ სპექტრში აღინიშნება ეგზოციკლური ორმაგი ბმის შთანთქმის ზოლი 1635-1655 სმ<sup>-1</sup> უბანში [37]. ხოლო მეოთხეულ მარილებში C=N<sup>+</sup> ბმის შთანთქმა აღინიშნება 1610-1635 სმ<sup>-1</sup>, რომელიც ხშირ შემთხვევაში იხდის შთანთქმის რამდენიმე ზოლად.

2-მეთილენინდოლინების უი სპექტრებში (ფენოლი, წყალი) შთანთქმის მაქსიმუმი აღინიშნება 280-283 ნმ [34, 44, 50]. ხოლო მეოთხეული მარილების სპექტრებში (ეთანოლში, წყალში) ეს მაქსიმუმი გადაწეულია 272-278 ნმ უბანში.

#### 1.2.4 2-მეთილენინდოლინური ფუძეების ქიმიური თვისებები

2-მეთილენინდოლინები მიეკუთვნებიან ენამინების კლასს. ამ ნაერთების რეაქციისნარიანობა განპირობებულია π-ელექტროფიზური სისტემის პოლარიზაციით და მეთილენის ჯგუფის ნახშირბადის ატომის უარყოფითი მუხტის ნაწილობრივი ლოკალიზაციით. ამის გამო 2-მეთილენინდოლინები მეთილენის ჯგუფის საშუალებით შედიან რეაქციაში მრავალ ელექტროფილებთან, ხოლო ბენზოლის ბირთვის არსებობა განაპირობებს ელექტროფილური ჩამნაცვლების რეაქციებსაც.

ფიშერის ფუძეები ურთიერთქმედებენ ნუკლეოფილებთანაც ნახშირბადის (2) ატომთან. განიცდიან შიდამოლეკულურ გადაჯგუფებას, დაუანგვასა და ალდგუნას.

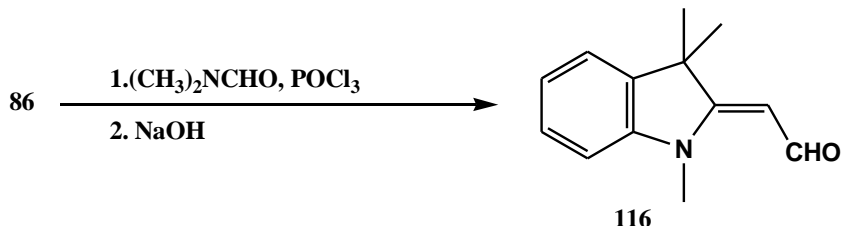
2-მეთილენინდოლებს აქვთ ფუძე თვისებები. 1,3,3-ტრიმეთილ-2-მეთილინდოლინის pH არის 8,0. 2-მეთილენინდოლინების ფუძე თვისებები განპირობებულია წყალსნარებში ენამინებისა 99 და ამონიუმის მეოთხეულ ფუძეებს 98 შორის არსებული წონასწორობით (იხ. სქემა 27). როგორც ფუძეები, ისინი მოქმედებენ მჟავეებთან და წარმოქმნიან ინდოლენინის მარილებს. ლიტერატურიდან [56] ცნობილია 2-მეთილენინდოლინის ტეტრაფორობორატები ( $X = F_3$ ), სულფატები, პერქლორატები, ქლორიდები და სხვა მეოთხეული მარილები, რომელთა წარმოქმნა ადვილად მიმდინარეობს მაღალი გამოსავლიანობით. ინდოლენინური მარილები 98 გარდაიქმნებიან ფიშერის ფუძეებად ტუტის, სოდის და ორგანულ ფუძეებთან გაცხელებით ატმოსფერული წნევის პირობებში [57]. ნაერთები 98 მონაწილეობენ ანიონის გაცვლით რეაქციებშიც. ფიშერის ფუძის და მათი წარმოქბულების მეთილენური ჯგუფის მაღალი ნუკლეოფილურობა განაპირობებს ალდეპიდების კარბონილის ჯგუფთან კონდენსაციის რეაქციებს. ამ რეაქციათა საბოლოო შედეგი დამოკიდებულია ალდეპიდების აღნაგობაზე.

ცნობილია ფიშერის ფუძეთა რეაქციები ნახშირბადის ჰალოგენწარმოებულებთან, უჯერ ნახშირწყალბადებთან, არომატულ ალდეპიდებთან, კეტონებთან, ქინოლებთან, რთულ ეთერებთან, მჟავათა ამიდებთან, იზოციანატებთან და სხვა ნაერთებთან.

#### 1.2.4.1 რეაქციები მჟავათა ამიდებთან

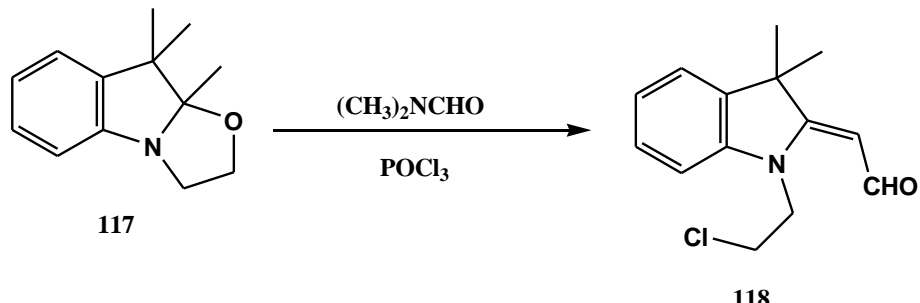
2-მეთილენინდოლები მეთილენის ჯგუფის საშუალებით იოლად შედიან ფორმილირების რეაქციებში დიმეთილფორმამიდისა და ფოსფორქლოროქსიდის კომპლექსთან. ამ მეთოდით ფიშერის ფუძიდან 86 მიიღება ფიშერის ალდეპიდი - ალფორმილ-1,3,3-ტრიმეთილ-2-მეთილენინდოლინი (116), სქემა 31), [58] უმნიშვნელოვანესი ნახევარპროდუქტი ციანინური და ჰემიციანინური საღებარების სინთეზისათვის:

სქემა 31



ფიშერის ალდეპიდი და მისი ჩამნაცვლებლები მიღებულ იქნა აგრეთვე მეთილფორმანილიდის გამოყენებით. ფოსფორის ქლოროქსიდის ნაცვლად შესაძლებელია ფოსგენის, თონილქლოროდის ან სულფურილქლორიდის გამოყენება. ანალოგიურად მიმდინარეობს მეთილენურ ჯგუფში ჩანაცვლებული ინდოლინური ფუძეების ფორმილირება. მაგ. 1,3,3-ტრიმეთილ-2-ეთილიდენ- და 1,3,3-ტრიმეთილ-2-ციანომეთილენინდოლინი [58].

საინტერესოა შრომები [55], სადაც ალფორმილ-1-( $\beta$ -ქლორეთილ)-3,3-დიმეთილ-2-მეთილენინდოლინი 118 სინთეზირებულია 3a,4,4-ტრიმეთილოქსაზოლიდინო[3,2-ა]ინდოლინზე 117 ვილსმაიერის კომპლექსის მოქმედებით (სქემა 32) რეაქციის მსვლელობისას თავდაპირველად ხდება ოქსაზოლიდინური ბირთვის გახსნა, ხოლო შემდეგ წარმოქმნილი მეთილენური ფუძის ფორმილირება. ამავდროულად



ვიდსმაიერის რეაქციაში მეთილენინდოლინური ფუძის ორჯერადი სიჭარბით აღების შემთხვევაში, მიიღება კარბოციანინური სადებარი. ამ უკანასკნელის მიღება შეიძლება მეთილენინდოლინური ფუძისა და ამიდის ექვივალენტური რაოდენობით აღების შემთხვევაშიც და ამიდის სიჭარბის დროსაც, ინდოლენინის მარილების გახურებით დიმეთილფორმამიდისა და ფოსფორის ქლოროქსიდთან ტრიეთილამინის თანაობისას, ან ბის(ტრიმეთილსილილ)ფორმამიდთან უკატალიზატოროდ.

დიდ პრაქტიკულ ინტერესს იწვევს მეთილინდოლინური ფუძეების რეაქციები N-ეთილ-4-ფენილსულფონილნაფთოლაქტამ-1,8-თან, (1,3,3ტრიმეთილინდოლინილენ-2)აცეტანილიდთან, N-ფორმილ-2,3,3-ტრიმეთილინდოლინთან, რომლებსაც მივყავართ ციანინური სადებარების წარმოქმნამდე 119 (იხ. ცხრილი 1).

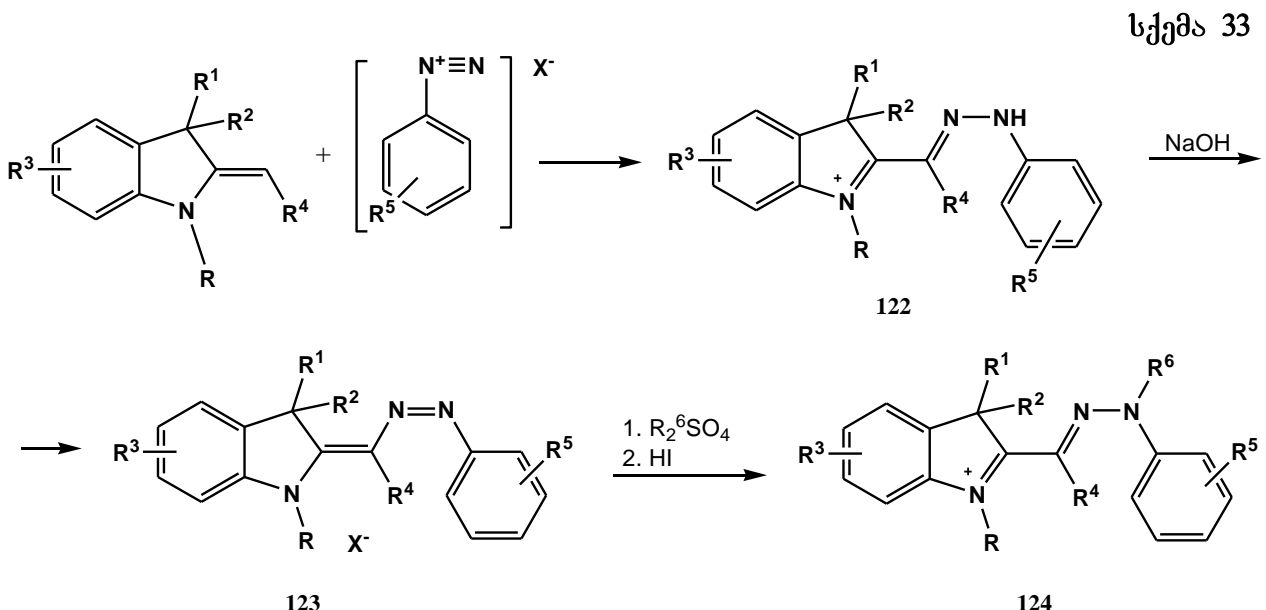
### ცხრილი 1

ამიდი	რეაქციის პროდუქტი
	 119
	 120
	 121

მეროციანული და კარბოციანური საღებარების მისაღებად გამოიყენება 2-მეთილინდოლების მეოთხეული მარილების ურთიერთქმედების რეაქციები ძმარ-მჟავას ამიდებთან, რომელსაც თან ახლავს აცეტამიდური ჯგუფის მოხლება. მაგ. 1-ეთილ-2,3,3-ტრიმეთილინდოლებინის იოდიდი 5-აცეტანილიდომეთილებ-3-ეთილ-როდანინთან გვაძლევს მეროციანინს **120**. ანალოგიურადაა სინთეზირებული ნაერთი **121** (იხ. ცხრილი 1).

### 1.2.4.2 აზოშეუდლების რეაქციები

2-მეთილენინდოლინები აზოშეუდლებაში შედიან დიაზონიუმის მარილებთან **122** ტიპის ჰიდრაზონების წარმოქმნით. ამ უკანასკნელთა ტუტით დამუშავებით მიიღება აზონაერთები **123**, რომლებიც შემდგომი ალკილირებით გადადიან კატიონურ ჰიდრაზონულ საღებარებაში **124**. ქვემოთ მოყვანილი სქემის მიხევით, ფიშერის ფუძისა და ქლორიანი ბენზოლდიდიაზონიუმისაგან მიიღება აზონაერთი **123** ( $R=R'=R^2=CH_3$ ,  $R^3=R^4=R^5=H$ ), რომლის ალკილირებით მიიღება **124** ( $R=CH_3$ ,  $Y=CH_3SO_4$ ) (სქემა 33).

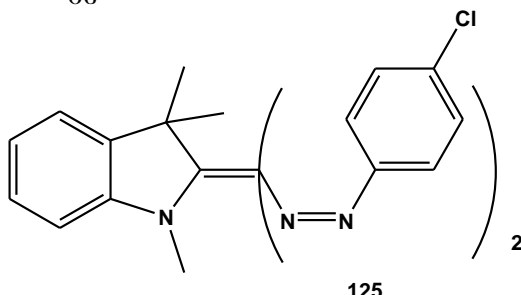


ანალოგიურად მიღებულია საღებარები 1,3,3-ტრიმეთილ-2-ეთილინდოლენიდან და ქლორიანი 3-მეთოქსიბენზოლდიაზონიუმიდან, ასევე ფიშერის ფუძიდან და კარბაზოლის რიგის მარილებიდან, დიბენზოთიოფენიდან, დიბენზოთიოფენიდან, დიფენილმეთანის 4,4'-ბისლიაზოწარმოებულებიდან და სხვა ჩანაცვლებული მეთილინდოლენური ფუძეებიდან და დიაზონიუმის სხვადასხვა მარილებიდან. კატიონურმა ჰიდრაზონულმა საღებარებმა გამოყენება ჰპოვეს სინთეზური ქსოვილების, ტყავის, ბამბის, საბეჭდი პასტების და ბურთულებიანი აგტოკალმების დამზადებაში და სხვა მიზნებისათვის.

მეთილინდოლინური ფუძისა და დიაზონიუმის მარილების ურთიერთქმედება მიმდინარეობს  $0-5^\circ C$  განზავებულ ძმარმჟავაში ან მარილმჟავაში. აზონაერთს **123** გამოყოფენ სარეაქციო ნარევის ნეიტრალიზაციით ნატრიუმის ტუტით ან ნატრი-

უმის აცეტატით. ალკილირებას კი ატარებენ დიმეთილსულფატით ორგანულ გამხსნელებში (დიქლორორეტანში, ქლორბენზოლში) ან წყალში მჟავადამჭერ აგენტთა – მაგნიუმის ოქსიდის, ტრიიზოპროპილამინის, მწვავე ნატრიუმის და სოდის თანაობისას. დიმეთილსულფატთან ერთად ზოგჯერ იყენებენ სხვა დიალკილსულფატებს, აგრეთვე ეთილენის ოქსიდს. უკანასკნელ შემთხვევაში ალკილირებას ატარებენ ძმარმჟავაში, კატიონურ საღებარს **124** ( $R^6=C_2H_4OH$ ) გამოყოფენ სარეაქციო არის ნატრიუმის ქლორიდით დამუშავებით.

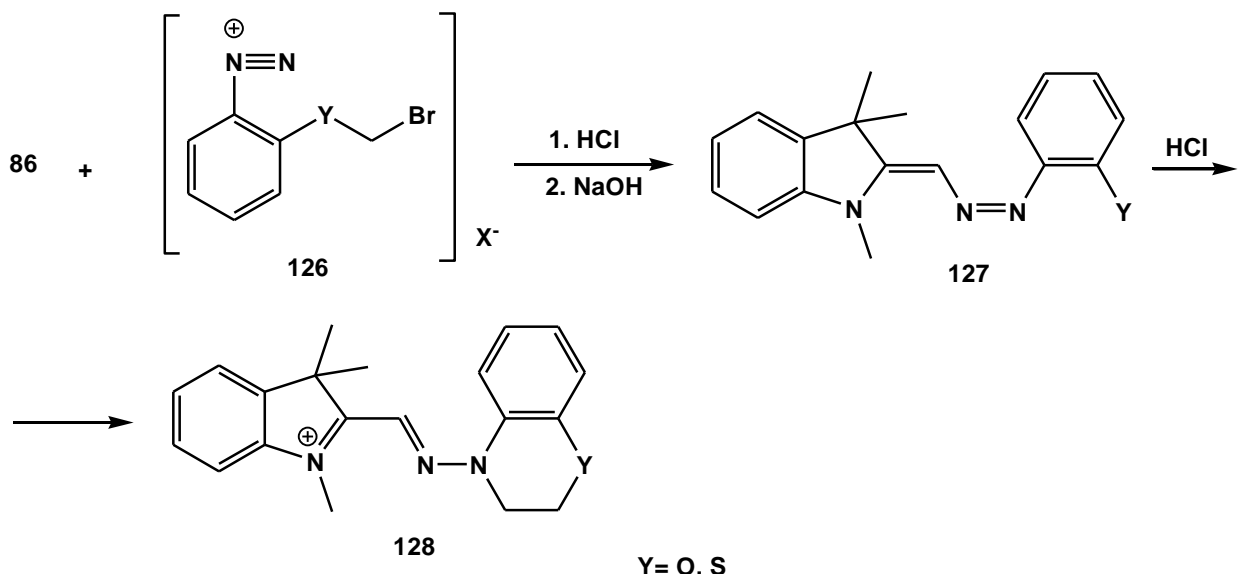
ინდოლენინის მარილთა აზოშეუდლებას, განსხვავებით თავისუფალი ფუძეებისაგან, ატარებენ პირიდინის არეში. აღწერილია ბის-აზონაერთის **125** სინთეზი, რომელიც მიმდინარეობს 2 მოლი პ-ქლორფენილდიაზონიუმის ქლორიდსა და 1 მოლ 1,2,3,3 – ტეტრამეთილინდოლენინის მეთოსულფატს შორის, წყლის, პირიდინისა და აცეტონის ნარევში.



კატიონური საღებარი **124** მიიღება 3a,4,4-ტრიმეთილქსაზოლიდინო[3,2-a]ინდოლინის ქლორიან პ-მეთოქსიფენილდიაზონიუმთან ურთიერთქმედებით. როგორც ჩანს, რეაქციის დროს ხდება საწყისი პეტეროციკლის ოქსაზოლიდინური ციკლის გახსნა და შეალებული 1-(β-პიდროქსიეთოლ)-3,3-დიმეთილ-2-მეთილენინდოლინის წარმოქმნა.

საინტერესო შედეგებია მიღებული ფიშერის ფუძის შეერთებით **126** სტრუქტურის მარილებთან:

**სქემა 34**



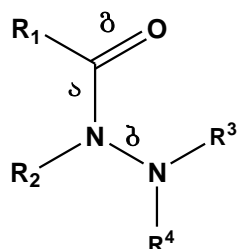
რეაქციის პროდუქტების ნატრიუმის ტუტით დამუშავებით მიიღება **127** ნაერთები. შემდგომი დამუშავებით ხდება პეტეროციკლის შეკვრა და კატიონური საღებარების **128** წარმოქმნა (სქემა 34).

მეთილენინდოლინური ფუძეების აზოშეუდლების რეაქციები გამოიყენება ინფორმაციის ჩასაწერად ქადალდზე დაიტანება კომპოზიცია, რომელიც შეიცავს დიაზონიუმის მარილისა და 2-მეთილ-1,3,3-ტრიალკილინდოლენინის მარილის ნარევს. გახურებით ინდოლენინის მარილი გარდაიქმნება თავისუფალ ფუძედ, რომელიც შეუღლდება დიაზონიუმის მარილთან. ქადალდზე ჩნდება შეღებილი ანაბეჭდი.

### 1.3 ჰიდრაზიდები

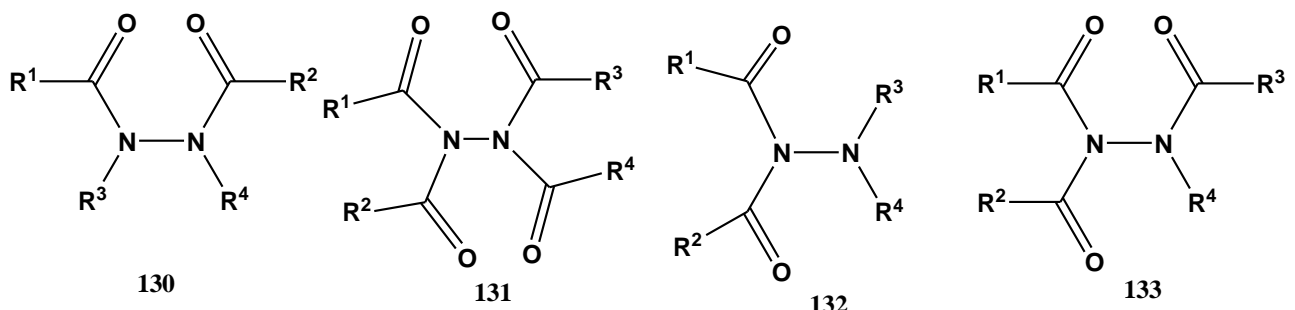
#### 1.3.1 ჰიდრაზიდების მიღების მეთოდები

კარბონმჟავათა ჰიდრაზიდები ამიღების მსგავსი ნაერთებია, ვინაიდან ისინიც ერთ ამიდურ ბმას მაინც შეიცავს. მონოაცილჰიდრაზინი 129 (მარტივი ჰიდრაზიდები) შეიძლება განვიხილოთ როგორც N-ამინოამიდი.



129

მეტად აცილირებული ჰიდრაზინები შეიძლება ჩანაცვლებული იფოს სიმეტრიულად. მაგ. 1,2-დიაცილჰიდრაზინი 130 ან 1,1,2,2-ტეტრააცილჰიდრაზინი 131, და არასიმეტრიულად, მაგ. 1,1-დიაცილჰიდრაზინები 131. ცნობილია აგრეთვე 1,1-დიაცილჰიდრაზინები 132 ანუ იმიღების N-ამიდოწარმოებულები და 1,1,2-ტრიაცილჰიდრაზინები 133.



ყველა ჰიდრაზიდს, გარდა მარტივი ჰიდრაზიდებისა, ჰიდრაზინის წარმოუდებებს უწოდებენ.

მარტივ ჰიდრაზიდებს ახასიათებთ ჰიდროქსამის მჟავების ანალოგიური რეაქციები. რადგანაც ტერმინალური, ანუ β-აზოტი წარმოადგენს მეტად ნუკლეოფილურ ატომს O-C-N-N – ჯაჭვში. ჩანაცვლება შესაძლებელია განხორციელდეს O-თან და α-თან, მაგრამ ეს პროცესი ძალზედ გაძნელებულია.

მრავალ პიდრაზიდს ახასიათებს ფიზიოლოგიური აქტიურობა, რაც კიდევ უფრო ზრდის მკვლევართა ინტერესს მათ მიმართ.

პიდრაზიდების მიღების ზოგადი მეთოდები შეიძლება დაიყოს სამ ძირითად ჯგუფად: [59].

1. მეთოდები, რომლის დროსაც ხდება ახალი C(O)-N ბმის (ბმა (ა) 129-ში) წარმოქმნა.

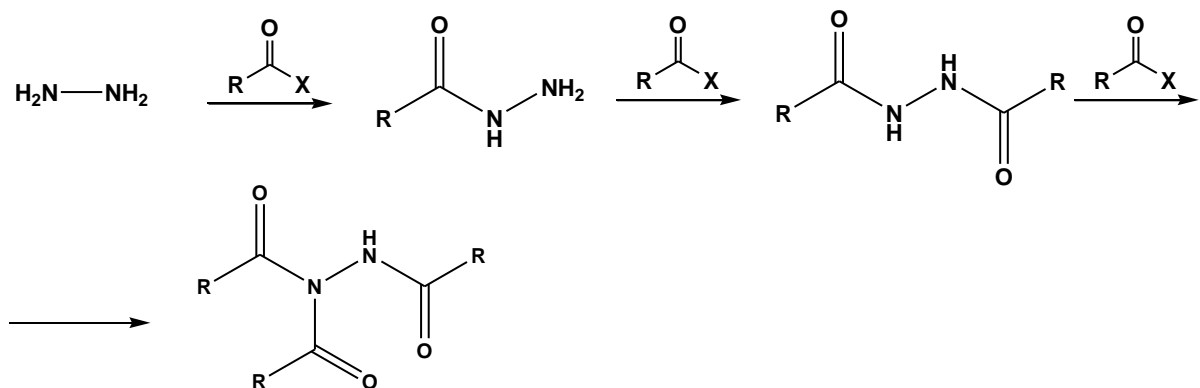
2. მეთოდები, რომლის დროსაც ხდება (პიდრაზიდებისათვის სპეციფიური N-N ბმის (ბმა (ბ) 129-ში) წარმოქმნა.

3. მეთოდები, რომლის დროსაც ჯაჭვში R-C-N-N< ხდება კარბონილის ჯგუფის უანგბადის შეყვანა (ბმა (გ) 129-ში).

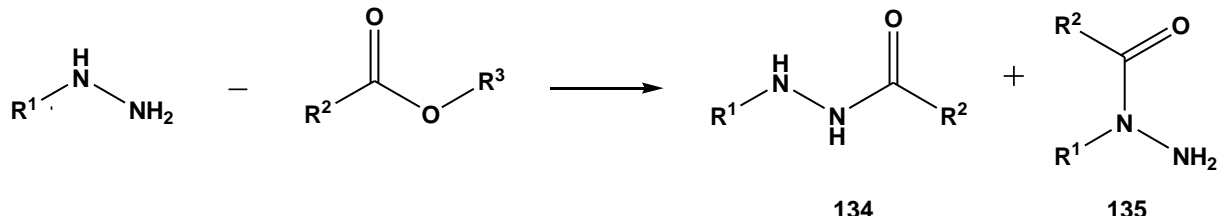
პიდრაზიდების მიღების მეტად გავრცელებული მეთოდია პიდრაზინის ან მისი ალკილ- და არილ- წარმოქმდებულების აცილირება მააცილირებელი აგენტებით. ასეთი მააცილირებელი ნივთიერებებია: მჟავას ანჰიდრიდი და ესტერები. სინთეზის ამ მეთოდის გამოყენების დროს ხდება ახალი C(O)-N ბმის წარმოქმნა და იგი ამინების აცილირებით ამიდების სინთეზის ანალოგიურია. განსაზღვრულ პირობებში შეიძლება წარმოქმნილი პიდრაზიდის შემდგომი აცილირება დი-, ტრი-, და ტეტრააცილჰიდრაზინების მიღებამდე, თუ პიდრაზიდში ერთი ან ორივე აზოტის ატომი ჩაუნაცვლებელია.

პიდრაზინები უფრო ნუკლეოფილური ნივთიერებებია, ვიდრე ამინები. ამიტომ პიდრაზინების აცილირება ნაკლებ აქტიური კარბომჟავების ესთერებით საუკეთესო მეთოდია მარტივი პიდრაზიდების მისაღებად, მაშინ როცა ქლორ-ანჰიდრიდი და მჟავას ანჰიდრიდი წარმოადგენს შესაბამის რეაგენტებს არააქტიური პიდრაზინების აცილირებისათვის ან დი-, ტრი-, ტეტრააცილჰიდრაზინების მისაღებად, რაც ნაჩვენებია შემდეგ სქემაზე:

სქემა 35



კარბომჟავების ესთერები ხშირად სპონტანურად ურთიერთქმედებენ პიდრაზინჰიდრატთან, მაგრამ ზოგ განსაკუთრებულ შემთხვევაში რეაქციის სჭირდება გახურება. რეაქციის მიმართულება დამოკიდებულია სტერიულ ფაქტორებზე. ჩანაცვლება მონოაცილჰიდრაზინში შეიძლება წავიდეს ნებისმიერ აზოტის ატომთან, რის შედეგადაც წარმოიქმნება იზომერული პიდრაზიდები 134 135.

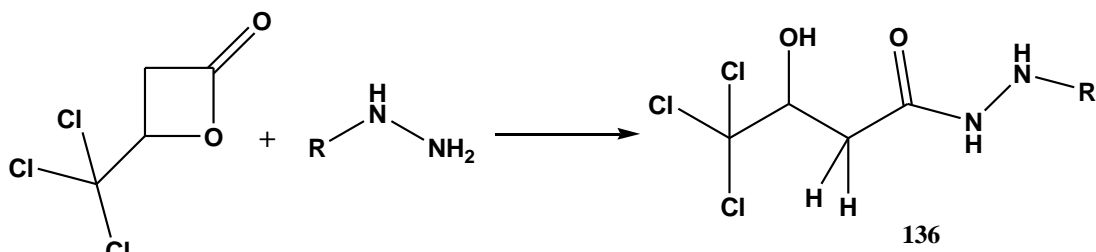


ადსანიშნავია, რომ სივრცობრივად დაბრკოლებული იზომერები **134** წარმოიქმნება მხოლოდ ფორმიატებისაგან.

$R$  და  $R'$ - რადიკალების ზომების გაზრდით რეაქციის სიჩქარე ეცემა და იზრდება პროდუქტის **134** რაოდენობა **135**-ის ხარჯზე [60]. ასე მაგ. მეთოლჰიდრაზინის ურთიერთქმედება ესტერებთან გვაძლევს ძირითად პროდუქტს **134** და პირიქით, ქლორანჰიდრიდით აცილირების დროს ძირითადი პროდუქტია **135**, რადგან მეთოლის ჯგუფის ელექტროდონორული თვისებები ამ შემთხვევაში პროდუქტის აგებულების განმსაზღვრელი ძირითადი ფაქტორია. 1,1-დიჩანაცვლებული ჰიდრაზინები, მაგ. 1,1-დიმეთილჰიდრაზინები, სტერიული დაბრკოლების გამო, რომელ ეთერებთან არ ურთიერთქმედებენ. გამონაკლისია გააქტიურებული ეთერები, რომლებიც შეიცავენ ციანო-, ნიტრო-, ან ჰალოგენჩამნაცვლებლებს [61].

ჰიდრაზინების აცილირება ციკლური ეთერებით (ლაქტონებით) მიმდინარეობს  $O$ -აცილის ბმის გაწყვეტით და ჰიდროქსიჩანაცვლებული ჰიდრაზინის **136** წარმოქმნით (სქემა 36):

სქემა 36



ეს რეაქცია შეიძლება გამოყენებულ იქნას ბუნებრივი ლაქტონების იდენტიფიკაციისათვის [62].

ჰიდრაზინების აცილირებას მჟავათა ჰალოგენანჰიდრიდებით, როგორც წესი, ატარებენ პირიდინში, ტუტის წყალხსნარში ან ორგანულ გამსსნელში  $\text{Na}_2\text{CO}_3$ -ის თანაობისას. ნაკლებად აქტიურ რეაგენტებთან რეაქციის ჩატარებისას საჭირო მაღალი ტემპერატურა. მონოაცილდიჰიდრაზინის აცილირების შესახერებლად პირველ სტადიაზე წარმატებით გამოიყენება სხვადასხვა მეთოდები, მაგ. რეაგენტის განზავება ინერტული გამსსნელებით ან ჰიდრაზინის დამატება წვეთობით დაბალ ტემპერატურაზე.

თუ რეაქციაში შეჰყავთ არასიმეტრიულად ჩანაცვლებული ჰიდრაზინები, აცილირების მიმართულება დამოკიდებულია ჩანაცვლებული ჯგუფის ბუნებაზე. მონოალკილჰიდრაზინის აცილირებისას აცილის ჯგუფი ჯდება ჩანაცვლებულ აზოტთან [62], მაშინ როცა მონოფენილდიჰიდრაზინების შემთხვევაში აცილირებას განიცდის ჩაუნაცვლებელი აზოტის ატომი [63].



ასეთი მოქმედება მოსალოდნელია, თუ გავითვალისწინებთ სხვადასხვა ჩამნაცვლებელი ჯგუფის ელექტრონულ ეფექტს [63].

მეავათა ქლორანპიდრიდების ურთიერთქმედებისას სტერიულ ეფექტს უფრო ნაკლები მნიშვნელობა აქვს, გარდა ისეთი დიდი მოცულობის სუბსტრაქტებისა, როგორიცაა ჰიდრაზობენზოლი, რომელთანაც რეაქციის დროს მეორე აცილის ჯგუფის ჩანაცვლება არ ხდება [63].

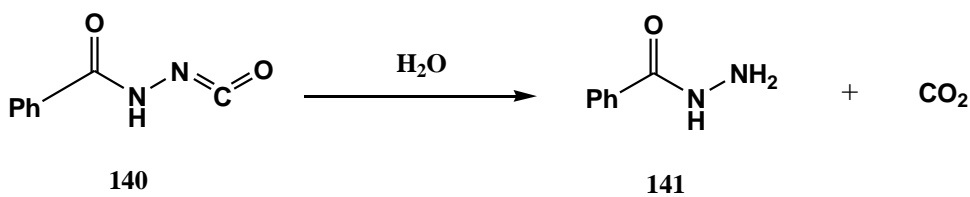
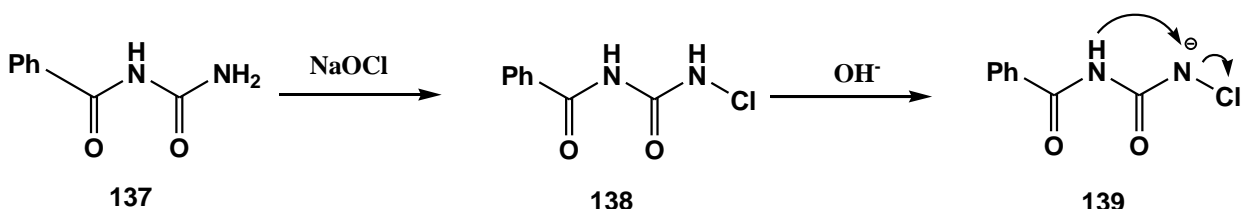
ჰიდრაზინების მაცილირებელ აგენტებად შეიძლება გამოყენებულ იქნას აგრეთვე ამიდები, მაგრამ რეაქციის ჩატარებისათვის საჭიროა შედარებით მაღალი ტემპერატურა და ხანგრძლივი დრო, ვიდრე ესტერების ან მეავათა ქლორანპიდრიდების შემთხვევაში. ამასთან, ჰიდრაზინების გამოსავლიანობა მცირეა [64].

ჰიდრაზინების აცილირება შესაძლებელია კარბონმჟავებით. აქაც, ისევე როგორც ამიდებში, კარბომჟავებისა და ჰიდრაზინის მარილების პირდაპირმა გაცხელებამ არ ჰქოვა ფართო გამოყენება [65]. მაგრამ რეაქცია შეიძლება განხორციელდეს ოთახის ტემპერატურაზე. მადალიდრირებელ აგენტად გამოიყენება N,N-დიციკლოჰექსილკარბოდიმიდი. ამ ტიპის რეაქციებში ჩანაცვლებული ჯგუფის ორიენტაცია მონოჩანაცვლებულ ჰიდრაზინებში ისეთივეა, როგორც მეავათა ქლორანპიდრიდების შემთხვევაში (ე.ო. მნიშვნელოვანია ელექტრონული და არა სტერიული ფაქტორი).

აცილირება ძალზე აქტიური კეტენებით მიღის რბილ პირობებში. ფენილჰიდრაზინთან რეაქციას მივყავართ 1-აცილ-2-ფენილჰიდრაზინის წარმოქმნამდე რაოდენობრივი გამოსავლიანობით. თუმცა მეთილჰიდრაზინი დიფენილჰეტონთან ურთიერთქმედებისას გვაძლევს 1,2-დიაცილწარმოებულს მაშინ, როცა მონაცილწარმოებულის გამოყოფა არ ხდება. [64, 66].

ჰიდრაზინების მიღების მეორე გზა არის N-N ბმის წარმოქმნა, რომელიც სხვადასხვა მეთოდებით შეიძლება განხორციელდეს. პირველი მეთოდია მონოაცილჰარდოვანას **137** დამუშავება ნატრიუმის ჰიპოკლორიდით. როგორც გარაუდობენ, რექცია (შოსტაკოვის რეაქცია) მიღის შუალედური პროდუქტის N-ქლორმარდოვანას **138** წარმოქმნით. ამ ნაერთის დამუშავება ფუძით იძლევა ანიონს უარყოფითი მუხტით აზოტზე **139**, რომელშიც ხდება N-Cl ბმის გახლება ამიდური ჯგუფის სინქრონული მიგრაციით. ამ დროს წარმოქმნება ჩანაცვლებული იზოციანაზი **140**, რომელიც ჰიდროლიზის შედეგად გვაძლევს ჰიდრაზინებს **141** სქემაზე ეს ასე გამოისახება:

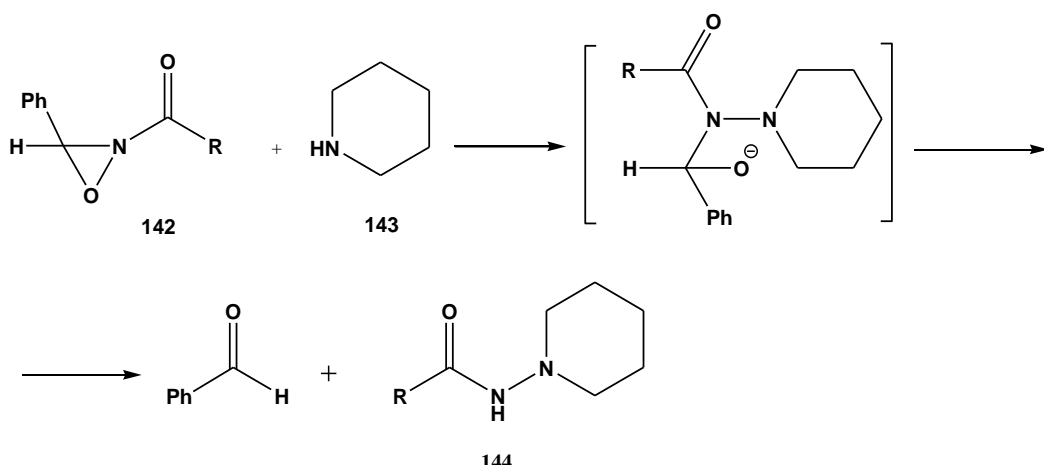
### სქემა 37



N-N ბმის წარმოქმნის სხვა მეთოდებს მიეკუთვნება აგრეთვე N-ნიტროამიდების ადგენა და N-ქლორამიდების დამუშავება ნატრიუმის ამიდით ან მეორადი ამიდის ანიონით, რომლებსაც მივყავართ შესაბამისად მონო- და 1,2-დიაცილჰიდრაზინის მიღებამდე.

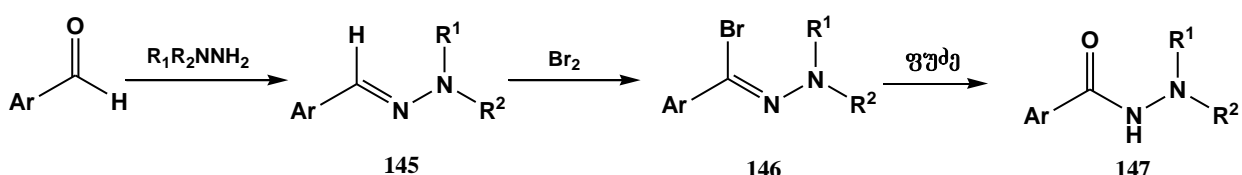
N-N ბმის წარმოქმნის ახალ მეთოდს მიეკუთვნება N-ციკლოაზირიდინის 143 დამუშავება აზოტოვანი ფუძით 142, მაგ. პიპერიდინით. აქ ნუკლეოფილური შეტევა ადგილად ხორციელდება დაძაბული სამწევრიანი ციკლის გახსნის შედეგად. ოქსაზირიდინები 144 – ხელმისაწვდომი ნაერთებია და 3-ფენილოქსაზირიდინთან რეაქციის გამოსავლიანობა საკმაოდ მაღალია. სასურველი აგენტების პიდრაზიდი შეიძლება მიღებულ იქნას შესაბამისი ფუძის შერჩევით. გარდაქმნის სქემა ასეთია (სქემა 38) :

### სქემა 38

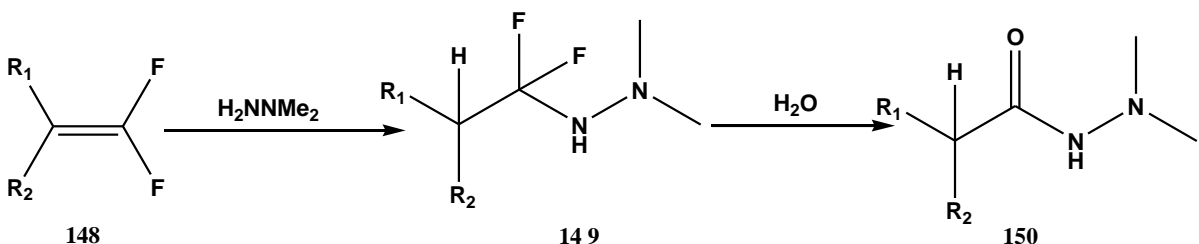


პიდრაზიდების მიღების მეთოდების მესამე ჯგუფს მიეკუთვნება C-N-N ჯაჭვში ჟანგბადის ატომის შეყვანა. ეს გარდაქმნა რამდენიმე მეთოდით შეიძლება განხორციელდეს. მაგ. პიდრაზონების დაუანგვის გზით ზემთარმუავით ან პიდრაზონების 145 გარდაქმნის გზით – ბრომთან რეაქციის შედეგად პიდრაზიდბრომიდად 146 და მისი შემდგომში პიდროლიზით ზომიერად ფუძე გამსხველში [67] (სქემა 39).

### სქემა 39



პირიქით, დიფორმოლეფინების 148 კონდენსაციას პიდრაზინებთან მივყართ 1,1-დიფორმოლიდრაზინის 149 წარმოქმნამდე, რომელიც პიდროლიზის შედეგად იძლევა, პიდრაზიდს 150, თუმცა შემდგომმა კონდენსაციის რეაქციებმა შეიძლება დასწიონ პროდუქტის გამოსავლიანობა [68] (სქემა 40):



### 1.3.2 პიდრაზიდების თვისებები

პიდრაზიდები რეაქციისუნარიანი ნაერთებია. ისინი განიცდიან გარდა ქმნებს, რომელთა საფუძველზეც შესაძლებელია მიღებულ იქნას მრავალი საინტერესო აგებულების ნაერთი. მრავალი პიდრაზიდი ფიზიოლოგიურად აქტიურია და ეს ზრდის მათი გამოყენების სფეროს.

ჩვენ განვიხილავთ უფრო დაწვრილებით მარტივი პიდრაზიდების, მონოაცილჰიდრაზინების ზოგიერთ გარდაქმნებს.

მონოაცილჰიდრაზინებში კარბონილის ჯგუფის მეზობელი აზოტი აღინიშნება, როგორც 1- ან ა აზოტის ატომი, ხოლო შემდეგი აზოტის შესაბამისად 2- ან ბ-აზოტის ატომი. მარტივ პიდრაზიდებში O-C-N-N ჯაჭვში ყველაზე ნუკლეოფილურია ბ-აზოტის ატომი და რეაქციები მიღის ამ ატომთან. თუმცა შესაძლებელია ჩანაცვლება უანგბადისა და α-N-ატომებთანაც, მაგრამ ეს პროცესები უფრო ძნელად მიღის.

პიდრაზიდები ამიდების მსგავსი ამფოტერული ნაერთებია. ბ-აზოტის ატომის პროტონირების შედეგად ისინი უფრო ძლიერი ფუძეები არიან, ვიდრე ამიდები, მაგრამ უფრო სუსტი ფუძეები, ვიდრე პიდრაზინები. ფენილის ჯგუფის ჩანაცვლება პიდრაზიდებში ბ-აზოტის ატომთან იმდენად ამცირებს მის ფუძიანობას, რომ ისინი აღარ იხსნებიან მჟავებში. მეორე მხრივ, პიდრაზიდები სუსტი მჟავებია, უფრო სუსტი, ვიდრე პიდროქსამის მჟავები, მაგრამ მნიშვნელოვნად ძლიერი, ვიდრე ამიდები [59]. α-NH-ის იონიზაცია ხდება უფრო აღვილად, ვიდრე β-NH-ის ბმისა, რადგან ალკილირება ძლიერ ტუტე არეში მიღის α-N აზოტის ატომთან. 1,2-დიაცილჰიდრაზინებიც ასევე სუსტ მჟავებს წარმოადგენენ და წარმნიან მონო- და დი- ნატრიუმის მარილებს [69].

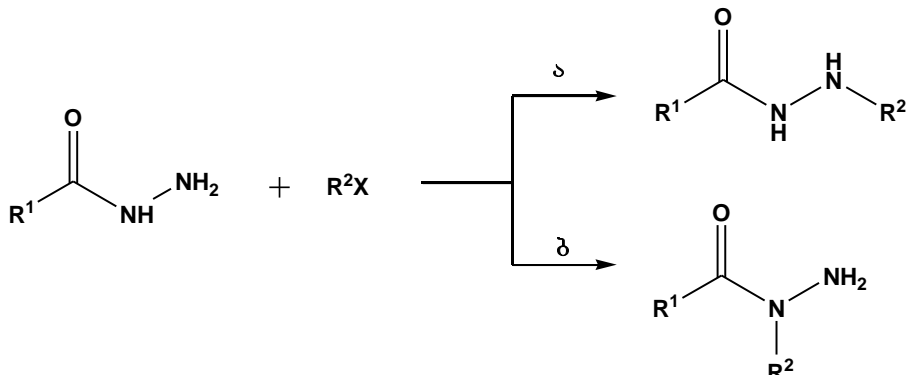
პიდრაზიდები შედიან როგორც კარბონილის ჯგუფთან ნუკლეოფილური მიერთების რეაქციებში, (მაგ. პიდროლიზის დროს), ასევე ურთიერთქმედებენ ელექტროფილურ რეაგენტებთან (მაგ. არაორგანული მჟავების ალკილ- და აცილჰალოგენიდებთან და კარბონილურ ნაერთებთან), სამივე პეტეროატომით (O, α-N და β-N). ნეიტრალურ და სუსტ ტუტე გამსხნელებში ჩანაცვლება ხდება ბ-ატომთან, ხოლო ძლიერ ტუტე არეში, პირიქით, ჩანაცვლება ხდება α-N-თან. პიდრაზიდები აღვილად იუანგებიან და აღდგებიან.

პიდრაზიდების მნიშვნელოვან თვისებას წარმოადგენს პეტეროციკლური ნაერთების წარმოქმნის უნარი, როგორც შიდამოლექულური ციკლიზაციით, ისე პოლიფუნქციონალურ რეაგენტებთან კონდენსაციის შედეგად.

მარტივი ჰიდრაზიდები იჩენენ მდგრადობას როგორც მჟავების, ისე ფუქს-ების მოქმედების მიმართ ოთახის ტემპერატურაზე. ჰიდრაზიდების ჰიდროლიზი შესაბამისი კარბომჟავასა და ჰიდრაზინის წარმოქმნით მიმდინარეობს ხანგრძლივი დუდილის შედეგად მჟავების ან ფუქსების წყალხსნარებში.

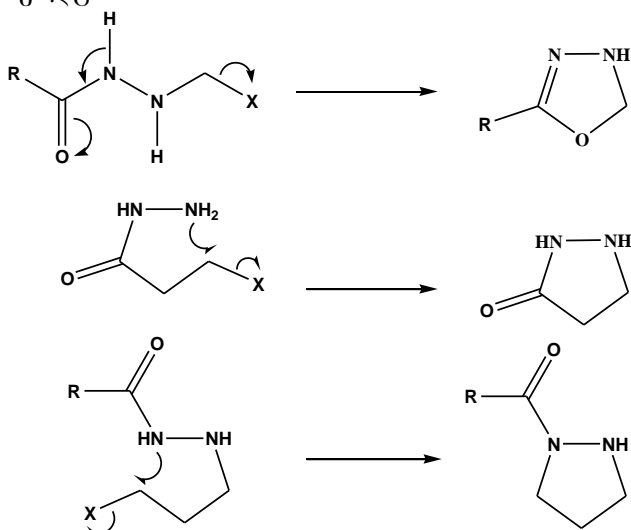
ჰიდრაზიდები განიცდიან ალკილირებას, რომელიც რეაქციის პირობების მიედვით შეიძლება წავიდეს  $\alpha$ -ან  $\beta$ -აზოტის ატომთან. მაგ: (სქემა 41)

სქემა 41



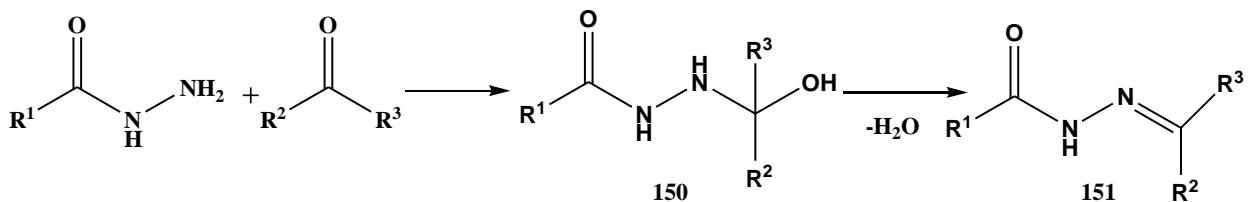
ნეიტრალურ ხსნარებში ალკილირდება  $\beta$ - აზოტის ატომი (მიმართულება (ა)), ხოლო ძლიერი ფუქსების თანაობისას ( $\text{Na}$  ან  $\text{NaOMe}$ ) ჩანაცვლების ადგილი დამოკიდებულია გამხსნელზე: აპროტონულ გამხსნელებში (ეთერი, ბენზოლი) ჩანაცვლება ხდება  $\alpha$ -ატომთან (მიმართულება (ბ)), ხოლო პროტონულ გამხსნელებში (ეთანოლი) -  $\beta$ - $N$  აზოტის ატომთან (მიმართულება (ა)).

ჰიდრაზიდის სამივე ნუკლეოფილურ ატომს შეუძლია მონაწილეობა მიიღოს შიდამოლეკულურ ალკილირების რეაქციებში, სადაც წარმოქმნიან ოპტიმალური ზომის ციკლს. მაგ., ხუთწევრიანი ჰეტეროციკლური ნაერთის წარმოქმნა შეიძლება ასე წარმოვიდგინოთ:



აქვსწევრიანი ციკლებიც ანალოგიურად წარმოიქმნება. ეს გარდაქმნები წარმოადგენენ ჰიდრაზიდების გამოყენების ერთ-ერთ ძირითად გზას ჰეტეროციკლური ნაერთების სინთეზისათვის.

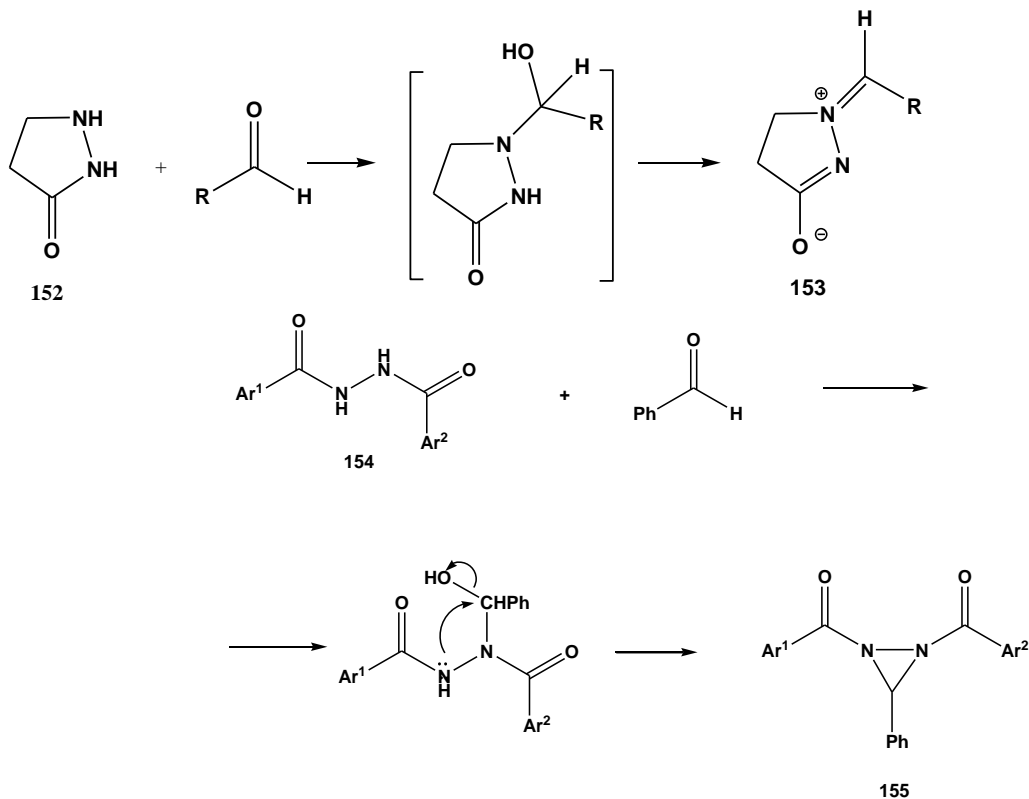
მარტივი ჰიდრაზიდები ადვილად რაგირებენ კარბონილურ ნაერთებთან. ნეიტრალურ არეში უფრო აქტიური ტერმინალური აზოტის ატომი და უმეტესად წარმოიქმნება კარბინოლამინის ნაწარმი 151, რომლიდანაც სწრაფად ელიმინირდება წყალი და იძლევა ჰიდრაზოს 152 (სქემა 42).



როგორც ამიდების შემთხვევაში, რეაქციის სიჩარე მაქსიმალურია ზომიერი PH-ის პირობებში, მյავა არეში რეაქცია შექცევადია [70]. როგორც მონათესავე არილჰიდრაზონები, აცილჰიდრაზონებიც კარგად კრისტალიზებადი ნივთიერებებია, რომელთაც იყენებენ კარბონილური ნაერთების იდენტიფიკაციისათვის. ჰიდრაზიდები, რომელთაც აქვთ განსაზღვრული აღნაგობა, გამოიყენება კარბონილური ნაერთების გამოსაყოფად სხვადასხვა ნარევებიდან.

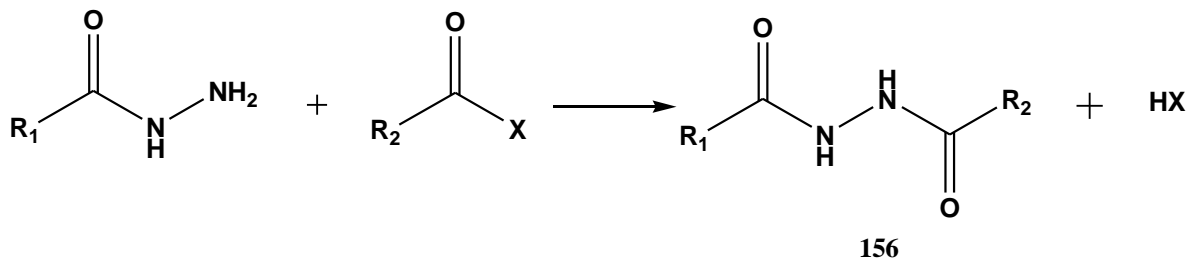
მაგ., ჟირარის რეაქტივი  $\text{Me}_3\text{NCH}_2\text{CONHNH}_2\text{Cl}^+$   $\text{F}^-$  არმოქმნის წყალში ხსნად აცილჰიდრაზონს და ამგვარად საშუალებას იძლევა კარბონილური ნაერთები გამოყოს რთული ორგანული ნაერთებიდან [71].

კარბონილურ ნაერთებთან რეაგირებს აგრეთვე  $\beta$ -N-ალკილჰიდრაზიდი 152 და 1,2-დიაცილჰიდრაზინი. სავარაუდოდ, დასაწყისში წარმოიქმნება აგრეთვე კარბინოლამინი, მაგრამ რადგან წყლის მოხლეება შეუძლებელია, მიმდინარეობს სხვა ტიპის მოხლეება. საბოლოოდ კი,  $\beta$ -N-ალკილჰიდრაზიდიდან წარმოიქმნება ბეტაინი 153 [72], ხოლო 1,2-დიაცილჰიდრაზინი 154 – დიაზირიდინი 155 (სქემა 43).



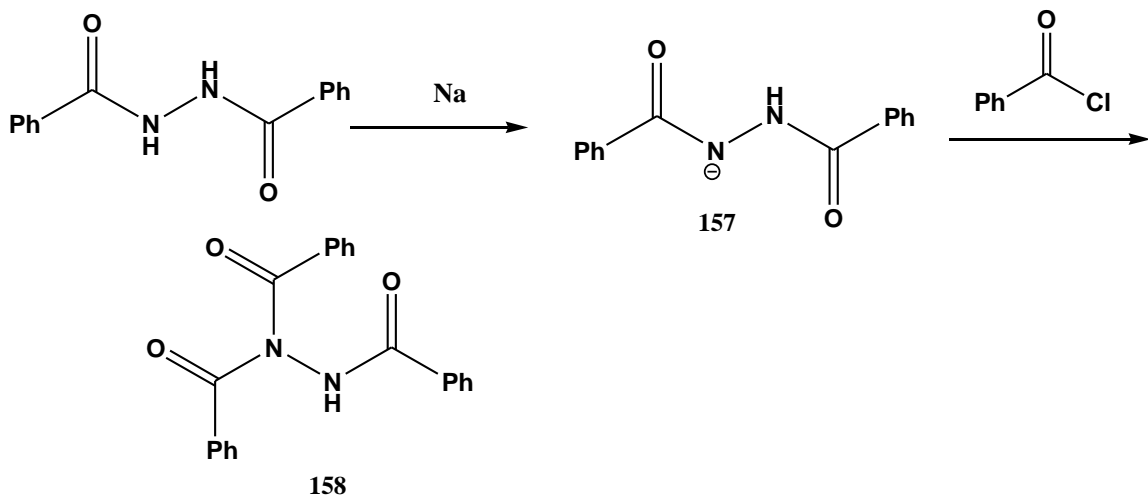
მარტივი ჰიდრაზიდები განიცდიან აცილირებას როგორც ჰალოგენანტიდრო-დებით, ასევე მჟავების ანტიდრიდებით, რის შედეგადაც წარმოიქმნება უფრო ძეგლად ჩანაცვლებული აცილჰიდრაზინები. პირველადი ჩანაცვლება, რომელსაც მივყავართ შესაბამის 1,2-დიაცილჰიდრაზინთან 156, როგორც წესი, მიდის დაბალ ტემპერატურაზე, ინერტულ ან სუსტ ფუნქ არეში, მაღალი გამოსავლიანობით [61] (სქემა 44).

სქემა 44

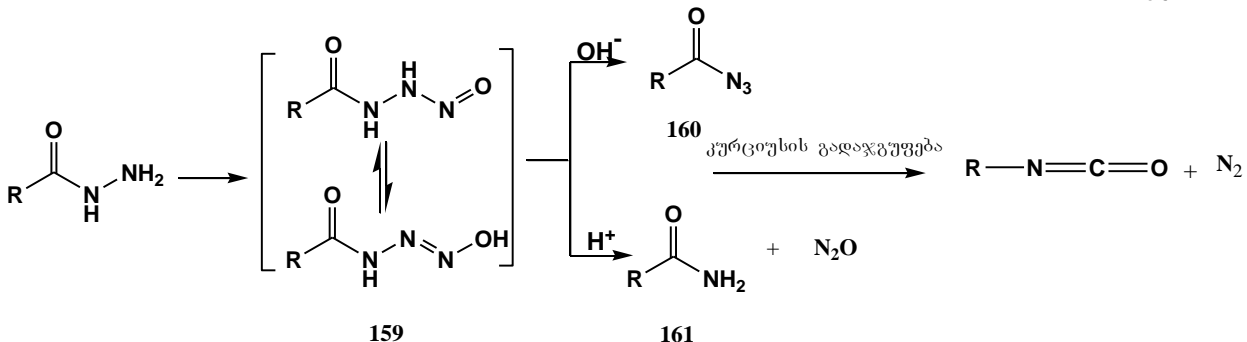


შემდგომში ჩანაცვლება მიდის ტრი- 157 და ტეტრააცილჰიდრაზინების 158 წარმოქმნით. ეს რეაქცია მიდის უფრო ძნელად და მოითხოვს ან უფრო ძლიერი ფუძის არსებობას, ან მააცილირებელი აგენტის სიჭარბეს და მაღალ ტემპერატურას (სქემა 45):

სქემა 45

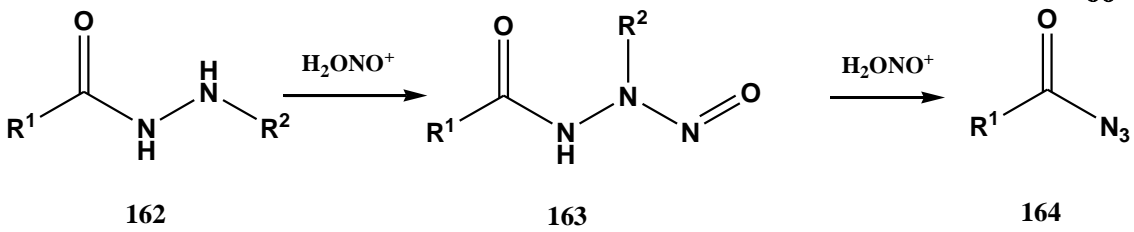


ჰიდრაზიდების კლასის ნაერთთა ერთერთი მნიშვნელოვანი ჩანაცვლების რეაქციაა მარტივი ჰიდრაზიდების ნიტროზირება. რეაქცია მიდის ჰიდრაზიდის ურთიერთქმედებით მჟავე ნიტრიტთან, დაბალ ტემპერატურაზე (სქემა 46):

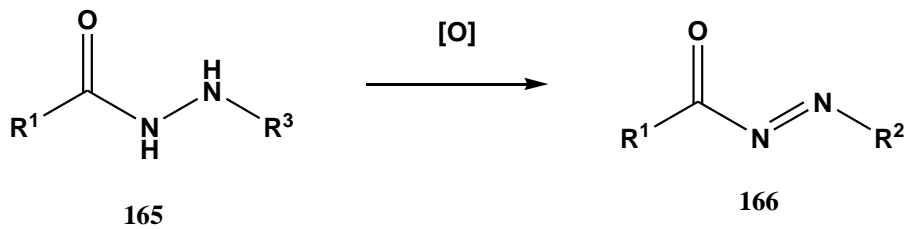


წარმოქმნილი შუალედური პროდუქტი,  $\beta$ -N-ნიტროზოპიდრაზიდი 159, შეიძლება გამოიყოს რეაქციის პირობების მიხედვით, ორი მიმართულებით: ფუძე არეში პირველად წარმოქმნება აცილაზიდები 160, რომლებიც განიცდიან ცნობილ კურციუსის გადაჯგუფებას ამინების წარმოქმნით [73]. კურციუსის გადაჯგუფების დროს აცილაზიდი გარდაიქმნება იზოციანატად. შემდეგ იზოციანატი რეაგირებს წყალთან ამინის წარმოქმნით. ხოლო შუალედური პროდუქტის გაცხელებით ან ძლიერი მჟავებით დამუშავების დროს წარმოქმნება პირველადი ამიდი 161 და აზოტის ოქსიდი.

ასევე 2,2-დიალკილპიდრაზიდების 162 ურთიერთქმედებით მჟავე ნიტრიტთან ხდება ნიტროზირება  $\beta$ -აზოტის ატომთან, რაც საბოლოოდ სრულდება აცილაზიდის წარმოქმნით [74] (სქემა 47).

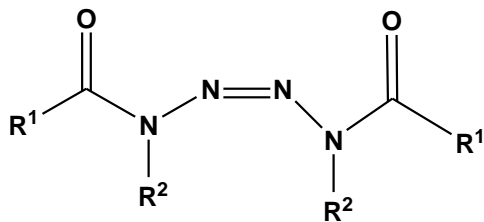


პიდრაზიდები 165, რომლებიც შეიცავენ წყალბადს აზოტის თითოეულ ატომთან, დამჟანგველების (ჟანგბადი,  $\text{FeCl}_3$ ,  $\text{Ag}_2\text{O}$ , ჰალოგენები) მოქმედებით ადვილად იქანებიან დიიმიდებამდე 166 (სქემა 48):



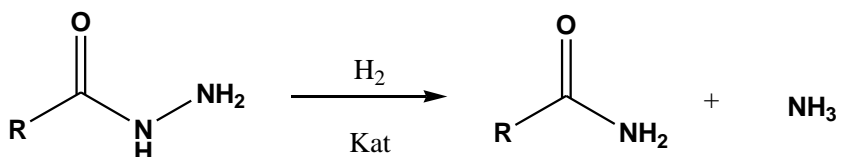
დიიმიდები შეიძლება გამოყოფილ იქნან, მაგრამ აზოტთან ჩაუნაცვლებელი დიიმიდები შეიძლება გამოყენებულ იქნან, როგორც პიდრაზიდების ან ამიდების მააცილირებელი აგენტები. სიმეტრიულად ჩანაცვლებულმა დიიმიდებმა -  $\text{R}^2=\text{R}^1=\text{C}=\text{O}$  - გამოყენება პპოვეს პეპტიდების სინთეზებში.

ჩაუნაცვლებელი პიდრაზიდები იოდთან ან  $\text{N}$ -ბრომსუქცინიმიდთან ურთიერთქმედებისას იძლევიან აცილდიაზონიუმის მარილებს  $\text{RCON}_2^+$ , მაშინ, როცა  $\alpha$ - $\text{N}$ -ჩანაცვლებული პიდრაზიდების დაჟანგვისას პერმანგანატით ან პიპობრომიდით ხდება დიმერიზაცია ტეტრაზინების 167 წარმოქმნით [75].



167

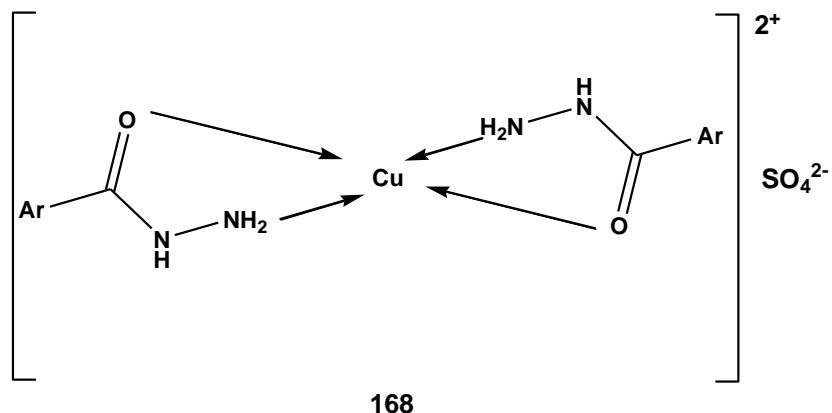
ჰიდრაზინების ალდეგენას მეტალურგიური ჰიდრაზინებით  $[\text{LiAlH}_4, \text{NaBH}_4]$  მივყავართ ჰიდრაზინის მიღებასთან, მაშინ, როცა კატალიზური ჰიდრირების დროს (რენეს ნიკელი ეთანოლში) ხდება N-N ბმის გახლება, ამიდების და ამიაკის წარმოქმნით. 1,1- და 1,2-დიაცილჰიდრაზინების შემთხვევაში რეაქცია მიღის უფრო ნელა და გამოსავლიანობაც ნაკლებია.



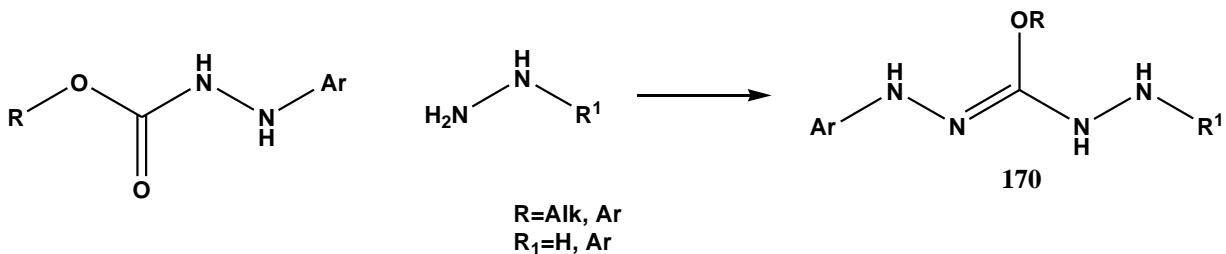
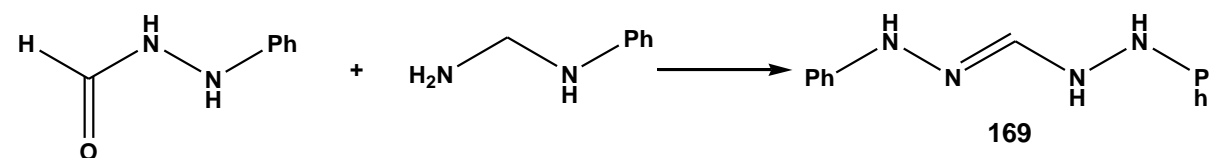
მონო- და დიაცილჰიდრაზინების კიდევ ერთი საინტერესო თვისებაა ის, რომ მათ შეუძლიათ გამოვიდნენ ლიგანდების როლში კომპლექსნაერთების წარმოქმნისას გარდამავალ მეტალებთან ( $\text{Cu(II)}$ ,  $\text{Ca(II)}$ ,  $\text{Fe(II)}$ ,  $\text{Mn(II)}$ ) და ასევე ლუისის მჟავებთან ( $\text{SbCl}_5$ ,  $\text{TiCl}_4$ ,  $\text{SnBr}_4$ ).

გარდამავალ მეტალებთან კომპლექსის სტრუქტურა 168 ასე გამოისახება (სქემა 49):

სქემა 49

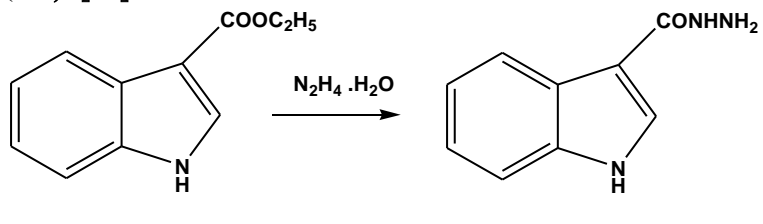


ჰიდრაზინები წარმოქმნიან აგრეთვე ჰიდრაზონებს, რომელთა მოლეკულებში ჰიდრაზონული ფრაგმენტის ნახშირბადაგატომთან მახასიათებელი ჯგუფის სახით დაკავშირებულია ჰიდრაზინული ნაშთი. ასეთ ჰიდრაზინობრაზონებს ეწოდებათ ჰიდრაზინები 169, 170 (სქემა 50) [76].

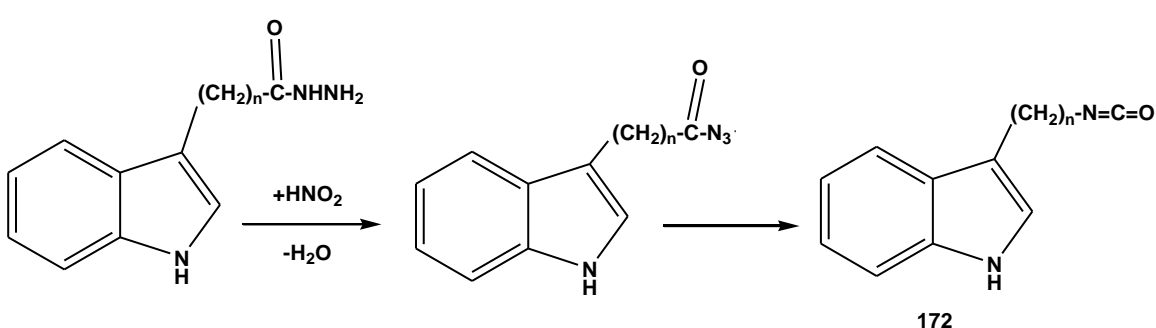


### 1.3.3. ჰეტეროციკლური ბირთვების შემცველი ჰიდრაზიდები

ცნობილია ინდოლის ბირთვის შემცველი ჰიდრაზიდები, რომელთა საფუძველზეც მიღებულია მრავალი საინტერესო ნაერთი. ასე მაგ., ალუმანის, ბერნაბეს, ლიბერმანისა და ბენინის მიერ მიღებულია (ინდოლილ-3)-კარბოჰიდრაზიდი (171) [78].

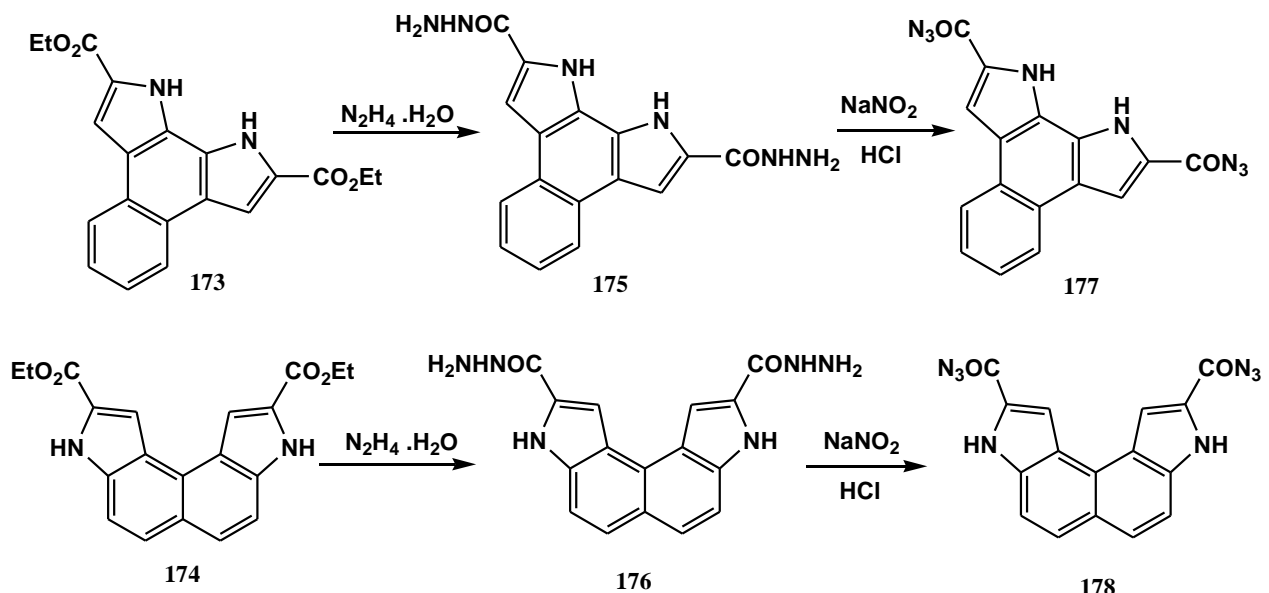


სუვოროვის, ვალექევასა და სხვა ავტორების მიერ ინდოლილ-3-ჰიდრაზიდის ბაზაზე სინთეზირებულ იქნა ინდოლის რიგის იზოციანატები 172 შემდეგი სქემის მიხედვით (სქემა 51):



ბენზო[e]პიროლო[3,2-g]ინდოლისა და ინდოლო[4,5-e]ინდოლის დიეთოქსიკარბონილნაწარმების 173, 174 გარდაქმნით მიღებულია შესაბამისი დიპიდრაზიდები - 2,9-დი(კარბოპიდრაზიდ)-1H, 10H-ბენზო[e]პიროლო[3,2-g]ინდოლი (175) და 2,9-დი(კარბოპიდრაზიდ)-3H, 8H-ინდოლო[4,5-e]ინდოლი (176). ისინი მიღებულია შემდეგი სქემის მიხედვით [79] (სქემა 52).

სქემა 52



ჩატარებულია მიღებული დიპიდრაზიდების ნიტროზირების რეაქცია. გამოყოფილია შესაბამისი აცილაზიდები 177, 178.

## თავი 2. ექსპერიმენტული მონაცემების განსჯა

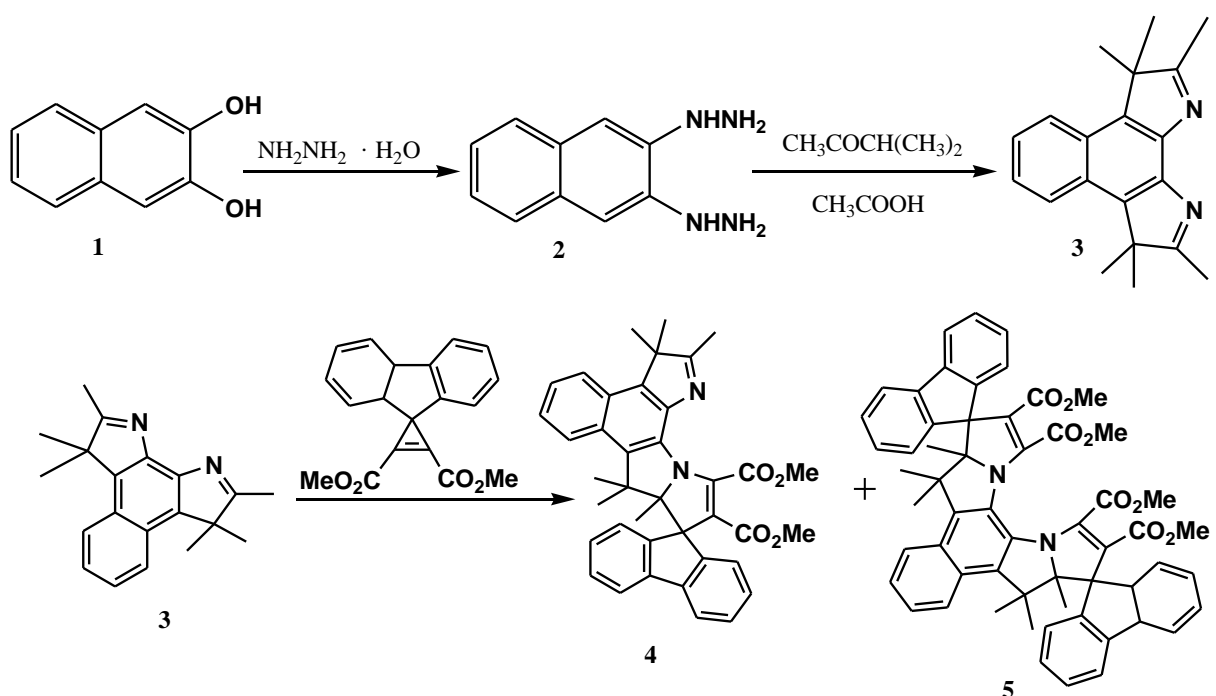
### 2.1. ბენზოპიროლოინდოლის ბირთვის შემცველი დიპიდროინდოლიზინის ტიპის ახალი სპიროციკლური ნაერთების სინთეზი

დიპიდროინდოლიზინის ტიპის ფოტოქრომები ახალი თაობის ფოტოქრომულ ნაერთებს წარმოადგენენ. გარდა ტრადიციული სფეროებისა, მათ იყენებენ კომპიუტერულ ტექნიკაში ინფორმაციის ჩაწერისა და შენახვისათვის, ფოტოგადართვის უნარის მქონე [80], აგრეთვე პოლიმერული და დენტალური [81] მასალების დასამზადებლად. ორგანული ქიმიის კათედრაზე სინთეზირებული იყო დიპიდროინდოლიზინის ტიპის ნაერთები ინდოლოინდოლების ბაზაზე. ისინი წარმოადგენენ სწრაფად გარდაქმნად ფოტოქრომულ ნივთიერებებს. მათ აღმოაჩნდათ ნახევარგარდაქმნის პერიოდის ძალიან მცირე მნიშვნელობა ( $\tau_{1/2}=1,402$ ,  $\tau_{1/2}=0,043$ ) [82-84].

სამუშაოს პირველ ეტაპზე ჩვენს ამოცანას შეადგენდა მოგვეხდინა დიპიდროინდოლიზინის ტიპის ახალი სპიროციკლური ნაერთების სინთეზი ინდოლოინდოლების იზომერული ჰეტეროციკლის – ბენზოპიროლოინდოლის საფუძველზე მისი შემდგომი ფოტოქრომული თვისებების შესწავლისა და შედარების მიზნით.

მიზნობრივი პროდუქტის სინთეზი განვახორციელეთ ორ საფეხურად, ეწ. სპირანული ანუ ციკლოპროპენული მეთოდით, რომელიც მოიცავს N-ჰეტეროციკლის ურთიერთქმედებას ელექტრონულად დარიბ დიმეთოქსიკარბონილსპიროფლურენციკლოპროპენთან. პირველ საფეხურზე ხდება ჰექსამეთოლდიპიდრობენზოპიროლოინდოლის 3 სინთეზი ლიტერატურაში [83] აღწერილი მეთოდიკით 2,3-დიოქსინაფთალინის (1) საფეხურეობრივი გარდაქმნით შემდეგი სქემის მიხედვით (სქემა 1):

სქემა 1



2,3-დიოქსინაფთალინის (1) ურთიერთქმედებით ჭარბ პიდრაზინკიდრატან აბს. სპირტის არეში მიიღება 2,3-ნაფთოლენდიპიდრაზინი (2). მისი კონდენსაციით მეთილიზოპროპილკეტონთან და ერთდროული ციკლიზაციით ყინულოვან მმარმეავაში, შუალედური დიპიდრაზონის გამოყოფის გარეშე, მიიღება 2,3,3,8,8,9-ჰექსამეთილ-3,8-დიპიდრობენზო[e]პიროლო[3,2-გ]ინდოლი (3) [85, 86].

მეორე საფეხურზე განხორციელებულია მიზნობრივი პროდუქტის სინთეზი ჰექსამეთილდიპიდრობენზოპიროლონდოლის 3 ნუკლეოფილური მიერთებით დიმეთოქსიკარბონილსპიროფლუორენციკლოპროპენთან. რეაქცია მიმდინარეობს სიბნელეში 60°C-ზე აბს. ბენზოლის არეში. რეაქციის მიმდინარეობის ქრომატოგრაფიული კონტროლისას შეინიშნებოდა ორი ახალი ნივთიერების წარმოქმნა, მაგრამ კონდენსაციის ძირითადი პროდუქტი აღმოჩნდა მონოსპირონაერთი 4 71%-იანი გამოსავლიანობით, ხოლო ბის-პროდუქტი გამოყოფილ იქნა 5%-იანი გამოსავლიანობით. შევეცადეთ, გაგვეზარდა ბის-პროდუქტის 5 გამოსავლიანობა რეაქციის პირობების შეცვლით; კერძოდ, სპიროფლუორენციკლოპროპენის კონცენტრაციისა და რეაქციის ხანგრძლივობის გაზრდით, მაგრამ სასურველი შედეგი ვერ მივიღეთ. ბის-სპირონაერთის 5 წარმოქმნის დაბალი გამოსავლიანობა სავარაუდოდ, გამოწვეულია, სტერიული დაბრკოლების გამო.

4 და 5 ნაერთების სტრუქტურა დადგენილია სპექტრული მეთოდებით [87].

ბის-სპირონაერთის 5 ინფრაწითელ სპექტრში ვლინდება C=O და C=C ბმების მახასიათებელი შთანთქმის ზოლები (1720, 1710, 1590 სმ<sup>-1</sup>).

ჩვენს მიერ სრულად იქნა გაშიფრული როგორც მონო- 4, ასევე ბის-სპირონაერთების 5 ბირთვულ-მაგნიტური რეზონანსის (<sup>1</sup>H-ბმრ) სპექტრები.

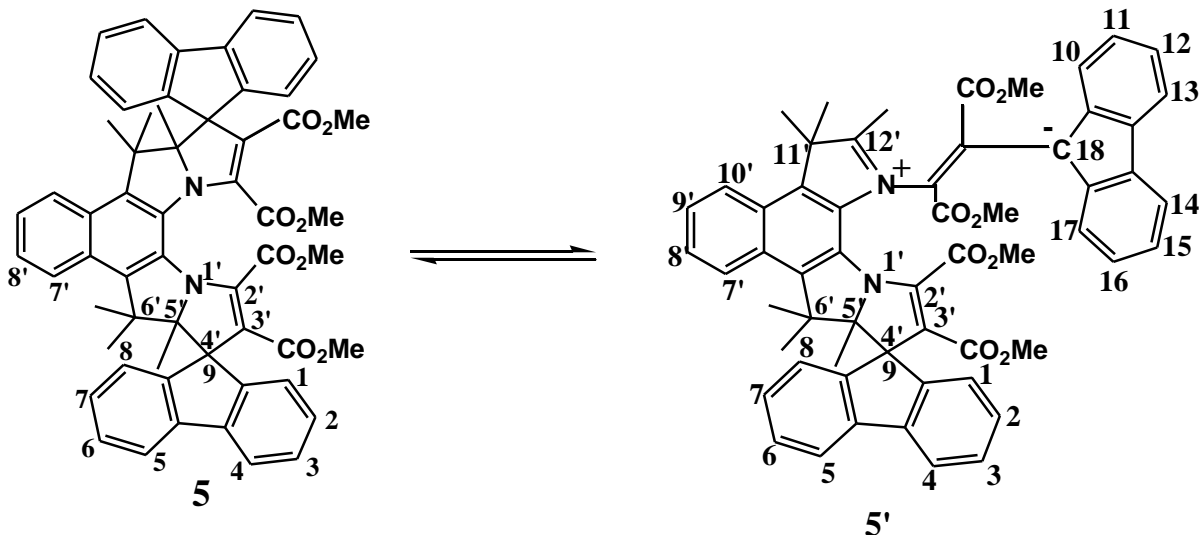
მონო-სპირონაერთის 4 <sup>1</sup>H-ბმრ სპექტრი შეესაბამება არასიმეტრიულ მოლეკულას: ძლიერი ველის უბანში მედავნდება სხვადასხვა მეთილის ჯგუფების სინგლეტური სიგნალები, რომელთა ინტეგრალური ინტენსიურობები შეესაბამება 3 პროტონს (6'-C ატომთან მდებარე ორი განსხვავებული CH<sub>3</sub>-ჯგუფებისათვის, 5'-C და 12'-C ატომებთან მდებარე CH<sub>3</sub>-ჯგუფებისათვის) და 6-პროტონს (პიროლის ბირთვში 11'-C ატომთან ორი CH<sub>3</sub>-ჯგუფისათვის, რომელთა პროტონების ქიმიური ძვრადობა ერთმანეთს ემთხვევა).

სპექტრის შედარებით სუსტ ველში ვლინდება ორი სიგნალი ესთერული COOCH<sub>3</sub> მეთილის ჯგუფების შესაბამისი 3 პროტონისათვის.

არომატული პროტონებისათვის დამახასიათებელ უბანში ვლინდებიან ფლუორენის და ნაფთალინის ბირთვების პროტონების სიგნალები: ოთხი დუბლეტური სიგნალი (ფლუორენის ბირთვში ერთმანეთს ემთხვევა, შესაბამისად 1-H და 8-H; 4-H და 5-H ექვივალენტური პროტონების დუბლეტები, ხოლო ნაფთალინის ბირთვის 7'-H და 10'-H პროტონები იძლევიან ორ დუბლეტს), ოთხი ტრიპლეტური სიგნალიდან ჩვენ ორი სიგნალი მივაკუთვნეთ შესაბამისად ფლუორენის ბირთვის 2-H და 7-H; 3-H და 6-H ექვივალენტურ პროტონებს, ხოლო ნაფთალინის ბირთვის 8'-H და 9'-H პროტონები იძლევიან ასევე ორ ტრიპლეტს (სიგნალების სრული მიკუთვნება პროტონებისათვის მოცემულია ექსპერიმენტულ ნაწილში).

საინგერესოა ბის-სპიროციკლური ნაერთის 5 <sup>1</sup>H-ბმრ სპექტრი, სადაც შეინიშნება მაღალი და დაბალი ინტენსიურობის სიგნალების ორი წყება. ჩვენი ვარაუდით, ეს გამოწვეული უნდა იყოს სსნარში სპირონაერთის ორი ფორმის – დიპიდრონინდოლიზინის ციკლური (5) და ცალმერივად გახსნილი – ბეტაინური (5') ფორმების შესაბამისი სტრუქტურების არსებობით. ამის უფლებას გვაძლევს ის, რომ ლიტერატურიდან ცნობილია სპირონაერთების შექცევადი გარდაქმნა, რომელიც შეიძლება მოხდეს როგორც პოლარულ გამხსნელში ნივთიერების გახსნით, ასევე გაცხელებით ან სინათლის მოქმედებით [88]. სქემატურად ეს პროცესი ასე გამოისახება (ბის-სპირონაერთებისათვის უფრო ადვილად ხდება

ციკლის ერთ მხარეს გახსნა და მიიღება ცალმხრივად გახსნილი არასიმეტრიული ფორმა) [88].



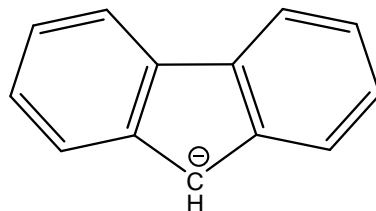
ნაერთის **5**  $^1\text{H}$ -ბმრ სპექტრში მაღალი ინტენსიურობის სიგნალები რაოდენობის მიხედვით შეესაბამება სიმეტრიულ მოლეკულას, როგორიც არის სპირონაერთის ციკლური ფორმის სტრუქტურა **5**. ამ სტრუქტურაში სიმეტრიის სიბრტყის არსებობის გამო, მოლეკულის თითოეული ნახევრის ექვივალენტური პროტონების ქიმიური წანაცვლებები ერთმანეთს ემთხვევა. მაღალი ინტენსიურობის სიგნალებიდან სპექტრის ძლიერ ველში მჟღავნდება  $6'\text{-C}$ -თან მდებარე ორი  $\text{CH}_3$  ჯგუფის პროტონების შესაბამისი ორი სინგლეტი და  $5'\text{-C}$ -თან მდებარე  $\text{CH}_3$ -ის პროტონების ერთი სინგლეტი. შედარებით სუსტ ველში მჟღავნდება  $\text{COOCH}_3$  ჯგუფების პროტონების შესაბამისი ორი სინგლეტი. არომატული პროტონებისათვის დამახასიათებელ უბანში მჟღავნდება მაღალი ინტენსიურობის სიგნალები სამი დუბლეტის ( $\delta(4\text{-H})=\delta(5\text{-H})$ ,  $\delta(1\text{-H})=\delta(8\text{-H}), 7'\text{-H}$ ) და სამი – ტრიპლეტური სიგნალი ( $\delta(2\text{-H})=\delta(7\text{-H})$ ,  $\delta(3\text{-H})=\delta(6\text{-H}), 8'\text{H}$ ) შესაბამისი სპინ-სპინური ურთიერთქმედების კონტრანტებით.

სპექტრში დაბალი ინტენსიურობის სიგნალების რაოდენობა შეესაბამება არასიმეტრიული, ე.ო. ცალმხრივად გახსნილი სტრუქტურის **5'** პროტონების სიგნალებს. ველის ძლიერ უბანში ვლინდება მეთილის ჯგუფის პროტონების ექვსი სინგლეტური სიგნალი, ხოლო შედარებით სუსტ ველში ესტერული ჯგუფების  $\text{COOCH}_3$  პროტონების შესაბამისი ოთხი სინგლეტური სიგნალი. არომატული პროტონების უბანში კი, ვლინდება 6-დუბლეტური ( $\delta(1\text{-H})=\delta(8\text{-H}), \delta(4\text{-H})=\delta(5\text{-H}), \delta(7'\text{-H}), \delta(10'\text{-H}), \delta(10\text{-H})=\delta(17\text{-H}), \delta(13\text{-H})=\delta(14\text{-H})$ ) და ექვსი ტრიპლეტური ( $(\delta 2\text{-H})=\delta(7\text{-H}), \delta(3\text{-H})=\delta(6\text{-H}), \delta(8'\text{-H}), \delta(9'\text{-H}), \delta(11\text{-H})=\delta(16\text{-H}), \delta(12\text{-H})=\delta(15\text{-H})$ ) სიგნალები შესაბამისი ორთო- და მეტა-კონსტანტებით (სიგნალების სრული მიკუთვნება იხილეთ ექსპ. ნაწილში).

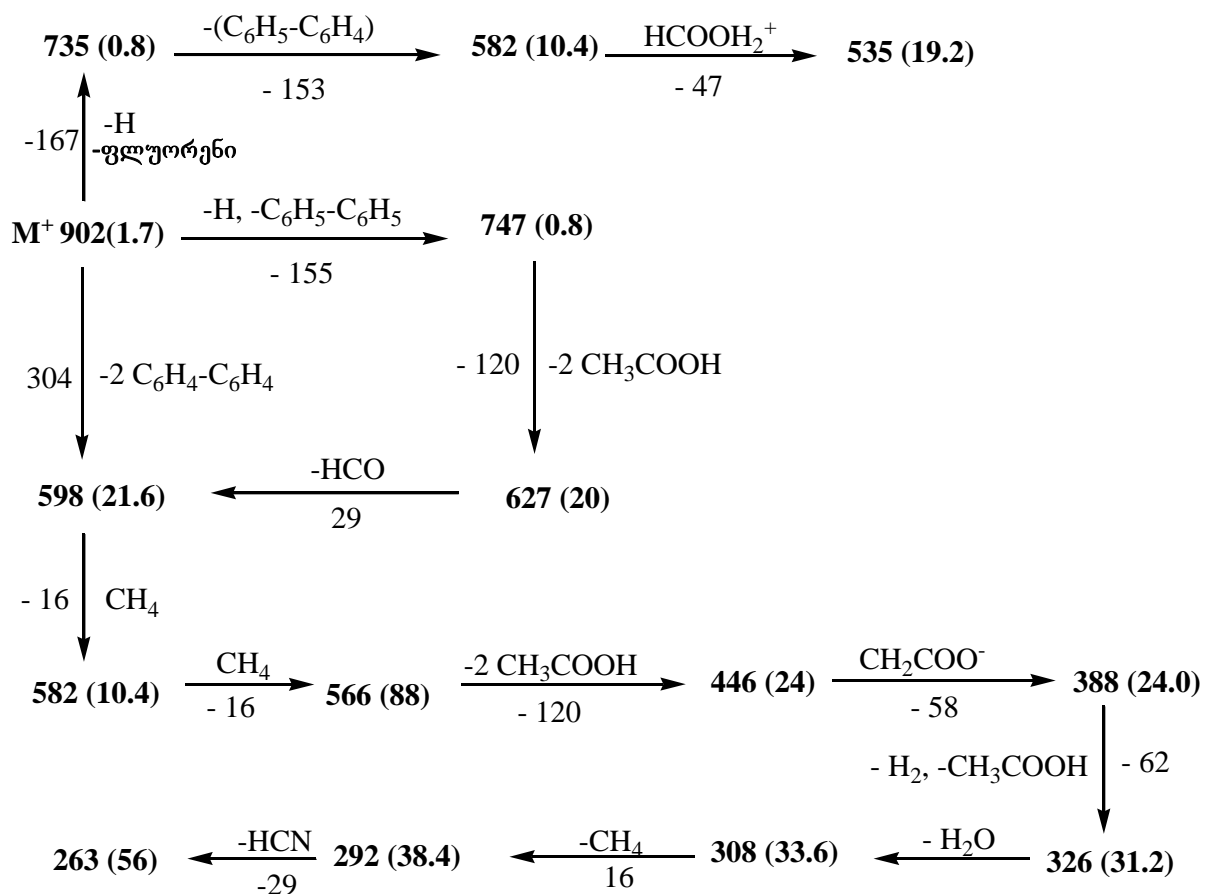
ბის-სპირონაერთის **5** მას-სპექტრში ფიქსირდება მოლეკულური იონისა და დასაწყის სტადიებზე წარმოქმნილი ფრაგმენტული იონების დაბალი ინტენსიურობის პიკები, რომელთა შემგომი ფრაგმენტაცია შესაბამისობაშია ინდოლოინდოლების საფუძველზე მიღებული დიპიდროინდოლიზინის ტიპის ბის-სპირონერთების [22] და მონო-სპირონაერთის 2 მოლეკულური იონების ფრაგმენტაციასთან [89]. მოლეკულის სირთულის გამო ჩვენ შევეცადეთ წარმოგვედგინა მოლეკულუ-

რო იონის ფრაგმენტაციის რამდენიმე სხვადასხვა მიმართულება სპექტრში არსებული ფრაგმენტული იონებიდან გამომდინარე, რომლებიც წარმოიქმნებიან სხვადასხვა საფეხურზე ლიტერატურიდან ცნობილი იონური ან ნეიტრალური ფრაგმენტების [90] მოხლეების შედგად.

სპექტრში მაქსიმალური ინტენსიურობის პიკი არის 165 მასის მქონე ფრაგმენტული იონის პიკი. იგი სავარაუდო წარმოიქმნება მოლეკულური იონის ფრაგმენტაციისას დასაწყის სტადიაზე მოხლეებილი ფლუორენის მოლეკულიდან პროცენის დაკარგვის შემდეგ, რის შედეგადაც მიიღება მდგრადი არომატული ფლუორენილ ანიონი მასით 165:



მოლეკულის დაშლის სავარაუდო სქემა სპექტრში არსებული პიკების გათვალისწინებით, ასე გამოისახება:

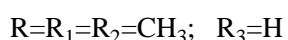
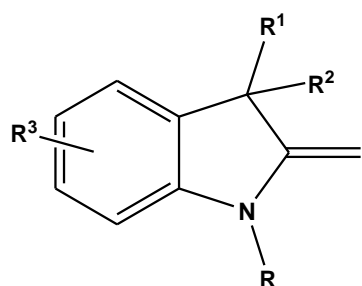


შესწავლით იქნა მიღებული ბის-პროდუქტის ელექტრონული სპექტრი, როგორც ახლადმომზადებული სპირტებისნარისათვის, ასევე გერცხლისწყლის ნათურით დასხივების შემდეგ. აღმოჩნდა, რომ მონოსპირონაერთის **4** ანალოგიურად ბის-სპირონაერთის **5** ახლადმომზადებული ხსნარის უი სპექტრში არსებული შთანთქმის მაქსიმუმი 355 ნმ-ზე ხსნარის დასხივების შემდეგ ქრება და სპექტრში რჩება მხოლოდ ერთი მაქსიმუმი 282 ნმ-ზე, რომლის ინტენსიურობა გაზრდილია.

ამრიგად, ჩვენს მიერ სინთეზირებულია დიპიდროინდოლიზინის ტიპის ახალი ბის-სპიროციკლური სისტემა, რომლის გამოსავლიანობა დაბალია დიდი სტერიული დაბრკოლების გამო.

## 2.2. იზომერული ჰექსამეთილდიმეთილენინდოლოინდოლებისა და ტეტრაჰიდროტეტრამეთილდიმეთილენდიპიროლობენზოქინოჸალინის, ე.წ. ფიშერის ფუძეების სინთეზი და სტრუქტურის დადგენა

სამუშაოს მეორე ეტაპზე ჩვენს მიზანს წარმოადგენდა ბენზოპიროლოინდოლისა და იზომერული ინდოლოინდოლების საფუძველზე 2-მეთილენინდოლინური ფუძეების ბის-ანალოგებისა და მისი ზოგიერთი ნაწარმის სინთეზი მოსალოდნელი ბიოლოგიური აქტიურობის შესასწავლად.



2-მეთილენინდოლინები მიეკუთვნებიან ენამინების კლასს. ამ ნაერთების რეაქციისუნარიანობა განპირობებულია  $\pi$ -ელექტრონული სისტემის პოლარიზაციით და ნაწილობრივი უარყოფითი მუხტის ლოკალიზაციით მეთილენის ჯგუფის ნახშირბადატომზე. ელექტრონების ასეთი გადაწევის გამო 2-მეთილენინდოლინები შედიან ურთიერთქმედებაში მრავალ ელექტროფილთან, ხოლო მოლეკულაში ბენზოლის ბირთვის არსებობა შესაძლებელს ხდის ასევე ელექტროფილურ ჩანაცვლებას. ამ მიმართულების გარდა მეთილენური ფუძეები ურთიერთქმედებაში შედიან ნუკლეოფილებთან (შეტევის აღგილი C (2)), განიცდიან შიგამოლექულურ გადაჯგუფებებს, იუანგებიან, აღდგებიან და შედიან სხვა გარდაქმნებში [55].

## 2.2.1. ფიშერის ფუძის ახალი იზომერული ბის-ანალოგების სინთეზი

როგორც ლიტერატურულ მიმოხილვაში ავღნიშნეთ, 2-მეთილენინდოლინების, ე.წ. ფიშერის ფუძეების სინთეზის ძირითადი მეთოდია ცხიმოვანი რიგის კეტონების არილპიდრაზონების ციკლიზაციისას წარმოქმნილი ინდოლენინების ალკილირება და მიღებული მეოთხეული მარილების ტუტით დამუშავება.

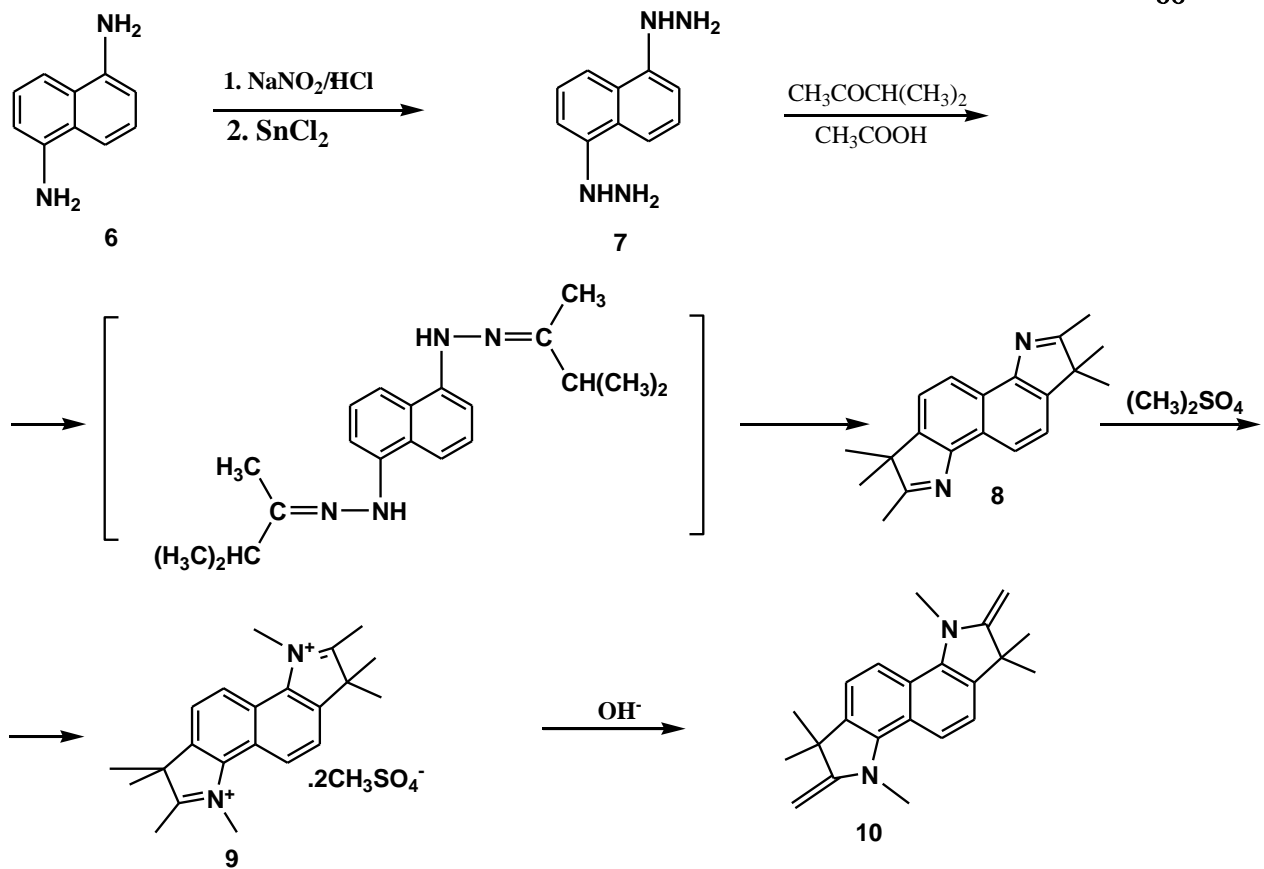
ლიტერატურული მონაცემებიდან [55] ცნობილი იყო იზომერული ნაფთოდიპიროლენინების 3, 8, ალკილირების შედეგად შესაბამისი ბის-მეოთხეული მარილების 9, 16 სინთეზის შესახებ (სქემა 2,4). სადისერტაციო ნაშრომში [22] განხორციელებულ იქნა ახალი იზომერული პექსამეთილდიპიდრონდოლო[4,5-ე]-ინდოლისა 13 და მისი ბის-მეოთხეული მარილის 14 სინთეზი (სქემა 3). ამავე ნაშრომში ზემოაღნიშნული დიპიროლონაფთალინების ბის-მეოთხეული მარილები გადაყვანილ იქნა შესაბამის ფუძეებში, რომლებიც გამოყოფილ იქნა შუალედური პროდუქტების სახით ბის-სპირონაერთების მისაღებად. უნდა აღინიშნოს, რომ ამ ნაერთების სტრუქტურის დადგენა და დახასიათება არ იყო აღწერილი.

ჩვენი სადისერტაციო სამუშაოს მეორე ეტაპზე განხორციელებულია ზემოაღნიშნული ფიშერის ფუძეების ბის-ანალოგების, როგორც შემდგომი კვლევის საკვანძო ნაერთების, მიზანმიმართული სინთეზი. ისინი გამოყოფილია სუფთა სახით და დადგენილია მათი სტრუქტურები.

იზომერული ბისინდოლენინების 8, 13 N-ალკილირებისათვის მეოთხეულ მარილში გადასაყვანად გამოიყენება დიმეთილსულფატი, ხოლო ბენზოპიროლოინდოლის 3 შემთხვევაში დიმეთილსულფატით ხდება მხოლოდ ერთი აზოტის ატომის კვატერნიზაცია სტერიული დაბრკოლების გამო. ამიტომ კვატერნიზაციისათვის ამ შემთხვევაში გამოყენებულ იქნა დიბრომეთანით კვატერნიზაციის დროს ხდება აზოტის ატომებთან ციკლის შეკვრა და მიიღება ახალი პეტეროციკლური სისტემა, დიპიროლობენზოქსალინი 17, რომელიც შეიცავს პიპერაზინულ დაჯგუფებას [46]. იგი საინტერესოა პოტენციური ბიოლოგიური აქტიურობის თვალსაზრისით.

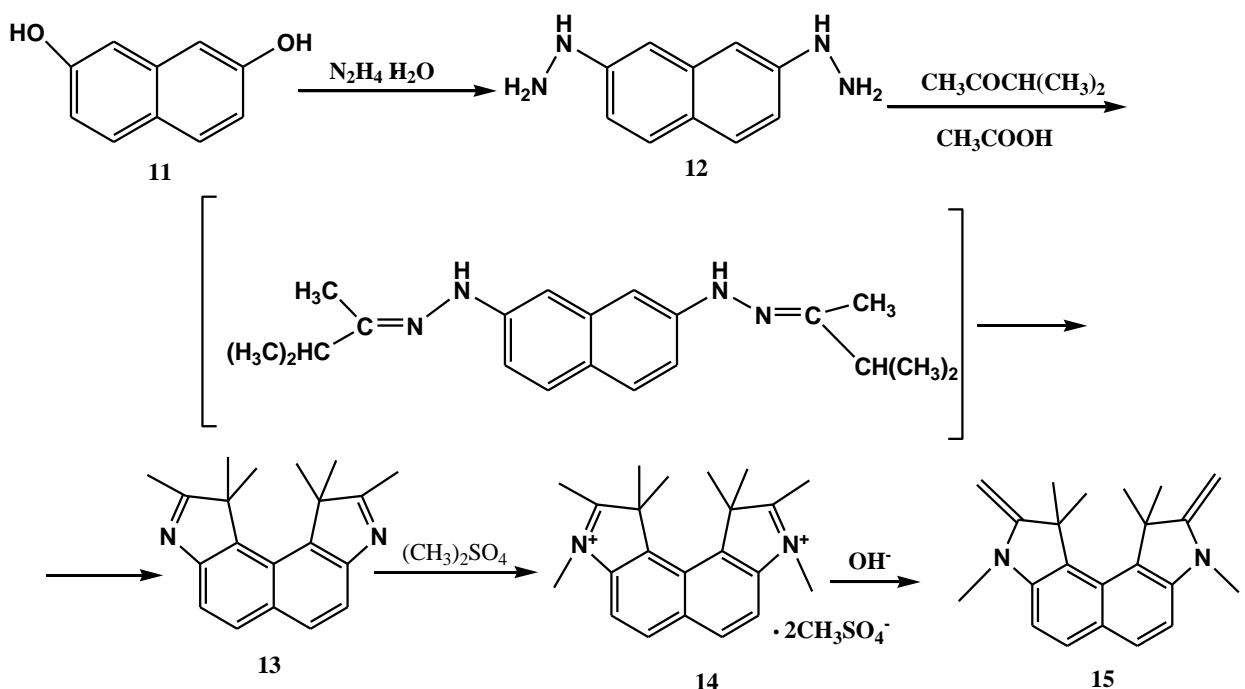
### 2.2.1.1. 1,3,3,6,8,8-ჰექსამეთილ-2,7-დიმეთილენინდოლინო[7,6-გ]ინდოლინის სინთეზი

1,5-ნაფთილენდიამინის (6) დიაზოტირებისა და მისი შემდგომი აღდგენის შედეგად მიიღება 1,5-ნაფთილენდიპიდრაზინი (7). მისი კონდენსაციით მეთილიზოპროპილკეტონთან და ერთდროული ციკლიზაციით ყინულოვან ძმარმებაში, შუალედური დიპიდრაზონის გამოყოფის გარეშე, მიიღება 2,3,3,7,8,8-ჰექსამეთილ-3,8-დიპიდრონინდოლო[7,6-გ]ინდოლი (8). მისი N,N-დიმეთილირება ჩატარებულ იქნა ახლად გამოხდილ დიმეთილსულფატში  $126^{\circ}\text{C}$ -ზე გაცხელებით 1 სთ-ის განმავლობაში. წარმოქმნილი მარილის, 1,2,3,3,6,7,8,8-ოქტამეთილინდოლენინო[7,6-გ]ინდოლენინიუმის დიმეთოსულფატის (9), სპირტსნარის KOH-ის 5%-იანი თბილი წყალსნარით დამუშავების შედეგად გამოიყოფა შესაბამისი ფიშერის ფუძე 10. გარდაქმნები განვახორციელეთ სქემა 2-ის მიხედვით.



#### 2.2.12. 1,1,3,8,10,10-ჰექსამეთილ-2,9-დიმეთილენ-ინდოლინო[4,5-ე]ინდოლინის სინთეზი

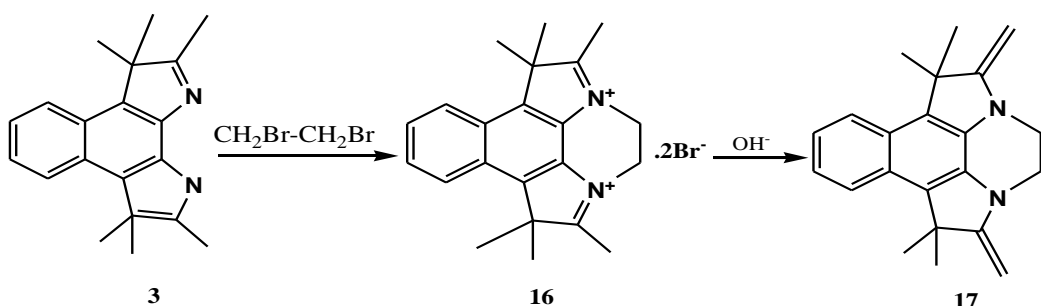
ამოსავალი 1,1,2,9,10,10-ჰექსამეთილ-1,10-დიჰიდროინდოლო[4,5-ე]ინდოლის (13) სინთეზი განვახოციელეთ 2,7-დიოქსინაფთალინის (11) ურთიერთქმედებით ჭარბ პილრაზინკილრატან ას. სპირტის არეში მიღებული 2,7-ნაფთილენდიპილრაზინის (12) კონდენსაციით მეთილიზოპროპილენეტონთან და ერთდროული ციკლიზაციით ყინულოვან მმარმქავაში, შუალედური დიჰიდრაზონის გამოყოფის გარეშე. მისი დიმეთილირებით დიმეთილსულფატში 100°C-ზე, მიღებულ იქნა 1,1,2,3,8,9,10,10-ოქტამეთილინდოლენინო[4,5-ე]ინდოლენინიუმის დიმეთოსულფატი 14, რომლის KOH-ის 5%-იანი წყალხსნარით დამუშავების შედეგად მიიღება 1,1,3,8,10,10-ჰექსამეთილ-2,9-დიმეთილენინდოლინო[4,5-ე]ინდოლენინი 15. ეს გარდაქმნები განვახორციელეთ შემდეგი სქემის მიხედვით (სქემა 3):



### 2.2.1.3 1,4,5,8-ტეტრაჰიდრო-1,1,8,8-ტეტრამეთილ-2,7-დიმეთილენდიპიროლო[1,2,3-d,e:3,2,1-i,j]ბენზო[g]ქინოქსალინის სინთეზი

ბენზოპიროლონდოლისა 3 და დიბრომეთანის ურთიერთქმედების რეაქცია ჩატარებულ იქნა შელდობილ ამჟულაში  $164^{\circ}\text{C}$ -ზე 8სთ-ის განმავლობაში. წარმოქმნილი მეოთხეული მარილის, 1,4,5,8-ტეტრაჰიდრო-1,1,8,8-ტეტრამეთილ-2,7-დიმეთილენდიპიროლო[1,2,3-d,e:3,2,1-i,j]ბენზო[g]ქინოქსალინის დიბრომიდის 16, სპირტებსნარის ტუტით დამუშავების შედეგად მიიღება შესაბამისი ფიშერის ფუძის ბის-ანალოგი 17 (სქემა 4).

სქემა 4



სინთეზირებული ფიშერის ფუძის ბის-ანალოგები - 10, 15 და 17 წარმოადგენენ საკვანძო ნივთიერებებს ახალი სპიროქრომენების, ფორმილნაწარმებისა და აზონაჟრობების სინთეზისათვის.

ამ ნაერთთა სტრუქტურა ჩვენს მიერ პირველად იქნა შესწავლილი სპექტრული მეორდებით.

## 2.2.2 ფიშერის ფუძის ბის-ანალოგების სტრუქტურის დადგენა

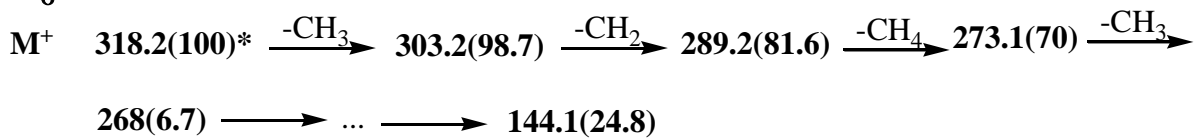
ფიშერის ფუძეების ბიფუნქციური ანალოგების - 10, 15 და 17 ნაერთების სტრუქტურა დადგენილია სპექტრული ანალიზის საფუძველზე.

ნაერთების 10, 15 და 17 ინფრაწითელ სპექტრებში ვლინდება ეგზოციკლური მეთილენური ჯგუფების  $>\text{C}=\text{CH}_2$  მახასიათებელი ინტენსიური შთანთქმის ზოლები სპექტრის 1635-1643სმ<sup>-1</sup> უბანში.

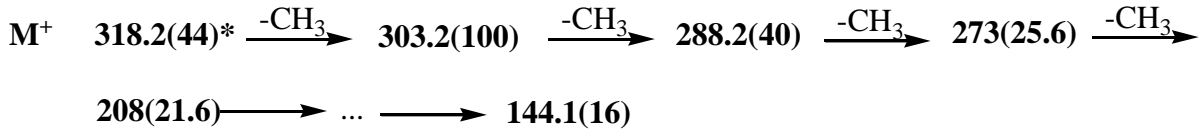
ამ ნაერთების მას-სპექტრებში ფიქსირებულია მოლეკულური იონების მაღალი ინტენსიურობის პიკები  $\text{M}^+ 318.21$  (25%) (ნაერთი 10),  $\text{M}^+ 318.2$ (44%) (ნაერთი 15).

მოლეკულური იონების ფრაგმენტაცია მიმდინარეობს ჩანაცვლებული მეთილის ჯგუფების თანდათანობითი მოხლევით, ხოლო შემდეგ ხდება ჰეტეროციკლური ბირთვის დაშლა, რაც არ ეწინააღმდეგება წარმოდგენილ სტრუქტურას. მასს-სპექტრებში დაფიქსირებული პიკების მიხედვით მოლეკულური იონების სავარაუდო ფრაგმენტაციის სქემები შემდეგნაირად გამოისახება:

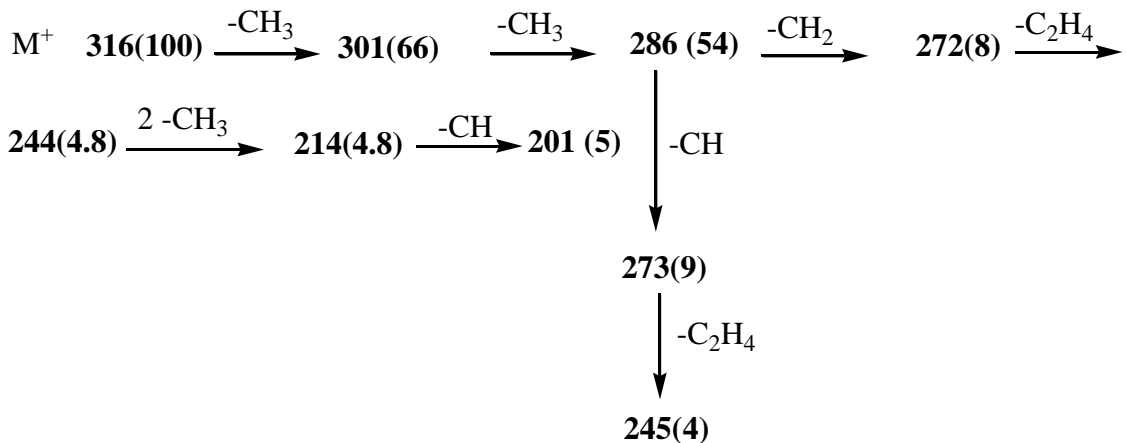
### ნაერთი 10



### ნაერთი 15



### ნაერთი 17



\* ინტენსიურობები მოყვანილია სპექტრში მაქსიმალური პიკის მიმართ.

ფიშერის ფუძეების 10, 15 და 17 პროტონულ-მაგნიტური რეზონანსის სპექტრები ასევე შეესაბამება სიმეტრიულ მოლეკულებს, სადაც ვლინდება სიგნალების ერთი წყება, რადგან მოლეკულის თოთოეული ნახევრის ერთნაირი ჯგუფების განვითარების შედეგად.

ბის პროტონების ქიმიური წანაცვლებები ერთმანეთს ემთხვევა. აქედან გამომდინარე, 10, 15 და 17 ნაერთების პმრ სპექტრებში გვაქვს შემდეგი სახის სიგნალები: ველის უელაზე ძლიერ უბანში ვლინდება  $>\text{C}(\text{CH}_3)_2$  ჯგუფების პროტონების ერთი სინგლეტური სიგნალი, რომელიც ინტეგრალური ინტენსიურობის მიხედვით 12 პროტონს შეესაბამება. N-მეთილური ჯგუფების პროტონების სიგნალები გადაწეულია შედარებით სუსტი ველის უბნისაკენ და ვლინდებიან 6 პროტონის შესაბამისი ინტენსიურობის სინგლეტების სახით.

ეგზოციკლური მეთილენური ჯგუფის  $=\text{CH}_2$  პროტონების სიგნალები ვლინდებიან კიდევ უფრო სუსტ ველში 4 პროტონის შესაბამისი ერთი სინგლეტის სახით (ნაერთი 15), 4 პროტონის შესაბამისი ორი სინგლეტის სახით (ნაერთი 10). ხოლო ნაერთში 17 იგივე ტიპის პროტონების სიგნალები ვლინდება ორი პროტონის შესაბამისი ორი დუბლეტის სახით.

იგივე ნაერთის 17 სპექტრში ქინოქსალინის ბირთვის  $=\text{CH}_2$  ჯგუფების პროტონების ქიმიური წანაცვლება ერთმანეთს ემთხვევა და მჟღავნდება 4 პროტონის შესაბამისი სინგლეტი. არომატული პროტონებისათვის დამახასიათებელ უბანში მჟღავნდებიან ნაფთალინის ბირთვის პროტონების შესაბამისი სიგნალები ორი დუბლეტის სახით რომელთა ინტენსივობა 4 პროტონს შეესაბამება და ვლინდებიან სპინ-სპინური ურთიერთქმედების ორთო-კონსტანტებით (ნაერთები 10, 15). ხოლო ნაერთში 17 გვაქვს ასევე ნაფთალინის ბირთვის პროტონის ერთი დუბლეტ-დუბლეტური სიგნალი დამახასიათებელი ორთო- და მეტა-კონსტანტებით. სიგნალების მიკუთვნება ოთორეული ნაერთისათვის მოტანილია ცხრილში 1.

### ცხრილი 1

ფიშერის ფუძეების ბის-ანალოგების  $^1\text{H}$  ბმრ სპექტრების მონაცემები  $\text{D}_6$  – დმსო-ში,

$\delta$ , მნ, J, ჰც

	C(CH <sub>3</sub> ) <sub>2</sub>	N-CH <sub>3</sub>	=CH <sub>2</sub> ეგზოციკლ.	Ar		J
<b>10</b>	1.31 s (12H)	3.60 s (6H)	4.02 s (2H) 4.06 s (2H)	7.78 <b>d</b> (4-H), (2H)	7.24 <b>d</b> (5-H) (2H)	$J_o = 8.4$
<b>15</b>	1.62 s (12H)	3.08 s (6H)	3.79 s (4H)	6.94 <b>d</b> (2H)	7.68 <b>d</b> (2H)	$J_o = 8.6$
<b>17</b>	1.58 s (12H)	N-CH <sub>2</sub> -CH <sub>2</sub> -N 3.64 s (4H)	4.18 <b>d</b> (2H) 4.10 <b>d</b> (2H)	7.13 <b>dd</b> (2H)	7.50 <b>dd</b> (2H)	$J_{=\text{CH}_2} = 1.9$ ; $J_o = 6.4$ ; $J_m = 3.5$

ფიშერის ფუძეების 10, 15, 17  $^{13}\text{C}$  ბმრ სპექტრები ასევე შეესაბამება სიმეტრიულ მოლეკულებს, სადაც ვლინდება სიგნალების ერთი წყება. ამ ნაერთების  $^{13}\text{C}$  ბმრ სპექტრებში, 2-მეთილენინდოლინების მსგავსად [55], ვლინდება პიროლის ბირთვების ნახშირბადატომების C-1, C-2, C-3 და ეგზოციკლური  $=\text{CH}_2$  მე-

თილენური C-ატომებისათვის დამახასიათებელი სიგნალები, ასევე N-CH<sub>3</sub>, N-CH<sub>2</sub> და ჰემ-ჰეთილური ჯგუფების სიგნალები სპექტრების შესაბამის უბნებში. სპექტრებში ნაპოვნია აგრეთვე არომატული ნახშირბადატომების სიგნალები: ინტენსიური სიგნალები –CH ჯგუფებისა და ნაკლებად ინტენსიური - მეოთხეული ნახშირბადატომების C-3a, C-10a, C-10b, C-10c.

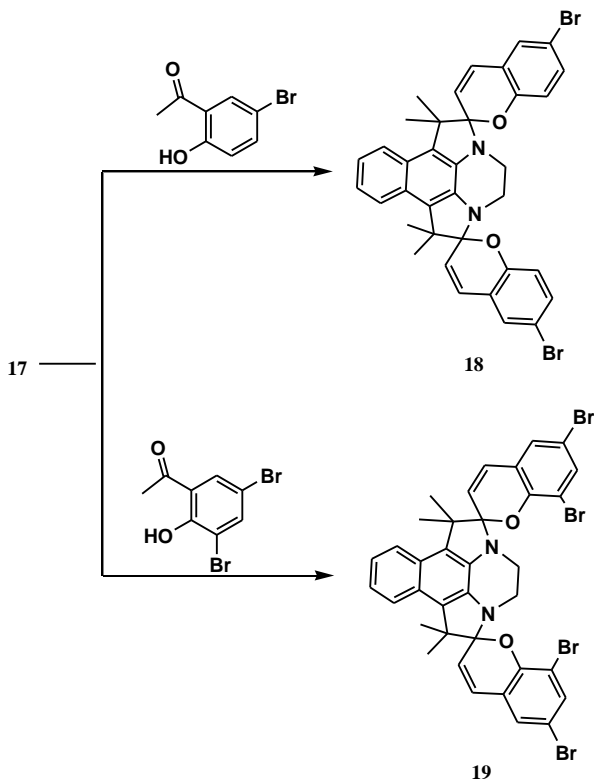
<sup>13</sup>C ბმრ სპექტრების მონაცემები მოტანილია ცხრილში 2. ამავე ცხრილში მოცემულია ადრე სინთეზირებული 1,1,2,9,10,10,-ჰექსამეთილ-1,10-დიჰიდროინდოლო[4,5-ე]ინდოლის (13) <sup>13</sup>C ბმრ სპექტრების მონაცემები, რომელიც ჩვენს მიერ პირველად არის შესწავლილი და სრულ შესაბამისობაშია მოცემულ სტრუქტურასთან.

### 2.3 ფიშერის ფუძის იზომერული ბის-ანალოგების გარდაქმნის რეაქციები

2.3.1 სპიროქრომენული ბის-სპიროციკლური ნაერთების სინთეზი დიპიროლობენზოქინოქსალინის ბაზაზე და მისი ფოტოქრომული თვისებები.

სადისერტაციო სამუშაოს შემდეგი ეტაპის ამოცანას შეადგენდა ახალი ბის-სპიროჰიმური ნაერთების სინთეზი დიპიროლობენზოქინოქსალინის საფუძველზე. ამისათვის შესწავლილ იქნა 1,4,5,8-ტეტრაჰიდრო-1,1,8,8-ტეტრამეთილ-2,7-დიმეთილენდიპიროლო[1,2,3-d,e:3,2,1-i,j]ბენზო[g]ჰინოქსალინის (17) კონდენსაციის რეაქციები ჩანაცვლებულ სალიცილის ალდეჰიდებთან. 5-ბრომ- და 3,5-დიბრომსალიცილის ალდეჰიდებთან რეაქციები მიმდინარეობს შემდეგი სქემის მიხედვით (სქემა 5).

სქემა 5



ცხრილი 2

ჰექსამეთოლინდოლენილო[4,5-ე]ინდოლენინისა(13) და ფიშერის ფუძეების ბის-ანალოგების 10, 15, 17

<sup>13</sup>C ბმრ საექტრების მონაცემები, δ, Δ<sub>e</sub> დმსო-ში

Nº	(CH <sub>3</sub> ) <sub>2</sub>	=CH <sub>2</sub>	N-CH <sub>3</sub>	C-1'	C-2'	C-3	C-3a'	C-10b (10) C-10c(13.15)	C-10a C-10b(13.15)	C-5a	C-5	C-4
<b>10</b>	30.01	78.54	35.60	-	164.53 მეოთხეული	43.53 მეოთხეული	130,86 მეოთხეული	141,71 მეოთხეული	120,23 მეოთხეული ერთი ატომი	121,27 მეოთხეული	113.81 (C-H)	118.60 (C-H)
<b>15</b>	30.21	72,35	28,93	47,04 მეოთხე ული	165.98 მეოთხეული	-	146,79 ორი ატომი მეოთხეული	122,00 ორი ატომი მეოთხეული	129,66 ერთი ატომი მეოთხეული	126,83 ერთი ატომი მეოთხეული	133.14 2 ატომი (C-H)	105.74 2 ატომი (C-H)
<b>13</b>	22.06	CH <sub>3</sub>	-	56,28 მეოთხე ული	189,7 მეოთხეული	-	154,2 მეოთხეული	137,7 მეოთხეული	132,9 მეოთხეული	127,3 მეოთხეული	132,3 (C-H)	118,9 (C-H)
		15,47										
<b>17</b>	28,88	77.86	N-CH <sub>2</sub> - CH <sub>2</sub> -N	C <sub>1</sub> =C <sub>8</sub>	C <sub>2</sub> =C <sub>7</sub>	C' <sub>1</sub> =C <sub>8'</sub>	C <sub>3</sub> '=C <sub>6'</sub>	C <sub>9</sub> '=C <sub>12'</sub>	C <sub>9</sub> =C <sub>12</sub>	C <sub>10</sub> =C <sub>11</sub>		
			49.27	67,19 მეოთხე ული	166,53 მეოთხეული	116,22 მეოთხეული	130,30 მეოთხეული	126,86 მეოთხეული	121,85 (C-H)	122,74 (C-H)		

ფიშერის ფუძის 17 ხსნარს აბსოლუტურ ეთილის სპირტში უმატებენ 3-ჯერადი სიჭარბით აღებულ 5-ბრომსალიცილის ალდეჰიდის ხსნარს ეთილის სპირტში ბის-პროდუქტის წარმოქმნის მიზნით. რეაქციას ატარებენ  $45\text{--}50^\circ \text{C}$ -ზე 0,5 სთ-ის განმავლობაში. მორეაგირე ნივთიერებათა ხსნარების შერევისთანავე შეინიშნება სარეაქციო არის ფერის მკვეთრი ცვლილება, წარმოქმნება ლურჯი მელნისფერი ხსნარი, რაც დამახასიათებელია სპიროქრომენების წარმოქმნის რეაქციებისათვის. რეაქციის პროდუქტის 18 გამოყოფა ხდება სარეაქციო არის გაცივებისა და დაყოვნების შემდგებ ხსნარიდან გამოკრისტალების შედეგად. ბის(6-ბრომ-2-ქრომენ-2-სპირო)-2',7'-1',4',5',8'-ტეტრაჰიდრო-1',1',8',8'-ტეტრამეთილდი-პიროლო[1,2,3-d,e:3,2,1-i,j]ბენზო[g]ქინოქსალინი (18) მიიღება ლურჯი ფერის ფხვნილის (ცრისტალების) სახით, რომელიც კარგად იხსნება ბენზოლსა და ქლოროფორმში, მნელად – სპირტში.

ანალოგიურად მიმდინარეობს რეაქცია ფიშერის ფუძესა 17 და 3,5-დიბრომსალიცილის ალდეჰიდს შორის. გამოყოფილ იქნა ბის(6,8-დიბრომ-2H-ქრომენ-2-სპირო)-2',7'-1',4',5',8'-ტეტრაჰიდრო-1',1',8',8'-ტეტრამეთილდი-პიროლო[1,2,3-d,e:3,2,1-i,j]ბენზო[g]ქინოქსალინი (19) მწვანე შეფერილობის ფხვნილის სახით, რომელიც კარგად იხსნება ბენზოლსა და ქლოროფორმში, მნელად – სპირტში [91].

მიღებული სპირონაერთების სტრუქტურა დადგენილია სპექტრული მეთოდებით.

ნაერთის 18 ინფრა-წითელ სპექტრში ვლინდება  $\text{C}=\text{C}$  პირანული ჯგუფისათვის მახასიათებელი ინტენსიური შთანთქმის ზოლები სპექტრის 1643სმ<sup>-1</sup> უბანში,  $\text{C}=\text{C}$  პირანული შეუღლებული ჯგუფისა - 1581სმ<sup>-1</sup> უბანში, N-C სპირობმის 1272 სმ<sup>-1</sup> უბანში, C-O სპირო-ბმის 1272სმ<sup>-1</sup> უბანში, C-H არომატული ბმებისა - 2962, 3070 სმ<sup>-1</sup> უბანში.

ნაერთის 19 ინფრა-წითელ სპექტრში ვლინდება  $\text{C}=\text{C}$  პირანული ჯგუფისათვის მახასიათებელი ინტენსიური შთანთქმის ზოლები სპექტრის 1643სმ<sup>-1</sup> უბანში,  $\text{C}=\text{C}$  პირანული შეუღლებული ჯგუფისა - 1535სმ<sup>-1</sup> უბანში, N-C სპირო ბმის - 1265 სმ<sup>-1</sup> უბანში, C-O სპირო-ბმის - 1157სმ<sup>-1</sup> უბანში, C-H არომატული ბმებისა - 2962, 3062 სმ<sup>-1</sup> უბანში.

ბისსპირონაერთების 18, 19  $^1\text{H}$ -ბმრ სპექტრების შედარებისას საწყისი ფიშერის ფუძის 17  $^1\text{H}$ -ბმრ სპექტრთან ჩანს, რომ სპირონაერთების სპექტრებში ქრება ეგზოციკლური  $=\text{CH}_2$  ჯგუფის პროტონების შესაბამისი დუბლეტური სიგნალები და ვლინდება პირანული ბირთვის  $-\text{CH}=\text{CH}-$  პროტონების შესაბამისი დუბლეტური სიგნალები დამახასიათებელი სპირ-სპირული ურთიერთქმედების კონსტანტებით  $J_{3,4}=10,4$  ჰეц, რაც ამ პროტონების ცის-კონფიგურაციას შეესაბამება. პირანული პროტონების ცის-კონფიგურაცია კი ლიტერატურული მონაცემების [92] თანახმად, შესაძლებელია ჩაკრილი ციკლური სპიროპირანული სტრუქტურის არსებობის შემთხვევაში.

ციკლურ სტრუქტურას შეესაბამება ასევე 18, 19 ნაერთების  $^1\text{H}$ -ბმრ სპექტრებში  $\text{N}-\text{CH}_2$  პროტონების ქიმიური ძვრადობის მნიშვნელობები და პიროლის ბირთვის  $\text{C}-\text{ატომთან$  ჰემ-მეთილური ჯგუფების პროტონების სინგლეტური სიგნალები, რომლებიც, ლიტერატურული მონაცემების მიხედვით, ციკლური სტრუქტურის შემთხვევაში არაექვივალენტურია და მედავნდება სინგლეტის სახით [92].

სპიროპირანულის ბეტაინურ სტრუქტურებში კი ანალოგიური პროტონების ქიმიური ძვრადობა ერთმანეთს ემთხვევა და მედავნდება ერთი სინგლეტის სახით [92]. პროტონებისათვის სიგნალების სრული მიკუთვნება მოცემულია ცხრილში 3:

	$\delta$ , მნ										$J_{\text{CH}_2}$
	C(CH <sub>3</sub> ) <sub>2</sub>	N-CH <sub>2</sub> -CH <sub>2</sub> -N	3-H	4-H	5-H	7-H	8-H	9'-H	10'-H		
<b>8</b>	1.31 s (6H)	2.98 <b>d</b> (2H)	5.90 <b>d</b>	7.70 <b>d</b>	8.01 <b>d</b>	7.52 <b>dd</b>	7.65 <b>d</b>	7.75 <b>dd</b>	7.11 <b>dd</b>	$J_{34}=J_{43}=10.4$ $J_{57}=1.6$ $J_{75}=2.0$ $J_{78}=9.2$ $J_{\text{CH}_2\text{CH}_2}=7.4$ $J_0=9.6 J_m=3.2$	
	1.49 s (6H)	3.05 <b>d</b> (2H)									
<b>9</b>	1.36 s (6H)	3.05 <b>d</b> (2H)	6.06 <b>d</b>	7.05 <b>d</b>	7.61 <b>s</b>	7.52 <b>s</b>	-	7.82- 7.85	7.20- 7.22	$J_{34}=J_{43}=10.2$ $J_{\text{CH}_2\text{CH}_2}=7.2$	
	1.55 s (6H)	3.20 <b>d</b> (2H)									

გადადებული იქნა ტეტრაბრომსპირონაერთის **19** მაღალი გარჩევადობის მას-სპექტრი, სადაც დაფიქსირებულია მოლეკულური იონი, მასით 839.9397, რაც თან-ხედრაშია თეორიულ მნიშვნელობასთან.

უნდა აღინიშნოს, რომ ნაერთების **18, 19** ახალმომზადებული შეფერილი სინარები მზის სხივების მოქმედებით თანდათან უფერულდება. სიბნელეში კი – იბრუნებენ პირვანდელ ფერს. ეს პროცესი მეორდება მრავალჯერ. რაც მიუთი-თებს **18** და **19** ნაერთების ფოტოქრომულ თვისებებზე.

სინთეზირებული სპიროქრომენების **18, 19** ფოტოქრომული თვისებების შეს-წავლის მიზნით გამოკვლეული იქნა მათი ელექტრონული სპექტრები ამ ნაერთთა ახალმომზადებული სინარებისათვის (ქლოროფორმი, ბენზოლი), ასევე ამ სინა-რების ვერცხლისწყლის ნათურით დასხივების შემდეგ ((ნახაზი 1).

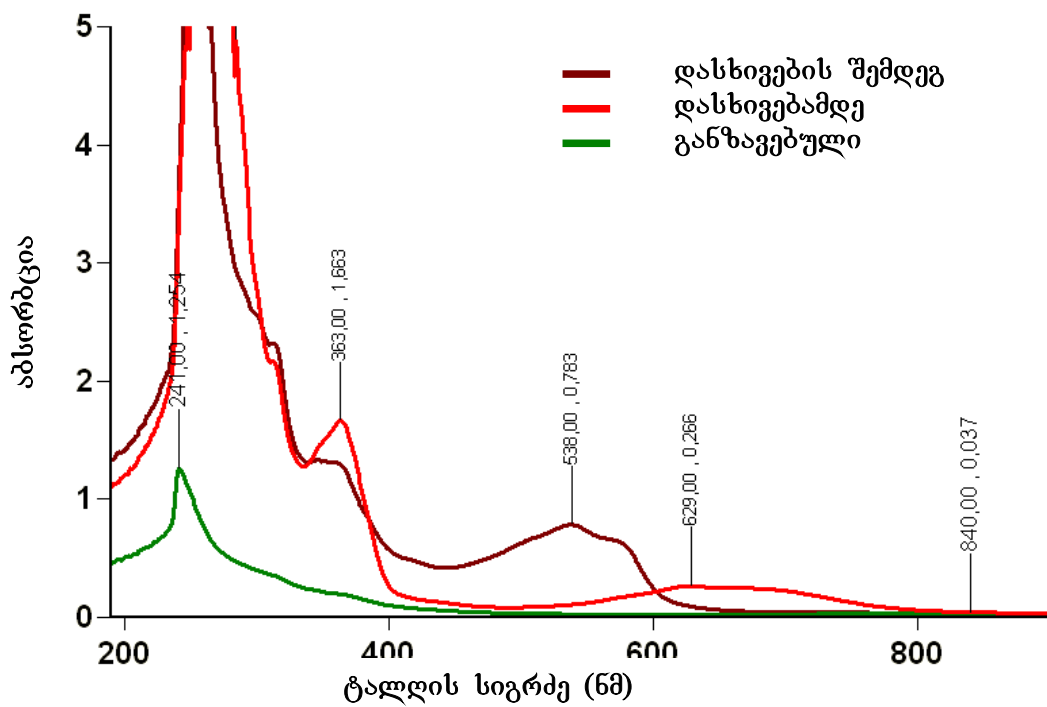
ცხრილში 4 მოტანილია კვლევის შედეგები. ახალმომზადებულ ქლორო-ფორმის სინარებში ორივე ნაერთისათვის მუღავნდება ბეტაინური ფორმისათვის დამახასიათებელი შთანთქმის მაქსიმუმი 620-630ნმ-ის ფარგლებში, დასხივების შემდეგ ორივე შემთხვევაში ადგილი აქვს გრძელტალიანი მაქსიმუმების პიპსო-ქრომულ გადანაცვლებას 624-538, 620-467 ნმ ფარგლებში.

ასევე ადგილი აქვს დანარჩენი მოკლეტალდიანი მაქსიმუმების პიპსო-ქრო-მულ გადანაცვლებას და მიღებული ახალი პიკების ინტენსიურობის მკვეთრ გაზრდას. დიბრომნაწარმის **18** შემთხვევაში ძლიერ განზავებული სინარის დასხივების შედეგად მიღებული სინარის უი სპექტრში დაფიქსირდა მცირე ინტენსიურობის შთანთქმის მაქსიმუმი ხილულ უბანზე 840 ნმ. რაც სავარაუდოდ შეიძლება შეესაბამებოდეს ორივე სპიროპირანული ბირთვის გახსნას და შესაბა-მისი ბეტაინური ფორმის წარმოქმნას, რაც ფრიად საინტერესოა, რადგან ლიტე-რატურიდან ცნობილია, რომ ბის-სპირონაერთებში ხდება მხოლოდ ერთი სპი-როციკლური ბირთვის გახსნა და შესაბამისად, ცალმხრივად გახსნილი ბეტაი-ნური სტრუქტურის წარმოქმნა, რომლის შესაბამისი მაქსიმუმი ელექტრონულ სპექტრებში 550-600 ნმ ფიქსირდება.

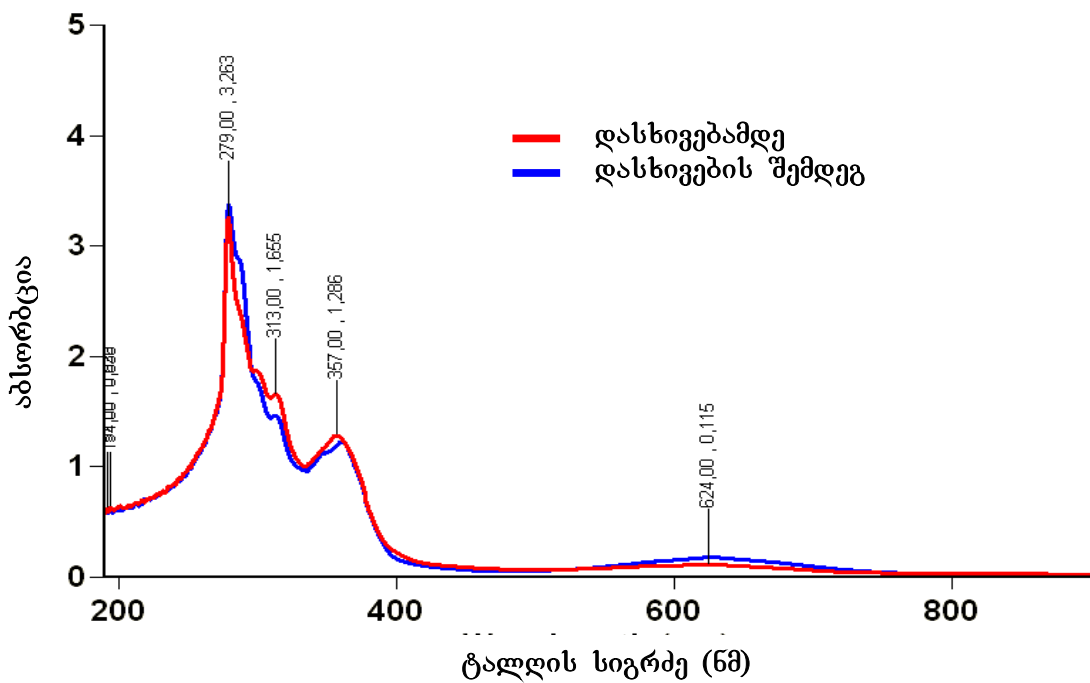
ნაერთების **18, 19** სპირგენსინარებისა და ბენზოლესნარების უი სპექტრებში შთანთქმის მაქსიმუმების გადანაცვლებას ადგილი არ ჰქონია, მხოლოდ შეინიშ-ნებოდა დასხივების შედეგად შთანთქმის მაქსიმუმების ინტენსიურობის გაზრდა.

ელექტრონულ სპექტრებში დაფიქსირებული ეს ცვლილებები ამ ნაერთთა ფოტოქრომული თვისებების დამადასტურებელია.

ნახაზი 1



ნაერთი 18-ის უი სპექტრი ქლოროფორმში



ნაერთი 18-ის უი სპექტრი ბენზოლში

ამრიგად, ჩვენს მიერ ჩატარებული კვლევის შედეგების შედარებისას იზომერული ინდოლოინდოლების ბირთვების შემცველი ბისსპიროციკლური ნაერთების სინთეზის მიმართულებით ადრე ჩატარებულ კვლევებთან [22], შეიძლება დავასკვნათ, რომ ოგორც დიპიდროინდოლიზინის ტიპის 5, ასევე სპიროპირანული ტიპის ახალი მიღებული ბისსპიროციკლური ნაერთები 18, 19 საინტერესო შემდგომში მათი ფოტოქრომული თვისებების უფრო ღრმად, უახლესი აპარატურის გამოყენებით, შესწავლისათვის.

#### ცხრილი 4

ბისსპიროპირანების 18, 19 უ სპექტრების მონაცემები

ნაერთი	$R_1$	$R_2$	λmax, nm ( $\lg \varepsilon$ ), c=0,08 მგ/მლ			
			ახალმომზადებული ნენარები		დასხივებული ნენარები	
			ქლოროფორმი	ბენზოლი	ქლოროფორმი	ბენზოლი
18	Br	H	624 (0.050) <sup>**</sup>	629 (0.180)	840 (0.037) <sup>**</sup> 538(0.78 3)	624 (0.115)
			364 (0.230) <sup>**</sup>	361 (1.227)	565 (0.702)	357 (1.286)
			252 (1.403) <sup>**</sup>	313 (1.464)	266	313 (1.655)
			237 (0.971) <sup>**</sup>	279 (3.376)	241 (1.254) <sup>**</sup>	279 (3.263)
19	Br	Br	620(0.17) <sup>*</sup> 359(0.759)	358 (0.678)	467 (0.156)	358 (0.916)
			319 (1.081)	322 (0.976)	244 (3.482)	322 (1.328)
			273 (0.420)	277 (1.978)	210 (1.346)	278 (2.496)
			246 (3.731)	-	-	-

\* ქონცენტრირებული ნენარი  $c = 0.8$  მგ/მლ

\*\* განზავებული ნენარი  $c = 0.008$  მგ/მლ

## 2.3.2. ფიშერის ფუძეების ფორმილირება ვილსმაიერის რეაქციით

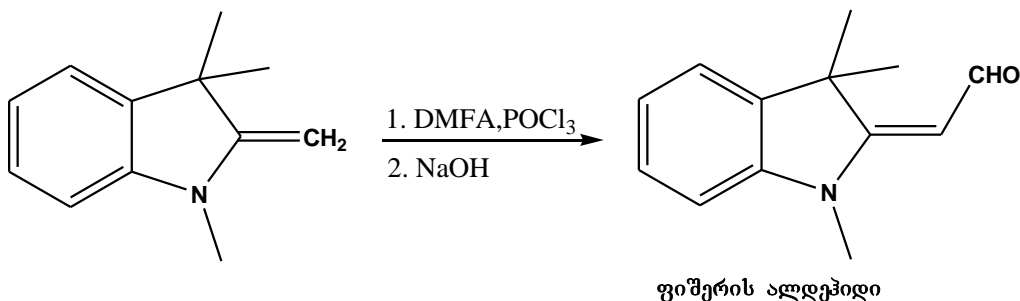
როგორც უკვე ავღნიშნეთ, 2-მეთილენინდოლინები რეაქციისუნარიანი ნაერთებია. ჩვენთვის საინტერესო იყო შეგვესწავლა ჩვენს მიერ სინთეზირებული 2-მეთილენინდოლინის ბის-ანალოგების რეაქციისუნარიანობა.

ამ მიზნით ჩვენს მიერ ჩატარებულ იქნა ვილსმაიერ-ჰაკის რეაქცია, რომელიც ფორმილნაწარმების მიღების ერთ-ერთი გავრცელებული მეთოდია. ეს რეაქცია წარმატებით გამოიყენება ინდოლინდოლების სხვადასხვა ფორმილნაწარმების მისაღებად, ფორმილნაწარმები კი თავის მხრივ, გამოიყენებიან ახალი ნივთიერებების სინთეზისთვის [93, 94, 95].

ფორმილირება ხორციელდება საწყისი ნივთიერებისა და ვილსმაიერის კომპლექსის სხვადასხვა თანაფარდობის პირობებში.

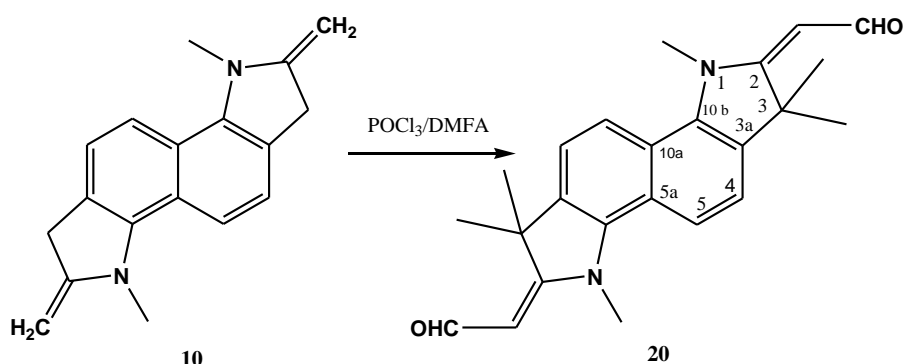
2-მეთილენინდოლინები ადვილად ფორმილირდებიან მეთილენის ჯგუფში ვილსმაიერის რეაქციის პირობებში დიმეთილფორმამიდისა (DMFA) და  $\text{POCl}_3$ -სგან მომზადებული კომპლექსით. ამ მეთოდით ფიშერის ფუძისგან დებულობენ თ-ფორმილ-1,3,3-ტრიმეთილ-2-მეთილენინდოლინს (სქემა 6), კ.წ. ფიშერის ალდეჰიდს. იგი არის უმნიშვნელოვანესი შუალედური პროდუქტი ციანინური და ჰემიციანინური საღებრების მისაღებად [55].

სქემა 6



### 2.3.2.1. 2,7-დი(ფორმილმეთილიდენ)-1,3,3,6,8,8-ჰექსამეთილ-ინდოლინო[7,6-g]ინდოლინი

ფიშერის ალდეჰიდის ბის-ანალოგის 2,7-დი(ფორმილმეთილიდენ)-1,3,3,6,8,8-ჰექსამეთილ-ინდოლინო[7,6-g]ინდოლინის (20) სინთეზი განხორციელებულ იქნა 1,3,3,6,8,8-ჰექსამეთილ-2,7-დიმეთილენინდოლინ[7,6-g]ინდოლინის (10) ფორმილირებით დიმეთილფორმამიდის არეში ვილსმაიერის კომპლექსის სამჯერადი სიჭარბის პირობებში  $55\text{--}60^\circ\text{C}$ -ზე 3სთ-ის განმავლობაში. ვილსმაიერის კომპლექსთან წარმოქმნილი შუალედური პროდუქტის ხსნარის ტუტით დამუშავების შემდეგ გამოყოფილი ნივთიერების ქრომატოგრაფიული ანალიზის შედეგად მასში საწყისი ნივთიერების, ფიშერის ფუძის 10 შესაბამისი ლაქა აღარ მედავნდება (სქემა 7):

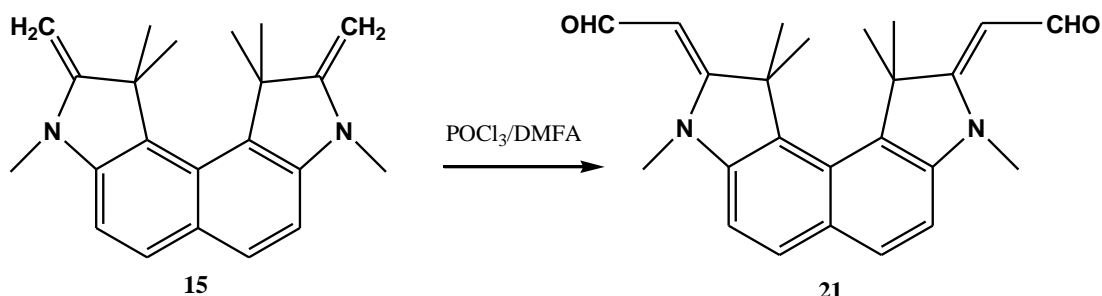


დიალდეპიდის **20**-ის ინფრა-ტითელ სპექტრში ქრება გამოსავალი **10** ნაერთის ეგზოციკლური  $>\text{C}=\text{CH}_2$  ჯგუფის მახასიათებელი შთანთქმის ზოლი  $1643\text{cm}^{-1}$  უბანში და ვლინდება შთანთქმის ინტენსიური ზოლები  $1619$  და  $1565\text{cm}^{-1}$  უბნებში, რომელიც შეიძლება მივაკუთვნოთ  $>\text{C}=\text{CH}-\text{CH}=\text{O}$  შეუდლებული ორმაგი ბმების სისტემას.

ულტრაიისფერ სპექტრში შეინიშნება შთანთქმის მაქსიმუმი  $396$  ნმ უბანში.

### 2.3.2.2 2,7-დი(ფორმილმეთილიდენ)-1,1,3,6,8,8-ჰექსამეთილ-ინდოლინო[4,5-e]ინდოლინი (21)

ფიშერის ალდეპიდის მეორე იზომერული ბის-ანალოგის 2,7-დი(ფორმილმეთილიდენ)-1,1,3,6,8,8-ჰექსამეთილ-ინდოლინო[4,5-e] ინდოლინის (21) სინთეზი განხორციელებულია 1,3,3,6,8,8-ჰექსამეთილ-2,7-დიმეთილენინდოლინო[4,5-e]ინდოლინის (15) ფორმილირებით ვილსმაიერის კომპლექსის 5-ჯერადი სიჭარბის პირობებში  $50^{\circ}\text{C}$ -ზე 2სთ-ის განმავლობაში (სქემა 8).



პროდუქტი **21** გამოყოფილ იქნა ვილსმაიერის კომპლექსთან წარმოქმნილი შუალედური პროდუქტის ტუტით დამუშავების შედეგად. გამოყოფილი ნივთიერების **21** ქრომატოგრაფიული ანალიზის შედეგად მასში გამოსავალი ნივთიერების - ფიშერის ფუძის **15** ლაქა აღარ მეღავნდება.

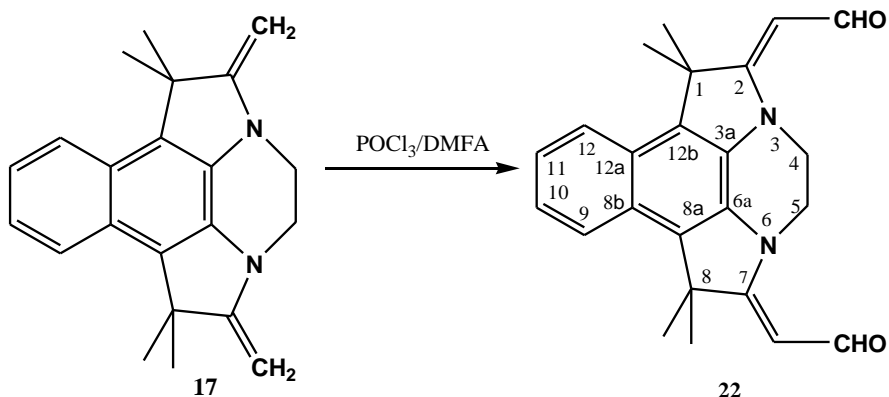
დიალდეპიდის **21** ინფრა-ტითელ სპექტრში, **20** ნაერთის ანალოგიურად, ქრება საწყისი ნაერთის **15** ეგზოციკლური  $>\text{C}=\text{CH}_2$  ჯგუფის მახასიათებელი შთანთქმის ზოლი  $1643\text{cm}^{-1}$  უბანში და ვლინდება შთანთქმის ინტენსიური ზოლები  $1604, 1558,$

1519  $\text{cm}^{-1}$  უბნებში, რომელიც შეიძლება მივაკუთვნოთ  $>\text{C}=\text{CH}-\text{CH}=\text{O}$  შეუდლებული ორმაგი ბმების სისტემას.

### 2.3.2.3. 1,4,5,8-ტეტრაჰიდრო-1,1,8,8-ტეტრამეთილ-2,7-დიმეთილენდიპიროლო[1,2,3-d,e:3,2,1-i,j]ბენზო[g]ქინოქსალინის ფორმილირების რეაქცია

რეაქცია ფიშერის ფუძის ბის-ანალოგს 1,4,5,8-ტეტრაჰიდრო-1,1,8,8-ტეტრამეთილ-2,7-დიმეთილენდიპიროლო[1,2,3-d,e:3,2,1-i,j]ბენზო[g]ქინოქსალინის 17 და ვილს-მაიერის კომპლექსს შორის ჩატარდა სხვადასხვა პირობებში (სქემა 9-10).

სქემა 9



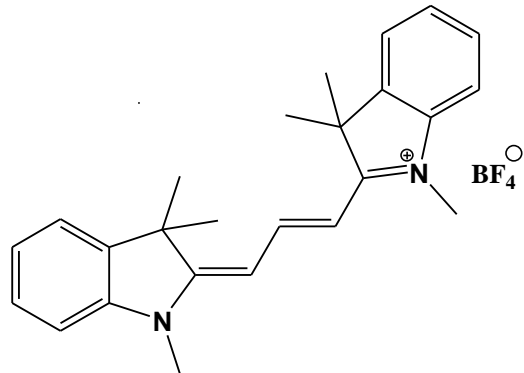
თავდაპირველად ფიშერის ფუძე 17 და ვილსმაიერის კომპლექსი აღებული იქნა მოლური თანაფარდობით – 1:5. რეაქციის  $40^\circ\text{C}$  მიმდინარეობისას ქრომატოგრაფიული კონტროლის შედეგად სარეაქციო არეში რჩებოდა რეაქციაში შეუსვლელი ნაერთი 17 კვალის სახით. ამიტომ ტემპერატურა გავზარდეთ  $60^\circ\text{C}$ -მდე-2 სთ-ის შემდეგ სარეაქციო არის შეფერილობა მკვეთრად შეიცვალა. ხსნარის ნარინჯისფერი გადავიდა ინტენსიურ ლურჯში. წარმოქმნილი ხსნარის 10N  $\text{NaOH}$ -ის ხსნარით დამუშავებისას გამოიყო ლურჯი ფერის კრისტალები. [96].

ფორმილირების რეაქცია ჩატარებულ იქნა განმეორებით ჰელმუტ-ფრიცსის მიხედვით [97]  $35^\circ\text{C}$ -ზე. ვილსმაიერის კომპლექსი აღებულ იქნა დიდი სიჭარბით, თანაფარდობით ფიშერის ფუძე – ვილსმაიერის კომპლექსი - 1:50. რეაქცია მიმდინარეობდა 2 სთ-ის განმავლობაში. სარეაქციო არის ტუტით დამუშავების შედეგად გამოყოფილ იქნა რეაქციის პროდუქტი, 2,7-დი(ფორმილმეთილიდენ)-1,4,5,8-ტეტრაჰიდრო-1,1,8,8-ტეტრამეთილ-დიპიროლო[1,2,3-d,e:3,2,1-i,j]ბენზო[g]ქინოქსალინი (22), ყავისფერი ფხვნილის სახით.

1,4,5,8-ტეტრაჰიდრო-1,1,8,8-ტეტრამეთილ-2,7-დიმეთილენდიპიროლო[1,2,3-d,e:3,2,1-i,j]ბენზო[g]ქინოქსალინის 17 სხვადასხვა პირობებში ფორმილირების რეაქციის შედეგად გამოყოფილი ორი პროდუქტის 22, 23 უი სპექტრების შედარებისას საწყის ფიშერის ფუძის 17 უი სპექტრთან აღმოჩნდა, რომ  $60^\circ\text{C}$ -ზე ჩატარებული რეაქციის შედეგად გამოყოფილი პროდუქტის, ტრიმეთინური ციანინის 23, უი სპექტრში ადგილი აქვს შთანთქმის მაქსიმუმების ბატოქრომულ გადანაცვლებას, ამასთან სპექტრში ჩნდება ორი ახალი ინტენსიური შთანთქმის მაქსიმუმი გრძელტალღიან უბანში 539 და 613 ნმ-ზე (ნახაზი 2). ხოლო  $35^\circ\text{C}$ -ზე ჩატარებული რეაქციის პროდუქტის 22 უი სპექტრი იზომერული დიფორმილნაწარმების 20, 21 ანალოგიურია, სადაც გვაქს მაქსიმუმები 165(1.29), 327.29(1.89) და 368(2.05) ნმ-ზე (ნახაზი 3).

ლიტერატურიდან ცნობილია, რომ ინდოლინების მეოთხეული მარილების ურთიერთქმედებით ალდეჰიდთან წარმოიქმნება ციანინური საღებრები, რომლე-

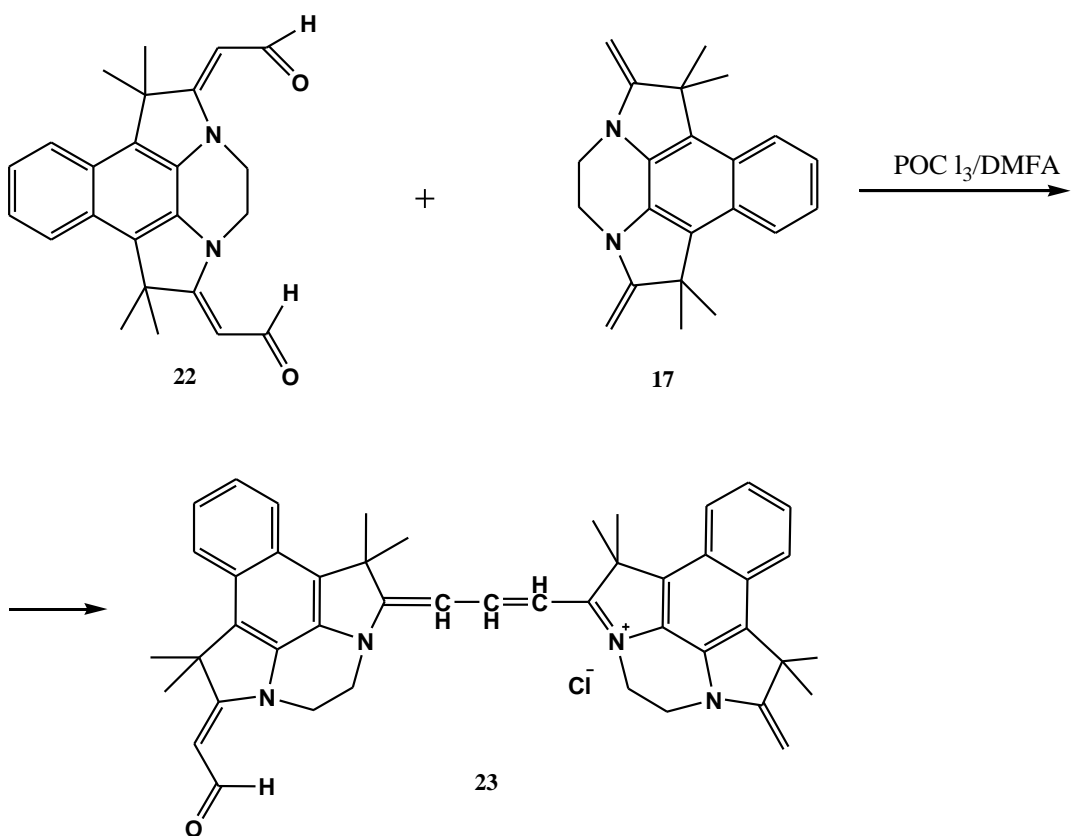
ბიც უი სპექტრში იძლევიან მახასიათებელ მაქსიმუმებს გრძელტალღიან უბანში [47]. ასევე ცნობილია [98] ინდოლინური ფიშერის ფუძისა და ფიშერის ალდეპი-დის ურთიერთქმედების რეაქცია, რის შედეგადაც გამოყოფილია ნაერთი შემდეგი სტრუქტურით:

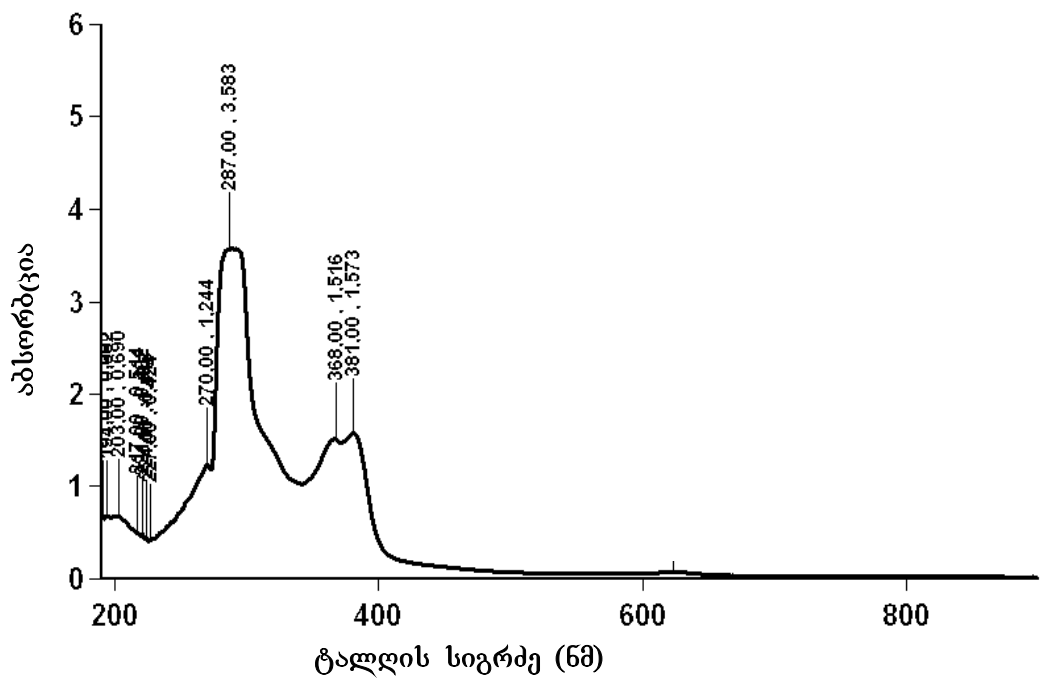


ამ მონაცემებზე დაყრდნობით, ჩვენს მიერ მოწოდებულია სტრუქტურა 23, 60°C-ზე ჩატარებული რეაქციის შედეგად გამოყოფილი ნაერთისათვის (სქემა 10).

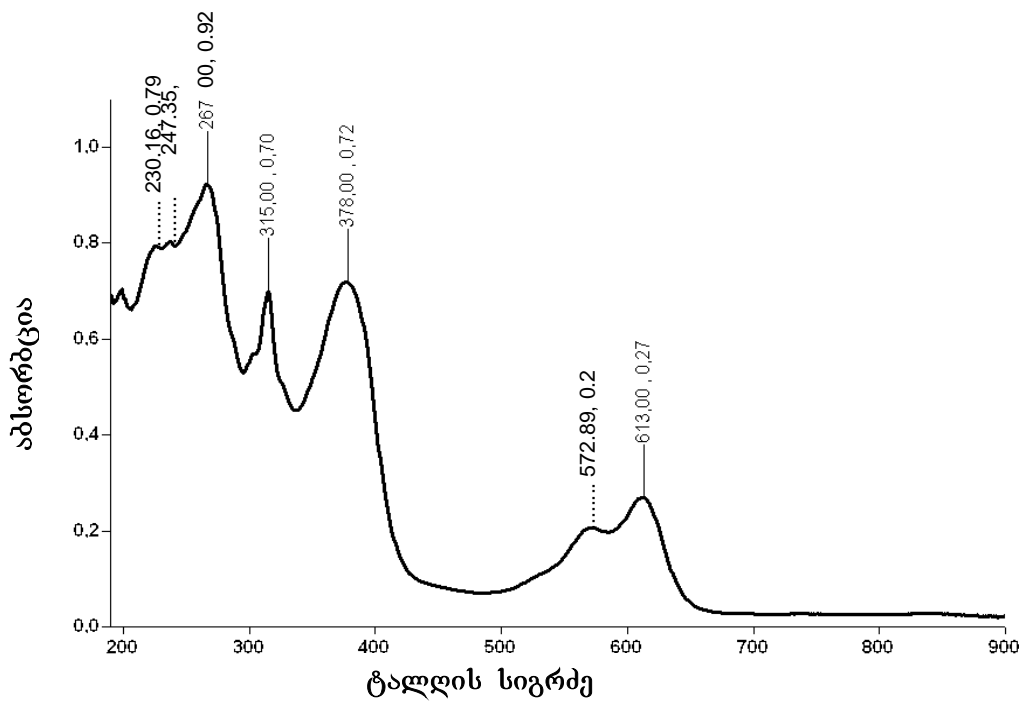
ტრიმეთინური ციანინის 23 წარმოქმნა შეიძლება აიხსნას ფორმილირების რეაქციის დროს 60°C-ზე წარმოქმნილი დიფორმილნაწარმის 22 ურთიერთქმედებით ფორმილირების რეაქციაში შეუსვლელ საწყის ფიშერის ფუძესთან 17, რომელიც შემდეგი სქემით მიმდინარეობს (სქემა 10):

სქემა 10

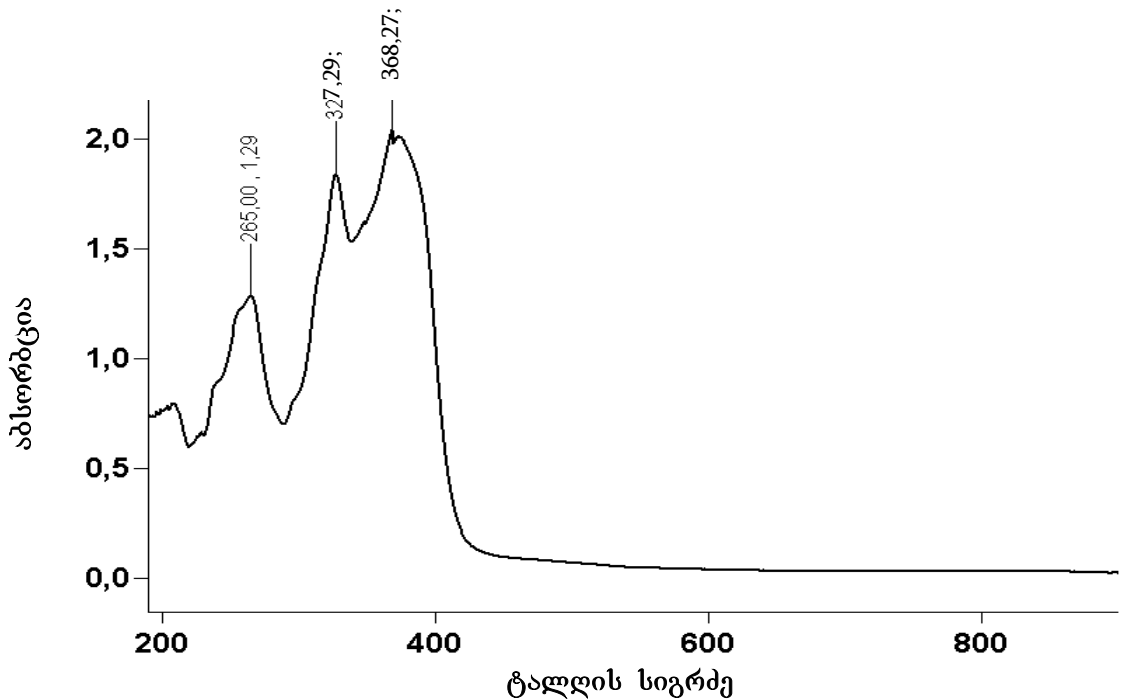




ნაერთი 17-ის უი სპექტრი ეთანოლში



ნაერთი 23-ის უი სპექტრი ეთანოლში



ნაერთი 22-ის უი სპექტრი ეთანოლში

### 2.3.3 ფიშერის ფუძეების ფორმილირების შედეგად მიღებული იდოლოინდოლებისა და ბენზოპიროლოქინოქსალინის ახალი ფორმილნაწარმების სპექტრული ანალიზი

შესწავლილ იქნა ფიშერის ფუძეების ფორმილირების რეაქციის შედეგად მიღებული ნაერთების – ფიშერის ალდეკიდების ბის-ანალოგების 20, 21, 22 და ანომალური პროდუქტის 23  $^1\text{H}$ -ბმრ სპექტრები.

იზომერული ინდოლოინდოლების ბირთვის შემცველი დიფორმილნაწარმების 20, 21  $^1\text{H}$ -ბმრ სპექტრები შეესაბამება სიმეტრიულ მოლეკულებს. სპექტრებში გვხვდება სიგნალების ერთი წყება; ველის ყველაზე სუსტ უბანში, 10.00, 9.90მნ გვხვდება ალდეკიდის ჯგუფის პროტონების შესაბამისი სიგნალები დუბლეტების სახით, რომელიც ურთიერთქმედებს ეგზოციკლური მეთილენური ჯგუფის =CH– პროტონებთან. ამ პროტონების სიგნალებიც მჟღავნდება დუბლეტების სახით ალდეკიდების ჯგუფის პროტონებთან ურთიერთქმედების შედეგად სპინ-სპინური ურთიერთქმედების კონსტანტებით, შესაბამისად – 8.8 პც (ნაერთი 20) და 8.4 პც (ნაერთი 21). სპექტრებში ვლინდებიან ასევე ჰემ-მეთილური ჯგუფების, N-CH<sub>3</sub>- ჯგუფების და არომატული ბირთვების პროტონების შესაბამისი სიგნალები. სპექტრების მონაცემები მოგანილია ცხრილში 5.

საინტერესო აღმოჩნდა დიმეთილენდიპიროლო[1,2,3-d,e:3,2,1-i,j]ბენზო[g]ქინოქსალინის 17 35 °C-ზე ჩატარებული ფორმილირების რეაქციის შედეგად გამოყოფი-

ლი პროდუქტის **22**  $^1\text{H}$ -ბმრ სპექტრი. მასში შეინიშნება შემდეგი პიკები: სუსტ ველში მედავნდება 2 სხვადასხვა ინტენსიურობის დუბლეტური სიგნალი 10.14 და 9.79 ველის მნ, რომელიც შეიძლება მივაკუთვნოთ ალდეჰიდის ჯგუფის პროტონებს. მაღალი ინტენსიურობის სიგნალის სპინ-სპინური ურთიერთქმედების კონსტანტა შეადგენს 8.8 პ, ხოლო დაბალი ინტენსიურობის სიგნალისათვის - 7.2 პ. ეს სიგნალები მივაკუთვნეთ ალდეჰიდის ჯგუფის პროტონებს ბისალდეჰიდში **22**, რომელშიც სავარაუდო  $=\text{CH}-\text{CHO}$  ჯგუფის პროტონების განლაგება იყოს ცის- ან ტრანს- მდგომარეობაში მოლეკულის სიბრტყის მიმართ. შესაბამისად წარმოიქმნება Z და E იზომერული ფორმების ნარევი. ეს დასტურდება ლიტერატურული მონაცემებითაც [55], რომლის მიხედვით 2-მეთილენინდოლინების მეთილენის ჯგუფში ჩანაცვლებული ნაერთები არსებობენ E და Z იზომერების ნარევის სახით 1:10 ან 4:1 თანაფარდობით.

ამავე სპექტრში ალდეჰიდის ჯგუფთან შეუდლებული  $=\text{CH}$  პროტონების შესაბამისი სიგნალებიც ვლინდება ასევე ორი სხვადასხვა ინტენსიურობის დუბლეტის სახით, ალდეჰიდის ჯგუფის პროტონის ანალოგიური სპინ-სპინური ურთიერთქმედების კონსტანტებით ველის 5.45( $\delta=8.8$ ) და 4.54( $\delta=8.4$ ) მნ უბანში. არომატული პროტონების უბანში სხვადასხვა ინტენსიურობის სიგნალები არ შეიმჩნევა. გვაქვს ორი დუბლეტ-დუბლეტური სიგნალი. ველის 8.06 და 7.37 მნ უბანში, შესაბამისად, ორთო და მეტა ურთიერთქმედების კონსტანტით  $J_0=8.0$  პ,  $J_m=4.5$  პ.

$>\text{N}-\text{CH}_2-\text{CH}_2-\text{N}<$  მეთილენური დაჯგუფებისა და  $-\text{C}(\text{CH}_3)_2$  მეთილის ჯგუფების პროტონების შესაბამისი სიგნალები ვლინდებიან სინგლეტების სახით ისევე, როგორც საწყის ფიშერის ფუძეები (იხ. ცხრილი 5).

მიღებული პროდუქტის **22** იქ სპექტრში შეინიშნება პიკები: 1628(-CHO); 1581; 1535 ( $\text{C}=\text{C}$ ) $\text{s}\text{m}^{-1}$ , ხოლო უი სპექტრში კი  $\lambda$  ნმ (lge): 165(1.29); 327.29 (1.89); 368.27 (2.05).

აქედან გამომდინარე,  $35^\circ\text{C}$ -ზე ჩატარებული რეაქციის შედეგად წარმოქმნილი პროდუქტი წარმოადგენს ფიშერის ბისალდეჰიდს, სტრუქტურით **22**, რომელიც სსნარში შეიძლება არსებობს Z და E იზომერების ნარევის სახით.

ამ ნაერთის სტრუქტურის მოლეკულური მოდელი, სადაც დაფიქსირებულ იქნა მეთილენფორმილური ჯგუფების Z და E კონფიგურაცია მოცემულია სურათზე 1.

$60^\circ\text{C}$ -ზე ჩატარებული რეაქციისას გამოყოფილი პროდუქტის **23**  $^1\text{H}$ -ბმრ სპექტრში შეინიშნება ალდეჰიდის ჯგუფის პროტონის შესაბამისი დუბლეტი ველის ეველაზე სუსტ უბანში ( $10.04 \text{ d}$ ). იგივე სპინ-სპინური ურთიერთქმედების კონსტანტის დუბლეტი მედავნდება 5.47 მნ უბანში, რაც მივაკუთვნეთ ალდეჰიდის ჯგუფთან შეუდლებული  $=\text{CH}-\text{CHO}$  პროტონს. ეგზოციკლური  $=\text{CH}_2-$  ჯგუფის პროტონების სიგნალი მედავნდება გაფართოებული სინგლეტის სახით 4.04 მნ-ზე. ქინოქსალინის ბირთვის  $\text{N}-\text{CH}_2-\text{CH}_2-\text{N}$  ჯგუფების სიგნალები ორი სხვადასხვა ბირთვისათვის მედავნდება ტრიალეტების სახით და საწყისი ნაერთების ანალოგიურ სიგნალებთან შედარებით გადანაცვლებულია სუსტი ველის უბნებში.

ბენზოლის ბირთვების არომატული პროტონები მედავნდება მულტიალეტური სიგნალების სახით უბნებში 7.36-7.39; 7.24-7.27; 8.07-8.09 და 7.98-8.00 მნ. ველის ძლიერ უბანში შეიმჩნევა მეთილის ჯგუფების პროტონების შესაბამისი სინგლეტური სიგნალები. საინტერესო იყო ციანინური ჯგუფის მახასიათებელი  $=\text{CH}-\text{CH}=\text{CH}-$  პროტონების სიგნალების დაფიქსირება სპექტრში. 2-მეთილენინდოლინისაგან წარმოქმნილი ანალოგიური ნაერთის მსგავსად [94], სპექტრში შეიმ-

ჩნევა დუბლეტური სიგნალები სპინ-სპინური ურთიერთქმედების კონსტანტებით (11-13 პ.ც), რაც პროტონების განლაგების ტრანს-კონფიგურაციას შეესაბამება.

გადაღებულ იქნა ასევე ფიშერის ალფა-კიდების  $^{13}\text{C}$ -ბმრ სპექტრები, რომელთა შედარებისას საწყისი შესაბამისი ფიშერის ფუძეების  $^{13}\text{C}$ -ბმრ -სპექტრებთან მოხდა მათი ინტერპრეტაცია. დიფორმილნაზარმების 20, 22  $^{13}\text{C}$ -ბმრ სპექტრებში ვლინდება ფორმილის  $\text{CHO}$ , ჰემ-მეთილური ( $\text{CH}_3)_2$ , ეგზოციკლური = $\text{CH}_2$ , - $\text{CH}_3$  და  $\text{N}-\text{CH}_2$  ჯგუფების ნახშირბადატომების სიგნალები. ასევე ვლინდება პიროლის ბირთვებისა და ბენზოლის ბირთვების მეოთხეული ნახშირბადატომებისა და არომატული  $\text{C}-\text{H}$  ჯგუფების ნახშირბადატომების შესაბამისი სიგნალები. სპექტრების მონაცემები მოტანილია ცხრილში 5.

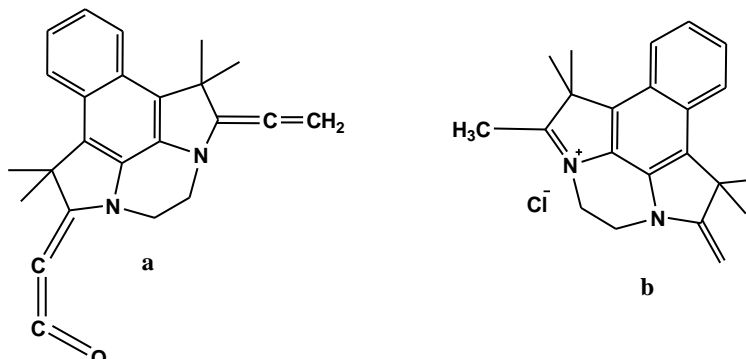
$^{13}\text{C}$ -ბმრ სპექტრების მონაცემები მოტანილია ცხრილში 6.

ნაერთების 20, 21, 22 მაღალი გარჩევადობის მას-სპექტრებში დაფიქსირებულია მოლეკულური იონების პიკები, შესაბამისი მნიშვნელობებით:

$\text{M}^+$  374. 1999 (72.5%),  $\text{M}^+$  374. 1994 (100%),  $\text{M}^+$  372. 1838(100%).

ნაერთის 23 მასს-სპექტრში მოლეკულური იონის პიკი არ ფიქსირდება. სპექტრში მაქსიმალური პიკის სახით მედიანდება ფრაგმენტული იონის პიკი მასით  $[\text{M}-317]^+ = 354$  (100%). ეს უკანასკნელი შეიძლება წარმოიქმნას ციანინური დიმერის დაშლით,  $\text{CH}_\alpha-\text{CH}_\beta$  - როცა მოლეკულური იონისაგან იხლიჩება ფრაგმენტი **b** მასით 317(9,6%). იგი შეესაბამება 1,1,2,8,8-პენტამეთილ-7-მეთილენ-დიპიროლო[1,2,3-d,e:3,2,1-i,j]ბენზო[g]ქინოქსალინის იონს **b**, ხოლო დარჩენილი ფრაგმენტის **a** მდგრადობა, ალბათ, გამოწვეულია შემდეგი სტრუქტურის **a** წარმოქმნით. მასს-სპექტრის ეს მონაცემები არ ეწინააღმდეგება ჩვენს მიერ წარმოდგენილ სტრუქტურას 23 ნაერთისათვის.

## სქემა 10



მიღებული ციანინური ნაერთის 23 ინფრაწითელ სპექტრში შეინიშნება შთანთქმის ზოლი 1565 სმ<sup>-1</sup> (>C=C<) უბანში, ხოლო ულტრაინფრენ სპექტრში გვაქვს შთანთქმის მაქსიმუმები  $\lambda$  ნმ(Ig ): 267(0.92); 315(0.7); 378(0.72); 539.5(0.21); 613(0.27).

წარმოდგენილი სპექტრების მონაცემები არ ეწინააღმდეგება ჩვენს ვარაუდს, 60°C-ზე ფორმილირებისას ციანინური საღებარის 23 წარმოქმნას.

ამრიგად, დიმეთილენდიპიროლო[1,2,3-d,e:3,2,1-i,j]ბენზო[g]ქინოქსალინის (17) ვილსმაიერის რეაქციის პირობებში ჩატარებული ფორმილირების შედეგად ჩვენს მიერ გამოყოფილი და დახასიათებულ იქნა ორი პროდუქტი: დიფორმილნაზარმი - ფიშერის ალფა-კიდების ბის-ანალოგი 22 და რეაქციის ანომალური პროდუქტი 23, რომელიც, სავარაუდოდ, მიიღება წარმოქმნილი დიფორმილნაზარმის 22 შემდგომი გარდაქმნის შედეგად, მოცემული რეაქციის პირობებში (სქემა 10).

*ცხრილი 5*

ფიშერის ალდეჰიდების 20-23  $^1\text{H}$ -პრ სპექტრების მონაცემები  $\text{D}_6$ -დმსო-ში, δ, მნ, ჰე

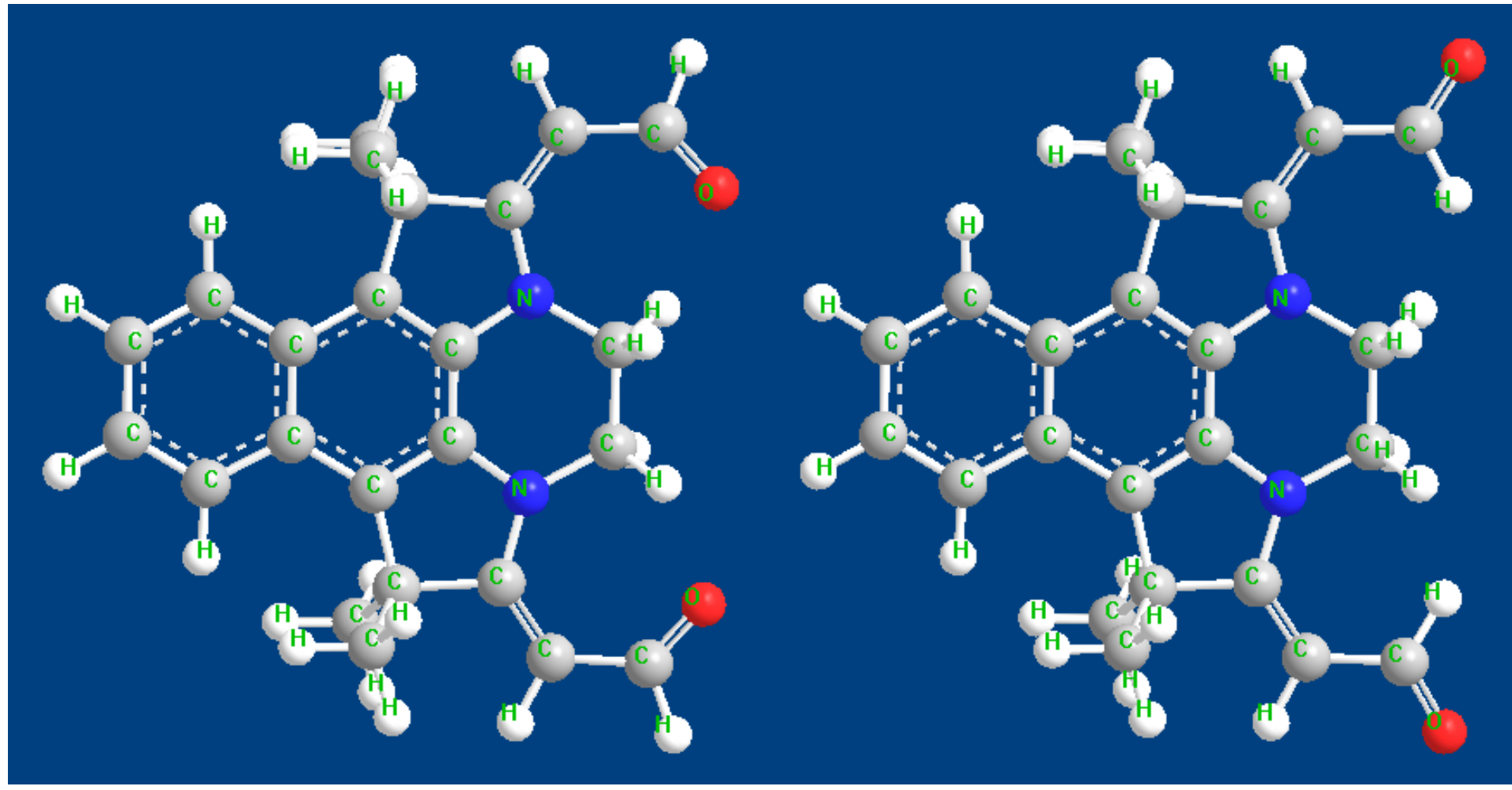
№	=CH- გვთვალ	C(CH <sub>3</sub> ) <sub>2</sub>	N-CH <sub>3</sub>	N-CH <sub>2</sub>	Ar-H	-CHO	J
20	5.50 <b>d</b>	1.65 <b>s</b>	3.75 <b>s</b>	-	8.437-7.493	10.00 <b>d</b>	$J_{=\text{CH-CHO}}=8.8$
21	5.25 <b>d</b>	1.95 <b>s</b>	3.36 <b>s</b>	-	8.00 <b>d</b> (4-H); 7.43 <b>d</b> (5-H)	9.90 <b>d</b>	$J_{4,5}=8.8$ ; $J_{=\text{CH-CHO}}=8.4$
22	5.45 <b>d</b>	1.92 <b>s</b>	-	4.03 <b>s</b>	8.07 <b>dd</b> (9-H); 8.37 <b>dd</b> (10-H)	10.02 <b>d</b>	$J_{9,10}=6.8$ ; $J_{9,11}=3.6$ ; $J_{=\text{CH-CHO}}=8.8$
	5.44 <b>d</b>	1.64 <b>s</b>	-	4.03 <b>s</b>	8.07 <b>dd</b> (9-H); 8.37 <b>dd</b> (10-H)	9.79 <b>d</b>	$J_{=\text{CH-CHO}}=7.2$ ; $J_{9,10}=6.8$ ; $J_{9,11}=3.6$
23	4.04 <b>br s</b> (2H) (=CH <sub>2</sub> ) 5.47 <b>d</b> (=CH-CHO) 6.35 <b>d</b> ( $\beta$ -H), 5.73 <b>d</b> ( $\alpha$ -H), 5.46 <b>d</b> ( $\alpha'$ -H)	1.93s(12H) (C-1-ოს, C-8-ოს) 1.58 <b>s</b> (6H) (C-8'-ოს) 1.65 <b>s</b> (3H) (C-1'ოს) 1.48 <b>s</b> (3H)	2.33 <b>t</b> (4H) 4-H <sub>2</sub> , 5-H <sub>2</sub> 2.67 <b>t</b> (2H) 5'-H <sub>2</sub> 2.00 <b>br s</b> (2H) 4'-H <sub>2</sub>	-	7.98-8.00 (2H) (9-H, 12-H) 7.24-7.27 (2H) (10-H, 11-H) 8.07-8.09 (2H) (9'-H, 12'-H) 7.36-7.36 (2H) (10'-H, 11'-H)	10.04 <b>d</b>	$J_{=\text{CH-CHO}}=8.8$ $J_{\text{CH}_2\text{CH}_2}=1.6$ $J_{\beta\alpha}=14.4$ $J_{\alpha\beta}=11.2$ $J_{\alpha'\beta}=13.2$

ცხრილი 6

ფიშერის ალდეპიდების 20, 22<sup>13</sup>C ბმრ სპექტრების მონაცემები D<sub>6</sub>-დმსო-ში, δ, მე

Nº	CHO	CH <sub>3</sub> ) <sub>2</sub>	=CH- ეგბო ციკლ	N-CH <sub>3</sub>	C-1	C-2	C-3	C-3a	C-10b	C-10a	C-5a	C-5 (C-H)	C-4 (C-H)
20	202.76	29.80	79.51	68.14	-	211.09	74.31	170.13	177.07	155.18	157.0 4	99.43	126.03
22	147.03	27.93	99.87	N-(CH <sub>2</sub> ) <sub>2</sub> -N	C-1'=C-8'	C-2'=C-7'	-	C-12'b=C-1a= =C-8'	C-3'a=C- 6'a	C8'=C12a'	-	C-10'=C-11'	C-9'=C-12'
				53.49	52.93	185.07		123.14	126.86	125.59	-	123.68	123.14

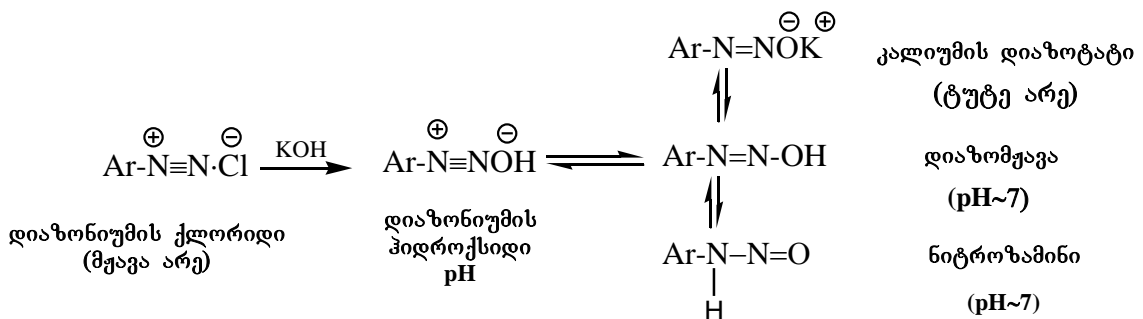
2,7-დი(ფორმილმეთილიდენ)-1,4,5,8-ტეტრაჰიდრო-1,1,8,8-ტეტრამეთილ-დიაზიროლო[1,2,3,-d,e:3,2,1-i,j]ბენზო[g]ქინოქსალინი (22)



### 2.3.4. ფიშერის ფუძეები აზოშეუდლების რეაქციებში

აზოშეუდლების რეაქციები საცმაოდ კარგადაა შესწავლილი ინდოლებისა და ინდოლშემცველი სისტემების რიგში [99-103]. აქტიურ ნაწილაკს წარმოადგენს ულექტროფილური აგენტი – დიაზონიუმის იონი,  $\text{ArN}_2^+$ , რომლის რეაქციისუნარიანობა იზრდება ელექტროაქცეპტორული ჯგუფის შეევანისას.

ცნობილია [104, 105, 106] რომ დიაზონიუმის იონი იშლება ტუტე არეში რამდენიმე ახალი პრდუქტის წარმოქმნით, რომელთა შორისაც მყარდება შემდეგი წონასწორობა:



აზოშეუდლების რეაქციებისათვის დამახასიათებელია მაღალი შერჩევითობა. სარეაქციო არის pH ძლიერ გავლენას ახდენს რეაქციის წარმართვაზე. აზოშეუდლების რეაქციები კარგად არის შესწავლილი ასევე იზომერული დიპიროლონაფთალინების რიგში. ჩაუნაცვლებელი ინდოლონინდოლებისა და ბენზოპიროლონდოლის აზოშეუდლების რეაქციები ჩატარებულია სხვადასხვა დიაზოშემადგენლებთან: პ-ბრომ-, პ-ნიტრო- და პ-სულფამიდ- ფენილდიაზონიუმის მარილებთან და დიაზოტირებულ პ-ამინობენზოსულფამიდთან. ყველა შემთხვევაში რეაქციის ძირითად პროდუქტებს წარმოადგენენ პიროლის ბირთვის ა ან პ-მდგომარეობაში მონოჩანაცვლებული აზონაერთები [93, 94, 103].

საინტერესოა ის, რომ დიპიროლონაფთალინების მონოაზონაწარმებმა გამოამჟღავნეს მაღალი ანტიმიკრობული აქტიურობა სხვადასხვა სახის ტუბერკულოზის ბაქტერიების მიმართ [107].

ზემოთქმულიდან გამომდინარე, ჩვენ დავინტერესდით, მიგვედო ინდოლონინდოლისა და დიპიროლობენზოქინოქსალინის ბირთვის შემცველი ახალი დიაზონაერთები მათი შესაძლო ბიოლოგიური აქტიურობის შესწავლის მიზნით.

მეორეს მხრივ, როგორც ლიტერატურულ მიმოხილვაში ავნიშნება, 2-მეთოლენინდოლინები ადვილად შედიან აზოშეუდლების რეაქციებში, რის შედეგადაც წარმოიქმნება აზოსადებრები.

ამიტომ, სადისერტაციო ნაშრომის შემდეგ ნაწილში ჩვენს მიერ შესწავლილია აზოშეუდლების რეაქციები სინთეზირებული ფიშერის ფუძეების ბის-ანალოგებთან.

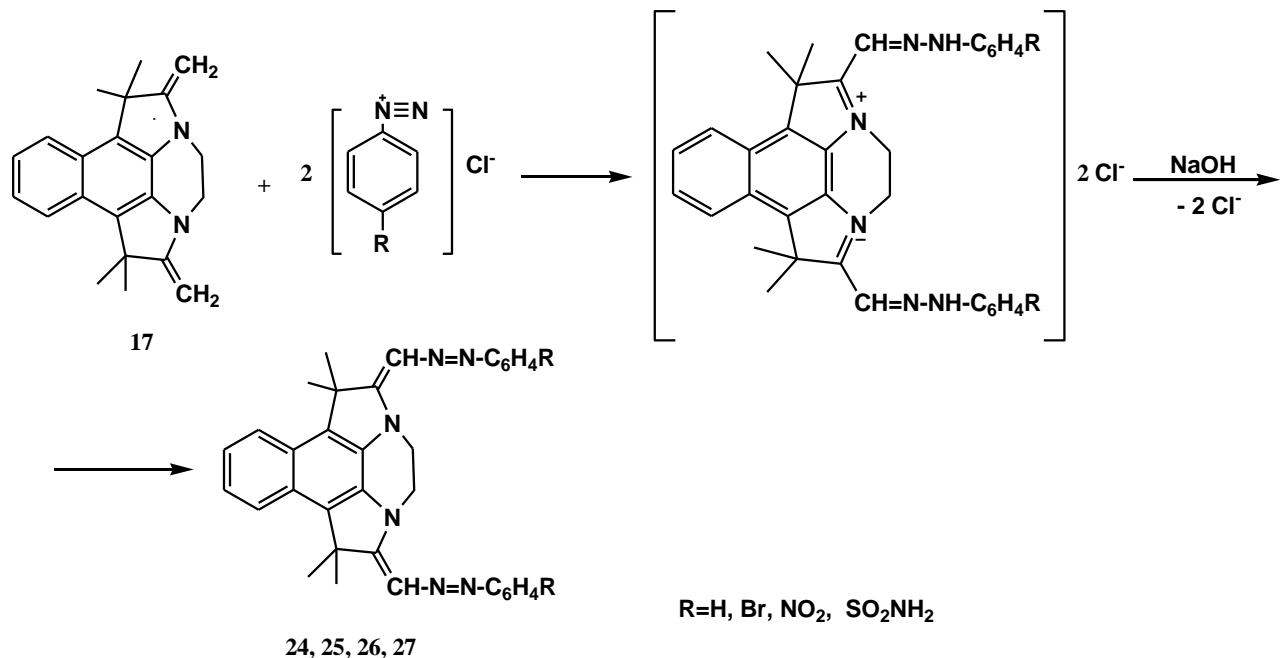
#### 2.3.4.1. აზოშეუდლების რეაქციები ფიშერის ფუძის ბისანალოგების ბაზაზე

ჩვენს მიერ ჩატარებულ იქნა 1,4,5,8-ტეტრაჰიდრო-1,1,8,8-ტეტრამეთილ-2,7-დიმეთილენდიპიროლო[1,2,3-d,e:3,2,1-i,j]ბენზო[g]ქინოქსალინის (17) და 1,1,3,8,10,10-ჰექსამეთილ-2,9-დიმეთილენინდოლინო[4,5-e]ინდოლინის (15) აზოშეუდლების რეაქციები ფენილ-, პ-ბრომ-, პ-ნიტრო- და პ-სულფამიდ- ფენილდიაზონიუმის

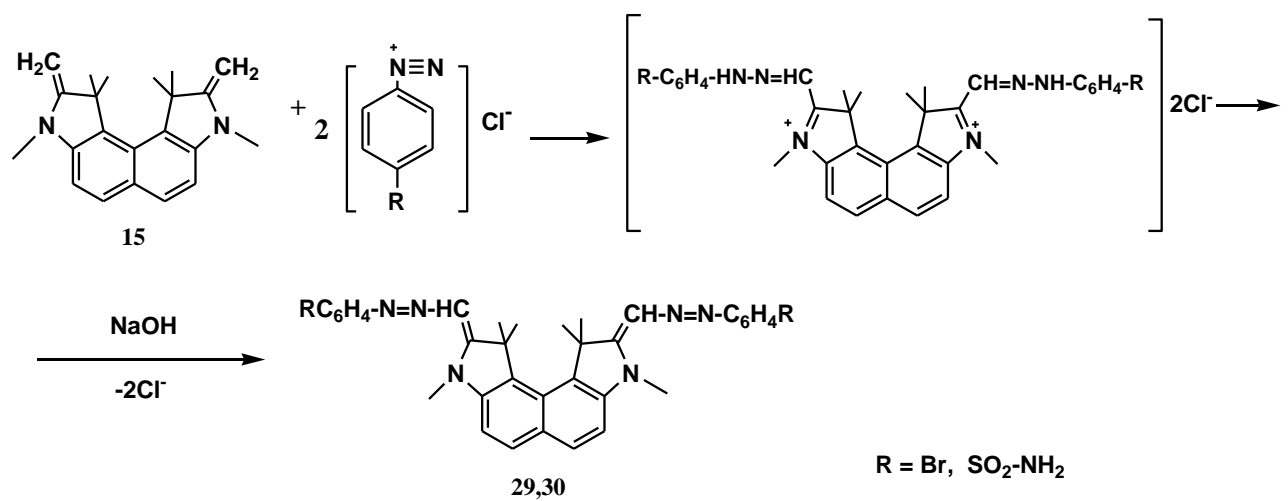
ქლორიდებთან. პოტენციური ბიოლოგიურად აქტიური ნაერთების მიღების მიზნით [108].

აზოშეუდლების რეაქციები ჩატარებულ იქნა 15, 17 ნაერთსა და ფენილდიაზონიუმის მარილებს შორის ჩაუნაცვლებელი ბენზოპიროლოინდოლის ანალოგიური მეთოდიკით, შემდეგი სქემების მიხედვით (სქემა 11-12):

სქემა 11



სქემა 12



საბაზო ნივთიერებების, 15, 17 წყალში ცუდად ხსნადობის გამო აზოშეუდლება ჩატარებულ იქნა წყალი-დიოქსანის ხსნარში (pH 7). ფიშერის ფუძეებზე 15,

17 შესაბამისი ფენილდიაზონიუმის მარილების დამატება ხდება  $-3\text{--}5^{\circ}\text{C}$ -ზე მუდმივი მორევის პირობებში. რეაქციათა პირველ საფეხურზე წარმოქმნილი დიპიდრაზონები, გამოყოფის გარეშე, ტუტით დამუშავების შედეგად გადაყვანილ იქნა შესაბამის დიაზონაერთებში (24-30) [108].

აზოშეუდლების რეაქციის პროცესში გამოყოფილ იქნა შეფერილი ფხვნილების სახით.

ამ ნაერთთა სტრუქტურა შესწავლილია სპექტრალური მეთოდებით.

ლიტერატურიდან ცნობილია [109], რომ აზონაერთების ინფრაჭითელ სპექტრში დიაზოჯგუფის  $\text{--N}=\text{N}-$  მახასიათებელი შთანთქმის ზოლი მუდავნდება მცირე ინტენსიურობით 1429 სმ<sup>-1</sup>-ის უბანში. ჩვენს მიერ სინთეზირებული აზონაერთების იწ სპექტრებშიც ფიქსირდება  $\text{--N}=\text{N}-$  ჯგუფების შთანთქმის ზოლები, მხოლოდ ზოგიერთ შემთხვევაში დიაზოჯგუფის შთანთქმის ზოლები ემთხვევა ვაზელინის ზეთის შთანთქმის ზოლს. სპექტრებში ქრება საწყისი ფიშერის ფუძეებისათვის დამახასიათებელი ეგზოციკლური  $=\text{CH}_2$  ჯგუფის შთანთქმის ზოლი 1643 სმ<sup>-1</sup>-ზე და ვლინდება ახალი შთანთქმის ზოლები  $=\text{CH}-$  ჯგუფისა, რომელიც შეუდლებულია  $\text{--N}=\text{N}-$  დიაზოჯგუფთან და ვლინდება ერთი ან ორი ზოლის სახით 1527-1681 სმ<sup>-1</sup> უბის ფარგლებში. გარდა ამისა, ცალკეული ნაერთის იწ სპექტრში ვლინდება შესაბამისი ფუნქციური ჯგუფების შთანთქმის ზოლები (მონაცემები იხილეთ ექსპერიმენტულ ნაწილში).

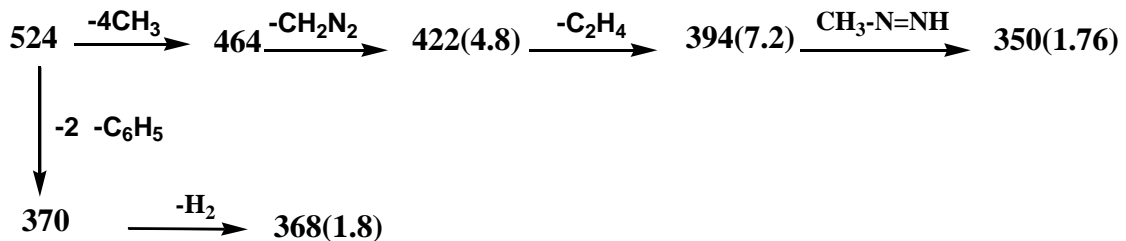
შესწავლილი იქნა მიღებული აზონაერთების, 24-30  $^1\text{H}$ -ბმრ სპექტრები.

$^1\text{H}$ -ბმრ სპექტრებიდან ჩანს, რომ სინთეზირებული ნაერთები სიმეტრიული აგებულებისაა, რადგან სპექტრებში ფიქსირდება სიგნალების ერთი წყება, რაც მიუთითებს, რომ აზოშეუდლების რეაქციების შედეგად წარმოქმნილია ბის-აზონაერთები.

სინთეზირებული აზონაერთების: 2,7-ბის-(ფენილაზომეთილიდენ)-1,4,5,8-ტეტრაჰიდრო-1,1,8,8-ტეტრამეთილდიპიროლო[1,2,3,-d,e: 3,2,1-i,j]ბენზო[g]ქინოქსალინის (24),

2,7-ბის-(პ-ბრომფენილაზომეთილენ)1,4,5,8-ტეტრაჰიდრო-1,1,8,8-ტეტრამეთილდიპიროლო[1,2,3,-d,e:3,2,1-i,j]ბენზო[g]ქინოქსალინის (25), 2,7-ბის-(პარასულფამიდფენილაზომეთილიდენ)1,4,5,8-ტეტრაჰიდრო-1,1,8,8-ტეტრამეთილდიპიროლო[1,2,3,-d,e:3,2,1-i,j]ბენზო[g]ქინოქსალინის (26), 2,7-ბის-(პარასულფამიდფენილაზომეთილიდენ)1,4,5,8-ტეტრაჰიდრო-1,1,8,8-ტეტრამეთილდიპიროლო[1,2,3,-d,e:3,2,1-i,j]ბენზო[g]ქინოქსალინის (27), 2-(ფენილაზომეთილიდენ)-1,1,3,8,10,10-ჰექსამეთილ-9-მეთილენინდოლინო[4,5-e]ინდოლინი(28). 2,9-ბის-(პ-ბრომფენილაზომეთილიდენ)1,1,3,8,10,10-ჰექსამეთილინდოლინო[4,5-e]ინდოლინის (29)  $^1\text{H}$ -ბმრ სპექტრების შედარებისას შესაბამისი ფიშერის ფუძეების 15, 17  $^1\text{H}$ -ბმრ სპექტრებთან ეგზოციკლური  $=\text{CH}_2$  ჯგუფების პროტონების სიგნალების ნაცვლად მუდავნდება ჩანაცვლებული მეთილენის ჯგუფის  $=\text{CH}-\text{N}=\text{N}-$  პროტონების სინგლუტური სიგნალები, რომლებიც გადაწეულია სუსტი ველისაკენ და მუდავნდება 7.3-7.8 მნ უბანში. ასევე სპექტრებში მუდავნდება ფენილის ჯგუფების პროტონების შესაბამისი სიგნალები. რაც შეეხება ჰემ-მეთილური ჯგუფების პროტონების სიგნალებს, რომლებიც ფიშერის ფუძეებში იძლევიან ერთ სინგლეტს, აზონაერთებში ისინი მუდავნდებიან ორი განსხვავებული სიგნალეტის სახით, რაც გამოწვეულია ჩანაცვლებული აზოჯგუფების გავლენით. სპექტრების სრული მონაცემები იხილეთ ექსპერიმენტულ ნაწილში.

სინთეზირებული აზონაერთების 2,7-ბის-(ფენილაზომეთილიდენ)-1,4,5,8-ტეტრაჰიდრო-1,1,8,8-ტეტრამეთილდიპიროლო[1,2,3,-d,e: 3,2,1-i,j]ბენზო[g]ქინოქსალინის (24) მას-სპექტრებში მოლეკულური იონები არ ფიქსირდება, რადგან ისინი ადვილად იშლებიან. მაგალითისათვის განვიხილოთ მას-სპექტრის მონაცემები. სპექტრში დაფიქსირებული ფრაგმენტული იონების პიკების მიხედვით შესაძლოა წარმოდგინოთ მოლეკულის დაშლის შემდეგი სავარაუდო სქემა (სქემა 13):



გარდა სქემაზე მოცემული იონებისა სპექტრში ფიქსირდება ფრაგმენტაციის შედეგად მოხლებილი სავარაუდო იონების მაღალი ინტენსიურობის პიკები, რომლებიც შესაბამება შემდეგ იონურ ფრაგმენტებს (ცხრილი 7):

## ცხრილი 7

<b>m/e</b>	<b>იონური ფრაგმენტი</b>
77 (84)	C <sub>6</sub> H <sub>5</sub>
93 (100)	C <sub>6</sub> H <sub>5</sub> -NH <sub>2</sub>
154 (76)	C <sub>6</sub> H <sub>5</sub> -C <sub>6</sub> H <sub>5</sub>
169 (99.2)	C <sub>6</sub> H <sub>5</sub> -C <sub>6</sub> H <sub>4</sub> -NH <sub>2</sub>

სპექტრში არსებული დიფენილის მოლეკულური იონის პიკისა C<sub>6</sub>H<sub>5</sub>-C<sub>6</sub>H<sub>5</sub> და პარაფენილანილის პიკების, C<sub>6</sub>H<sub>5</sub>-C<sub>6</sub>H<sub>4</sub>-NH<sub>2</sub> არსებობა გვაძლევს უფლებას ვივარაუდოთ, რომ სინთეზირებულია ბის-აზონაერთი 24.

როგორც უკვე ავღნიშნეთ, ჩაუნაცვლებელი ბენზო[e]პიროლო[3,2-g]ინდოლის აზო-შეუდლების რეაქციების ძირითად პროდუქტებს წარმოადგენენ შესაბამისი მონო-აზონაწარმები [103].

ფიშერის ფუძის 17 აზოშეუდლების რეაქციების შედეგად კი სინთეზირებულია შესაბამისი ბის-აზონაერთები (24, 25, 26, 27). ეს შეიძლება აიხსნას იმით, რომ ჩაუნაცვლებელ პეტეროციკლში ერთ პიროლის ბირთვში ფენილაზოჯგუფის ელექტრო-აქცეპტორული გავლენა იწვევს მეორე პიროლის ბირთვის შედარებით ინაქტივაციას და მასში მეორე აზოჯგუფის ელექტროფილური ჩანაცვლება გაძნელებულია. ხოლო ფიშერის ფუძის ბისანალოგში, დიპიროლო[1,2,3,-de;3,2,1-i,j]ბენზო[g]ქინოქსალინში 17, შეუდლებული სისტემის არარსებობის გამო ფენილ-აზოჯგუფის ელექტრონულ-აქცეპტორული ეფექტი არ გადაეცემა მეორე მეთილურის ჯგუფს და შესაბამისად, ადგილი აქვს ელექტროფილურ ჩანაცვლებას ორივე მეთილურ ჯგუფში.

ფიშერის ფუძის 15 აზოშეუდლებისას ფენილდიაზონიუმის ქლორიდთან რეაქციის ძირითადი პროდუქტი არის მონოაზონაწარმი 28, რაც დადგენილია <sup>1</sup>H-პმრ სპექტრებზე დაყრდნობით.

ფიშერის ფუძის 15 აზოშეუდლების რეაქციის პროდუქტების, ბისაზონაწარმების 29,30 გამოსავლიანობა საგრძნობლად დაბალია, ხოლო ფენილდიაზონიუმის ქლორიდთან აზოშეუდლებისას გამოყოფილია ძირითადად მონოაზონაწარმი 28. უნდა აღინიშნოს, რომ აზოშეუდლებისას შუალედურ სტადიაზე წარმოქმნილი იონის ტუტით დამუშავებისას შეინიშნებოდა პროდუქტის დაშლა (აირის ბუჭების გამოყოფა), რამაც სავარაუდოდ, გამოიწვია დაბალი გამოსავ-ლი-ანობა და მონოპროდუქტის წარმოქმნა.

საინტერესოა აზონაერთების უი სპექტრები. მათში ჩნდება შთანთქმის ახალი მაქსიმუმები გრძელტალღიან უბანში, რაც გამოწვეულია ელექტროფილური ჩანაცვლების შედეგად π-ელექტრონების შეუდლების ჯაჭვის გაზრდით საწყის ფიშერის ფუძესთან შედარებით. ცხრილში 8 მოტანილია ფიშერის ფუძეების, შესაბამისი ალდეპიდების და აზონაერთების უი სპექტრების მონაცემები, სადაც ნათლად ჩანს შთანთქმის მაქსიმუმების გადანაცვლება.

ნაერთების 10, 15, 17, 20, 22, 23, 24, 25, 26, 28, 29, 30 უი სპექტრების მონაცემები

ნაერთი	$\lambda_{max}$ , ნმ (lg ε), ეთილის სპირტში
10	348.00(2.341), 368.00(3.194), 383.00(2.899)
15	218.00 (3.306), 246.00 (3.418), 259.00(3.396), 297.00(4.058), 380.00(1.017), 541.00 (0.171)
17	287.00(3.583), 368.00 (1.516), 381.00(1.573),
20	197.00(0.348), 213.00(0.403), 255.00(0.400), 396.00(0.308)
22	230.016(0.79), 247.35(0.80), 267. 00 (0.92), 315.00(0.70), 539.5(0.21), 572.89(0.20), 613.00(0.27)
23	265.00(1.29), 327.29(1.84), 368.27 (2.05)
24	203.00(0.7869), 249.00(0.5691), 464.00 (0.2156)
25	205.00(0.271), 267.00 (0.266)
26	207.00 (0204), 395.00 (0.160), 519.00 (0.163)
28	205.00 (0.340), 289.00(0.221), 453.00(0.180)
29	221.00(0.248), 258.00 (0.232), 301.00 (0.233), 464.00(0.119)
30	205.00 (0.297), 274.00(0.323), 496.00(0.104)

#### 2.4 დიპიროლონაფთალინების დიპიდრაზიდების სინთეზი და გარდაქმნები

ცნობილია, რომ კარბონმჟავათა ნაწარმები აზიდები, ჰიდრაზიდები, ამიდები და მათი წარმოებულები პოლიციკლურ სისტემებთან ხასიათდებიან ბიოლოგიური აქტიურობით. მათ მიერ გამოვლენილია ნეიროტროპული, ანთების საწინააღმდეგო, ანალგეტიკური და ანტიპოქსური თვისებები. ზოგიერთი

მათგანი ხშირ შემთხვევაში ამ თვისებებით აჭარბებენ სამედიცინო პრაქტიკაში ცნობილ ისეთ პრეპარატებს, როგორებიცაა: დიბაზოლი, ანალგინი და სხვ.

დადგენილია, რომ ძმარმჟავას ეთერების მოლეკულებში ეთერული ჯგუფის ბლოკირება პიდრაზინის ნაშთით იწვევს ნივთიერების ტოქსიკურობის შემცირებას, ანთების საწინააღმდეგო და ანგისეპტიკური მოქმედების გაძლიერებას [110].

მეორეს მხრივ, დიპიროლონაფთალინების ბევრმა ნაწარმმა გამოამჟღავნა სხვადასხვა სახის ბიოლოგიური აქტიურობა.

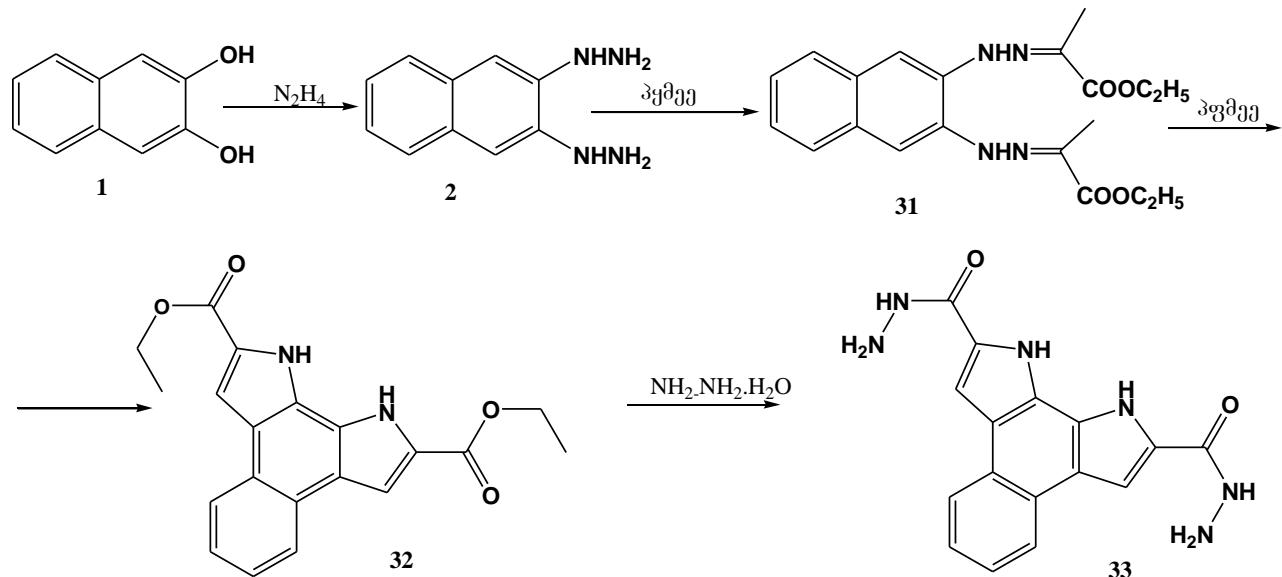
პიდრაზიდები საკმაოდ რეაქციისუნარიანი ნაერთებია. მრავალი პიდრაზიდი ფიზიოლოგიურად აქტიურია და ეს ზრდის მათი გამოყენების სფეროს. ცნობილია ინდოლის ბირთვის შემცველი პიდრაზიდები, რომელთა საფუძველზეც მიღებულია მრავალი საინტერესო ნაერთი.

ჩვენს მიზანს შეადგენდა ბენზოპიროლონდოლისა და ინდოლინდოლის ბირთვის შემცველი დიპირაზიდების სინთეზი და მათი თვისებების შესწავლა კონდენსაციის რეაქციის პირობებში. წარმოქმნილი პიდრაზონები წარმოადგენენ საინტერესო ნაერთებს შემდგომში მათი ბიოლოგიური აქტიურობის შესწავლის მიზნით.

საწყის ეტაპზე ჩვენს მიერ სინთეზირებული იქნა ამოსავალი ნივთიერებები - დიპირაზიდები.

დიკარბოკიდრაზიდებენზო[e]პიროლო[3,2-g]ინდოლის (33) სინთეზი განხორციელებულ იქნა შემდეგი სქემით (სქემა 13) [111]:

### სქემა 13

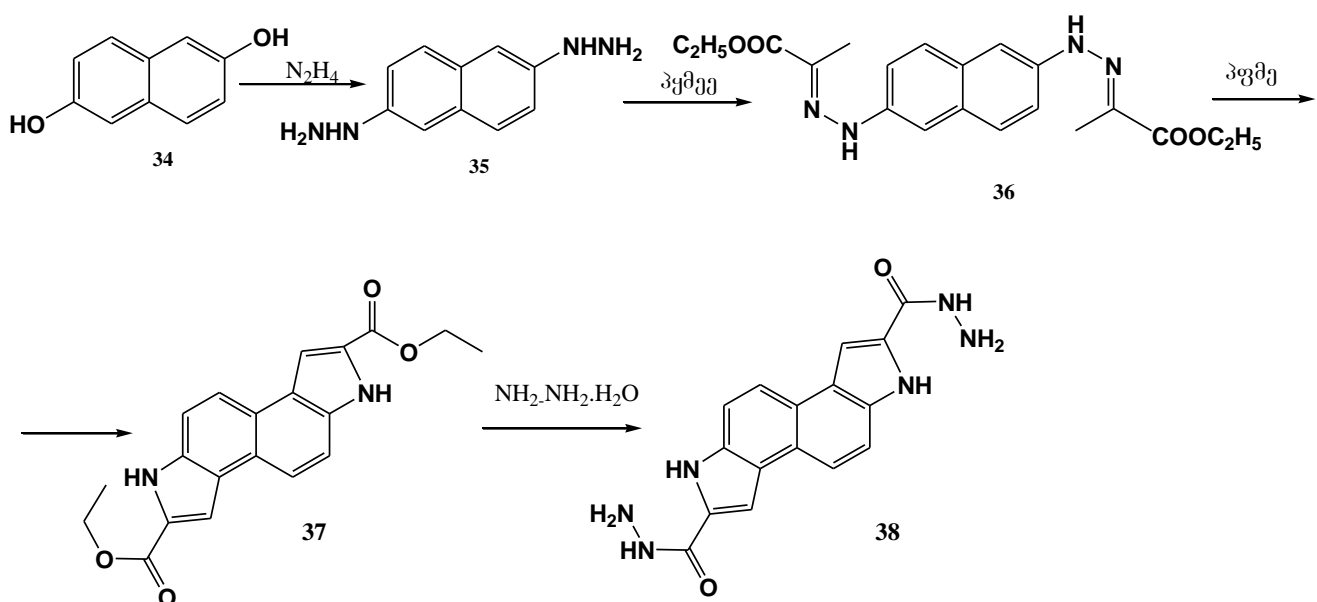


2,3-დიოქსინაფთალინის (1) დუღილით პიდრაზინპირატან ეთილის სპირტის არეში, წარმოიქმნება 2,3-ნაფთილენდიპირაზინი (2). მისი ურთიერთქმედებით პიროყურმნისმჟავა ეთილის ესთერთან მიიღება დიპირაზონი 31. დიპირაზონის ციკლიზაციით პფეი-ში წარმოიქმნება დიეთოქსიკარბონილბენზო[e]პიროლო[3,2-g]ინდოლი (32). დიეთერის 32 ურთიერთქმედებით პიდრაზინპირატან იზოპროპანოლის არეში 3 სთ-ის განმავლობაში წარმოიქმნება 2,9-დიკარბოკიდრაზიდენზოპიროლონდოლი (33).

## 2.4.1. დიკარბოჰიდრაზიდინდოლო[5,4-ე]ინდოლის სინთეზი

ანალოგიური სქემით განხორციელებულ იქნა ახალი იზომერული დიპიდრაზიდის 38 სინთეზი 2,7-დიკარბოჰიდრაზინდოლო[5,4-ე]ინდოლის [112, 113] ბაზაზე (სქემა 14):

სქემა 14



2,6-დიოქსინაფთალინის (34) დუღილით ჰიდრაზინიდი 50 სთ-ის განმავლობაში ხდება ჰიდროჰიდროფილური ჩანაცვლება ჰიდრაზინის ჯგუფით და მიიღება 2,6-ნაფთოლენდიპიდრაზინი (35), რომლის ურთიერთქმედებით ჰყმევ-თან წარმოიქმნება შესაბამისი დიპიდრაზონი (36). მისი ციკლიზაციით ჰყმევ-ების ნარევში 105°C წარმოიქმნება 2,7-დიეთოქსიკარბონიდინდოლო[5,4-ე]ინდოლი (37). მიღებული დიეთერის (37) ჰიდრაზინიდი იზო-პროპილის სპირტის არეში ჰიდრაზინიდიდრაზთან დუღილის პირობებში 2 სთ-ის განმავლობაში, წარმოიქმნება 2,7-დიკარბოჰიდრაზიდინდოლონიდოლი (38).

სინთეზირებული დიპიდრაზიდის 38 აგებულება დადგენილია სპექტრული მეთოდებით.

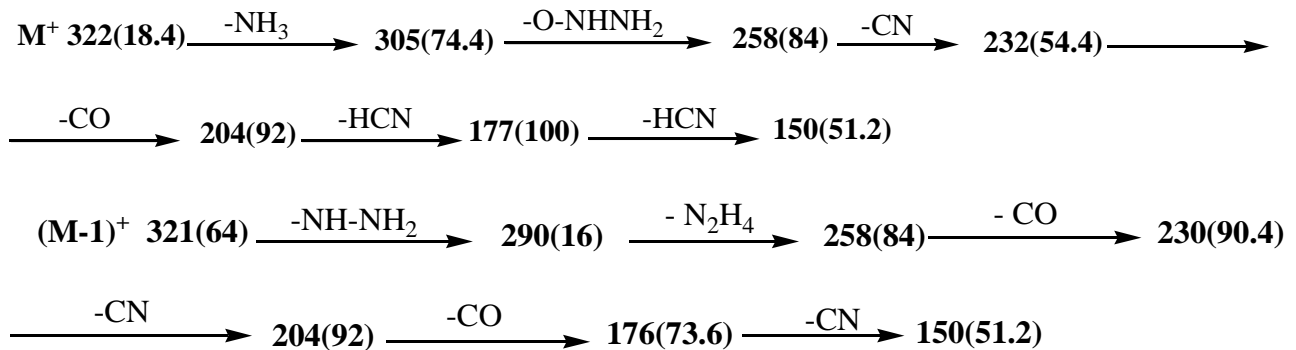
იწ სპექტრში შეინიშნება NH-ბმების სამი ზოლი, რომელიც შეესაბამება ჰიდრაზინული NH<sub>2</sub>-ჯგუფის, ინდოლური NH-ჯგუფისა და ამიდური NH-ჯგუფის მახასიათებელ რხევებს. სპექტრში ვლინდება ასევე C=O ჯგუფის შთანთქმის ზოლები I ამიდური ზოლისა და II ამიდური ზოლების სახით.

დიპიდრაზიდის <sup>1</sup>H-ბმრ სპექტრი შეესაბამება სიმეტრიულ მოლეკულას. სპექტრში სუსტ ველში მჟღავნდება ინდოლური N-H პროტონების ერთი სინგლეტური სიგნალი (11,85 მნ). 9,73 მნ-ის უბანში ვლინდება (CO-NH) ამიდური პროტონების ერთი სიგლეტური სიგნალი. რაც შეეხება ჰიდრაზიდული NH<sub>2</sub> პროტონების სიგნალს, იგი მჟღავნდება ძლიერ ველში ერთი გაფართოებული სიგნალის სახით, რომლის ინტენსიურობა ოთხი პროტონის შესაბამისია. სპექტრის არომატულ უბანში ვლინდებიან ნაფთალინისა და პიროლის ბირთვების პროტონების შესაბამისი სიგნალები. პიროლის ბირთვის β-პროტონის სიგნალი მჟღავნდება 7,70 მნ-ის უბანში ერთი გაფართოებული სიგნალის სახით, ხოლო

ნაფთადინის ბირთვის პროტონები იძლევიან ორ დუბლეტს (7,90, 7,63 მნ), შესაბამისი ორთო-ურთიერთქმედების კონსტანტებით.

დიპიდრაზიდის (38) მას-სპექტრში რეგისტრირდება მოლეკულური  $M^+$  და  $(M-1)^+$  იონების შესაბამისი პიკები, რომელთა შემდგომი ფრაგმენტაცია არ ეწინა-აღმდეგება წარმოდგენილ სტრუქტურას. ამ იონების შემდგომი ფრაგმენტაციის შესაძლო სქემები ასეთია (სქემა15):

სქემა 15



$(M-1)^+$  იონის ფრაგმენტაცია მიმდინარეობს ბენზოპიროლოინდოლისა 33 და ინდოლო[5,4-ე]ინდოლის დიპიდრაზიდების 38 [111] მოლეკულური იონების ანალოგიურად. საწყის სტადიაზე ხდება კარბონილის ჯგუფთან C-N ბმის მარტივი გაწყვეტა და NH-NH<sub>2</sub> ნაწილაკის მოხლეჩვა, ხოლო შემდეგ ელიმინირდება ჰიდრაზინის მოლეკულა 258 მასის ფრაგმენტული იონის წარმოქმნით. ამ იონის შემდგომი დაშლა მიმდინარეობს თანამიმდევრულად HCN და CO ჯგუფების მოხლეჩვით.

#### 2.4.2. დიპიდრაზიდების კონდენსაციის რეაქციები კარბონილურ ნაერთებთან

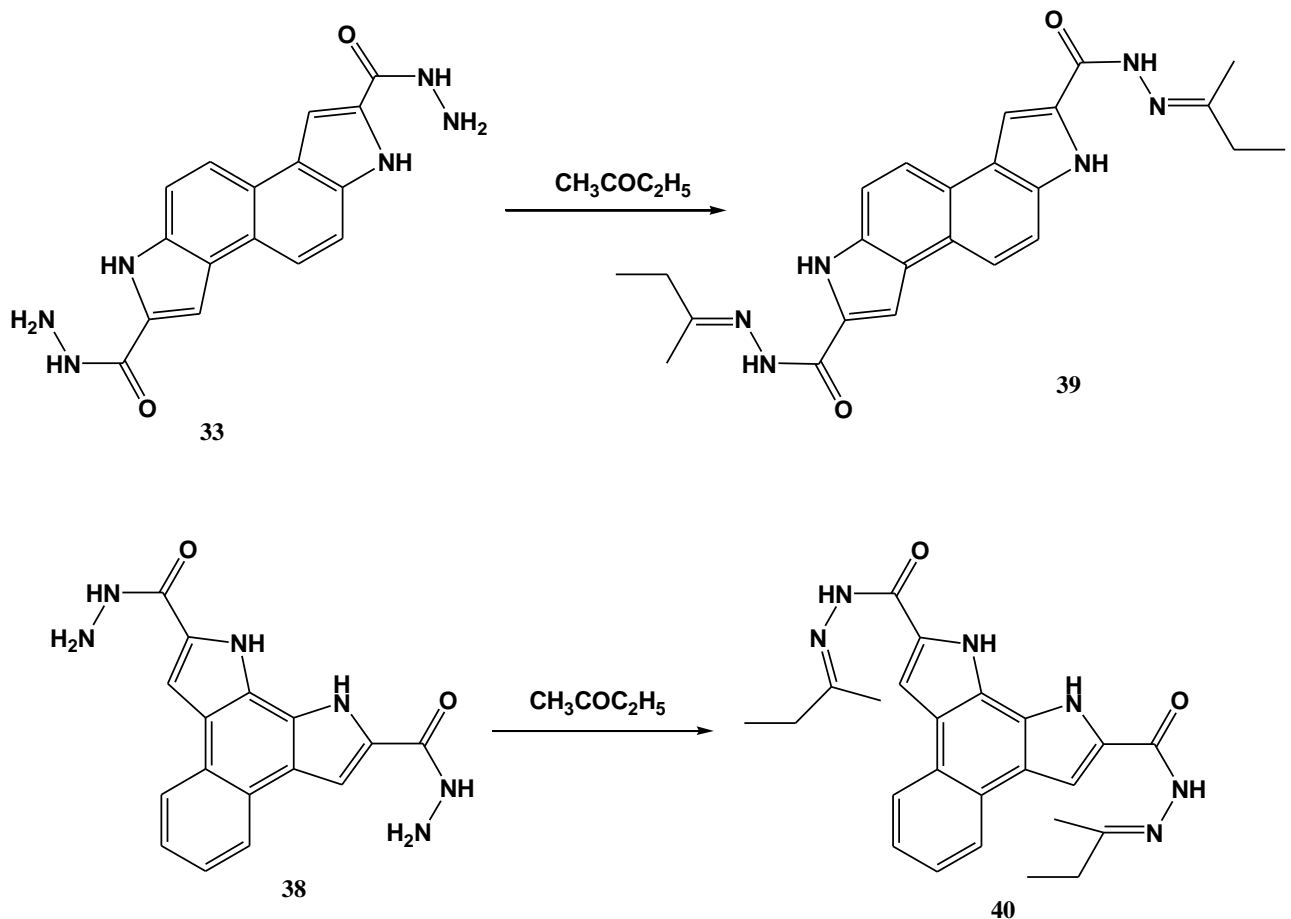
სინთეზირებული დიპიდრაზიდების თვისებები შესწავლილი იქნა კარბონილურ ნაერთებთან მათი ურთიერთქმედების რეაქციების მაგალითზე. ჰიდრაზიდების ურთიერთქმედებით კარბინოლურ ნაერთებთან, ამიდების მსგავსად უნდა წარმოიქმნას ჰიდრაზონები, რომლებსაც ჩვეულებრივი ჰიდრაზონებისაგან განსხვავდით შეიძლება ვუწოდოთ ჰიდრაზიდობის ჰიდრაზიდობით [59].

კარბონილური ჯგუფის ნაერთებიდან ჩვენს მიერ შერჩეულ იქნა მეთოლეთილკეტონი, ციკლოჰექსანონი და აცეტილადამანტანი. წარმოქმნილი ჰიდრაზონები საინტერესონი არიან მათი ბიოლოგიური აქტიურობის შესწავლის თვალსაზრისით. აცეტილადამანტანის შერჩევა განპირობებული იყო იმით, რომ ადამანტანის შემცველი მრავალი ჰიდრაზიდი და ჰიდრაზონი ხასიათდება ანტივირუსული აქტიურობით [114].

#### 2.4.2.1. პიდრაზიდების კონდენსაცია მეთილეთილპეტონთან

ინდოლინდოლის და ბენზოპიროლინდოლის დიპიდრაზიდებს ჭარბად ვა-მატებო მეთილეთილპეტონს, რომელიც ამავე დროს გამსხველის როლს ასრულებს და რამდენიმე წვეთ ძმარმჟავას. რეაქცია მიმდინარეობს  $80\text{--}82^{\circ}\text{C}$  2სთ-ის განმავლობაში. რეაქციის შედეგად გამოყოფილ ნალექს, ვფილტრავთ. გასუფთავების მიზნით ვრეცხავთ იზოპროპანოლით, შემდეგ ეთერით. რეაქციები მიმდინარეობს შემდეგი სქემის მიხედვით (სქემა 16) [112, 113, 115]:

სქემა 16

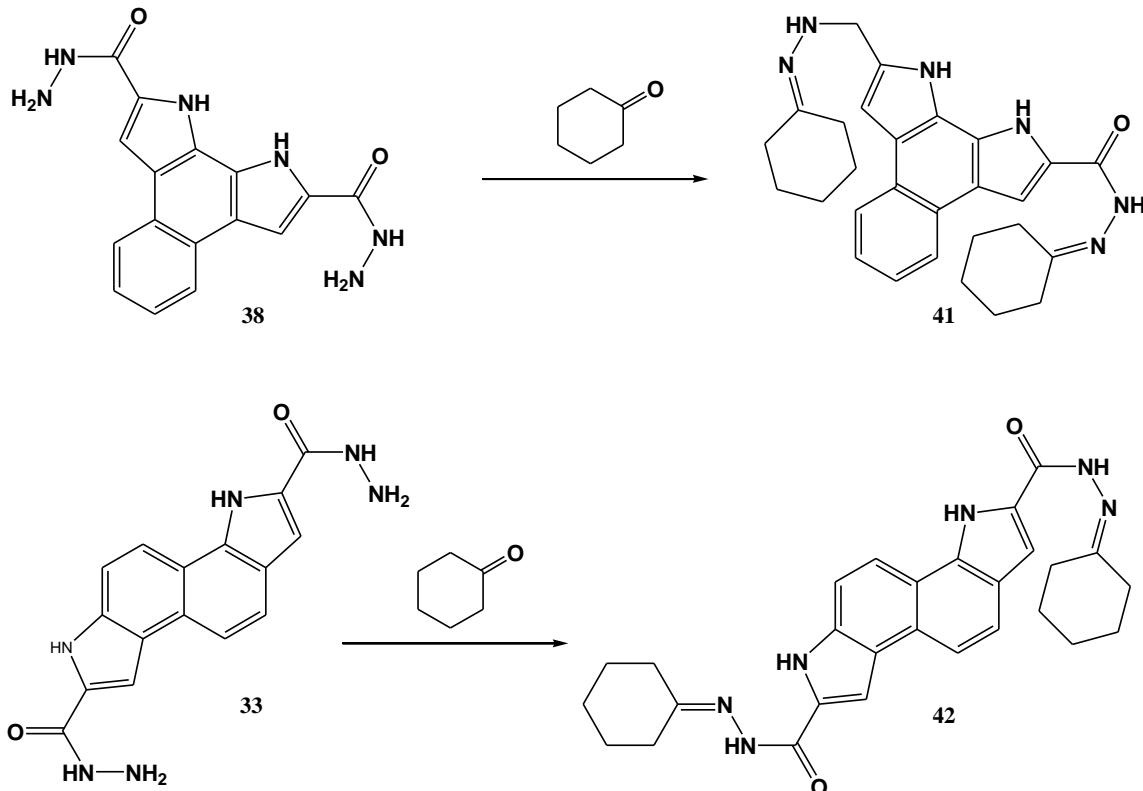


#### 2.4.2.2. პიდრაზიდების კონდენსაცია ციკლოჰექსანონთან

სინთეზირებული დიპიდრაზიდების კონდენსაცია ციკლოჰექსანონთან ჩატარებულ იქნა პიდრაზიდების ურთიერთქმედებით ჭარბ ციკლოჰექსანონთან რამდენიმე წვეთ ძმარმჟავას თანაობისას  $100^{\circ}\text{C}$ -ზე 2 სთ-ის განმავლობაში. წარმოიქმნება ნალექი, რომელსაც ვფილტრავთ, გასუფთავების მიზნით ნალექს ვრე-

ცხავთ იზოპროპანოლით, შემდეგ ეთერით. რეაქციები მიმდინარეობს შემდეგი სქემით (სქემა 17):

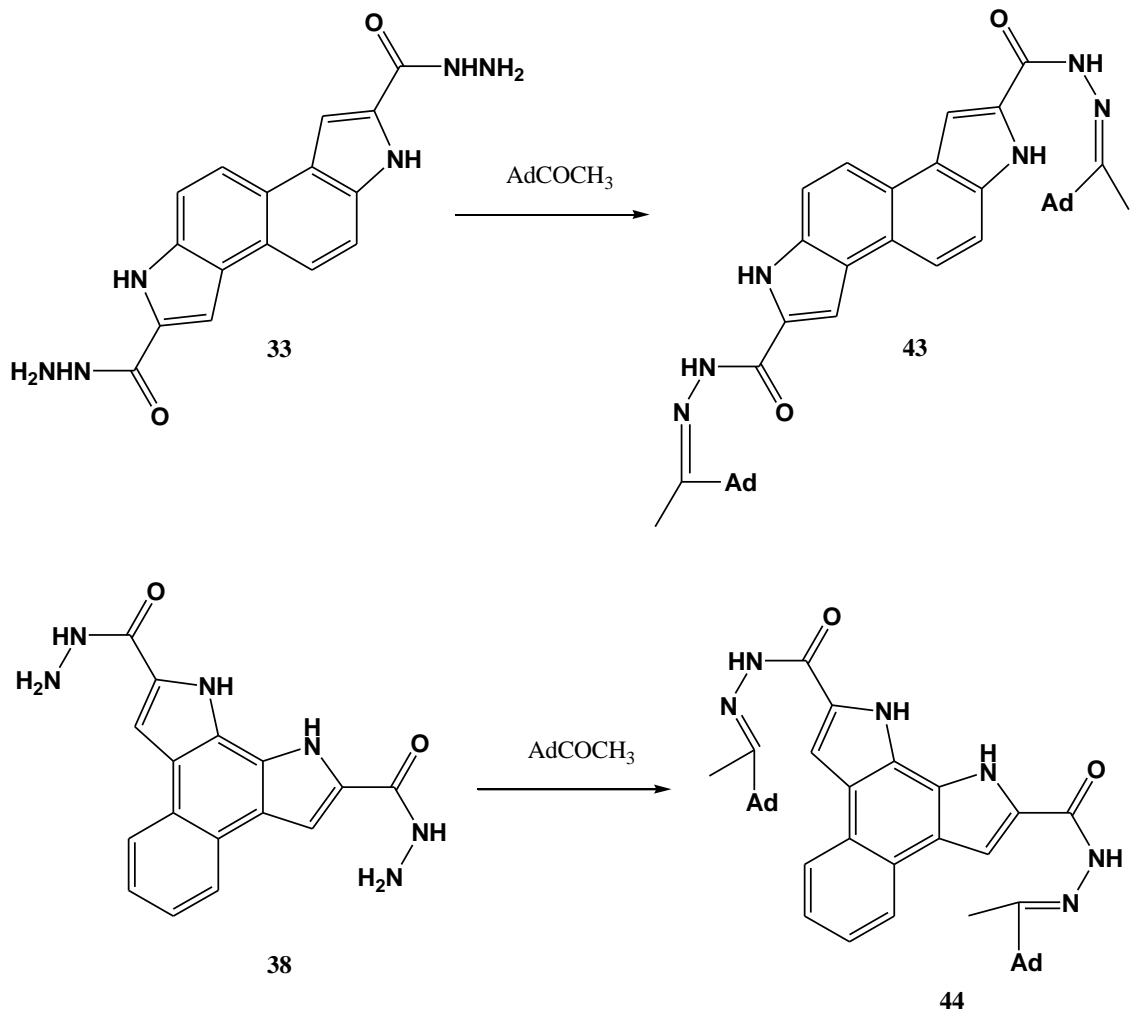
სქემა 17



#### 2.4.2.3. ჰიდრაზიდების კონდენსაცია აცეტილადამანტანთან

როგორც ავღნიშნეთ, ადამანტანის შემცველი ბევრი ჰიდრაზიდი და მათგან მიღებული ჰიდრაზონები გამოირჩევიან ანტიგირუსული აქტიურობით. ამიტომ კარბონილურ კომპონენტად შევარჩიეთ ასევე ადამანტანის შემცველი კეტონი – აცეტილადამანტანი. კონდენსაციის რეაქციები ჩატარებულ იქნა დიმეთილფორმამიდისა და იზოპროპანოლის ნარევში.

აცეტილადამანტანს ვხსნით იზოპროპანოლში, ჰიდრაზიდების ხსნარს კი დიმეთილფორმამიდში და ვუმატებდით რამოდენიმე წვერ ძმარმჟავას. რეაქციები ტარება  $78^{\circ}\text{C}$ -ზე 3 სთ-ის განმავლობაში. წარმოქმნილ ნალექს ვფილტრავთ. გასუფთავების მიზნით ნალექს ვრეცხავთ იზოპროპანოლით, შემდეგ ეთერით. რეაქციები მიმდინარეობს შემდეგი სქემით (სქემა 18) [112,113,115]:



#### 2.4.2.4 ჰიდრაზიდოჰიდრაზონების სპექტრული ანალიზი

39, 40, 41 და 42 ნაერთების იქ სპექტრებში შეინიშნება საერთო კანონზომიერება; სპექტრებში ქრება ჰიდრაზიდული  $\text{NH}_2$  ბმის მახასიათებელი შთანთქმის ზოლები 3400-3410 სმ<sup>-1</sup> უბანში, ხოლო ამიდურ  $\text{CO}-\text{NH}$  ბმაში მონაწილე  $\text{NH}$  და  $\text{C}=\text{O}$  ჯგუფების მახასიათებელი შთანთქმის ზოლები ვლინდებიან შესაბამისად 3150-3280 სმ<sup>-1</sup> და 1640-1670 სმ<sup>-1</sup> უბნებში. სპექტრებში მედიუნდება ასევე რეაქციების შედეგად წარმოქმნილი  $\text{C}=\text{N}$  ბმის მახასიათებელი შთანთქმის ზოლები 1535-1610 სმ<sup>-1</sup> უბანში. ადამანტანის ბირთვის შემცველ ჰიდრაზონებში 15 და 16 ვლინდება ასევე ადამანტანის  $\text{C}-\text{C}$  და  $\text{C}-\text{H}$  ბმებისათვის მახასიათებელი შთანთქმის ზოლები 2600-2730 სმ<sup>-1</sup> უბანში.

$^1\text{H}$ -ბმრ სპექტრების ანალიზიდან ჩანს, რომ სპექტრებში ვლინდება სიგნალების ერთი წყება, რაც მოლეკულების სიმეტრიულობის დამადასტურებელია. ყველაზე სუსტი ველის უბანში (1185-1199 მგ) მედიუნდება ინდოლური პროტონების სიგნალები სინგლეტის ან გაფართოებული სინგლეტის სახით. ამიდური პროტონების გაფართოებული სიგნალები ვლინდებიან 10,32-10,60 მნ-ის უბანში. არომატული პროტონების უბანში ვლინდებიან ნაფთალინის ბირთვის  $\alpha$  და  $\beta$  მდგომარეობის შესაბამისი პროტონები დუბლეტების ან დუბლეტ-დუბლეტების

სახით, დამახასიათებელი ორთო და მეტა-კონსტანტებით. ამ პროცენტების სიგნალებს შორის ვლინდება პიროლის ბირთვის  $\beta$ -მდგომარეობის პროცენტების სიგნალი დუბლეტის ან გაფართოებული სინგლეტების სახით. მეთილის ჯგუფის, ციკლოპექსანონის ბირთვისა და ადამანტანის ბირთვის შესაბამისი პროცენტების სიგნალები ვლინდებიან სპექტრის ყველაზე ძლიერ უბანში. სიგნალების მიკუთვნება ცალკეული პროტონებისათვის მოტანილია ცხრილში 8.

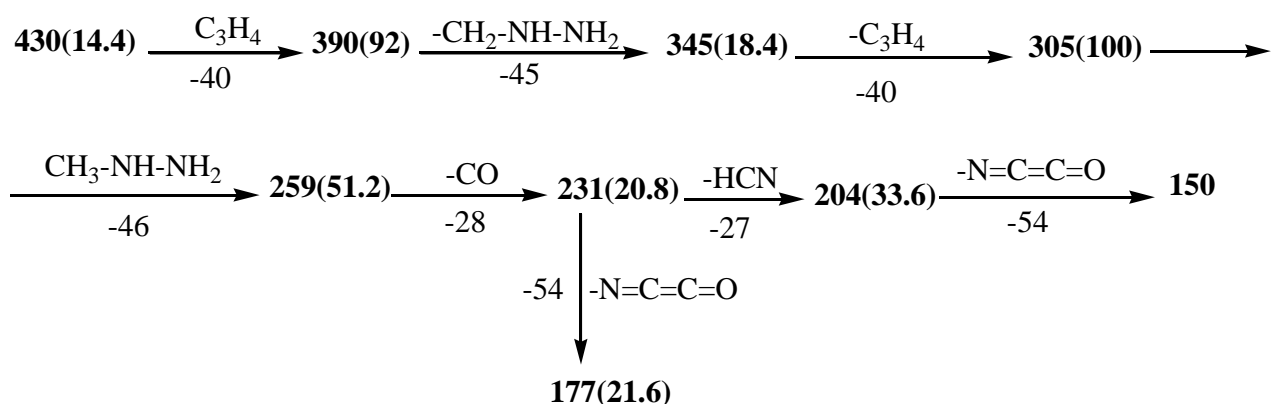
საინტერესო შედეგებია მიღებული ჰიდრაზიდრაზონების მას-სპექტრების ანალიზისას. როგორც უკვე ავღნიშნეთ, იზომერული დიპიროლონაფთალინების დიპიდრაზიდების მას-სპექტრებში მოლეკულური იონების ფრაგმენტაციის სქემები ერთმანეთის ანალოგიურია [111]. ისინი ემსგავსებიან აგრეთვე ლიტერატურიდან ცნობილი ბენზოპიროლონდოლის დიკარბონმჟავას დიქლორანჰიდრიდისა და მის საფუძველზე მიღებული დიამიდების მას-სპექტრებს [116]. ამ ნაერთების მას-სპექტრებში მოლეკულური იონის ფრაგმენტაციისას ორივე კარბონილის ჯგუფთან ბმების გაწყვეტის შემდეგ შესაბამისი ნაწილაკების ან მოლეკულების ელიმინირების შედეგად წარმოიქმნება ფრაგმენტი მასით 259 მაქსიმალური ან მაღალი ინტენსიურობის პიკით სპექტრში. შემდგომში მიმდინარეობს თანმიმდევრულად HCN და CO ჯგუფების დაკარგვა.

ჩვენს მიერ მიღებულ ჰიდრაზიდრ-ჰიდრაზონების მას-სპექტრებშიც შეინიშნება მოლეკულური იონების ფრაგმენტაციის ანალოგიური გზა. მათშიც დასაწყისში ხდება გვერდითი ჯაჭვიდან შესაბამისი ნაწილაკების ან მოლეკულების თანდათანობით მოხდება. ორივე კარბონილის ჯგუფთან ბმების გაწყვეტის შემდეგ აქაც რეგისტრირდება ფრაგმენტული იონი მასით 259, რომლის წარმოქმნა მნიშვნელოვანი როლს ასრულებს ჰიდრაზიდრ-ჰიდრაზონების შემდგომი ფრაგმენტაციისას. ფრაგმენტაცია ყველა შემთხვევაში რამდენიმე მიმართულებით შეიძლება წარმოვიდგინოთ სპექტრებში არსებული პიკებიდან გამომდინარე. ერთერთი საინტერესო მიმართულებაა, ისევე როგორც დიამიდების შემთხვევაში [116], 259 მასის ფრაგმენტული იონის დაშლისას N=C=C=O ფრაგმენტის დაკარგვის დაფიქსირება (პიროლის ბირთვის დაშლა), რომელიც მნიშვნელოვანი განსხვავებაა ინდოლების დაშლის ცნობილი სქემიდან.

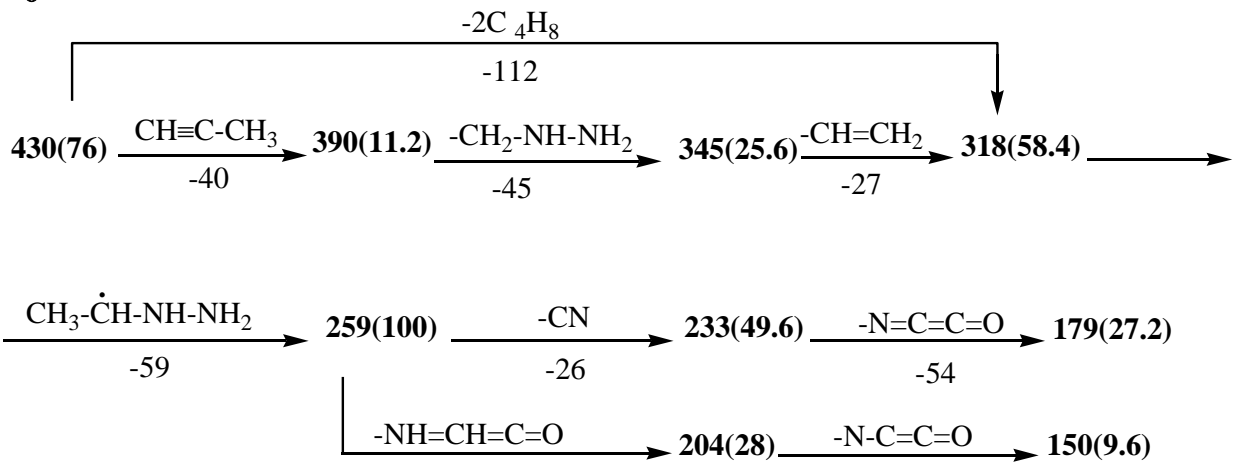
ამრიგად 39-42 ნაერთების დაშლის ყველაზე უფრო დამაჯერებელი სქემები სპექტრებში ყველა პიკების გათვალისწინებით ასეთია (სქემა 19):

სქემა 19

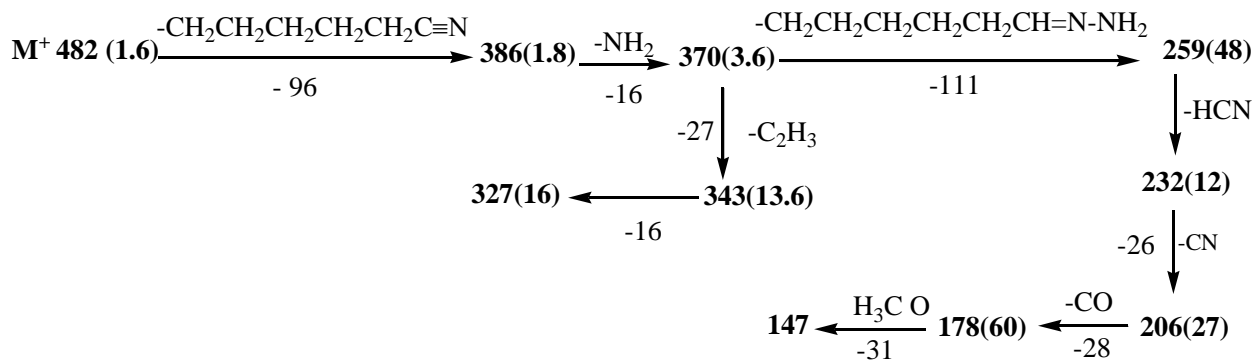
### ნაერთი 39



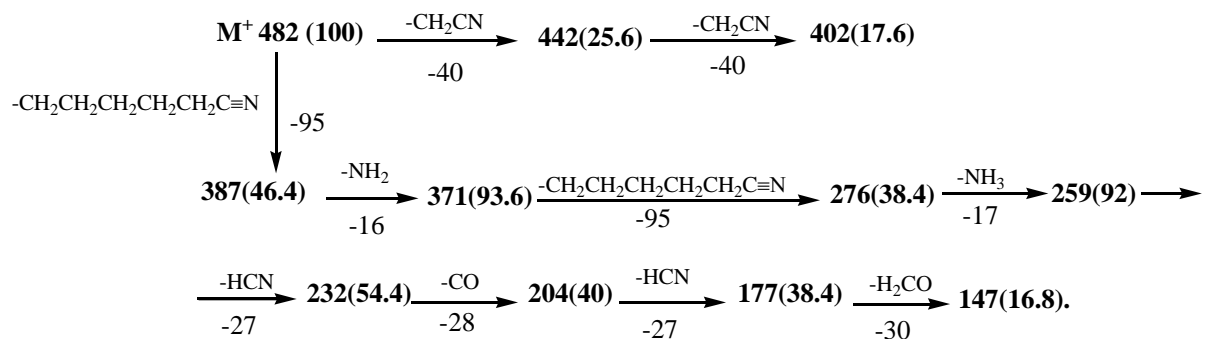
### ნაერთი 40



### ნაერთი 41



### ნაერთი 42

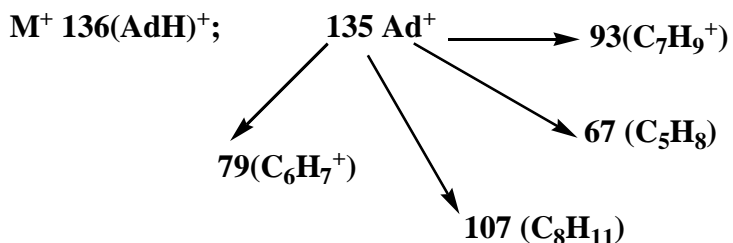


სპექტრებში აგრეთვე რეგისტრირდება მოლეკულური იონების გვერდითი ჯაჭვიდან ელიმინირებული იონები შესაბამისი მასის ცალკეული პიკების სახით. მაგ. ნაერთის 40 შემთხვევაში ინტენსიური პიკი მასით 111 შეიძლება იყოს ელიმინირებული ბუთილების ორი რადიკალის გადაბმის შედეგად წარმოქმნილი რადიკალი  $C_8H_{15}$ , ხოლო ნაერთის 43 მას-სპექტრში რეგისტრირდება ადამანტილის რადიკალისა და მისი შემდგომი ფრაგმენტაციისას წარმოქმნილი დამახასიათებელი იონების [117] მაღალი ინტენსიურობის პიკები.

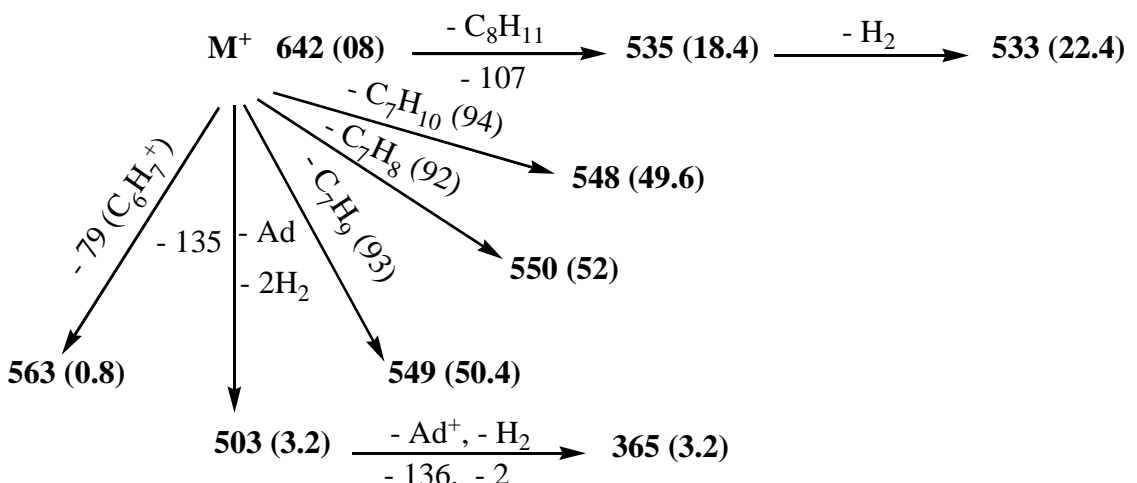
ნაერთების 39, 40, 41, 42, 43, 44 <sup>1</sup>H ბმრ სპექტრების მონაცემები δ, მნ, J, ჰე

ნაერთი	NH ინდ.	NH (ამიდური)	3-H, 8-H	4-H, 7-H	5-H, 6-H	=C-CH <sub>3</sub>	CH <sub>2</sub>	CH <sub>2</sub> -CH <sub>3</sub>	J
<b>40</b>	11.88 bs	10.34 s	7.99d	8.15dd	7.47 dd	2.02 s (6H)	2.36-2.42 m(4H)	1.06-1.24 m(6H)	J <sub>13</sub> =3.2; J <sub>45</sub> =5.2; J <sub>46</sub> =3.2; J <sub>56</sub> =6.0; J <sub>57</sub> =2.8
<b>41</b>	11.85 s	10.59s	7.94d	8.18 m	7.46 dd	<b>H<sub>b</sub> H<sub>c</sub></b>  1.61-1.77 m(12H)	<b>H<sub>a</sub></b>  2.35-2.46 m(8H)	-	J <sub>45</sub> =6.0; J <sub>46</sub> =3.2
<b>43</b>	11.86 s	11.15bs 10.06 bs	7.71d	7.93dd	7.31 dd	1.82 s	<u>A<sub>d</sub></u> 1.48-153; 1.60-1.75; 1.86	-	J <sub>13</sub> =2.4; J <sub>45</sub> = J <sub>54</sub> =6.0 J <sub>46</sub> = J <sub>57</sub> =3.6
<b>39</b>	11.97 s	10.32 s	1-H, 6-H  7.88 bs	4-H, 9-H  8.03d	5-H, 10-H  7.68d	2.03 s	2.39 bs	1.16 bs	J <sub>45</sub> =8.6
<b>42</b>	1.98 b	10.58s	7.86 bs	8.04d	7.66d	<b>H<sub>b</sub> H<sub>c</sub></b>  1.64-1.77 m(12H)	<b>H<sub>a</sub></b>  2.25-2.40 m(8H)	-	J <sub>45</sub> =7.2
<b>44</b>	11.99b s	10.60	7.89 bs	8.06d	7.71m	-	-	<u>A<sub>d</sub></u> 1.70-1.81	J <sub>45</sub> =7.6

ლიტერატურიდან [117] ცნობილია, რომ ადამანტანის მას-სპექტრში მოლეკულური იონის ფრაგმენტაციისას წარმოიქმნება ფრაგმენტული იონები m/z-ის შემდეგი მნიშვნელობით:



აქედან გამომდინარე, მას-სპექტრში არსებული პიკების გათვალისწინებით დასაწყის სტადიაზე ხდება ადამანტანის რადიკალის დაშლის შედეგად წარმოქმნილი იონების ელიმინირებული ნამსხვრევი იონები რეგისტრირდება სპექტრში: მაქსიმალური ინტენსივობის პიკის სახით ( $Ad\text{-}1$ )<sup>+</sup> (100) რადიკალი და შედარებით დაბალი ინტენსივობის პიკების სახით იონები მასით 107(9,6), 93(16,8) და 79(128)

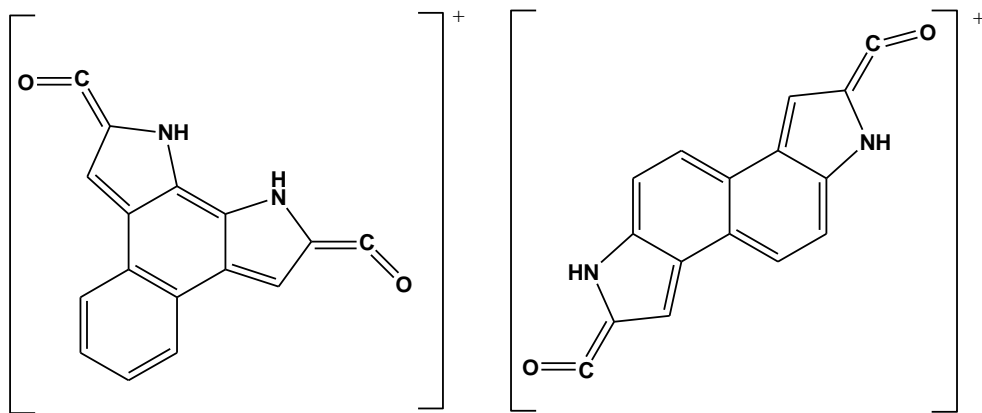


შემდეგ ეტაპზე გრძელდება გვერდითი ჯაჭვიდან შესაბამისი ნაწილაკების მოხლევა და ორივე კარბონილის ჯგუფთან ბმების გახლების შედეგად წარმოიქმნება იონი მასით 259, რომლის შემდეგი ფრაგმენტაცია მიღის ნაერთების 39, 40, 41, 42-ის ანალოგიურად, თანმიმდევრობით HCN და CO ჯგუფების მოხლებით.



ზემოთ განხილულ მას-სპექტრებში დაფიქსირებული საერთო ფრაგმენტული 259 მასის მქონე იონისათვის შეიძლება წარმოვადგინოთ ქინოიდური

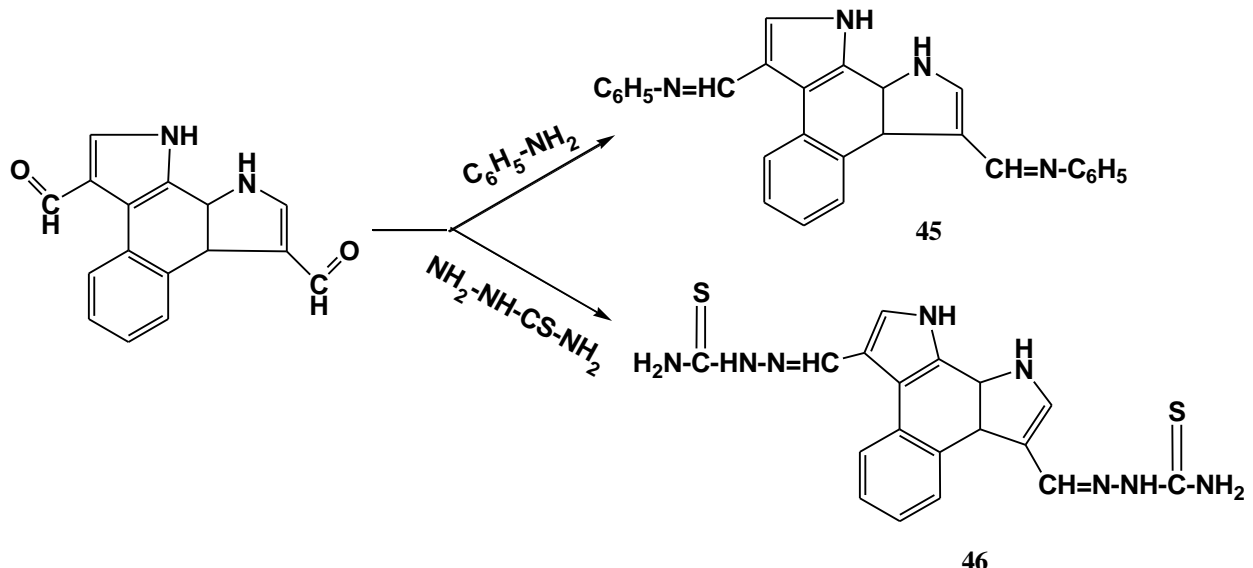
აგებულების შემდეგი ორიიზომერული სტრუქტურა, რომელიც სავარაუდოდ, მათ მდგრადობას განაპირობებს.



## 2.5 3,8-დიფორმილ -1H,10H-ბენზო[e]პიროლო[3,2-g]ინდოლის დიადამანტილანილი

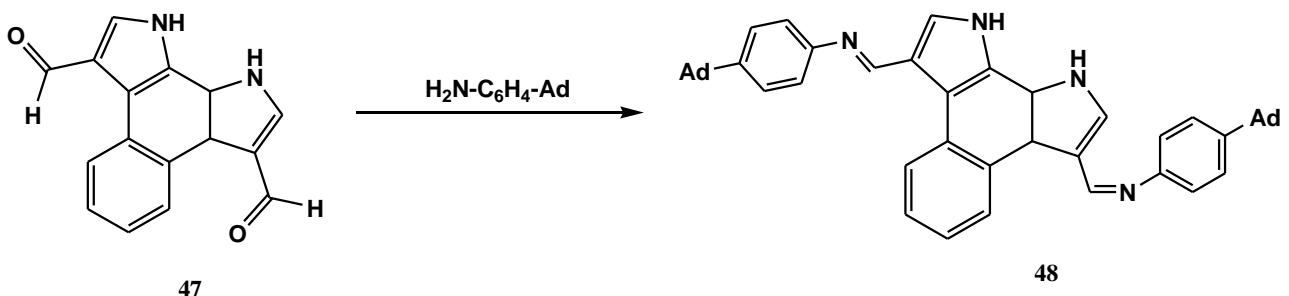
ლიტერატურაში აღწერილია 3,8-დიფორმილ-1H,10H-ბენზო[e]პიროლო[3,2-g]ინდოლის ქიმიური თვისებები ნუკლეოფილური მიერთების რეაქციების მაგალითზე. ნუკლეოფილურ აგენტებად შერჩეულ იყო ანილინი და თიოსემიკარბაზიდი (სქემა 20).

სქემა 20



რეაქციის შედეგად გამოყოფილი პროდუქტები, შიფის ფუძეები 45, 46, საინტერესონი არიან როგორც პოტენციური ბიოლოგიურად აქტიური ნაერთები [118].

ჩვენი სამუშაოს მიზანს შეადგენდა გაგვეხორციელებინა 3,8-დიფორმილ -1H,10H-ბენზო[e]პიროლო[3,2-g]ინდოლის კონდენსაციის რეაქციები აგრეთვე ძლიერ ნუკლეოფილურ აგენტთან პ-ადამანტილანილინთან ფარმაკოფორმული ჯგუფების შემცველი პოტენციური ბიოლოგიურად აქტიური ნაერთის მიღების მიზნით (სქემა 21).



კონდენსაციის რეაქცია მიმდინარეობს ეთილის სპირტში სუსპენზიაში 2 სთ-ის განმავლობაში დუღილით. მიიღება 3,8-დიფორმილ -1H,10H-ბენზო-[e]პიროლო[3,2-ინდოლის დიადამანტილანილი (48) ნარინჯისფერი კრისტალების სახით.

ნუკლეოფილური მიერთების რეაქცია მიმდინარეობს ორჩანაცვლებული დიადამანტილანილის გამოყოფით. მონოპროდუქტის წარმოქმნას, ისევე როგორც დიანილის, თოოსემიკარბაზონის შემთხვევაში, ადგილი არ ჰქონია, რაც განპირობებულია ბენზოპიროლონდოლის მოლეკულის სიმეტრიული აღნაგობით და ორივე ფორმილის ჯგუფის სივრცეში ერთნაირი განლაგებით.

კონდენსაციის პროდუქტის იქ სპექტრში ქრება C=O ალდეჰიდური ჯგუფის შთანთქმის ზოლი 1650, 1700 სმ<sup>-1</sup>. ჩნდება NH- ინდოლური ჯგუფის და CH=N-აზომეთინური ჯგუფის (1600 სმ<sup>-1</sup>) მახასიათებელი შთანთქმის ზოლები, ასევე ადამანტანის ბირთვის შთანთქმის ინტენსიური ზოლი 2846 და 2900 სმ<sup>-1</sup> უბანში.

1H ბმრ სპექტრი შეესაბამება სიმეტრიულ სტრუქტურას და მოლეკულაში ორივე ჩანაცვლებული ჯგუფისათვის შეიმჩნევა სიგნალების ერთი წესი.

ყველაზე სუსტ ველში ვლინდება NH- ჯგუფის პროტონის მულტიპლეტური სიგნალი, აზომეთინის -CH=N- ჯგუფის პროტონის სიგნალი სიგნალების სახით 8,64 მ.ნ უბანში. სპექტრის ყველაზე ძლიერ ველში მუდავნდება ადამანტანის ბირთვის პროტონების სიგნალები: საკვანძო-CH- ჯგუფების პროტონების შესაბამისი სიგნალები 2,07 მ.ნ., ხიდური -CH<sub>2</sub>- ჯგუფების პროტონების შესაბამისი სიგნალები 1,9 მ.ნ და 1,75 მ.ნ უბნებში. სპექტრში მუდავნდება აგრეთვე მოლეკულის ნაფთალინისა და ფენილის ბირთვების არომატული პროტონების სიგნალები სპინ-სპინური ურთიერთქმედების შესაბამისი კონსტანტებით.

დიადამანტილანილის მას-სპექტრში ფიქსირდება მოლეკულური იონის M<sup>+</sup> 680 ნაკლებად ინტენსიური პიკი, რომელიც იშლება ორი მოლეკულა ადამანტილანილინის მოხლებით და 226 მასის ნამსხვრევი იონის წარმოქმნით ინტენსიური პიკის სახით. სპექტრში მაქსიმალურ პიკს წარმოადგენს მოხლებილი ადამანტილანილინის პიკი მასით 227, რომლის შემდგომი დაშლაც მიმდინარეობს ლიტერატურაში აღწერილი სქემით [117].

### თავი 3. ექსპერიმენტული ნაწილი

რეაქციის მსვლელობისა და ნაერთთა სისუფთავის კონტროლს, აგრეთვე  $R_f$ -ის მნიშვნელობის განსაზღვრას ვაწარმოებდით სილიკაგელის ფირფიტაზე – "Silufol UV-254". სვეტური ქრომატოგრაფიისათვის სორბენტად ვიყენებდით სილიკაგელს 100...250 მკმ ზომის ნაწილაკებით.

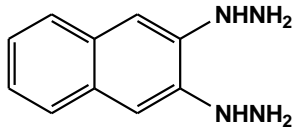
ინფრაწილები სპექტრები გადაღებულია ხელსაწყოზე FTIR-ფურივ, გარდაქმნის ინფრაწილები სპექტრომეტრით. "THERMO NIKOLET" AVATAR 370, დიაპაზონი 400-4000 სმ<sup>-1</sup>, გაზომვის სიზუსტე: 0,5 სმ<sup>-1</sup>.

ულტრაიისფერი სპექტრები გადაღებულია ხელსაწყოზე –VARIAN, CARRY 100, დიაპაზონი 900-190 ნმ.

ბირთვულ-მაგნიტური რეზონანსის სპექტრები გადაღებულია ხელსაწყოებზე CFT-20 „VARIAN", სიხშირე 80 მჴ, სპექტრომეტრზე Bruker WP-200 SY, სიხშირე 200 მჴ, Bruker AM-400 (400 მჴ), შინაგანი სტანდარტი – ტეტრამეთილსილანი, გაზომვის სიზუსტე: ქიმიური წანაცვლება  $\delta \pm 0.01$ , სპინ-სპინური ურთიერთქმედების კონსტანტა  $J = 0.1$  ჰე.

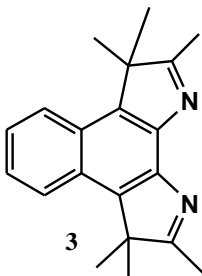
მას-სპექტრები გადაღებულია მაღალი დაშვების ქრომატო-მას-სპექტრომეტრზე MAT 95 v. Finnegan.

#### 2,3-ნაფთოლენდიჰიდრაზინი (2) [22]



10გ (62 მმოლი) 2,3-დიოქსინაფთალინს (1) ხსნიან 4 მლ აბს. ეთანოლში და ამატებენ 10მლ ჰიდრაზინიდრაგს. სარეაქციო არეს აცხელებენ 102°C-მდე 3 სთის განმავლობაში მუდმივი მორევის პირობებში. გამოყოფილ ნალექს ფილტრავენ, რეცხავენ იზოპროპანოლით, აშრობენ დიეთოლეთერით, მიიღება დიავარდისფერი 2,3-ნაფთოლენდიჰიდრაზინის (3) ფენილი. მიღებული ნაერთი გასუფთავების მიზნით გადაკრისტალებულ იქნა იზოპროპანოლიდან. გამოსავლიანობა 5.5გ (48%).  $T_{\text{ლ}} = 218^{\circ}\text{-}219^{\circ}\text{C}$ .

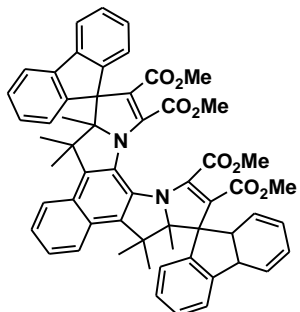
#### 2,3,3,8,8,9 – ჰექსამეთოლ-3,8-დიჰიდრობენზო[e]პიროლო[3,2-g]ინდოლი (3) [22]



0.5გ (2.5 მმოლი) 2,3-ნაფთოლენდიჰიდრაზინს (2) ხსნიან 5 მლ ყინულოვან ძმარმჟავაში და უმატებენ 1.6 მლ მეთილიზოპროპილკეტონს. სარეაქციო არეს აცხელებენ 95°C-მდე 2 სთის განმავლობაში. წარმოქმნილ მუქ ყავისფერ ხსნარს აორთქლებენ როგორც ამაორთქლებელზე ძმარმჟავას მოცილების მიზნით. დარჩენილ ზეთოვან ნაშთს ანზავებენ იზოპროპილის სპირტით და გადააქვთ

ყინულიან ჭიქაში. ტუტე არის შესაქმნელად მასში აწვეთებენ ამონიუმის პიდროქსიდის 5-8 წვეტს pH 12-მდე. გამოყოფილ ნალექს ფილტრავენ. პროდუქტს ასუფთავებენ ნორმალური ჰეპტანის მცირე პორციებში დუღილისას მრავალჯერადი ექსტრაქციით. ექსტრაქტებიდან ჰეპტანის აორთქლებით, ხსნარის დაკონცენტრირებისა და გაცივების შემდეგ კრისტალდება ნაერთი 3. ფილტრავენ, აშრობენ. გამოსავლიანობაა 0.41გ (53%). T<sub>ლლ</sub> 230-231°C; R<sub>f</sub> 0.4 (ეთილაცეტატი). ერლიხის რეაქტივთან გაცხელებით იძლევა მუქ ლურჯ შეფერილობას.

**ბის(2',3'-დიმეთოქსიკარბონილ 5',6',6'-ტრიმეთილსპიროფლოურენ – 9,4'-(1'-აზა-2'-ციკლოპენტენ)[1',5'-ა]ბენზო[e]პიროლო[3,2-გ]ინდოლინი (5)**



0.25 გ (0.7 მმოლი) 2',3'-დიმეთოქსიკარბონილსპიროფლოურენციკლოპროპენს ხსნიან 3 მლ აბს. ბენზოლში. უმატებენ 3 მლ ბენზოლში გახსნილ 0.08 გ (0,28 მმოლი) ბენზოპიროლონდოლს 3. რეაქციას ატარებენ სიბნელეში, სარეაქციო არის 60°C-მდე გაცხელებით, 36სთ-ის განმავლობაში. სარეაქციო ნარევიდან გამსხველის აორთქლების შემდეგ დარჩენილი ზეთისებური მოყვითალო ნივთიერება გადაჰყავთ კრისტალურ მდგომარეობაში ჰექსანისა და ბენზოლის ნარევის საშუალებით. მიიღება ორი ნაერთი: 2',3'-დიმეთოქსიკარბონილ-5',6',6',11',11',12'-ჰექსამეთილ-11'-პიდროსპიროფლოურენ-9,4'-(1'-აზა-2'-ციკლოპენტენ)[1',5'-ა]ბენზო[e]პიროლო[3,2-გ]ინდოლინი (4). გამოსავლიანობა 0.14გ (71%) [22] და ფილტრატიდან გამოყოფილ იქნა 0.1 გ (5%) პროდუქტი 5. იგი გასუფთავებულ იქნა ქრომატოგრაფიულ სვეტზე (ელუენტი ბენზოლი). T<sub>ლლ</sub> 203°-205°C, R<sub>f</sub> 0.19 (ბენზოლი).

**იქ სპექტრი** (ვაზელინის ზეთი), ν, სმ<sup>-1</sup>: 1720, 1710(C=O), 1590, 1570, 1270-1200(C=C).

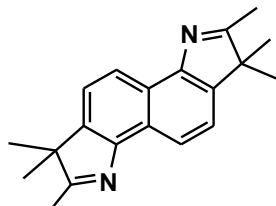
**უი სპექტრი (C<sub>6</sub>H<sub>6</sub>), λ<sub>max</sub> ნმ (lgε):** 355(0,78), 281(3,85).

**უი სპექტრი** (ხსნარის უი სინათლით დასხივების შემდეგ) λ<sub>max</sub> ნმ(lgε): 282(4,03).

**<sup>1</sup>H ბმრ სპექტრი :** <sup>1</sup>H (DMSO-d<sub>6</sub>), δ, ნმ (J, ჰz) (მოტანილია მონაცემები სიმეტრიული დახურული ფორმის მოლეკულის ნახევრის 5, მაღალი ინტენსიურობის სიგნალები): 1.50 (3H, s, 6'-CH<sub>3</sub>); 1.55(3H, s, 6'-CH<sub>3</sub>); 2.335(3H, s, 5'-CH<sub>3</sub>); 3.22(3H, s, COOCH<sub>3</sub>); 3.94(3H, s, COOCH<sub>3</sub>), 7.61(2H, d, 4-H, 5-H, <sup>3</sup>J=7.0), 7.80(2H, d, 1-H, 8-H, <sup>3</sup>J=8.0), 7.82(2H, t, 2-H, 7-H, <sup>3</sup>J=8.0, <sup>3</sup>J=7.0), 7.39(2H, t, 3-H, 6-H, <sup>3</sup>J=7.0, <sup>3</sup>J=7.0), 7.55(1H, t, 8'-H, <sup>3</sup>J=8.0, <sup>3</sup>J=7.5), 7.71(1H, d, 7'-H, <sup>3</sup>J=7.5). (არასიმეტრიული ცალ მხრივად გახსნილი ფორმისათვის 5', დაბალი ინტენსიურობის სიგნალები): 1.13(3H, s, CH<sub>3</sub>), 1.15(3H, s, CH<sub>3</sub>), 1.23(3H, s, CH<sub>3</sub>), 1.25(3H, s, CH<sub>3</sub>), 2.01(3H, s, CH<sub>3</sub>), 2.02(3H, s, CH<sub>3</sub>), 3.09(3H, s, COOCH<sub>3</sub>), 3.52(3H, s, COOCH<sub>3</sub>), 3.75(3H, s, COOCH<sub>3</sub>), 3.83 (3H, s, COOCH<sub>3</sub>), 6.01(2H, d, 10-H, 17-H, <sup>3</sup>J=8.0), 6.34(2H, t, 11-H, 16-H, <sup>3</sup>J=8.0, <sup>3</sup>J=7.9), 6.69 (2H, d, 13-H, 14-H, <sup>3</sup>J=7.0), 6.94(2H, t, 12-H, 15-H, <sup>3</sup>J=8.0, <sup>3</sup>J=7.0), 7.04(2H, t, 3-H, 6-H, <sup>3</sup>J=7.5, <sup>3</sup>J=7.5), 7.27(1H, t, 9'-H, <sup>3</sup>J=9.0), 7.32(1H, t, 8'-H, <sup>3</sup>J=9.0), 7.34(1H, d, 7'-H, <sup>3</sup>J=9.0), 7.35(1H, d, 10'-H, <sup>3</sup>J=9.0), 7.49(2H, d 4-H, 5-H, <sup>3</sup>J=7.5), 7.73(2H, t, 2-H, 7-H, <sup>3</sup>J=8.0, <sup>3</sup>J=7.5), 8.07 (2H, d, 1-H, 8-H, <sup>3</sup>J=7.5).

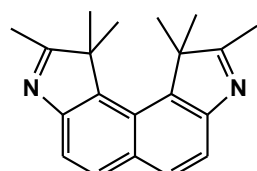
**მას-სპექტრი** (70 გვ),  $m/z$  ( $I_{\text{ფარ}}$ , %): 902 [ $M^+$ ] (1.7), 747(0.8), 735(0.8), 627(20), 598(21.6), 582(10.4), 566(8.8), 535(19.2), 446(24), 388(24.0), 377(25.6), 326(31.2), 308(33.6), 292(38.4), 263(56), 252(33.6), 248(40.8), 205(78), 193(64.6), 189(61.6), 165(100);  
**ნაპოვნია %:** C 78.23, H 5.62, N 3.15.  $C_{57}H_{50}N_2O_8$   
**გამოთვლილია %:** C 78.16, H 5.54, N 3.10. M 902.

### 2,3,3,7,8,8-ჰექსამეთილ-3,8-დიაზიდროინდოლო[7,6-გ]ინდოლი (8) [22]



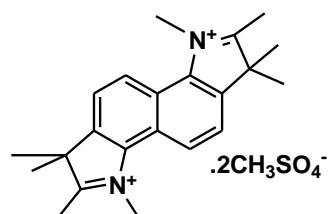
1გ (1.5 მმოლი) 1,5-ნაფთილენდიაზიდრაზინის დიაზიდროქლორიდსა (7) და 0.9 მლ (0.8 მმოლი) მეთილიზოპროპილ კეტონს აცხელებენ ყინულოვანი ძმარმჟავას არეში 2 სთ განმავლობაში. რეაქციის პროდუქტს ასუფთავებენ ქრომატოგრაფიულ სვეტზე, ელუენტი ჰეპტანი : ეთერი, 1 : 4. გამოსავლიანობა 0.3 გ (38%).  $T_{\text{ლ}} 267\text{-}268^{\circ}\text{C}$ , რაც ემთხვევა ლიტერატურულ მონაცემებს.

### 1,1,2,9,10,10-ჰექსამეთილ-1,10-დიაზიდროინდოლო[4,5-ე]ინდოლი (13) [22]



0.5 გ (2.7 მმოლი) 2,7-ნაფთილენდიაზიდრაზინის (12) ხსნარს ძმარმჟავაში უმატებენ 1 მლ (9 მმოლი) მეთილიზოპროპილ კეტონს და აცხელებენ 2სთ განმავლობაში. რეაქციის პროდუქტს ასუფთავებენ ქრომატოგრაფიულ სვეტზე, ელუენტი ეთერი. გამოსავლიანობა 0.3გ (38%).  $T_{\text{ლ}} 160\text{-}161^{\circ}\text{C}$ .  $R_f 0,25$  (ეთერი).

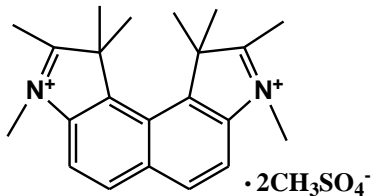
### 1,2,3,3,6,7,8,8-ოქტამეთილინდოლენინო[7,6-გ]ინდოლენიუმის დიმეთოსულფატი (9) [22]



1გ (3.4 მმოლი) ჰექსამეთილდიაზიდროინდოლოინდოლს 8 აცხელებენ 6 მლ ახლადგამოხდილ დიმეთოლსულფატში  $125^{\circ}\text{C}$ -ზე 1 სთ. გაცივების შემდეგ სარეაქციო არეს ამუშავებენ აბსოლუტური ეთერით, გამოყოფილ ფისოვან ნივთიერებას აცილებენ ეთერს, ისევ რეცხვენ ეთერით დიმეთილსულფატის მოცილების მიზ-

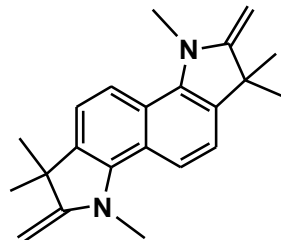
ნით. მიღებული მარილი **9** კარგად იხსნება სპირტსა და წყალში. მას იყენებენ ფიშერის ფუძის ბის-ანალოგის მისაღებად.

**1,1,2,3,8,9,10,10-ოქტამეთილინდოლენინო[4,5-ე]ინდოლენიუმის დიმეთოსულფატი  
(14) [22]**



0.9 გ ჰექსამეთილდიპიდროინდოლო[4,5-ე]ინდოლს (13) აცხელებენ 12 მლ ახლადგამოხდილ დიმეთილისულფატში  $100-110^{\circ}\text{C}$ -ზე 1 სთ-ის განმავლობაში. ამუშავებენ ნაერთი **9**-ის ანალოგიურად. მიღებული მარილს **14** იყენებენ ფიშერის ფუძის ბის-ანალოგის მისაღებად.

**1,3,3,6,8,8-ჰექსამეთილ-2,7-დიმეთილენ-ინდოლინო[7,6-გ]ინდოლინი (10)**



0,99გ (3.11 მმოლი) 1,2,3,3,6,7,8,8-ოქტამეთილინდოლენინო[7,6-გ]ინდოლენიუმის მარილს (**9**) ხენიან მინიმალურ რაოდენობა ეთილის სპირტში და უმატებენ KOH 5%-იან თბილ წყასსნარს. გამოყოფილ ნალექს ფილტრავენ, რეცხავენ წყლით ნეიტრალურ არემდე, აშრობენ. მიიღება ნაცრისფერი ფენილი. გამოსავლიანობა 0.94გ (95%).  $T_{\text{ლლ}}$   $170^{\circ}-172^{\circ}\text{C}$ .  $R_f$  0.38 (ეთილის სპირტი-ამიაკი, 10:1).

იშ სპექტრი (ვაზელინის ზეთი): 1643სმ<sup>-1</sup> (>C=CH<sub>2</sub>).

უი სპექტრი,  $\lambda_{\text{max}}$ , ნმ, (lgε) (ეთანოლი): 383(2.899), 368(3.194), 348(2.341), 229(3.261), 201(3.893).

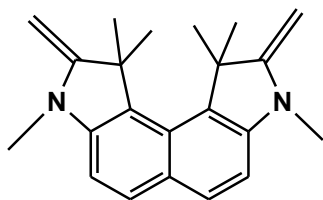
**<sup>1</sup>H-NMR** სპექტრი (DMSO-d<sub>6</sub>), δ(მნ), J, ჸ��: 1.31(12H, s, (C(CH<sub>3</sub>)<sub>2</sub>), 3.60 (6H, s, (N-CH<sub>3</sub>), 4.02(4H, s, >C=CH<sub>2</sub>), 7,78 (2H, d, Ar-H), 7,24 (2H, d, (Ar-H), J<sub>0</sub>=8,4.

**<sup>13</sup>C-გმრ** სპექტრი (D<sub>6</sub>-დმსო), δ(მნ): 30.01 ((CH<sub>3</sub>)<sub>2</sub>) 78.54 (=CH<sub>2</sub>), 35.60 (N-CH<sub>3</sub>), 164.53 (C-2'), 43.53 (C-3), 130.86 (C-3a'), 141.71 (C-10b), 120.23 (C-10a), 121.27 (C-5a), 113.81 (C-5), 118.60 (C-4).

მას-სპექტრი (70 გვ), m/z (I<sub>ფარდ</sub>, %): ნაპოვნია: M<sup>+</sup> 318 (100), 303 (98,4), 289 (84,8), 273 (40), 144 (24), C<sub>22</sub>H<sub>26</sub>N<sub>2</sub>.

გამოთვლილია: M =318.

1,1,3,8,10,10-ჰექსამეთილ-2,9-დიმეთილენ-ინდოლინო[4,5-ე]ინდოლინი (15)



ღებულობენ 1გ (3.12 მმოლი) 1,1,2,9,10,10-ჰექსამეთილ-1,10-დიჰიდროინდოლო[4,5-ე]ინდოლის დიმეთილსულფატიდან (14) ნაერთის 10 ანალოგიურად. გამოსავლიანობა 0.6გ (60%). T<sub>ლლ</sub> 173°-175°C. R<sub>f</sub> 0.4 (ეთილის სპირტი-ამიაკი, 20:1). ღია ყავისფერი ფხვნილი.

იქ სპექტრი (ვაზელინის ზეთი): 1643, 1604 სტ<sup>-1</sup> (>C=CH<sub>2</sub>).

უი სპექტრი, (C=0.08მგ/მლ), λ<sub>max</sub> 68 (lgε) (ეთანოლი): 541 (0.171), 380 (1.017), 341.2 (4.20), 259 (3.396), 246 (3.418), 218 (3.306).

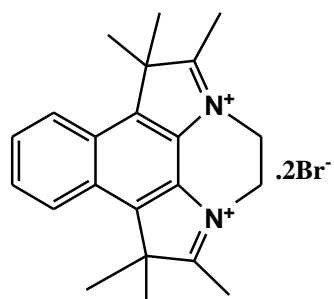
<sup>1</sup>H-NMR სპექტრი (DMSO-d<sub>6</sub>) δ(მგ), J, ჸ��: : 1.62 (12H, s, (C(CH<sub>3</sub>)<sub>2</sub>), 3.08(6H, s, (N-CH<sub>3</sub>), 3.79(4H, s, >C=CH<sub>2</sub>), 7,68 (2H, d, (Ar-H), 6.94 (2H, d, (Ar-H), J<sub>0</sub>=8,6.

<sup>13</sup>C-გმრ სპექტრი (D<sub>6</sub>-დმსო), δ(მგ): 30.21 ((CH<sub>3</sub>)<sub>2</sub>) 72.35 (=CH<sub>2</sub>), 28.93 (N-CH<sub>3</sub>), 47.04 (C-1'), 165.98 (C-2'), 146.79 (C-3a'), 122.00 (C-10c), 129.66 (C-10b), 126.83 (C-5a), 133.14 (C-5), 105.74 (C-4).

მას-სპექტრი (70 ეგ), m/z (I<sub>გარდ</sub>, %). ნაპოვნია: M<sup>+</sup> 318(44), 303(100), 288(40), 208(16), 144(24), 97(8), 71(13.6), 57(21.6). C<sub>22</sub>H<sub>26</sub>N<sub>2</sub>.

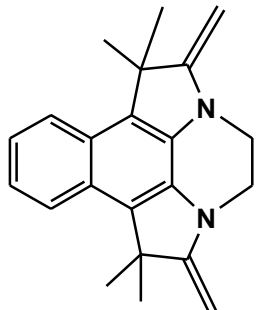
გამოთვლილია: M =318.

1,4,5,8-ტეტრაჰიდრო-1,1,2,7,8,8-ჰექსამეთილდიპიროლო-[1,2,3-დ,ე:3,2,1-ი,ჯ]ბენზო[გ]ქინოქსალინის დიბრომიდი (16)



0.3გ (0,1 მმოლი) 2,3,3,8,8,9-ჰექსამეთილ-3,8-დიჰიდრობენზო[ე]პიროლო[3,2-გ]ინდოლს (3) ხსნიან 5 მლ დიბრომეთანში, გადააქვთ ამპულაში. ამპულის თავს ალფობენ და ათავსებენ რკინის გარსაცმში ე.წ. ყუმბარაში. აცხელებენ 160°C-ზე 8 სთ-ის განმავლობაში. ამპულის გაცივების შემდეგ მასში წარმოქმნილ შავი ფერის ნალექს ფილტრავენ და რეცხავენ ჯერ დიეთილის ეთერითა და შემდეგ აცეტონით. მიიღება მუქი ყავისფერი ფხვნილი. რეაქციის პროდუქტის გამოსავლიანობა არის რაოდენობრივი.

**1,4,5,8-ტეტრაჰიდრო-1,1,8,8-ტეტრამეთილ-2,7-დიმეთილენდიპიროლო  
[1,2,3-d,e:3,2,1-i,j]ბენზო[g]ქინოქსალინი (17)**



0.35გ (1.2 მმოლი) ბენზოქინოქსალის დიბრომიდს **16** ხსნიან ცხელ წყალში ადუღებით და ფილტრავენ. ფილტრატს ამუშავებენ 5% KOH-ის თბილი ხსნარით. გამოიყოფა ნალექი, რომელსაც ფილტრავენ და რეცხავენ ნეიტრალურ რეაქციამდე. გამოსავლიანობა 0.144გ (38%).  $T_{\text{დაშ}} > 230^{\circ}$ .  $R_f$  0.6 (5 მლ ეთილის სპირტი - 1 წვეთი ამიაკი).

**უი სპექტრი,** ( $C=0.08\text{მგ/მლ}$ ),  $\lambda_{\text{max}}$  ნმ (lgε) (ეთანოლი): 287.00(3.583), 368.00 (1.516), 381.00(1.573)

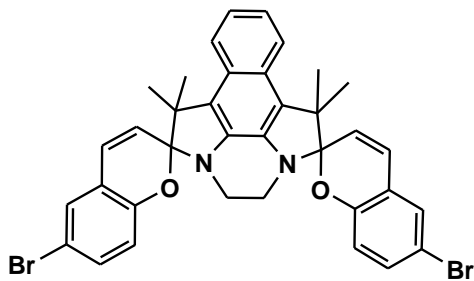
**$^1\text{H-NMR}$  სპექტრი** (DMSO-d<sub>6</sub>)  $\delta(\text{მგ})$ , J, ჸ: 1.58 (12H, s, (C(CH<sub>3</sub>)<sub>2</sub>), 3.64 (4H, s, (N-(CH<sub>2</sub>)<sub>2</sub>-N), 4.18 (2H, d, =CH<sub>2</sub>, ეგზოციკლ.), 4.10 (2H, d, =CH<sub>2</sub>, ეგზოციკლ.) 7.13 (2H, d, Ar-H), 7.80 (2H, d, Ar-H), J<sub>=CH2</sub>=1.9, J<sub>0</sub>=6.4, J<sub>m</sub>=3.5.

**$^{13}\text{C-გმრ}$  სპექტრი** (D<sub>6</sub>-დმსი),  $\delta(\text{მგ})$ : 28.88 ((CH<sub>3</sub>)<sub>2</sub>), 77.86 (=CH<sub>2</sub>), 49.27 (N-CH<sub>2</sub>-CH<sub>2</sub>-N), 67.19 (C<sub>1</sub>= C<sub>8</sub>), 166.53 (C<sub>2</sub>= C<sub>7</sub>), 116.22 (C<sub>1'</sub>= C<sub>8'</sub>), 130.30 (C<sub>3'</sub>= C<sub>6'</sub>), 126.86 (C<sub>9'</sub>= C<sub>12'</sub>), 121.85 (C<sub>9</sub>= C<sub>12</sub>), 122.74 (C<sub>10</sub>= C<sub>11</sub>).

**მას-სპექტრი** (70 ეგ), m/z (I<sub>ფარდ</sub>, %). ნაპოვნია: M<sup>+</sup> 316. C<sub>22</sub>H<sub>24</sub>N<sub>2</sub>.

გამოთვლილა: M=316.

**ბის(6-ბრომ-2H-ქრომენ-2-სპირო)-2',7'-1',4',5',8'-ტეტრაჰიდრო-1',1',8',8'-ტეტრამეთილდიპიროლო[1,2,3-d,e:3,2,1-i,j]ბენზო[g]ქინოქსალინი (18)**



0.06გ (0.19 მმოლი) 1,4,5,8-ტეტრაჰიდრო-1,1,8,8-ტეტრამეთილ-2,7-დიმეთილენდიპიროლო[1,2,3-d,e:3,2,1-i,j]ბენზო[g]ქინოქსალინს (17) ოდნავ შეთბობით ხსნიან 7 მლ აბსოლუტურ ეთილის სპირტში. უმატებენ 5 მლ სპირტში გახსნილ 0.08გ (0.11 მმოლი) 5-ბრომსალიცილის ალდეჰიდს. რეაქციას ატარებენ მუდმივი მორევის პირობებში 40°C-ზე დაახლოებით 1 სთ-ის განმავლობაში. წარმოიქმნება მომწვანო-შავი ფერის ხსნარი, რომლის გაცივებისა და დაყოვნების შემდეგ ილექტა პროდუქტი. ნალექს ფილტრავენ. მიიღება ქრომატოგრაფიულად სუფთა მუქი ლურჯი ფხვნილი. გამოსავლიანობა 0.03გ (23%).  $T_{\text{დაშ}} > 200^{\circ}\text{C}$ .  $R_f$  0.82(ეთანოლი).

იწ სპექტრი,  $\nu$  სმ<sup>-1</sup>: 1643(C=O პირანული), 1581 (C=C პირანული შეუდლებული), 1272 (N-C სპირო) 1157(C-O სპირო), 2962, 3070 (C-H არომატული).

უი სპექტრი,  $\lambda_{\max}$ , ნმ (lgε): ახალმომზადებული ხსნარები (C=0.08 მგ/მლ ქლოროფორმი): 237 (0.971), 252 (1.403), 364 (0.234), 624 (0.050)

დასხივებული ხსნარები (C=0.08 მგ/მლ ქლოროფორმი): 241(1.254), 266, 565(0.702)

განზავებული ხსნარები დასხივებამდე (C=0.008 მგ/მლ ქლოროფორმი): 237(0.971)

განზავებული ხსნარები დასხივების შემდეგ (C=0.008 მგ/მლ ქლოროფორმი): 241(1.254) 840(0.037)

ახალმომზადებული ხსნარები(C=0.08 მგ/მლ ბენზოლი): 279(0.1978), 313(1.464), 361(1.227), 629(0.180)

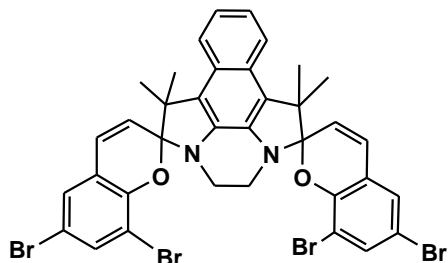
დასხივებული ხსნარები (C=0.08 მგ/მლ ბენზოლი): 279(0.263), 313(1.655), 357(1.286), 624(0.115).

**<sup>1</sup>H-NMR სპექტრი (DMSO-d<sub>6</sub>)** δ(მგ), J, ჸ(გ): 1.31(6H, s, C(CH<sub>3</sub>)<sub>2</sub>), 1.49 (6H, s, C(CH<sub>3</sub>)<sub>2</sub>), 2.98 (2H, d, N-CH<sub>2</sub>-CH<sub>2</sub>-N), 3.05 (2H, d, N-CH<sub>2</sub>-CH<sub>2</sub>-N), 5.90 (2H, d, 3-H), 7.70 (2H, d, 4-H), 8.01 (2H, d, 5-H), 7.52(2H, dd, 7-H), 7.65 (2H, d, 8-H), 7.75(2H, dd, 9'-H), 7.11 (2H, dd, 10'-H), J<sub>3,4</sub>=J<sub>4,3</sub>=10.4, J<sub>5,7</sub>=1.6, J<sub>7,5</sub>=2.0, J<sub>7,8</sub>=9.2, J<sub>CH<sub>2</sub>CH<sub>2</sub></sub>=7.4, J<sub>0</sub>=9.6 J<sub>m</sub>=3.2.

**მას-სპექტრი (70 გვ), m/z (I<sub>ფარდ</sub>, %)ნაპოვნია: 680.0674 [M<sup>+</sup>].**

გამოთვლილია%: M=680 C<sub>36</sub>H<sub>30</sub>N<sub>2</sub>Br<sub>2</sub>O<sub>2</sub>

ბის(6,8-დიბრომ-2H-ქრომენ-2-სპირო)-2',7'-1',4',5',8'-ტეტრაჰიდრო-1',1',8',8'-ტეტრამეთილდიპიროლო[1,2,3-d,e:3,2,1-i,j]ბენზო[g]ქინოქსალინი (19)



0.06გ (0.19 მმოლი) 1,4,5,8-ტეტრაჰიდრო-1,1,2,7,8,8-ჰექსამეთილდიპიროლო-[1,2,3-d,e:3,2,1-i,j]ბენზო[g]ქინოქსალინის (17) ოდნავ შეთბობით ხსნიან 5 მლ ეთილის სპირტში. მას უმატებენ 3 მლ სპირტში გახსნილ 0.08 გ(0.45 მმოლი) 3,5-ალდეკიდს. რეაქციას ატარებენ მუდმივი მორევის პირობებში 45°C -ზე დაახლოებით 40 წთ-ის განმავლობაში. წარმოიქმნება მუქი მწვანე ფერის ხსნარი, რომლის გაცივებისა და დაყოვნების შემდეგ გამოიყოფა ნალექი. ნალექს ფილტრავენ. მიიღება მწვანე ფერის ფხვილი. გამოსავლიანობა 0.09გ (56%).  $T_{\text{ლდ}}$  238-240°C.  $R_f$  0.39 (ეთილაცეტატი)

იწ სპექტრი,  $\nu$  სმ<sup>-1</sup>: 1643 (C=O პირანული), 1535(C=C პირანული შეუდლებული), 1265 (N-C სპირო), 1157(C-O სპირო), 2962, 3062(C-H არომატული).

უი სპექტრი,  $\lambda_{\max}$  ნმ (lgε): ახალმომზადებული ხსნარები (C=0.08 მგ/მლ ქლოროფორმი): 246(3.731), 273(0.420), 319(1.081), 359(0.759)

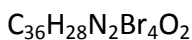
დასხივებული ხსნარები (C=0.08 მგ/მლ ქლოროფორმი): 210(1.346), 244(3.482), 467(0.156)

ახალმომზადებული ხსნარები(C=0.08 მგ/მლ ბენზოლი): 277(1.978), 322(0.976), 358(0.678)

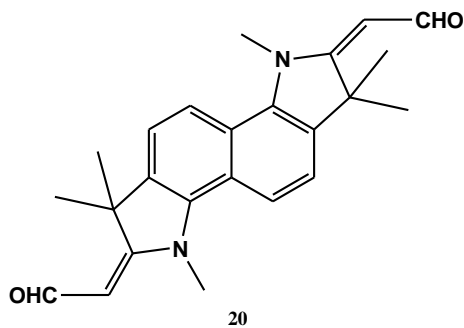
დასხივებული ხსნარები ( $C=0,08$  მგ/მლ ბენზოლი): 278(2.496), 322(1.328), 358(0.916).

**$^1H$ -NMR** სპექტრი (DMSO-d<sub>6</sub>)  $\delta$ (ppm), J, Hz: 1.36(6H, s, C(CH<sub>3</sub>)<sub>2</sub>), 1.55 (6H, s, C(CH<sub>3</sub>)<sub>2</sub>), 3.05(2H, d, N-CH<sub>2</sub>-CH<sub>2</sub>-N), 3.20 (2H, d, N-CH<sub>2</sub>-CH<sub>2</sub>-N), 6.06 (2H, d, 3-H), 7.05 (2H, d, 4-H), 7.61 (2H, s, 5-H), 7.52(2H, s, 7-H), 7.82-7.85 (m, 9'-H), 7.20-7.22 (m, 10'-H),  $J_{3,4}=J_{4,3}=10.2$ ,  $J_{CH_2CH_2}=7.2$ .

მას-სპექტრი (70 გვ), m/z (I<sub>გარდ</sub>, %): ნაპოვნია: 840.2357, გამოთვლილია%: M= 840 .



**2,7-დი(ფორმილმეთილიდენ)-1,3,6,8,8-ჰექსამეთილ-ინდოლინო[7,6-g]ინდოლინი (20)**



0.3 მლ (3.45 მმოლი)  $POCl_3$ -ისა და 1 მლ დიმეთილფორმამიდისაგან ამზადებენ ვილსმაიერის კომპლექსს. აცივებენ -30°C-ზე და უმატებენ 0.22გ (0.69 მმოლი) ფიშერის ფუძის **10** ხსნარს 8 მლ დიმეთილფორმამიდში. ურევენ 3 სთ განმავლობაში. სარეაქციო მასას ასხამენ 20 მლ ცივ წყალში. მიღებულ სუსპენზიას უმატებენ NaOH-ის ხსნარს (5გ NaOH, 20 მლ H<sub>2</sub>O). აყოვნებენ 12 სთ. მიიღება ყავისფერი ფხვნილი. გამოსავლიანობა 0,12 გ (46%).  $T_d\Delta >300^\circ C$ .  $R_f$  0.3 (ეთანოლი).

იქ სპექტრი, v, სმ<sup>-1</sup> (ვაზელინის ზეთი): 1604, 1558, 1519, 1218, 1180, 1069, 910, 825, 786, 725, 601, 563.

უი სპექტრი, ( $C=0.08$  მგ/მლ),  $\lambda_{max}$  ნმ (lg $\epsilon$ ) (ეთანოლი): 197.00(0.348), 213.00(0.403), 255.00(0.400), 396.00(0.308)

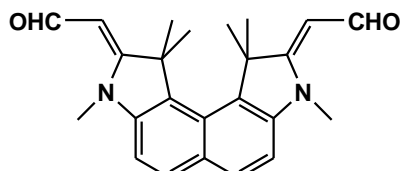
**$^1H$ -NMR** სპექტრი (DMSO-d<sub>6</sub>)  $\delta$ (ppm), J, Hz: 5.50 (2H, d, =CH- ეგზოციკლ.), 1.65 (12 H, s, C(CH<sub>3</sub>)<sub>2</sub>), 3.75 (6H, s, N-CH<sub>3</sub>), 8.437-7.493 (m, Ar-H), 10.00 (2H, d, -CHO),  $J_{CH-CHO}=8.8$

**$^{13}C$ -გმრ სპექტრი** (D<sub>6</sub>-დმსო),  $\delta$ (ppm): 202.76 (CHO), 29.80 (CH<sub>3</sub>)<sub>2</sub>, 79.51(=CH-ეგზოკ.), 68.14 (N-CH<sub>3</sub>), 211.09 (C-2), 74.31 (C-3), 170.13 (C-3a), 177.07 (C-10b), 155.18 (C-10a), 157.04 (C-5<sup>a</sup>), 99.43(C-5), 126.03 (C-4).

მას-სპექტრი (70 გვ), m/z (I<sub>გარდ</sub>, %): ნაპოვნია: M<sup>+</sup> 374. 1999 (72.5), გამოთვლილია%:



**2,7-დი(ფორმილმეთილიდენ)-1,1,3,6,8,8-ჰექსამეთილ-ინდოლინო[4,5-e]ინდოლინი (21)**



30°C-მდე გაცივებულ დიმეთილფორმამიდს წვეთ-წვეთობით უმატებენ 0.2 მლ(2.3 მმოლი) ფოსფორის ქლორუანგს (POCl<sub>3</sub>). ურევენ 40 წთ განმავლობაში ოთახის

ტემპერატურაზე. მიღებულ ხსნარს აცივებენ  $-3^{\circ}\text{C}$ -ზე და უმატებენ 40 მგ (0.125 მმოლი) ფიშერის ფუძის **15** ხსნარს 5 მლ დიმეთილფორმამიდში. ურევენ  $60^{\circ}\text{-ზე}$  2-სთ განმავლობაში. სარეაქციო მასას ასხამენ 20 მლ ცივ წყალში. მიღებულ სუსპენზიას უმატებენ NaOH-ის ხსნარს (5გ NaOH, 20 მლ  $\text{H}_2\text{O}$ ). აყოვნებენ 12 სთ. გამოყოფილ ნალექს ფილტრავენ, რეცხავენ წყლით ნეიტრალურ რეაქციამდე და აშრობენ. გამოსავლიანობა 0,03გ (64%).  $T_{\text{დაშ}} >300^{\circ}\text{C}$ .  $R_f$  0.35 (ეთანოლი). მჟღავნდება იოდში.

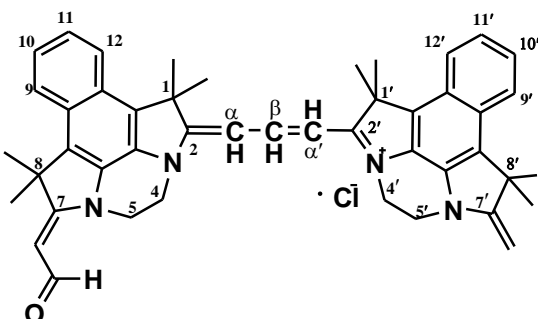
**იშ სპექტრი**, ν, სმ<sup>-1</sup> (ვაზელინის ზეთი); 1619, 1565, 1272, 1095, 1041, 918, 810, 725, 563.

**$^1\text{H-NMR}$  სპექტრი** (DMSO-d<sub>6</sub>) δ(მგ), J, ჰ��: 5.25 (2H, d, =CH- ეგზოციკ.), 1.95 (12H, s, C(CH<sub>3</sub>)<sub>2</sub>), 3.36 (6H, s, N-CH<sub>3</sub>), 8.00 (2H, d, Ar-H), 7.43(2H, d, Ar-H), 9.90 (2H, d, -CHO), J<sub>4,5</sub>=8.8; J<sub>=CH-CHO</sub>=8.4.

**მას-სპექტრი** (70 ევ), m/z (I<sub>ფარდ</sub>, %): ნაპოვნია: M<sup>+</sup> 374. 1994 (100),

გამოთვლილია: M= 374. C<sub>24</sub>H<sub>26</sub>N<sub>2</sub>O<sub>2</sub>

### ტრიმეთინური ციანინი (23)



0.5 მლ (4.5 მმოლი) დიმეთილფორმამიდს აცივებენ  $-5^{\circ}\text{C}$ -მდე, უმატებენ 0.15 მლ (1.5 მმოლი) POCl<sub>3</sub>, ურევენ ოთახის ტემპერატურაზე 40წთ-ის განმავლობაში. წარმოიქმნება ყვითელი ფერის კომპლექსი. ისევ აცივებენ  $-5^{\circ}\text{C}$ -მდე, წვეთწვეთობით უმატებენ 0.1გ (0.28 მმოლი) ფიშერის ფუძის ხსნარს 4მლ დიმეთილფორმამიდში და ურევენ. ხსნარის მთლიანად დამატების შემდეგ აცხელებენ  $40^{\circ}\text{C}$ -ზე 30წთ. ქრომატოგრაფიული კონტროლის შედეგად სარეაქციო არეში შეინიშნება საწყისი ფიშერის ფუძის არსებობა. შემდეგ ისევ აცხელებენ  $60^{\circ}\text{C}$ -მდე 2 სთ-ის განმავლობაში. ხსნარი დასაწყისში იყო მოყვითალო-წითელი,  $60^{\circ}\text{C}$ -ზე გახდა ლურჯი ფერის. სარეაქციო მასა გადააქვთ ყინულიან წყალში, უმატებენ 10%-იან NaOH-ის ხსნარს (pH 14-მდე), გამოიყფა ლურჯი ფერის ნალექი. აყოვნებენ ერთი დამით, ფილტრავენ, რეცხავენ ნეიტრალურ რეაქციამდე, აშრობენ. მიიღება ინტენსიური ლურჯი შეფერილობის კრისტალები. გამოსავლიანობა 0.081გ (42%).  $T_{\text{დაშ}} >300^{\circ}\text{C}$ -ზე.  $R_f$  0.56 (ეთანოლი-ამიაკი, 10:1).

**იშ სპექტრი** (ვაზელინის ზეთი), ν(სმ<sup>-1</sup>): 1623 (CHO), 1532, 1565, (>C=C<).

**უი სპექტრი** (ეთანოლი) λ, ნმ (lgε): 267 (0.92); 315 (0.7); 378( 0.72); 539.5 (0.21); 613 (0.27).

**$^1\text{H-NMR}$  სპექტრი** (DMSO-d<sub>6</sub>) δ(მგ), J, ჰ��: 4.04 (2H, br s, =CH<sub>2</sub>), 10.04 (1H, d, CHO), 5.47 (1H, d, =CH- მეთილიდენის), 6.35 (1H, d, β- H), 5.73 (1H, d, α-H), 5.46 (1H, d, α'-H), 1.93 (12H, s, C-1-თან, C-8თან), 1.58 (6H, s, C-8'), 1.65 (3H, s, C-1'). 7.98-8.00 (2H, 9-H,12-H) , 7.24-7.27 (2H, 10-H,11-H), 8.07-8.09 (2H , 9'-H,12'-H), 7.36-7.39 (2H, 10'-H,11'-H); J<sub>=CH-CHO</sub>=8.8, J<sub>CH<sub>2</sub>CH<sub>2</sub></sub>=1.6, J<sub>βα</sub>=14.4, J<sub>αβ</sub>=11.2, J<sub>α'β</sub>=13.2

**2,7-დი(ფორმილმეთილიდენ)-1,4,5,8-ტეტრაჰიდრო-1,1,8,8-ტეტრამეთილ-დიპიროლო-  
[1,2,3,-d,e:3,2,1-i,j]ბენზო[g]ქინოქსალინი (22)**

5 მლ (45 მმოლი) დიმეთილფორმამიდს აცივებენ -5°C-მდე, უმატებენ 1.3 მლ (1.5 მმოლი)  $\text{POCl}_3$ , ურევენ ოთახის ტემპერატურაზე 40°C-ის განმავლობაში. წარმოიქმნება ყვითელი ფერის კომპლექსი. ისევ აცივებენ -5°C-მდე და წვეთწვეთობით უმატებენ 0.1გ(0.28 მმოლი) ფიშერის ფუძის ხსნარს 4მლ დიმეთილფორმამიდში და ურევენ. ხსნარის მთლიანად დამატების შემდეგ აცხელებენ 35-36°C-მდე. 2 საათის შემდეგ სარეაქციო არეში საწყისი ფიშერის ფუძე 17 აღარ რჩება.

სარეაქციო ხსნარი არის მოყვითალო-წითელი ფერის. სარეაქციო მასა გადააქვთ გამაცივებელ ნარევში, უმატებენ 10%-იან  $\text{NaOH}$ -ის ხსნარს (pH 14-მდე), გამოიყო ყავისფერი ნალექი. აყოვნებენ ერთი დამით, ფილტრავენ, რეცხავენ ნეიტრალურ რეაქციამდე და აშრობენ. აკრისტალებენ აბს. სპირტში, მიიღება ყავისფერი კრისტალები. გამოსავლიანობა 0.07გ (67%).  $T_{\text{დაშ}} > 300^{\circ}\text{C}$ ,  $R_f = 0.6$  (სპირტი-ამიაკი, 10:1),

იქ სპექტრი (ვაზელინის ზეთი)  $\nu(\text{cm}^{-1})$ : 1628(-CHO); 1581, 1535 (c=c)

უი სპექტრი (ჟთანოლი),  $\lambda\text{მ}(\text{lg}\epsilon)$ : 265 (1.29); 327,29(1.84); 368,27(2.05).

**$^1\text{H-NMR}$  სპექტრი (DMSO-d<sub>6</sub>)**  $\delta(\text{მგ})$ ,  $J$ , ჰ��: (E-იზომერისათვის) 5.45 (2H, d, =CH- ეგზო-ციკლ), 1.92 (12H, s, C(CH<sub>3</sub>)<sub>2</sub>), 4.03 (4H, s, N-CH<sub>2</sub>), 8.07 (2H, dd, 9-H), 8.37 (2H, dd, 10-H), 10.02 (2H, d, -CHO),  $J_{9,10}=6.8$ ;  $J_{9,11}=3.6$ ,  $J_{\text{CH-CHO}}=8.8$ .

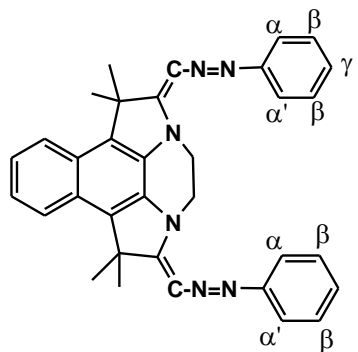
(Z-იზომერისათვის): 5.44 (2H, d, =CH- ეგზო-ციკლ.), 1.64 (12H, s, C(CH<sub>3</sub>)<sub>2</sub>), 4.03 (4H, s, N-CH<sub>2</sub>), 8.07 (2H, dd, 9-H), 8.37 (2H, dd, 10-H), 9.79 (2H, d, -CHO),  $J_{\text{CH-CHO}}=7.2$ ;  $J_{9,10}=6.8$ ;  $J_{9,11}=3.6$

**$^{13}\text{C-DMR}$  სპექტრი** (D<sub>6</sub>-დმსო),  $\delta(\text{მგ})$ : 147.03 (CHO), 27.93 (CH<sub>3</sub>)<sub>2</sub>, 99.87 (=CH- ეგზო-ციკლ.), 53.49 (N-(CH<sub>2</sub>)<sub>2</sub>-N), 52.93 (C-1 = C-8), 123.87 (C-12b=C-8a), 185.07(C-2 = C-7), 126.86 (C-3a=C-6a), 125.59 (C-8b=C-12a), 123.68 (C-10=C-11), 123.14 (C-9=C-12).

**მას-სპექტრი** (70 ევ),  $m/z$  (ლიარდ, %) ნაპოვნია: M<sup>+</sup> 372. 1838 (100),

გამოთვლილია%: M=372 . C<sub>24</sub>H<sub>24</sub>N<sub>2</sub>O<sub>2</sub>

**2,7-ბის(ფენილაზომეთილიდენ)-1,4,5,8-ტეტრაჰექიდრო-1,1,8,8-ტეტრამეთილ-დიპიროლო[1,2,3-d,e; 3,2,1-i,j]ბენზო[g]ქინოქსალინი (24)**



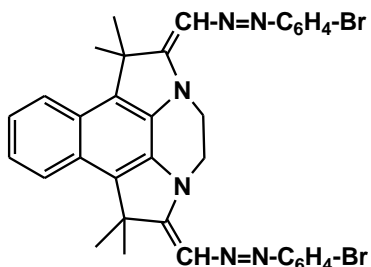
0.12გ (0.4 მმოლი) 1,4,5,8-ტეტრაჰექიდრო-1,1,2,7,8,8-ფენილაზომეთილ-2,7-დიმეთილენდიპიროლო[1,2,3-d,e; 3,2,1-i,j]ბენზო[g]ქინოქსალინის (17) ხსნიან 10 მლ დიოქსანში და უმატებენ 5 მლ წყალს. აცივებენ -5°C, უმატებენ დიაზოტირებული ანილინის (0.18 გ + 0.16გ NaNO<sub>2</sub>) დია ყვითელი ფერის ხსნარს. ურვევენ 2 სთ გაცივების პირობებში. შემდეგ სარეაქციო ნარევს უმატებენ NaOH-ის ხსნარს (ტუტე რეაქციამდე). გამოყოფილ ნალექს აყოვნებენ 1 ღამის განმავლობაში, მეორე დღეს ფილტრავენ, რეცხავენ წყლით ნეიტრალურ რეაქციამდე, აშრობენ. მიიღება დია წითელი ფერის ფხვნილი. გამოსავლიანობა 0.12გ. (63%), T<sub>დღ</sub> 195<sup>0</sup>-197°C.

**იქ სპექტრი** (ვაზელინის ზეთი) vსმ<sup>-1</sup>: 1681,7 (=CH მეთილიდენის), 1589 (-N=N-)

**უი სპექტრი** (ეთილის სპირტი) **λ**, ნმ (lgε): 203.00(0.7869), 249.00(0.5691), 464.00 (0.2156)

**<sup>1</sup>H-NMR სპექტრი** (D<sub>6</sub>-დმსო), δ(მნ): J, პ(გ): 1.48(6H, s, (C(CH<sub>3</sub>)<sub>2</sub>), 1.53 (6H, s, (C(CH<sub>3</sub>)<sub>2</sub>), 3.39(4H, s, N-CH<sub>2</sub>-CH<sub>2</sub>-N), 7.76 (2H, br s, =CH-N). 7.65 (2H, dd 9-H); 7.37(2H, dd, 10). 7.44-7.48; 7.69-7.71; 7.88-8.07(Ph). 7.479(2H, d, (α-H)), 7.459(2H, t, (β-H)).7.357(2H, t (γ-H)), J<sub>αβ</sub>=7.6 პ(გ), J<sub>9,10</sub>=7.2, J<sub>9,11</sub>=1.2, J<sub>10,12</sub>=1.6.

**2,7-ბის(პ-ბრომფენილაზომეთილიდენ)-1,4,5,8-ტეტრაჰექიდრო-1,1,8,8-ტეტრამეთილ-დიპიროლო[1,2,3-d,e; 3,2,1-i,j] ბენზო[g]ქინოქსალინი (25)**



0.12გ (0.4 მმოლი) 1,4,5,8-ტეტრაჰექიდრო-1,1,8,8-ტეტრამეთილ-2,7-დიმეთილენდიპიროლო[1,2,3-d,e; 3,2,1-i,j]ბენზო[g]ქინოქსალინის (17) ხსნიან 10 მლ დიოქსანში და უმატებენ 5 მლ წყალს. აცივებენ -5°C და უმატებენ პ-ბრომანილინის დიაზომარილის ხსნარს (0,27გ(1.6 მმოლი) პარაბრომანილინი + 0.11გ NaNO<sub>2</sub>). გაცივების პირობებში ურვევენ 2 სთ. შემდეგ სარეაქციო ნარევს ამუშავებენ NaOH-ის ხსნარით (pH 12) გამოყოფილ ნალექს აყოვნებენ 1 ღამის განმავლობაში. მეორე დღეს

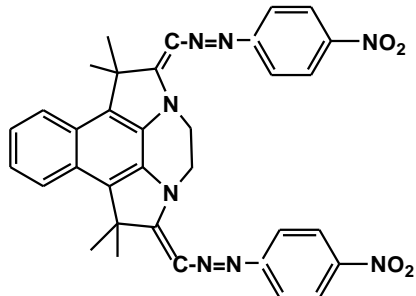
ფილტრავენ, რეცხავენ წყლით ნეიტრალურ რეაქციამდე. მიიღება ყავისფერი ფენოლი. გამოსავლიანობა 0.06 გ. (25%)  $T_{\text{დაჭ}} > 200^{\circ}\text{C}$ .

იშ სპექტრი (ვაზელინის ზეთი),  $\nu, \text{cm}^{-1}$ : 1729 (=CH-მეთილიდენის), 1650, 1581 (-N=N-)

უი სპექტრი (ეთილის სპირტი)  $\lambda, \text{nm}$  (lgε): 205.00(0.271), 267.00 (0.266), 463.00 (0.225)

$^1\text{H-NMR}$  სპექტრი ( $\text{D}_6$ -დმსო),  $\delta(\text{ppm})$ : J,  $\beta\beta$ : 1.48 (6H, s,  $\text{C}(\text{CH}_3)_2$ ), 1.51 (6H, s,  $\text{C}(\text{CH}_3)_2$ ), 3.61 (4H, br. s N- $\text{CH}_2\text{-CH}_2\text{-N}$ ) 7.66 (2H, s, =CH-N), 7.23-7.86 (Ar-H)

**2,7-ბის(პ-ნიტროფენილაზომეთილიდენ)-1,4,5,8-ტეტრაჰიდრო-1,1,8,8-ტეტრამეთილ-დიპიროლო[1,2,3,-d,e:3,2,1-i,j] ბენზო[g]ქინოქსალინი (26)**



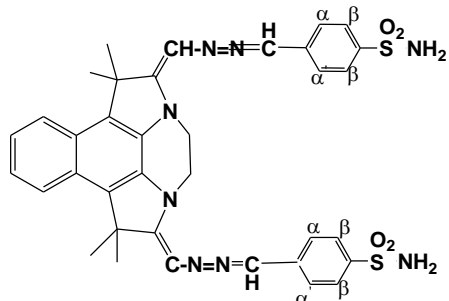
0.12გ (0.4 მმოლი) 1,4,5,8-ტეტრაჰიდრო-1,1,8,8-ტეტრამეთილ-2,7-დიმეთილენდიპიროლო[1,2,3,-e,3,2,1-ij]ბენზო[7,6-g]ქინოქსალინის (17) ხსნიან 10 მლ დიოქსანში და უმატებენ 5 მლ წყალს. აცივებენ -5°C და უმატებენ პ-ნიტროანილინის დიაზომარილის ხსნარს (0.8გ (1.5მმოლი) პარანიტროანილინის ჰიდროქლორიდს + 0.11გ  $\text{NaNO}_2$ ). გაცივების პირობებში ურევენ 2 სთ. შემდეგ სარეაქციო ნარევს უმატებენ  $\text{NaOH}$ -ის ხსნარს (pH=12). გამოიყოფა მეტამული ნალექი. გამოსავლიანობა 0.13 გ (52%).  $T_{\text{დაჭ}} 185^0 - 187^{\circ}\text{C}$ .

იშ სპექტრი (ვაზელინის ზეთი)  $\nu, \text{cm}^{-1}$ : 1596 (=CH-მეთილიდენის), 1565, 1334(- $\text{NO}_2$ ), 864 (C-N-)

უი სპექტრი (ეთილის სპირტი)  $\lambda, \text{nm}$  (lgε): 207.00 (0204), 395.00 (0.160), 519.00 (0.163)

$^1\text{H-NMR}$  სპექტრი ( $\text{D}_6$ -დმსო),  $\delta(\text{ppm})$ : 1.81 (6H, s,  $\text{C}(\text{CH}_3)_2$ ), 2.07 (6H, s,  $\text{C}(\text{CH}_3)_2$ ), 4.38 (4H, გაფ. s, N- $\text{CH}_2\text{-CH}_2\text{-N}$ ), 7.45 (2H, br. s, =CH-N). 8.32 (2H, d, 9-H) 7.74(2H, d, 10-H) 7.65(2H, d, ( $\alpha$ -H)), 8.22(2H, d, ( $\beta$ -H)).  $J_{9,10}=8.4$ ,  $J_{9-11}=3.2$   $\beta\beta$ ,  $J_{\alpha\beta}=8.4$   $\beta\beta$

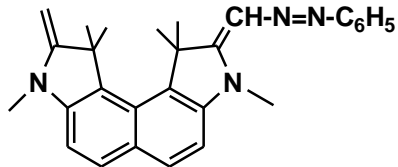
**2,7-ბის(პ-სულფამიდფენილაზომეთილიდენ)-1,4,5,8-ტეტრაჰიდრო-1,1,8,8-ტეტრამეთილ-დიპიროლო[1,2,3,-d,e:3,2,1-i,j] ბენზო[g]ქინოქსალინი (27)**



0.19გ (0.6 მმოლი) 1,4,5,8-ტეტრაჰიდრო-1,1,8,8-ტეტრამეთილ-2,7-დიმეთილენ-დიპიროლო[1,2,3-d,e:3,2,1-i,j]ბენზო[7,6-g]ქინოქსალინის (17) ხსნიან 10 მლ დიოქსანში და უმატებენ 5 მლ წყალს. აცივებენ -5°C და უმატებენ პ-სულფამიდანილინის

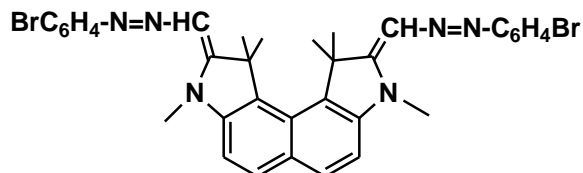
დიაზომარილის ხსნარს (0.4გ პ-სულფამიდანილინს + 0.17 გ NaNO<sub>2</sub>) შეთბობით. შემდეგ აცივებენ 0°C-მდე. ურევენ 2 სთ. ანეიტრალუბენ NaOH-ის ხსნარით (pH=7-8). გამოიყოფა მეტამული ნალექი. გამოსავლიანობა 0.08 გ (33%). T<sub>დაშ.</sub> 210-211°C.  
**<sup>1</sup>H-NMR სპექტრი:** 1.59 (12H, s, C(CH<sub>3</sub>)<sub>2</sub>), 1.99 (2H, s; N-CH<sub>2</sub>-CH<sub>2</sub>-N) 3.56 (2H,s; N-CH<sub>2</sub>-CH<sub>2</sub>-N), 1.69( 4H, br. s , SO<sub>2</sub>-NH<sub>2</sub>), 7.43( 2H, br. s . =CH-N=N), 7.48-7.91(9-H, 10-H), 7.93( 2H, d, (α-H), 7.38(2H, d,(β-H)). J<sub>αβ</sub>=6.8.

### 2-(ფენილაზომეთილიდენ)-1,1,3,8,10,10-ჰექსამეთილ- 9-მეთილენ-ინდოლინო[4,5-ე]ინდოლინი (28)



**0.12გ** 1,1,3,8,10,10-ჰექსამეთილ-2,9-დიმეთილენინდოლინო[4,5-ე]ინდოლინის (15) ხსნიან 10 მლ დიოქსანში და უმატებენ 5 მლ წყალს. -5°C ამატებენ პნიტროანილინის დიაზომარილის ხსნარს (0.8გ (1.5მმოლი) პარანიტროანილინის პიდროქლორიდს + 0.11გ NaNO<sub>2</sub> + 0.7გ HCl). გაცივების პირობებში ურევენ 2 სთ. შემდეგ სარეაქციო ნარევს უმატებენ NaOH-ის ხსნარს. გამოიყოფა მუქი ყავისფერი ნალექი. გამოსავლიანობა 0.09 გ (64%). T<sub>დაშ.</sub>> 200°C.  
**იშვიათი სპექტრი** (ვაზელინის ზეთი) v<sub>სმ-1</sub>: 1797(=CH)  
**უი სპექტრი** (ეთილის სპირტი) **λ, ნმ (lgε):** 205.00 (0.340), 289.00(0.221), 453.00(0.180)  
**<sup>1</sup>H-NMR სპექტრი:** 1.57(3H,s, C(CH<sub>3</sub>)<sub>2</sub>, C-1-თან), 1.65 (3H, s, C(CH<sub>3</sub>)<sub>2</sub>, (C-1-თან),), 2.00(6H, s, C(CH<sub>3</sub>)<sub>2</sub> (C-10-თან)), 3.04(3H, s, (N-8-თან), N-CH<sub>3</sub> ), 3.095(3H, s, (N-3-თან), N-CH<sub>3</sub> ), 3.41 (2H, s, =CH<sub>2</sub>), 7.30(1H,br. s, =CH-N=N), 7.40-7.45(ph), 7.43-7.52(ph), 7.62 (1H, d,5-H), 7.44(1H, d, 4-H), J<sub>4,5</sub>=7.2 ჸ(3), 7.83 (1H,d, 6-H), 7.80(1H, d, 7-H) J<sub>6,7</sub>=8.

### 2,9-ბის-(3-ბრომფენილაზომეთილიდენ)-1,1,3,8,10,10-ჰექსამეთილინდოლინო[4,5-ე]ინდოლინი (29)

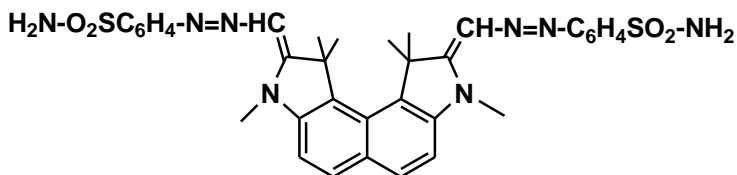


**0.12გ** 1,1,3,8,10,10-ჰექსამეთილ-2,9-დიმეთილენინდოლინო[4,5-ე]ინდოლინის (15) ხსნიან 10 მლ დიოქსანში და უმატებენ 5 მლ წყალს. -5°C ამატებენ პნიტრომანილინის დიაზოტირებულ ხსნარს (0.27გ (1.6 მმოლი) პარა-ბრომმანილინის (NH<sub>2</sub>-C<sub>6</sub>H<sub>4</sub>-Br) + 0.11გ NaNO<sub>2</sub> + 0.7გ HCl). გაცივების პირობებში ურევენ 2 სთ. შემდეგ სარეაქციო ნარევს უმატებენ NaOH-ის ხსნარს. გამოიყოფა მუქი ყავისფერი ნალექი. გამოსავლიანობა 0.05 გ (20%). T<sub>დაშ.</sub>> 200°C.  
**იშვიათი სპექტრი** (ვაზელინის ზეთი) v<sub>სმ-1</sub>: 1797(=CH), 1596(=CH-N=)შეუღლებული.

უი სპექტრი (ეთოლის სპირტი) **λ**, ნმ (lgε): 221.00(0.248), 258.00 (0.232), 301.00 (0.233), 464.00(0.119)

**<sup>1</sup>H-NMR სპექტრი:** 1.68(6H, s, C(CH<sub>3</sub>)<sub>2</sub> ), 2.01 (6H, s, C(CH<sub>3</sub>)<sub>2</sub>), 3.46 (6H, s, N-CH<sub>3</sub>), 7.37(2H, s, =CH-N), 7.14(2H,d,4-H), 7.29(2H, d, 5-H), J<sub>4,5</sub>=8.8 ჸვ, 7.46 (2H,d,(β-H), 7.61 (2H, d,(α-H)), J<sub>αβ</sub>=8.8.

### 2,9-ბი(3-სულფამიდფენილაზომეთილიდენ)1,1,3,8,10,10-ჰექსამეთილინდოლინ[4,5-ე] ინდოლინი (30)

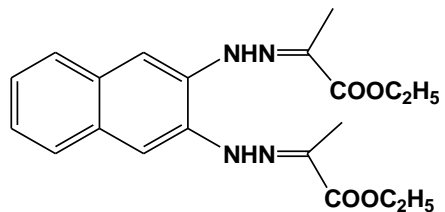


0.12გ (0.4მმოლი) 1,1,3,8,10,10-ჰექსამეთილ-2,9-დიმეთილენინდოლინ[4,5-ე]ინდოლინს (15) ხსნან 10 მლ დიოქსანში და უმატებენ 5 მლ წყალს. -5°C ამატებენ პ-ბრომანილინის დიაზოტირებულ ხსნარს (0.3გ (2.4 მმოლი) NH<sub>2</sub>-C<sub>6</sub>H<sub>4</sub>-Br + 0.11გ NaNO<sub>2</sub> + 1.6გ HCl). გაცივების პირობებში ურევენ 2 სთ. ნეიტრალურ არეში გამოიყოფა მუქი ყავისფერი ნალექი. გამოსავლიანობა 0.05 გ (20%). T<sub>დაჭ</sub>> 200°C. იწ სპექტრი (ვაზელინის ზეთი) vსმ<sup>-1</sup>: 1689, 1596, 1565 (=CH-N=)შეუღლებული, 1334, 1157( SO<sub>2</sub>-NH<sub>2</sub>)

უი სპექტრი (ეთოლის სპირტი) **λ**, ნმ (lgε): 205.00 (0.297), 274.00(0.323), 496.00(0.104)

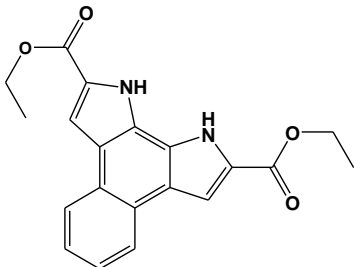
**<sup>1</sup>H-NMR სპექტრი:** 1.56 (12H, s, C(CH<sub>3</sub>)<sub>2</sub>), 3.03 (6H, br.s, N-CH<sub>3</sub>), 7.87(2H, br. s,=CH-N), 5.15s, 5.02s (4H, NH<sub>2</sub>), 8.04 (2H, d, 4-H), 7.35(2H, d, 5-H), J<sub>4,5</sub>=8.8 ჸვ, 7.96 (2H,d,(β-H), 7.46 (2H, d,(α-H), J<sub>αβ</sub>=8.0.

### პიროფურმინის მჟავას ეთოლის ეთერის 2,3-ნაფთილენდიპიდრაზონი (31)



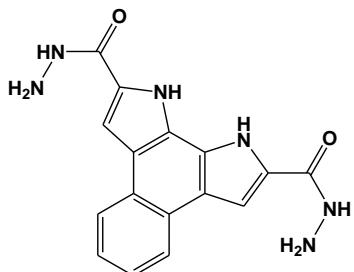
4გ (21 მმოლი) 2,3-ნაფთილენდიპიდრაზინს (2) ხსნან 50 მლ ეთანოლში ოთახის ტემპერატურაზე, უმატებენ 8 მლ (73 მმოლი) პიროფურმინის მჟავას ეთოლის ესთერის ხსნარს 5მლ ეთანოლში. 1სთ-ის შემდეგ ფილტრავენ და აშრობენ. ღებულობენ ყვითელი ფერის კრისტალებს. გამოსავლიანობა 7.04გ (87%).

## 2,9-დიეთოქსიკარბონილ-1H,1OH-ბენზო[e]პიროლო[3,2-g]ინდოლი (32)



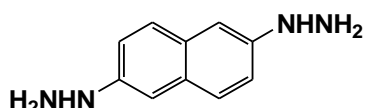
6.7გ (19 მმოლი) დიჰიდრაზონის 31 სტერეოიზომერების ნარევს უმატებენ 67გ პოლიფოსფორმჟავას ეთერების ნარევს. აცხელებენ 100°C-მდე და ურევენ 20 წთ 95-100°C-ზე. სარეაქციო ნარევს ამჟავებენ წყლით, ოთახის ტემპერატურაზე. ფილტრავენ, რეცხავენ წყლით ნეიტრალურ რეაქციამდე და აშრობენ. ნალექს ღებულობენ რაოდენობრივი გამოსავლიანობით, რომელსაც ასუფთავებენ სვეტური ქრომატოგრაფიით. ელუენტი-ბენზოლი-აცეტონი, 1:1.  $T_{\text{და}} 315-316^{\circ}\text{C}$ .  $R_f$  0.44 (ბენზოლი:ეთერი, 3:1).

## 2,9-დი(კარბოჰიდრაზინილ)-1H,1OH-ბენზო[e]პიროლო[3,2-g] ინდოლი (33)



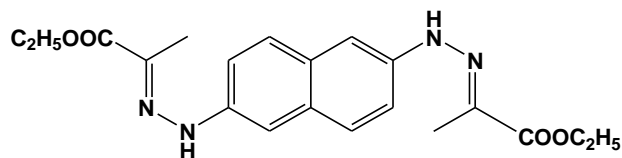
0.2გ (0.57 მმოლი) 2,9-დიეთოქსიკარბონილ-1H,1OH-ბენზო[e]პიროლო[3,2-g]ინდოლს 32 ხსნიან 20 მლ იზოპროპანოლში ადუდებით და უმატებენ 10 მლ ჰიდრაზინში. სარეაქციო ნარევს აცხელებენ 80°C-მდე 3 სთ-ის განმავლობაში მუდმივი მორევის პირობებში. გამოყოფილ ნალექს ფილტრავენ, რეცხავენ იზოპროპანოლით, აშრობენ ეთერით. მიღება ყავისფერი ნალექი. გამოსავლიანობა 0.12გ (65%).  $T_{\text{და}} >300^{\circ}\text{C}$ .  $R_f$  0.35 (იზოპროპანოლი : ჰექსანი, 10:1).

## 2,6-ნაფთილენდიჰიდრაზინი (35)



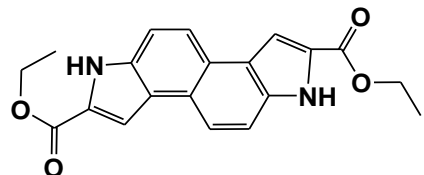
100 გ მშრალ 2,6-დიოქსინაფთალინს (34) და 300 მლ ჰიდრაზინში ურევენ მრგვალირა კოლბაში 105°C-ზე 50 სთ-ის განმავლობაში. ნალექს ფილტრავენ, რეცხავენ წყლით და აშრობენ  $\text{CaCl}_2$ -ზე ვაკუუმში. მიღებული პროდუქტის სუსპენზიას აცხელებენ ადუდებამდე მცირე რაოდენობა მშრალ პირიდინში. აცივებენ, ფილტრავენ, ნალექს რეცხავენ დიეთოლის ეთერით. ღებულობენ თეთრმოვარდისფრო ფევნილს. გამოსავლიანობა 35გ (30%),  $T_{\text{და}} 167^{\circ}\text{C}$ .

## პიროფურმნის მჟავას ეთილის ესთერის 2,6-ნაფთილენდიაზიდრაზონი (36)



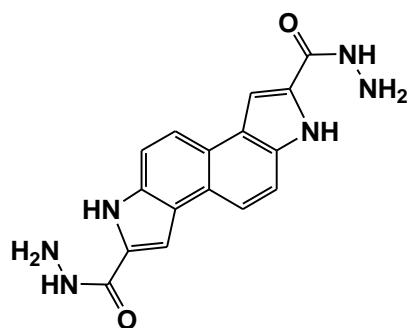
1.5გ (5.7 მმოლი) 2,6-ნაფთილენდიაზიდრაზინის (35) დიპიდროქლორიდის წყალ-ხენარს უმატებენ 3 მლ ნატრიუმის აცეტატს მანამ, სანამ pH არ გახდება 4-ის ტოლი. შემდეგ მორევის პირობებში წვრილი ნაკადით უმატებენ 3 მლ (27 მმოლი) პიროფურმნის მჟავას ეთილის ეთერის ხენარს 4 მლ ეთანოლში. ურევენ 1 სთ-ის განმავლობაში. მიღებულ ნალექს ფილტრავენ, აშრობენ. გამოსავლიანობაა 1.4გ (63%).

## 2,7-დიეთოქსიკარბონილ-3H,8H-ინდოლო[5,4-e]ინდოლი (37)



1.4 გ (3.6 მმოლი) დიპიდრაზონს 36 უმატებენ 14 გ პოლიფოსფორმჟავას ეთილის ეთერს. აცხელებენ 78°C-მდე და ურევენ 30 წთ-ის განმავლობაში. სარეაქციო ნარევს ამუშავებენ წყლით ოთახის ტემპერატურაზე. ნალექს ფილტრავენ, რეცხავენ წყლით ნეიტრალურ რეაქციამდე და აშრობენ. გამოსავლიანობაა 1.16გ (91%). ასუფთავებენ ქრომატოგრაფიულ სვეტზე. ელუენტი ქლოროფორმი. დებულობენ 0.45გ (35%) ქრომატოგრაფიულად სუფთა ნივთიერებას უფერო კრისტალების სახით. Tლლ 322° -324°C. R<sub>f</sub> 0.62 (ბეზოლი-ეთერი 1:1).

## 2,7-დი(კარბოჰიდრაზიდ)-3H,8H-ინდოლო[5,4-e]ინდოლი (38)



0.1გ (0.29 მმოლი) 2,7-დიეთოქსიკარბონილ-3H,8H-ინდოლო[5,4-e]ინდოლის (37) ხენარს 10 მლ იზოპროპანოლში ადუდებენ და უმატებენ 7 მლ ჰიდრაზინიდრატს. სარეაქციო ნარევს აცხელებენ 80°C-მდე 3 სთ-ის განმავლობაში მუდმივი მორევის პირობებში. გამოყოფილ ნალექს ფილტრავენ, რეცხავენ იზოპროპანოლით და აშრობენ ეთერით. მიიღება ყვითელი ფერის ნალექი. გამოსავლიანობა 0.07 გ (75%). Tდაშ. >300 °C. R<sub>f</sub> 0.49 (იზოპროპანოლიჰექსანი 10:1).

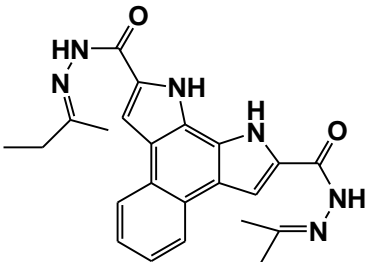
օֆ և էլեկտրոն, ν ՏԲ<sup>-1</sup>, 3470(NH<sub>2</sub>), 3320(NH-օճառլուրո), 3200-3290 (NH-პირոდաზինյուլո), 1640 (CO-ամուղուրո թռոլո 1), 1550 (CO-ամուղուրո թռոլո 2)

<sup>1</sup>H-NMR և էլեկտրոն (DMSO-d<sub>6</sub>) δ(թ6), J, ՅՅ: (DMSO-d<sub>6</sub>) δ(թ6), J, ՅՅ: 11,85 (2H, s, NH օճառլուրո), 9,73 (2H, s, NH პირոդաზինյուլո), 4,49 (4H, br. s, NH<sub>2</sub>), 7,70 (2H, br.. s, 1-H, 6-H), 7,90(2H, d, 4-H, 9-H), 7.63(2H, d, 5-H, 10-H), J<sub>4,5</sub>=9.0.

Թաս-և էլեկտրոն (70 ՋՅ), m/z (լոցարու, %) նականություն: M+ 322(18.4), 305(74.4), 258(84), 232(54.4), 204(92), 177(100), 150(51.2)

Գամություն: M=322 . C<sub>16</sub>H<sub>14</sub>N<sub>6</sub>

մետոլյալդեհիդրոնիս ծենթո[e]პիրոլո[3,2-g]օճառլուլ-2,9-դիկարբոքսիդրաზինություն (40)



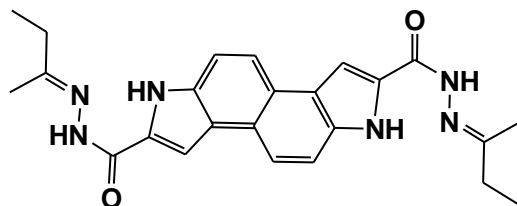
0.3 մլ մետոլյալդեհիդրոնիս ալիքալիզեն 50°C-մջյ, շմաբեն 0.05g (0.17 մմոլո) ծենթո[e]պիրոլո[3,2-g]օճառլուլ գոյարձություն 33, 1-2 ՎՅ մմարմյացած և ալիքալիզեն 78-80 °C- ից 2 ետ-ու ցանմավալություն. Ալիքալիզեն նաև պոլիմերացեն, ըստ այս պատճենի առաջացած ամրացություն և ամրացություն առաջանական է. Տլած 303-305 °C. R<sub>f</sub> 0.62 (օթոպրոպանոլո-յուրո 6:1). օֆ և էլեկտրոն, ν ՏԲ<sup>-1</sup>: 3340 (NH-օճառլուրո), 3200, 3240(NH-ամուղուրո), 1640 (CO-ամուղուրո), 1600(C=N).

<sup>1</sup>H-NMR և էլեկտրոն (DMSO-d<sub>6</sub>) δ(թ6), J, ՅՅ: 11,88 (2H, br s, NH-օճառլուրո), 10,34 (2H, s, NH-ամուղուրո), 7,99 (2H, d, 3-H, 8-H), 8.15 (2H, dd, 4-H, 7-H), 7.47 (2H, dd, 5-H, 6-H), 2,02 (6H, s, =C-CH<sub>3</sub>), 2.36-2.42 (4H, m. CH<sub>2</sub>), 1.06-1.24 (6H, m. (CH<sub>2</sub>-CH<sub>3</sub>), J<sub>1,3</sub>=3.2; J<sub>4,5</sub>=5.2, J<sub>4,6</sub>=3.2, J<sub>5,6</sub>=6.0, J<sub>5,7</sub>=2.8.

Թաս-և էլեկտրոն (70 ՋՅ), m/z (լոցարու, %) նականություն: M+ 430(76), 390(11.2), 345(25.6), 318(58.4), 259(100), 233(49.6), 179(27.2)

Գամություն: M= 430. C<sub>24</sub>H<sub>26</sub>N<sub>6</sub>O<sub>2</sub>

մետոլյալդեհիդրոնիս օճառլու[5,4-e]օճառլուլ-2,9-դիկարբոքսիդրազինություն (39)



0.3 մլ մետոլյալդեհիդրոնիս ալիքալիզեն 50°C-մջյ. Մյամական մորցավություն 0.05g (0.16 մմոլո) գոյարձություն 38 և 1-2 ՎՅ մմարմյացած. Սարյակակություն արյան ալիքալիզեն 80-82°C- ից 2 ետ-ու ցանմավալություն. Մյամական 8 մլ մետոլյալդեհիդրոնիս.

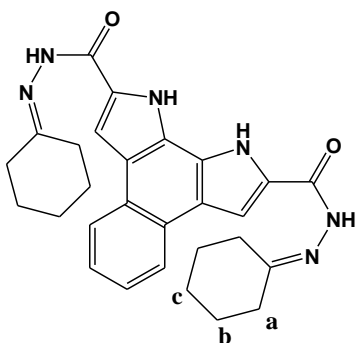
გამოიღეს ყავისფერი შეფერილობის ნალექი. მიღებულ ნალექს ფილტრავენ, რეცხავენ იზოპროპილის სპირტით და აშრობენ დიეთილის ეთერით. გამოსავლიანობა 0,04 $\delta$  (58%)  $T_{\text{დაშ}} > 240^{\circ}\text{C}$ .  $R_f$  0.30 (იზოპროპანოლი-ეთერი 6:1). იშ სპექტრი,  $v$  სმ<sup>-1</sup>: 3350 (NH ინდოლური), 3170, 3280(NH ამიდური), 1640, 1660 (CO ამიდური), 1580(C=N).

**$^1\text{H-NMR}$  სპექტრი (DMSO-d<sub>6</sub>)  $\delta$ (მგ), J, ჸ(ჸ): 11.97 (2H, s, NH ინდ.), 10.32 (2H, s, NH ამიდ.), 7.88 (2H, br s, 1-H, 6-H), 8.03 (2H, d, 4-H, 9-H), 7.68 (2H, d, 5-H, 10-H), 2.03(6H, s, =C-CH<sub>3</sub>), 2.39(4H, br s, -CH<sub>2</sub>), 1.16 (br s, -CH<sub>2</sub>-CH<sub>3</sub>), J<sub>4,5</sub>=8.6**

**მას-სპექტრი (70 ჰე), m/z (I<sub>ფარდ</sub>, %) ნაპოვნია: M+ 430(14.4), 390(92), 345(18.4), 305(100), 259(51.2), 231(20.8), 204(33.6), 150**

გამოთვლილია: M= 430. C<sub>24</sub>H<sub>26</sub>N<sub>6</sub>O<sub>2</sub>

### ციკლოჰექსანონის ბენზო[e]პიროლო[3,2-g]ინდოლილ-2,9-დიკარბოჰიდრაზიდო ჰიდრაზი (41)



2 მლ ციკლოჰექსანონს აცხელებენ 50-60<sup>0</sup> C-მდე. უმატებენ 0.04 $\delta$  (0.12 მმოლი) ბენზო[e]პიროლო[3,2-g]ინდოლის დიჰიდრაზიდს **33** და 2-3 წვეთ ძმარმჟავას. თეთრი ფერის ნალექი თანდათან გადადის დია ყავისფერში. სარეაქციო არეს აცხელებენ 100<sup>0</sup>C-მდე 2 სთ-ის განმავლობაში. გამოყოფილ ნალექს ფილტრავენ. გამოსავლიანობა: 0.03 $\delta$  (53%),  $T_{\text{დაშ}} > 300^{\circ}\text{C}$ .  $R_f$  0.50 (იზოპროპანოლი-ეთერი 6:1).

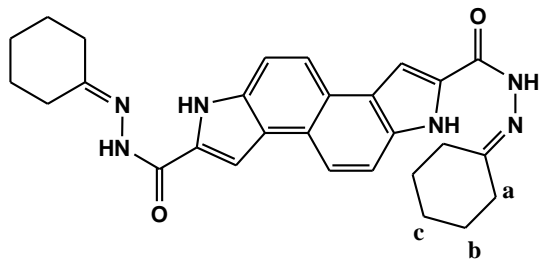
იშ სპექტრი, v, სმ<sup>-1</sup>: 3370 (NH-ინდოლური), 3250-3260 (NH-ჰიდრაზი), 1670 (CO-ამიდური), 1610 (C=N).

**$^1\text{H-NMR}$  სპექტრი (DMSO-d<sub>6</sub>)  $\delta$ (მგ), J, ჸ(ჸ): 11.85 (2H, s, NH ინდ.), 10.59 (2H, s, NH ამიდ.), 7.94 (2H, d, 3-H, 8-H), 8.18 (2H, m, 4-H, 7-H), 7.46 (2H, dd, 5-H, 6-H), 1.61-1.77 (12H, m, H<sub>b</sub>-H<sub>c</sub>), 2.35-2.46 (8H, m, H<sub>a</sub>), J<sub>4,5</sub>=6.0, J<sub>4,6</sub>=3.2.**

**მას-სპექტრი (70 ჰე), m/z (I<sub>ფარდ</sub>, %) ნაპოვნია: M+ 482(1.6), 386(1.8), 370(3.6), 259(48), 232(12), 206(27), 178(60), 147.**

გამოთვლილია: M= 482. C<sub>28</sub>H<sub>32</sub>N<sub>6</sub>O<sub>2</sub>

ციკლოჰექსანონის ინდოლო[5,4-ე]ინდოლილ-2,9-დიკარბოჰიდრაზიდოჰიდრაზონი  
(42)



2 მლ ციკლოჰექსანონის აცხელებენ  $50\text{-}60^{\circ}\text{C}$ -შდე. უმატებენ  $0.04\text{g}$  ( $0.12\text{ mmol}$ ) 2,7-დი(კარბოჰიდრაზილ)-3,8H-ინდოლო[5,4-ე]ინდოლის (38) და 2-3 წვეთ ძმარ-მჟავას. სარეაქციო ნარევს აცხელებენ დაახლოებით  $100^{\circ}\text{C}$ -ზე 2 სთ-ის განმავ-ლობაში. აყოვნებენ 24 სთ-ის განმავლობაში და ლექავენ დიეთილის ეთერით. წარმოქმნილი ნალექი ყავისფერი შეფერილობისაა. გამოსავლიანობაა  $0.03\text{g}$  (50%),  $T_{\text{ლდ}}$   $230^{\circ}\text{-}232^{\circ}\text{C}$ .  $R_f$  0.50 (დიეთილის ეთერი : ჰექსანი, 9:1).

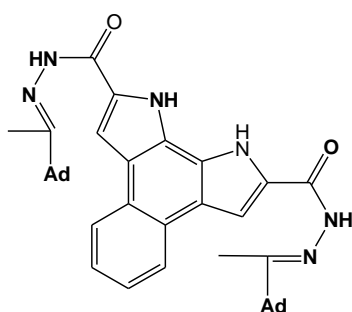
იქ სპექტრი, ν, სმ<sup>-1</sup>: 3247 (NH-ამიდური), 3350 (NH ინდოლური), 1697 (C=N), 1643 (CO-ამიდური).

<sup>1</sup>H-NMR სპექტრი (DMSO-d<sub>6</sub>) δ(მგ), J, ჸ(გ): 11.98 (2H, br s, NH ინდ.), 10.58 (2H, s, NH ამიდ.), 7.86 (2H, br s, 1-H, 6-H), 8.04 (2H, d, 4-H, 9-H), 7.66 (2H, d, 5-H, 10-H), 1.64-1.77 (12H, m, =H<sub>b</sub>-H<sub>c</sub>), 2.25-2.40 (8H, m., H<sub>a</sub>), J<sub>45</sub> =7.2.

მას-სპექტრი (70 ეგ), m/z (I<sub>ფარდ</sub>, %) ნაპოვნია: M+ 482(100), 387(46.4), 371 (93.6), 276(38.4), 259(92), 232(54.4), 204(40), 177(38.4), 147(16.8)

გამოთვლილია%: M= 482. C<sub>28</sub>H<sub>32</sub>N<sub>6</sub>O<sub>2</sub>

აცეტილადამანტანის ბენზო[ე]პიროლო[3,2-გ]ინდოლილ-2,9-დიკარბოჰიდრაზიდოჰიდრაზონი (43)

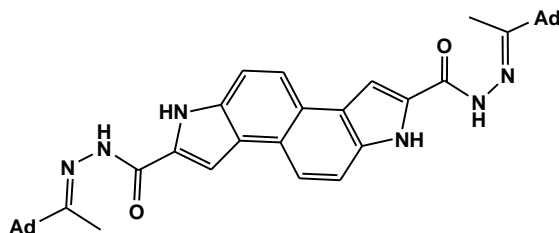


0.06g აცეტილადამანტანის ხსნიან მცირე რაოდენობა იზოპროპანოლში და უმატებენ  $0.05\text{g}$  ( $0.16\text{ mmol}$ ) ბენზო[ე]პიროლო[3,2-გ]ინდოლის დიჰიდრაზიდის 33 ხსნარს დიმეთილფორმამიდში. სარეაქციო არეს აცხელებენ  $78^{\circ}\text{C}$ -ზე, დაახლოებით 3 სთ-ის განმავლობაში. მიღებულ ნალექს ფილტრავენ, გასუფთავების მიზნით რეცხვენ იზოპროპანოლით და აშრობენ ეთერით. გამოსავლიანობა  $0.05\text{g}$  (45%).  $T_{\text{ლდ}}$   $300^{\circ}\text{-}301^{\circ}\text{C}$ .  $R_f$  0.40 (იზოპროპანოლი : დიეთილის ეთერი 6:1).

იქ სპექტრი, ν, სმ<sup>-1</sup>: 3417, 3324(NH ინდოლური), 3150, 3250 (NH ამიდური), 3200, 3240 (NH ამიდური), 1640 (CO ამიდური), 1600 (C=N), 2676, 2723 (Ad).

**<sup>1</sup>H-NMR** სპექტრი (DMSO-d<sub>6</sub>) δ(δ6), J, ჰz: 11.86 (2H, s, NH ინდ.), 11.15 (1H, br. s, NH ამიდ.), 10.06 (1H, br s, NH ამიდ.), 7.71 (2H, d, 3-H, 8-H), 7.93 (2H, dd, 4-H,7-H), 7.31 (2H, dd, 5-H, 6-H), 1.82 (6H, s, =C-CH<sub>3</sub>), 1.48-1.53, 1.60-1.75, 1.86 (30H, Ad), J<sub>1,3</sub>=2.4, J<sub>4,5</sub>= 6.0, J<sub>4,6</sub>= J<sub>5,7</sub>=3.6. მას-სპექტრი (70 ევ), m/z (I<sub>ფარდ</sub>, %) ნაპოვნია: M+ 642(02)  
გამოთვლილია%: M= 642 C<sub>40</sub>H<sub>46</sub>N<sub>6</sub>O<sub>2</sub>

**აცეტილადამანტანის ინდოლო[5,4-ე]ინდოლილ-2,9 დიკარბოჰიდრაზიდო  
ჰიდრაზო (44)**



0.06გ აცეტილადამანტანის ხსნიან მცირე რაოდენობა იზოპროპანოლში და უმატებენ 0.05გ (0.16 მმოლი) ინდოლოინდოლის დიჰიდრაზიდის (38) ხსნარს დი-მეთილფორმამიდში. სარეაქციო არეს აცხელებენ 80°C-ზე 3 სთ-ის განმავლობაში. მიღებულ ნალექს ფილტრავენ, აშრობენ დიეთილის ეთერით. გამოსავლიანობა 0,06გ (56%). T<sub>დაშ</sub> >300 °C. R<sub>f</sub> 0.55 (იზოპროპანოლი : დიეთილის ეთერი 6:1).  
იშ სპექტრი, ν, სმ<sup>-1</sup>: 3301 (NH-ინდოლური), 3193 (NH-ამიდური), 2676, 2723 (Ad), 1627 (CO-ამიდური), 1535 (C=N).

**<sup>1</sup>H-NMR** სპექტრი (DMSO-d<sub>6</sub>) δ(δ6), J, ჰz: 11.99 (2H, br s, NH ინდ.), 10.60 (2H, br s, NH ამიდ.), 7.89 (2H, br s, 1-H, 6-H), 8.06 (2H, d, 4-H, 9-H), 7.71 (2H, d, 5-H, 10-H), 1.48-1.81 (30H, Ad), 1.70-1.81(C-CH<sub>3</sub>), J<sub>45</sub>=7.6.

მას-სპექტრი (70 ევ), m/z (I<sub>ფარდ</sub>, %) ნაპოვნია: M+ 642(02)  
გამოთვლილია%: M= 642. C<sub>40</sub>H<sub>46</sub>N<sub>6</sub>O<sub>2</sub>

**3,8-დიფორმილ -1H,10H-ბენზო[e]პიროლო[3,2-g]ინდოლის დიადამანტილანილი (48)**

50 მგ (0.24 მმოლი) პ-ადამანტილანილის (47) ხსნიან 5 მლ აბსოლუტურ ეთილის სპირტში 40°C-ზე. უმატებენ 3-4 წვეთ ყინულოვან ძმარმჟავას და 20 მგ (0.05 მმოლი) 3,8-დიფორმილ-1H,10H-ბენზო[e]პიროლო[3,2-g]ინდოლს (47). მიღებულ ნარინჯისფერ სუსპენზიას ადუდებენ 2 სთ-ის განმავლობაში. გაცივების შემდეგ ფილტრავენ, რეცხავენ ეთანოლისა და დიეთილის ეთერის მინიმალური რაოდენობით. აშრობენ. გამოსავლიანობა 20 მგ (58%). წითელი კრისტალები. T<sub>დაშ</sub> >300°C. R<sub>f</sub> 0.46 (იზოპროპანოლი : დიეთილის ეთერი 6:1).

იშ სპექტრი, ν, სმ<sup>-1</sup>: 3286 (NH), 2846, 2900 (CH-ადამანტანის), 1627, 1658 სმ<sup>-1</sup> (C=N).

უი სპექტრი,  $\lambda_{\text{max}}$ , ნმ, ( $\lg \varepsilon$ ): 208 (2.03), 242 (1.96), 255 (1.97), 277 (1.55), 322 (0.93), 385 (1.96).

**$^1\text{H}$ -გზრ სპექტრი, (DMSO- $D_6$ )  $\delta$  (პნ),  $J$  (ჰ��): 11.98 (2H, m, 1-H, 10-H); 8.64 (2H, d, 2-H, 9-H); 8.91 (2H, s, -CH=N-); 7.42 (2H, dd, 4-H, 7-H); 7.29 (2H, dd, 5-H, 6-H); 7.67 (2H, dd, 5'-H,); 7.24 (2H, d, 6'-H,); 6.97 (2H, d, 3'-H); 6.48 (2H, d, 2'-H,); 2.07 (6-H, ad, s); 1.90 (12-H, s, ad.);  $J_{1,2}=3.2$ ;  $J_{4,5}=J_{6,7}=8.4$ ;  $J_{4,6}=J_{5,7}=3.2$ ;  $J_{2',3'}=8.4$ ;  $J_{3',5'}=1.6$ ;  $J_{5',6'}=8.4$ .**

ნაპოვნია  $m/z$ (%):  $M^+$  680 (0.8), 443 (16), 362 (28), 330 (9.6), 253 (11.2), 227 (100), 226 (81), 170 (100), 134 (82), 133 (85), 106 (100), 91 (16), 79 (10.4).

გამოთვლილია:  $M$  680.  $C_{48}H_{50}N_4$

## დასკვნები

1. სინთეზირებულია ბენზო[e]პიროლო[3,2-გ]ინდოლის, ინდოლო[4,5-ე]ინდოლის, ინდოლო[5,4-ე]ინდოლისა და ინდოლო[7,6-გ]ინდოლის ახალი 25 წარმოქ-ბული პოტენციური ბიოლოგიური აქტიურობის გამოვლენის მიზნით. ინფრაწილელი, ულტრააიისფერი, ბირთვულ მაგნიტური სპექტროსკოპიისა და მას-სპექტრომეტრიის მეთოდების გამოყენებით დადგენილია მათი სტრუქტურა.
2. დამუშავებულია 2,7-დი(კარბოჰიდრაზიდ)ინდოლო[5,4-ე]ინდოლის მიღების პრეპარატები მეთოდი.
3. შესწავლილია 2,7-დი(კარბოჰიდრაზიდ)ინდოლო[5,4-ე]ინდოლისა და 2,9-დი(კარბოჰიდრაზიდ)ბენზო[e]პიროლო[5,4-ე]ინდოლის კონდენსაციის რეაქციები მეთილეთილკეტონთან, ციკლოჰექსანონთან და აცეტილადამანტგანონთან. მიღებული ჰიდრაზიდო-ჰიდრაზონების აგებულება დადგენილია სპექტრული მეთოდებით.
4. დადგენილია, რომ დიკარბოჰიდრაზიდები ადვილად შედიან კონდენსაციის რეაქციებში კარბონილურ ნაერთებთან. კონდენსაციის რეაქციის პროცესში გამოსავლიანობა შეადგენს 50-78 %.
5. დიპიდროინდოლიზინისა და სპიროქრომენული ფრაგმენტების შემცველი სპირონაერთების სინთეზის მიზნით, დამუშავებულია, 2-მეთილენინდოლონური ფუძის, ე.წ. ფიშერის ფუძის იზომერული ბისანალოგების -1,3,3,6,8,8-ჰექსამეთილ-2,7-დიმეთილენ-ინდოლინო[7,6-გ]ინდოლინის, 1,1,3,8,10,10-ჰექსა-მეთილ-2,9-დიმეთილენ ინდოლინო[4,5-ე]ინდოლინისა და 1,4,5,8-ტეტრაჰიდ-რო-1,1,8,8 -ტეტრამეთილ-2,7 -დიმეთილენდიპიროლო[1,2,3-d,e:3,2,1-i,j]ბენზო-[g]ქინოქსალინის მიღების პრეპარატები მეთოდები. სპექტრული მეთოდებით დადგენილია ფიშერის ფუძის ანალოგების სტრუქტურა.
6. შესწავლილია სინთეზირებული ფიშერის ფუძის ბის-ანალოგების ფორ-მილირებისა და აზოშეუდლების რეაქციები პ-ბრომ-, პ-ნიტრო-, პ-სულფამი-დო- და ფენილდიაზონიუმის ქლორიდებთან.
7. მიღებულია ფიშერის ალდეჸიდის ახალი ბის-ანალოგები. ხოლო 1,4,5,8-ტეტრაჰიდრო-1,1,8,8 -ტეტრამეთილ-2,7 -დიმეთილენდიპიროლო[1,2,3-d,e:3,2,1-i,j]ბენზო[g]ქინოქსალინის ფორმილირებისას გამოყოფილია ასევე რეაქციის ანომალური პროდუქტი – ციანინური საღებარის მსგავსი სტრუქტურის ნაერთი.
8. დადგენილია, რომ 1,4,5,8-ტეტრაჰიდრო-1,1,8,8 -ტეტრამეთილ-2,7 -დიმეთილენ-დიპიროლო[1,2,3-d,e:3,2,1-i,j]ბენზო[g]ქინოქსალინის აზოშეუდლებისას წარმოიქმნება ძირითადად ბის-აზონაწარმები, ხოლო 1,1,3,8,10,10-ჰექსამეთილ-2,9-დიმეთილენინდოლინო[4,5-ე]ინდოლინისა შემთხვევაში გამოყოფილია მონო-ნაწარმიც.
9. დადგენილია ბენზპიროლოინდოლის ფრაგმენტის შემცველი სპირონაერთების მიღების გზები. მოწოდებულია, როგორც ქრომენული ჯგუფების შემცველი, ასევე დიპიდროინდოლიზინის ტიპის სპირონაერთის სინთეზის მეთოდები:

ა) ქრომენული ფრაგმენტების შემცველი ახალი სპირონაერთების მიღების მიზნით განხორციელებულია 2-მეთილენინდოლინური ფუძის ბის-ანალოგის – 1,4,5,8-ტეტრაჰიდრო-1,1,8,8-ტეტრამეთილ-2,7-დიმეთილენ-დიპიროლო- [1,2,3-d,e:3,2,1-i,j]ბენზო[g]ქინოქსალინის კონდენსაციის რეაქცია მონო- და დიბრომსალიცილის ალდეჰიდთან. სინთეზირებულია 2 ახალი ბის-სპირო-ჰირანული ნაერთი – ბის(6-ბრომ-2-ქრომენ-2-სპირო)-2',7'-1',4',5',8'-ტეტრაჰიდრო-1',1',8',8'-ტეტრამეთილდიპიროლო[1,2,3-d,e: 3,2,1-i,j]ბენზო[g]ქინოქსალინი და ბის(6,8-დიბრომ-2Hქრომენ-2-სპირო)-2',7'-1',4',5',8'-ტეტრაჰიდრო-1',1',8',8'-ტეტრამეთილდიპიროლო[1,2,3-d,e:3,2,1-i,j]ბენზო[g]ქინოქსალინი.

მიღებული ნივთიერებები ხასიათდებიან ფოტოქრომული თვისებებით. აღნიშნული თვისებები გამოვლენილია ვიზუალურად და ამ ნაერთების ელექტრონული სპექტრების შესწავლით. ბის(6,8-დიბრომ-2Hქრომენ-2-სპირო)-2',7'-1',4',5',8'-ტეტრაჰიდრო-1',1',8',8'-ტეტრამეთილდიპიროლო[1,2,3-d,e:3,2,1-i,j]-ბენზო[g]ქინოქსალინის ელექტრონულ სპექტრში დაფიქსირებულია შთანთქმის მაქსიმუმი 840 ნმ-ზე, რაც სავარაუდოდ ორმხრივად გახსნილ ბეტაინურ სტრუქტურას შეესაბამება.

ბ) დამუშავებულია ახალი თაობის დიპიროლინდოლიზინის ტიპის ბენზო-ჰიროლოინდოლის ფრაგმენტის შემცველი ბის-სპიროციკლური ნაერთის მიღების მეთოდი 2,3,3,8,8,9-ჰექსამეთილ-3,8-დიპირობენზო[e]პიროლო[3,2-g]ინდოლისა და სპიროციკლოპიროპენფლუორენის საფუძველზე.

## ლიტერატურა

1. Decker H., Fellenberg T. Zur Begründung der Oxoniumtheorie. liebigs Ann. Chem., 1909, v.364 №1, p.p.1-44.
2. Dilthey W., Wizinger R. Piperidin als Reagens auf Chinone und Farbstoffe. Ber., 1926, v.59, №8, p. p.1856-1858.
3. Захс Э.Р., Мартынов В.П., Эфрос Л.С. Синтез и свойства спиропиранов, способных к обратимому раскрытию пираного кольца. Химия гетероциклических соединений., 1979, №4, с. 435-455.
4. Коньков Л.И., Пржиялговская Н.М., Взаимодействие ацильных производных основания фишера с мета-замещенными фенолами. Синтез 2Н⁻ 4Н⁻ спирохроменов индолинового ряда. Химия гетероциклических соединений., 1984, №8, с.1101-1104 .
5. Химия и технология органических красителей и промежуточных продуктов. Коньков Л.И., Пржиялговская Н.М. , в кн. Тез. докл., 1985, Ленинград, -152с.
6. Lee J.H., Park E.S., Yoon C.M.. Suzuki coupling reaction of 6-iodo- or 6,8-diiodospiropyran: synthesis of spiropyran analogs. Tetrahedron Lett., 2001, v.42, №47, p.p.8311-8314.
7. Лукьянов Б.С., Л.Е.Новорожкин, В.И.Минкин, Новые индоловые спиропираны с –акцепторными заместителями в положении 8'. 1990, Химия гетероциклических соединений., №12, 1700-1702.
8. Pozzo J-L., Samat A., Guglielmetti R., Lokshin V., Minkin V. Furo-fused 2H-chromenes: synthesis and photochromic properties. 1996, Can. J. Chem., v.74, p.p.1649-1659.
9. Inouge M., Akamasu K., Nakazumi H. New Crown Spirobenzopyrans as Light- and Ion-Responsive Dual-Mode Signal Transducers, 1997. J.Am. Chem. Soc., v.119, №39 9160-9165.
10. Balli H., Naef R. Photochrome moleküle: Synthese und H90 H90 V 2 photochromie von spiropyrano(2H)[3,2-f]-chinolinen H90 H90 V 3 und ihrer quartären salze H90 H90 V 3., Dyes and Pigm., 1980,v.1, №2, p.p.139-159.
11. Haley N.F.. 3-Methyl-2,1-benzisoxazolium, benzisothiazolium, and indazolium salts as new active-methyl compounds. J. Org. Chem., 1978,v.43, p.p.1233-1240.
12. Чунаев Ю.М., Пржиялговская Н.М., Гальберштам М.А. курковская Л.Н. Синтез и свойства мероциановых спирооксацинов. Химия гетероциклических соединений., 1984, №8 с.1088-1092 .
13. Лукьянов Б.С., Рябухин Ю.И., Дорофеенко Г.Н., Новорожкин Л.Е., Минкин В.И. Фото- и термохромные спирраны.. Химия гетероциклических соединений. 1978, №1, с.161-165 .
14. Иваницкий В.В., Николаева О.Г., Метелица А.В., Велбушко Н.В., Лукьянов Б.С. Фотохромные спиропираны кумаринового ядра. Химия гетероциклических соединений. 1992, №5, с.601-604 .
15. Гальберштам М.А., Сидоров А.П., Пржиялговская Н.М., Строгач Ю.П., Барабашевский В.А., Манакова И.В., Суворов Н.Н. Влияние включения циклического фрагмента в хромофор на свойства системы спиропиран-мероцианин. Химия гетероциклических соединений. 1982, №9, с.1205-1209.
16. Лукьянов Б.С., Новорожкин А.Л., Иванов Н.Б., Новорожкин Л.Е., Минкин В.И. Синтез спироселенапиранов с конденсированным хинолиновым фрагментом. Химия гетероциклических соединений., 1992, №1, с.132-133.
17. Лукьянов Б.С., Новорожкин А.Л., Иванов Н.Б., Новорожкин Л.Е., Минкин В.И. Синтез спиротиапиранов с конденсированным хинолиновым фрагментом, Химия гетероциклических соединений., 1991, №6, с.857-859.
18. Arakawa S., Kondo H., Seto J. Photochromism. Synthesis and Properties of Indolinospirobenzothiopyrans. Chem. Lett., 1985, v. 14. №12, p.p. 1805-1808.
19. Keum S.R., Choi Y.K., Kim S.H, Yoon C.M. Study on the performance of contour vegetative barriers in an arid region using numerical models. Dyes and Pigm., 1999, v.41, p.p.41-45.

20. Алексеенко Ю.С., Буланов А.О., Саяпин Ю.А., Алексеенко А.С., Лукьянов Б.С. . Сафоклов Б.Б. Новый фотохромный бисспиропиран. Химия гетероцикл. соедин., 2002, №9, с.1308-1309.
21. Самсония Ш.А., Трапайдзе М.В., Гогричани Э.О., Кацадзе Е.А., Маисурадзе Дж.П., Джапаридзе К.Г. Некоторые спиропроизводные индолов и конденсированных бис-индолов. Азотсодержащие гетероциклы, под.ред. д.х.н. В.Г.Карцева. Т. 1. ICSFP PRESS. Труды Третьей Международной конференции «Химия и биологическая активность азотсодержащих гетероциклов» т.1. 2006 20-23 июня , Черноголовка. с.445-449.
22. ტრაპაიძე გ. გამოკვლევები ტეტრაციკლური კონდენსირებული ჰეტეროციკლური ნაერთების – დიპიროლონაფთალინების რიგში. – დისერტაცია. ქიმ. მეცნ. დოკტ. 2006. თბილისი. -204 გვ.
23. Min, J.W. Choi, W.H. Lee, U.R.Kim. Photoreceptor consisting of spiropyran–bacteriorhodopsin films for photosignal enhancement. Biosensors & Bioelectronics, 1998, v. 13, №11, p.1151-1155.
24. Favaro G., Chidichino G., Formoso P., Manfredi S., Mazzucato U., Romani A., J. Cromatic and dynamic characteristics of some photochromenes in the components of bifunctional photochromes and eleqtro-optical devices. Photochem. Photobrol. A: Chemistry, 2001, v.140, p.229 .
25. Минкин В.И. Молекулярные компьютеры. Научная мысль кавказа, 2004, №3, с.32-40.
26. Майсурадзе Д.П., Ахобадзе Ш.Н., Девадзе Л.В, Джапаридзе К.Г. Синтез и физико-химические свойства некоторых спирохроменов полученных на основе 4-азаиндола. Химия гетероцикл. соедин., 1982, №10, с.1367-1369.
27. Галиулина Т.Н, Абраменко П. И., Калентьев В.К. Несимметричные индолодиметилцианины и их свойства. Химия гетероцикл. соедин., 1982 , №7, с.930-934.
28. Fisher E., Steche A. Verwandlung der Indole in Hydrochinoline . Liebigs Ann. Chem. - 1887. В. 242, №3, S. 348-366.
29. Гальберштам М. А., Бондаренко Е. М., Хлорова О.Р. и др. Синтез и фотохромные свойства 5-ацетилзамещенных индолоспирохроменов. Химия гетероцикл. соедин., 1979 , №12 , с. 1654 – 1658
30. Троицкая В.И., Оксенгендлер И.Г., Пазенок С.В. и др. О некоторых реакциях замещения в ряду фотохромных индолиноспирохроменов. Химия гетероцикл. соедин., 1982, №1, с. 1654-1658.
31. Deorha D.S., Joshi S.S. Notes- Cyclic Products from Hydrazines. I. Nitroindoless, Nitrotetrahydrocarbazoles, Nitroindolenines and Nitrotetrahydrocarbazolenines. J. Org. Chem. 1961, v.26, p.p.3527-3530.
32. Гальберштам М.А., Самойлова Н.Ш. Синтез 3-фенил-1,3-диметилспиро(индолин-2,2'-[2H-1]бензопиранов) и исследования электронных спектров поглощения их мероциановых форм . Химия гетероцикл. соедин., 1973, №9, с. 1209-1211.
33. Nakazari M. Mechanism of Plancher's Rearrangement. II. Twofold Wagner-Meerwein Type Rearrangement of Indolenium Compounds . Bull. Chem. Soc. Japan, 1960, v.33, № 4, p.p. - 472-475.
34. Kim I. K., Erikson K.L. Models for uleine-alkaloid biogenesis. Tetrahedron, 1971, v.27, №17, p.p.3979-3991.
35. Freter K.R Alkylation of 1,2-dimethylindole with allyl bromide. Can. J. Chem 1967 v.45, №21, p.p. 2628-263
36. Bramely R. K.,Caldwell J., Grigg R. Site specificity of [3,3] sigmatropic rearrangements of 3-allyl- and 3-(prop-2-ynyl)-3H-indoles J.Chem. Soc. Pekin Trans. Part I . 1973, №18 p.p. 1913-1921.
37. Dehmlow E. V., Franke K. Anwendungen der Phasentransfer-Katalyse, 11. Phasentransfer-katalytische Umsetzungen von Heterocyclen mit Dihalogencarbenen . Liebigs Ann. Chem. 1979, №10. s.1456-146.

38. Самойлова Н.П., Гальберштам М.А. О некоторых реакциях замещения в ряду фотохромных индолиноспирохроменов. Химия гетероцикл. соедин., 1977, №8, с. 1065-1068.
39. Гальберштам М.А., Лазаренко И.Б., Бобылева Г.К. и др. Фотохромные 5-стирилзамещенные индолиноспирохромены. Химия гетероцикл. соедин., 1984, №11. с.1482-1485.
40. Гальберштам М.А., Бондаренко Е.М., Лаврищева Л.Н. и др. Синтез и фотохромные свойства индолиноспирохроменов с электродонорными заместителями в индолиновой части молекулы. Химия гетероцикл. соедин., 1982, №9, с. 1220-1224.
41. Stoffer Reiffers, Richard M. Lambrecht, Alfred P. Wolf, David R. Christman, Azizullah N. Ansari, Harold L. Atkins. Cyclotron isotopes and radiopharmaceuticals—XXXIII Synthesis and structural effects of selective biliary excretion of halogenated indotricarbocyanines Int. J. Appl. Radiat. Isot. – 1983, v.34, №9 , р.р. 1383-1393.
42. Иншакова В.А., Драпкина Д.А., Брудзь В.Г., Плитина И.П. Методы получения химических реагентов и препаратов. Вып. 15. М.: ИРЕА, 1967. с. 151-153.
43. Petersen S. Über Merocyanine aus Chinonen und Methylenbasen. Liebigs Ann. Chem. - 1964, v.675, s.102-108.
44. Ficken G.E., Kendall J.D. Diazaindenes and their quaternary salts. Part I. The preparation of 2,3,3-trimethyl-3H-1,7-diazaindene, and its methiodides and derived cyanine dyes. J. Chem. Soc., 1959, v.39, p.p 3202- 3212.
45. Ficken G.E., Kendall J.D. Diazaindenes and their quaternary salts. Part II. The cyclisation of isopropyl methyl ketone 3-pyridylhydrazone . J. Chem. Soc., 1961. p.p. 584- 588.
46. Колесников А.М., Михайленко Ф.А Взаимодействие бискарбоцикловых хромофоров красителей – производных изомерных нафтобистиазолов и нафтодипирроленинов . Ж. орган. химии, 1982, 18, №2. с. 441-450.
47. Дядюша Г.Г., Колесников А.М., Михайленко Ф.А. Конформации полиметиновых красителей . Ж. орган. химии. 1982, 18, №1, с. 206-213.
48. Самойлова Н.П., Бобылева Г.К., Гальберштам М.А. 1-октадецил- и 3,3-дифенил-замещенные фотохромные индолиноспирохромены. Химия гетероцикл. соедин., 1980, №1, с. 51-54.
49. Лазаренко И.Б., Пржиялговская Н.М., Гальберштам М.А. и др. Синтез и фотохромные свойства индолинепирохроменов, содержащих при атоме азота бензилный, этильный и ацетонильный радикалы. Химия гетероцикл. соедин., 1982, №10, с. 1363-1366.
50. Sondermann J. Darstellung oberflächenaktiver Polymethincyanin-Farbstoffe mit langen N-Alkyl-Ketten. Liebigs Ann. Chem.,1971, v.749, №1, s. 183-197.
51. Grahn W. Allenbildende Deprotonierung von Polymethinkationen, I. 1,3-Diaminoallene aus Monomethincyaninen mit Indolin/Indoleninium-Endgruppen - Synthese, MS- und  $^{13}\text{C}$ -NMR-Spektren . Liebigs Ann. Chem. 1981, v. 1981, N1, s.107-121.
52. Dürr H, Groß H, Hauck G. Neue heterocyclische Systeme aus elektrophilen Cyclopropenen und N-Nucleophilen . Chem. Ber., 1983, b.116, №3, s. 856-861.
53. Döpp D, Rehmer G, Brüggemann H. Generation and Characterization of Transient 3H-Indolium-methanides . Chem. Ber. 1988, b.121, №9, s.1651-1655.
54. Coenen M. Reaktionen heterocyclischer Verbindungen mit aktiver Methylen-Gruppe. Angew.Chem. 1949, v.61, p.p. 11-17.
55. Итоги науки и техники. Серия Органическая химия. 2-метилениндоловые основания. Синтез и свойства . 1975. т.14, 126-с.
56. Reichardt C., Engel H-D. Eine verbesserte Methode zur Herstellung von 1,3,3-Trialkyl-2-alkylenindolinen .Chem. Ber. 1988, v.121, №5. p.p.1009-1011.
57. Альперович М.А., Колодкин Ф. Л., Хесин В.Г. и др. Термолиз четвертных солей 2,3,3-триметилиндоленина и индокарбоцианинов. Химия гетероцикл. соедин., 1979, №10, с. 1358-1361.
58. Khan M. N., Fleury J.-P., Baumlin Ph., Hubschwerlen Ch. A new route to trinuclear carbocyanines. Tetrahedron, 1985, V. 41, p.p.5341-5345.

59. Гидразиды .Членова М.А. Общая органическая химия ,1984. т.4. -509 с.
60. Dorm H., Zubek A. and Walter K., Über die Formylierung von Alkyl- und Aralkylhydrazinen. Annalen, 1967, v.707, №1, p.p.100 -106.
61. Jencks W.P., Carriulo J. Reactivity of Nucleophilic Reagents toward Esters. Journal of the amerikan chemical society. 1960, v. 82, №7, p.p. 1778-1786.
62. Stroh H.H., Hennining D. über die Reaktion von Aldohsäure-y-lactonen mit Avilhidrazinen. Chem. Ber. 1967, b.100, №2, s.388-394.
63. Saul G. Gohen and Jesse Nycholson. Formation of Phenylidimide and Phenyl Radical by Heterolysis of N-Phenyl-N<sup>1</sup>-benzoldiimide. The Journal of organic Chemistry. 1965. v. 30, №4, p.p.1162-1168.
64. Paulsen H., Stoye D. Fragmetierung von L.Mesyloxy-Carbonsäurehydraziden. Synthese von 5-Desoxy-D-Xylohexofuranuronsävelacton.Chem. Berychte, 1966, b.99, №3. s.908-919.
65. Reynolds G.A., Vannalan J.A. The Synthesis of Polyazaindedenes and Related Compounds. The Journal of organic Chemistry. 1959, v. 24, №10, p.p.1478-1486.
66. Buyle R. Helv. Activated esters. II. Preparation and alkaline hydrolysis of mono-, di-, and trichloroacetylhydrazides. Chim Acta. 1964, v.47, p.p.2423.
67. Hegarty A. F., Scomm F.L. The Kinetiky of Syn-anti Conversions of 2.4- Dinitrophenylhydrazones. The journal of Organic Chemistry. 1968, v. 33. №2. p.p.753-766.
68. Фокин А.В., Студнев Ю. И., Прошин И. А.. Взаимодействие фотополефинов с несимметрическим диметилгидразоном. Журнал общей химии. 1967, т.37, №8, с. 1725-1727.
69. Греков А. П., Скрипченко В. К.. Строение и реакционная способность производных гидразина. Кинетика реакции гидразинов масляной и бензоиной кислот с янтаным и глутаровым ангидридами в Бензольном растворе. Журнал органической химии. 1968, т.4, №2, с.243-247.
70. Ronco K., Grijys B., Erlenmeyer H. Amino acid analogs in the hydrazine series. III. Helv. Chim Acta. 1956, v.39, №5, p.p.1253-1257.
71. Grazi E., Conconi F., Vigi V. Transamidinase of hog kidney. III. Effect of bicarbonate on the enzyme-amidine complex. J.Biol. Chem. 1965, v.240, p.p.2465-2467.
72. John C.Howard, Gabriel Gerer and Peter H.L Wei. Alkyl-(alkoxyalkyl)-hydrazones. The journal of Organic Chemistry. 1963, v.28, №3, p.p.867-870.
73. Chattoppadhyaya I.B., Rama Rao A.V. Silica gel induced isomerisation of aldoximes to amides : A general method. Tetrahedron. 1974, v.30, №16, p.p.2899-2900.
74. Smith A.S.,Pars H.G. Nitrosative cleavage of N<sup>1</sup>,N<sup>1</sup>-Dialkylhydrazides and Tertiary Amines. The journal of Organic Chemistry, 1959, v.24, №9, p.p.1325-1332.
75. Ronco K., Prijs B., Erlenmeyer H. Amino acid analogs in the hydrazine series. II. Helv. Chim Acta. 1956, v.39, p.p.1235-1237.
76. Химия гидразидов – ред. Ю. П. Китаева, изд. «Нанга». Москва, 204 с. 1977
77. Песянов Е., Пелькис П.С. Взаимодействие Ариловых Эфиров карбазиновой кислоты с замещенным гидразинами. Журнал органической химии. 1968, т.4, №5.
78. Жунгиету Г.И., Суворов И.Н., Кост А.Н. Новые препаративные синтезы в индольном ряду. Кишенев «Штинца » 1983, с.73.
79. Самсония Ш. А., Трапаидзе М.В., Купрашвили Н.А., Самсония Н.Ш., Суворов Н.Н.. Бисиндолы 34\* Синтез и превращения дигидразидов в ряду бензо[е]пирроло[3,2-г]индола и индоло [4,5-е]индола. Химия гетероцикл. соедин. 1984, №8 с. 1048-1051.
80. Willner I ., Rubin Sh. Control of the structure and functions of biomaterials bylight.. Angevandte Chemie, Internation EDition in English.1996, v36, №4, 367-385.
81. Durr.H. Photochromism-current status and developmental tendencies. Praxis der Naturwissenschaften, Chemie. 1991, v40, №4, pp. 22-28
82. Самсония Ш.А., Дююр Г., Трапаидзе М.В. Чхайдзе Э.Р., Гогричани Э.О. Бисиндолы. Синтез новой спироциклической фотохромной системы. Химия гетероцикл.

- соедин., 2001, №10 с.1423 – 1425.
83. Самсония Ш.А., Трапаидзе М.В., Мачайдзе Н.Н., Дююр Г. Бисиндолы. Синтез некоторых производных 1Н,6Н-индоло[7,6-г]индола. Химия гетероцикл. соедин., 2002 , №4, с. 461-464.
  84. Самсония Ш.А., Трапаидзе М.В. Циколия М.А., Мачайдзе Н.Н. Эсакия Н.А. Взаимосвязь строение-свойство в биспирролизидиновых фотохромных соединениях на основе индоло[4,5-е]- и индолов. Журнал органической химии, 2005, т.75, вып.4, с.670-673.
  85. Nikoleishvili N., Esakia N., Trapaidze M., Samsoniya Sh. C-and N-alkylderivatives of dipirrolonaphthalines. Conference “Compounds and Materials with Specific Properties” (With international invitation). Abstracts, 2007, 8-9 June, Tbilisi, p.p. 31-38.
  86. ნიკოლეიშვილი ნ., ბუკია თ., გრავაძე გ., სამხეობია ქ. ახალი ფოტოქრომული სისტემა პექსამეთილდიდონობების ბაზაზე. V რესპუბლიკური კონფერენცია ქიმიაში. 2004, თბილისი, 28-30 ოქტომბერი, გვ. 33-34.
  87. Самсония Ш.А., Трапаидзе М.В., Николеишвили Н.Н., Wesquet A.O., Kazmaier Uli. Пирролоиндолы. Синтез новых спироциклических систем на базе бензо[е]пирроло[3,2-г]индола. Химия Гетероцикл. Соедин. 2008, № 8, с. 1260-1262.
  88. Лукьянов Б.С. Лукьянова М.Б. Спиропираны: Синтез, свойства, применение (обзор). Химия гетероцикл. соедин., 2005, №3, с. 323-359.
  89. სამხეობია ქ., გრავაძე გ., ნიკოლეიშვილი ნ.ნ. ახალი სპიროციდური სისტემა ბენზო[е]პირროლო[3,2-г]ინდოლის ბაზაზე. Georgia Chemical Journal, 2006, v. 6, № 2, p.p 147-148.
  90. Спутник химика . Гордон А., Форд Р. Москва. Изд-во «Мир». 1976, -571с.
  91. Самсония Ш.А., Трапаидзе М.В., Майсурадзе Дж.П., Николеишвили Н.Н., Букия Т. Дж., Джапаридзе К.Г. Фотохромные системы на основе бензо[е]пирроло[3,2-g]-, индоло[7,6-g]- и -[4,5-е]индолов. Международная конференция по химии гетероциклических соединений, посвященная 90-летию со дня рождения профессора А.Н. Коста. Тезисы докладов С-196. 2005, Москва, Октябрь 17-21, с. 294.
  92. Джапаридзе К.Г. Павленишвили И. Я. Цицишвили В.Г. , Майсурадзе Дж. П. Спектр ПМР некоторых индолиноспиропиранов. Сообщения АН ГССР, 1973,70(2), 349-351.
  93. Самсония Ш.А., Трапаидзе М.В., Курковская Л.Н., Третьякова Л.Г.. Ефимова Т.К., Суворов Н.Н. Бисиндолы IY. Электрофильное замещение в ряду 1Н,6Н-индоло[7,6-г]индола. Химия Гетероцикл. Соедин., 1979, №9, с. 1221-1227.
  94. Самсония Ш.А., Трапаидзе М.В., Курковская Л.Н., Кереселидзе Дж. А., Бисиндолы 6. Синтез и исследование свойств 2-формил-, 3-формил- и 3,8-диформил-1Н,6Н-индоло[7,6-г]индола. Химия Гетероцикл. Соедин., 1980, №11, с. 1501-1507.
  95. Самсония Ш.А., Трапаидзе М.В., Долидзе С.В., Эсакия Н.А., Курковская Л.Н., Суворов Н.Н. Бисиндолы 25. Свойства 3Н,8Н-индоло[4,5-е]- и -[5,4-е]индолов. Химия Гетероцикл. Соедин., 1988, №9, с. 1205-1212.
  96. გრავაძე გ., ნიკოლეიშვილი ნ., ესაკია ნ., სამხეობია ქ. 2-მეთილენინდოლის ფურის ბის-ანალოგები ვილსმაიერის რეაქციაში. “პირველი სიმპოზიუმი ორგანულ ქიმიაში”, მიდღვნილი პროფ. გ. ჭირაქაძის დაბადებიდან 75 წლისთავისადმი. 2009, 16 ოქტომბერი, ქ. სიღნაღი, საქართველო, გვ. 21-22.
  97. Fritz H. Über α.β-ungesättigte β-Anilino-carbonel-Verbindungen als Modellsubstanzen für den Chromophor von C –Curarin-III (C-F1 uorocurarin). Chem. Ber., 1959. v.92, №8, p.p.1890-1892.
  98. Khan M. Niaz, Fleury J-P., Baumlin P. Hubschwerlen C. A new route tu Trinuclear Carbocyanines. Tetrahedron, 1985, vol. 41, № 22, pp. 5341- 5345.
  99. Авраменко В.Г. Назина В.Д., Суворов Н. Н., Производные индола. О взаимодействии

- индола с хлористым фенилдиазонием. Химия Гетероцикл. Соедин., 1970, №8, с. 1071-1075.
100. Мирзаметова Р. М. Буянов В.Н., Суворов Н.Н. Некоторые реакции электрофильного замещения атомов водорода у 4,5,6,7,-дibenзиндолов. Химия Гетероцикл. Соедин., 1979, №3, с. 366-370.
  101. Самсония Ш.А., Таргамадзе Н.Л, Курковская Л.Н., Кереселидзе Дж. А. , Суворов Н.Н. Некоторые реакции электрофильного замещения в ряду 1Н,6Н-пирроло[2,3-е]-индола. Химия Гетероцикл. Соедин., 1980, №5, с. 639-644.
  102. Каджришвили Д.О., Самсония Ш.А., Гордеев Е. Н., Курковская Л.Н., Жигачев В.Е., Суворов Н.Н. Электрофильное замещение в ряду 1Н,5Н-пирроло[2,3-е]индола и 3Н,6Н-пирроло[3,2-е]индола. Химия Гетероцикл. Соедин., 1983, №8, с. 1086-1031.
  103. Самсония Ш.А., Трапайдзе М.В., Купрашвили Н.А., Мамаладзе Л.М., Суворов Н.Н. Пирролоиндолы. 13. Изучение свойств 1Н,10Н-бензо[е]пирроло[3,2-е]индола. Химия Гетероцикл. Соедин., 1988, №5, с. 603-607.
  104. Bink J.H.,Ridd J.H. The mechanism of the coupling diazonium salts with heterocyclic compounds. Pt. 2. Thereaction of the neutral indole molecule. J. Chem. soc.1057. № 5, p.p. 2398-2402.
  105. Современная органическая химия .Терней А. . М. Мир, 1973, т. 2, - 651с.
  106. Теоретические основы органической химии .Ингольд К. М. Мир, 1973, - 1054с.
  107. Samsoniya Sh.A., Trapaidze M.V., Kuprashvili N.A., Syintesis and antimicrobial activity of 1H,10 H-benzo[e]pyrrolo[3,2-g]indole derivatives. Pharmaceutical Chemistry Journal. 2009. v.43. №2. p.p. 92-94.
  108. ტრაპაიძე გ., ნიკოლეშვილი ნ., ესაკია ნ., სამხეობია შ. აზოშეუდლების რეაქცია ჰექსამეთოდილდიოროლო[1,2,3-d,e;3,2,1-ij]ბენზო[g]იონქსალინთან.“ პირველი სიმპოზიუმი ორგანულ ქიმიაში”, მიმღებილი პროფ. გ. ჭირაქაძის დაბადებიდან 75 წლისთავისადმი. 2009, 16 ოქტომბერი, ქ.სიღნაღი, საქართველო, გვ. 35-36.
  109. Спектрометрическая идентификация органических соединений. Сильверстейн Р., Басслер Г., Моррил Т. Москва., «Мир», 1977, с. 317-.
  110. მირზამეთოვის ნ.თ. ახალი 5-ჩანაცვლებული ინდოლებისა და ზოგიერთი ტეტრაციკლური სისტემების სინთეზი და კვლევა. კურციუსის გადაჯგუფება ამ სისტემებში. 1993, თბილისი. -133გვ.
  111. Купрашвили Н.А. Синтез и свойства новой гетероциклической системы 1Н, 10Н-бензо[е]пирроло[3,2-е]индола. Диссертация на соискание учченой степени кандидата химических наук. 1991. Тбилиси. -138 с.
  112. Nikoleishvili N., Onashvili E., Esakia N., Trapaidze M. and Samsoniya Sh. Condensation reactions of dihydrazides of isomeric dipyrrolonaphthalenes dicarboxylic Acids. In: “Chemistry of advanced compounds and materials”, *Chapters 27*. Editor: Nodar Lekishvili et al.,2008, p.256-259. Nova Science Publishers, INC. New York (www.nova-publishers.com).
  113. Nikoleishvili N., Onashvili E., Esakia N., Trapaidze M., Samsoniya Sh. Some condensation reactions of indolo[5,4-e]indole and benzo[e]pyrrolo[3,2-g]indole dicarboxylic acid dihidrazides. Internacional Conference “Advanced Materials and Technologies”, Tbilisi, 2006, 10-11 May, p. 60-61.
  114. Фармакология адамантанов. Морозов И.С., Петров В.И., Сергеева С.А. Волгоград. Волгоградская медицинская академия. 2010. -320 с.
  115. Nikoleishvili N., Trapaidze M., Esakia N., Zurabishvili D., Samsoniya Sh., Kazmaier Uli. Dipirrolonaphthaline ring containing hydrazidohydrazones-potentially biologically active substances. Scientific Conference of the Republic. Natural and Synthetic Biologically Active Compounds. Tbilisi, 30 March, 2010, Georgia, pp.97-98 .
  116. Самсония Ш.А., Трапайдзе М.В., Купрашвили Н.А., Зурабишвили Д.С. Суворов Н.Н.

- Пирролоиндолы. 17. Синтез и реакции конденсации дихлорангидрида на бензо[е]-пирроло[3,2-г]индол-2,9-дикарбоновой кислоты. Химия Гетероцикл. Соедин., 1998, №7, с. 942-948.
117. Адамантаны: получение, свойства, применение. Багрий Е. И. Москва. «Наука», 1989, - 264с.
118. Самсония Ш.А., Трапаидзе М.В., Николеишвили Н.Н., Купрашвили Н.А., Зурабишвили Д.С., Ули Кацмайер\*. Пирролоиндолы. Реакции конденсации на основе 3,8-дiformил-1Н,10Н-бензо[е]пирроло[3,2-г]индола. Известия Национальной Академии Наук Грузии, серия химическая, 2010, т.36, №1, с. 21-24.